

敦賀発電所2号炉  
敷地の地形, 地質・地質構造について  
参考資料1  
薄片観察結果

令和2年2月7日  
日本原子力発電株式会社

余白

# 目次(参考資料1 薄片観察結果)

No.	分類項目	頁	断層名 及び 破砕帯名	頁	No.	分類項目	頁	断層名 及び 破砕帯名	頁	No.	分類項目	頁	断層名 及び 破砕帯名	頁	No.	分類項目	頁	断層名 及び 破砕帯名	頁
1	浦底断層	参考1- 5	浦底断層	参考1- 6	12	f-①-1-3~f-④-13 破砕帯	参考1- 139	f-①-1-3	参考1-140	14	H-1~f-b-4-6 破砕帯	参考1- 161	H-2	参考1- 162	15	非モデル化破砕帯 (続き)		H24-D1-1 ①	参考1- 213
2	D-1破砕帯	参考1- 11	D-1	参考1- 12				f-①-2-2	参考1-141				H-3b	参考1- 163				H24-D1-1 ②	参考1- 214
3	K断層	参考1- 45	K断層	参考1- 46	f-④-1-2	参考1-142	H-3c	参考1- 164	H24-D1-1 ③	参考1- 215									
4	D-6破砕帯	参考1- 61	D-6	参考1- 62	f-④-3-1	参考1-143	H-3d	参考1- 166	H24-D1-1 ④	参考1- 216									
5	D-14破砕帯	参考1- 75	D-14	参考1- 76	f-④-6-3	参考1-144	H-4'	参考1- 168	H24-D1-1 ⑥	参考1- 217									
6	D-5破砕帯	参考1- 79	D-5	参考1- 80	f-④-11	参考1-145	H-6c	参考1- 170	H24-D1-1 ⑦	参考1- 218									
7	H-3a破砕帯	参考1- 89	H-3a	参考1- 90	f-④-12	参考1-147	H-7	参考1- 171	H24-D1-1 ⑧	参考1- 219									
8	D-2~D-16破砕帯	参考1- 93	D-2	参考1- 94	f-b11-1-1	参考1-150	f-br-1-2	参考1- 173	H24-D1-1 ⑩	参考1- 220									
			D-3	参考1- 95	f-b11-2-2	参考1-151	f-br-1-3	参考1- 174	H24-D1-1 ⑬	参考1- 221									
			D-4	参考1- 96	f-b14-1-2	参考1-152	f-br-1-4	参考1- 175	H24-D1-2 ②	参考1- 222									
			D-7	参考1- 98	f-b14-2-1	参考1-153	f-br-1-5	参考1- 176	H24-D1-2 ③	参考1- 223									
			D-15	参考1- 102	f-b14-2-2	参考1-154	f-br-5-1	参考1- 177	H24-D1-3 ④	参考1- 224									
			D-20	参考1- 106	f-b8-21-1	参考1-155	f-br-6-1	参考1- 178	H24-D1-4 ③	参考1- 225									
9	D-17~D-28破砕帯	参考1- 105	D-24	参考1- 107	f-b' -2-1	参考1-156	f-br-12-1	参考1- 179	H24-D1-4 ④	参考1- 226									
			D-25	参考1- 108	f-d1-1-10	参考1-157	f-br-12-2	参考1- 180	H24-D1-4 ⑥	参考1- 227									
			D-26	参考1- 110	f-d1-1-11	参考1-158	f-br-12-3	参考1- 181	H27-B-1 ①	参考1- 228									
			D-27	参考1- 113	f-d1-4-5	参考1-159	f-d5-1-4	参考1- 182	H27-B-1 ②	参考1- 229									
			D-29	参考1- 116	f-d1-5-1	参考1-160	f-b-1-16	参考1- 183	H27-B-1 ③	参考1- 230									
			D-32	参考1- 117			f-b-2-14	参考1- 184	H27-B-1 ④	参考1- 231									
10	D-29~D-47破砕帯	参考1- 115	D-33	参考1- 118			f-b-2-20	参考1- 185	H27-B-1 ⑤	参考1- 232									
			D-35	参考1- 119			f-b-2-21	参考1- 186	H27-B-1 ⑦	参考1- 233									
			D-37	参考1- 121			f-b-2-22	参考1- 187	H27-B-1 ⑧	参考1- 234									
			D-38	参考1- 122			H24-B8-21 ④	参考1- 190	H27-B-1 ⑨	参考1- 235									
			D-39	参考1- 124			H24-B8-21 ⑤	参考1- 191	H27-B-1 ⑩	参考1- 236									
			D-41	参考1- 125			H24-B8-21 ⑥	参考1- 192	H27-B-1 ⑫	参考1- 237									
			D-42	参考1- 127			H24-B8-21 ⑦	参考1- 193	H27-B-1 ⑬	参考1- 238									
			D-44	参考1- 129			H24-B8-27 ③	参考1- 194	H27-B-1 ⑭	参考1- 239									
			D-45	参考1- 131			H24-B8-29 ②	参考1- 195	H27-B-1 ⑮	参考1- 240									
			D-46	参考1- 132			H24-B11-1 ④	参考1- 196	H27-B-1 ⑰	参考1- 241									
				参考1- 136			H24-B11-1 ⑤	参考1- 197	H27-B-3 ①	参考1- 242									
				参考1- 137			H24-B14-1 ⑥	参考1- 198	H27-B-3 ②	参考1- 243									
11	f-2-3~f-20-11 破砕帯	参考1- 135	F-2-8	参考1- 136			H24-B14-1 ⑧	参考1- 199	H27-B-3 ③	参考1- 244									
			F-15-3	参考1- 137			H24-B14-2 ③	参考1- 200	H27-B-3 ⑤	参考1- 245									
							H27-B-2 ①	参考1- 201	H27-B-3 ⑥	参考1- 246									
							H27-B-2 ②	参考1- 202	H27-B-3 ⑦	参考1- 247									
							H27-B-2 ③	参考1- 203	H27-B-3 ⑬	参考1- 248									
							H27-B-2 ④	参考1- 204	H27-B-4 ③	参考1- 249									
							H27-B-2 ⑤	参考1- 205											
							H27-B-2 ⑥	参考1- 206											
							H27-B-2 ⑦	参考1- 207											
							H27-B-2 ⑧	参考1- 208											
							H27-B-2 ⑩	参考1- 209											
							H27-B-2 ⑫	参考1- 210											
							H27-B-2 ⑮	参考1- 211											
							H27-B-2 ⑯	参考1- 212											

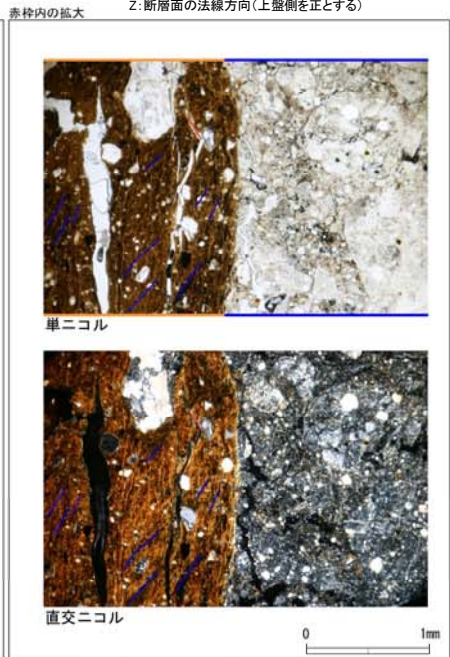
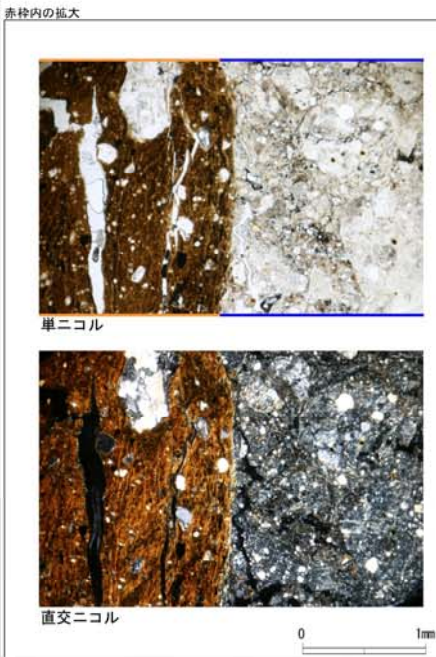
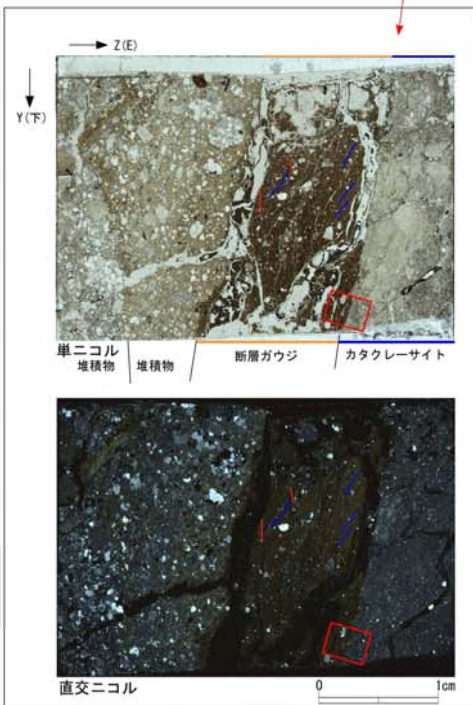
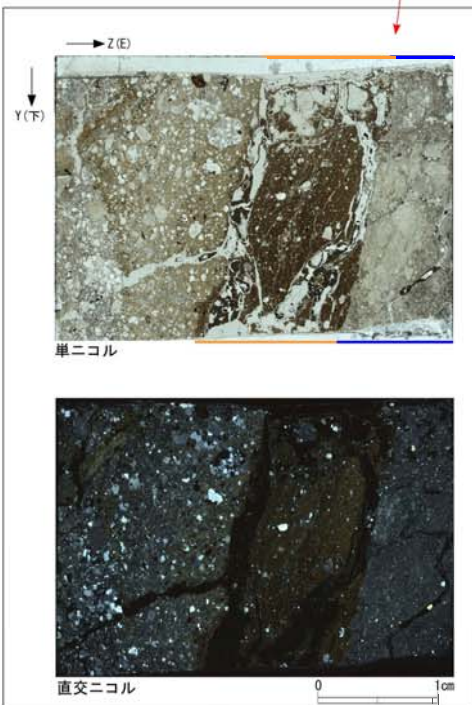
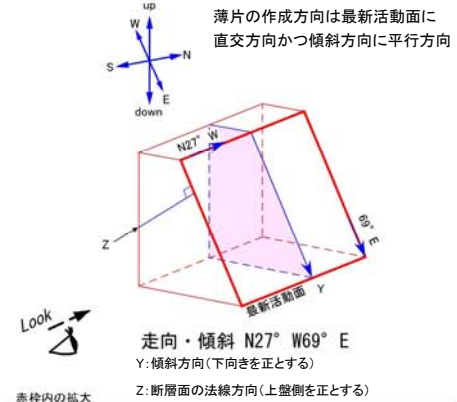
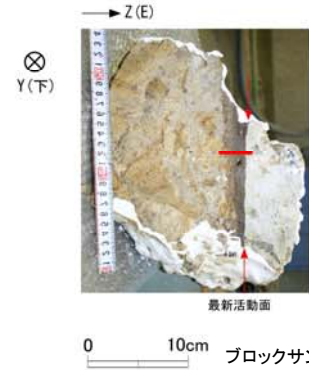
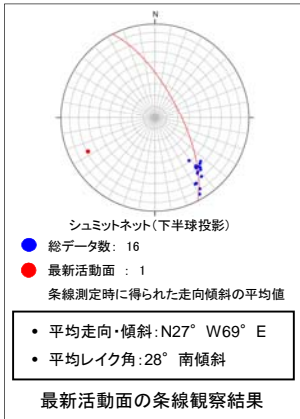
余白



# 1. 浦底断層

# 浦底断層 薄片試料観察(Bトレンチ)(その1)

Ｂトレンチから採取した薄片試料の観察結果によれば最新活動面の変位センスは、左ずれを伴う逆断層である。



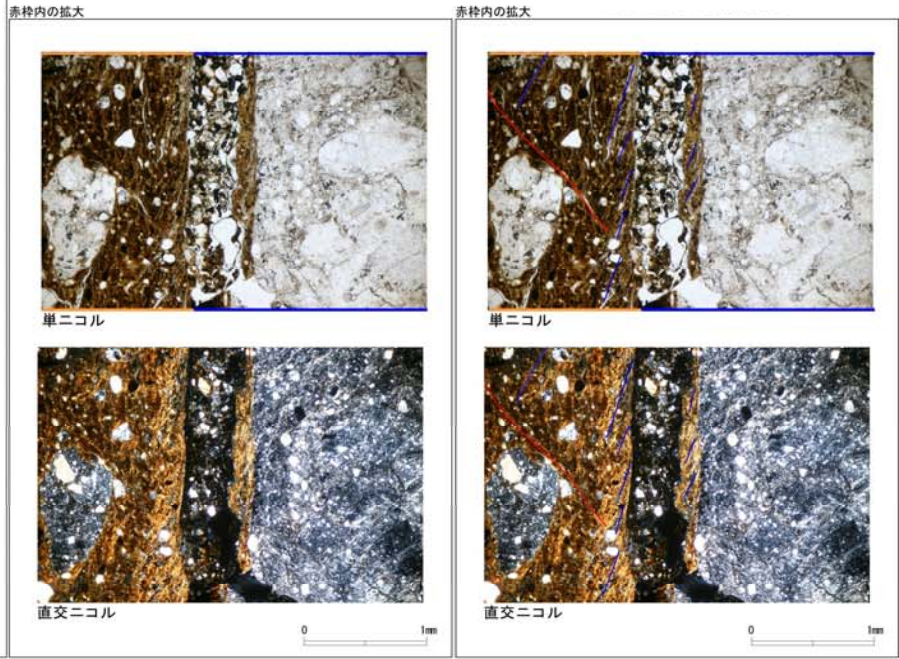
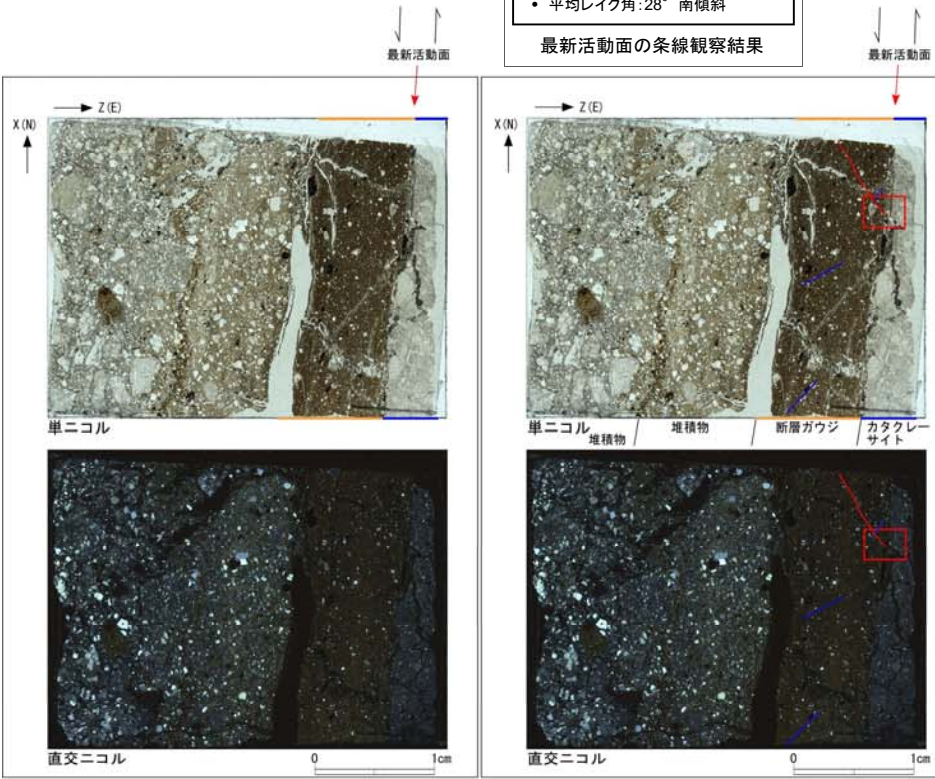
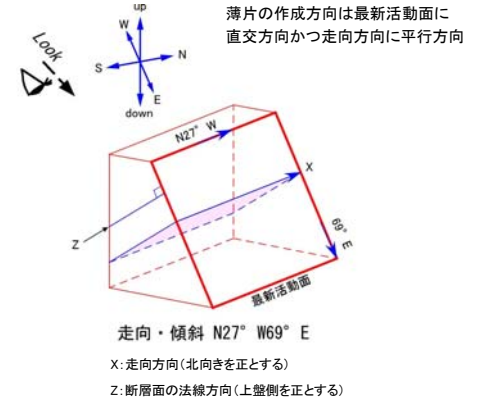
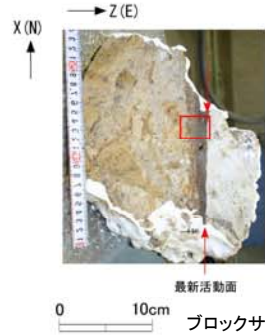
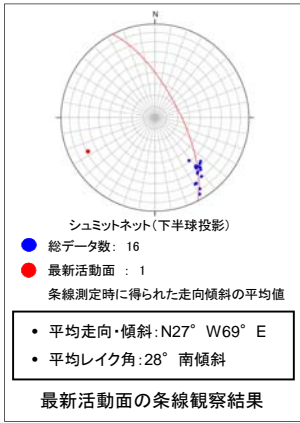
- 凡例
- 断層ガウジ
  - カタクレーサイト
  - R1面
  - P面

鉛直断面: 最新活動面の変位センスは、逆断層センスを示す。



# 浦底断層 薄片試料観察(Bトレンチ)(その2)

Ｂトレンチから採取した薄片試料の観察結果によれば最新活動面の変位センスは、左ずれを伴う逆断層である。



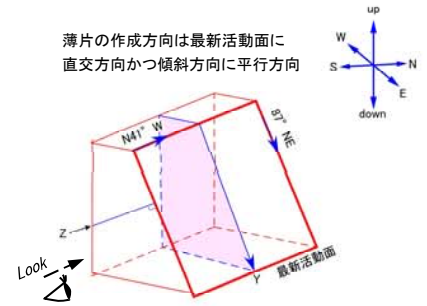
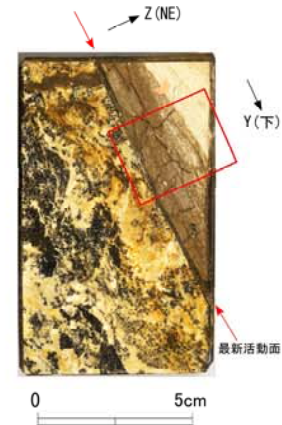
- 凡例
- 断層ガウジ
  - カタクレーサイト
  - R1面
  - P面

水平断面: 最新活動面の変位センスは、左ずれセンスを示す。

# 浦底断層 薄片試料観察(H19-No.19 深度35.12m)(その1)

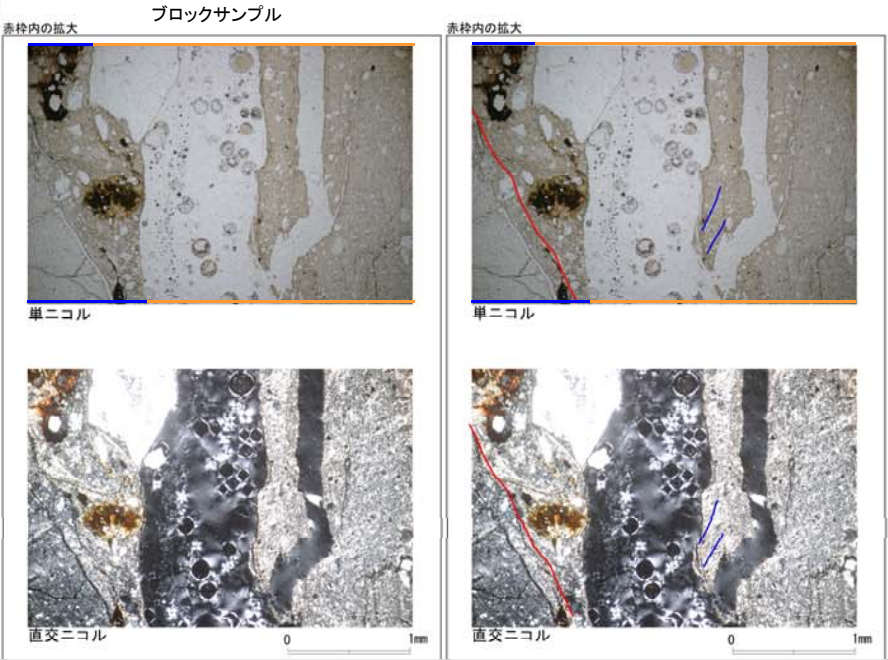
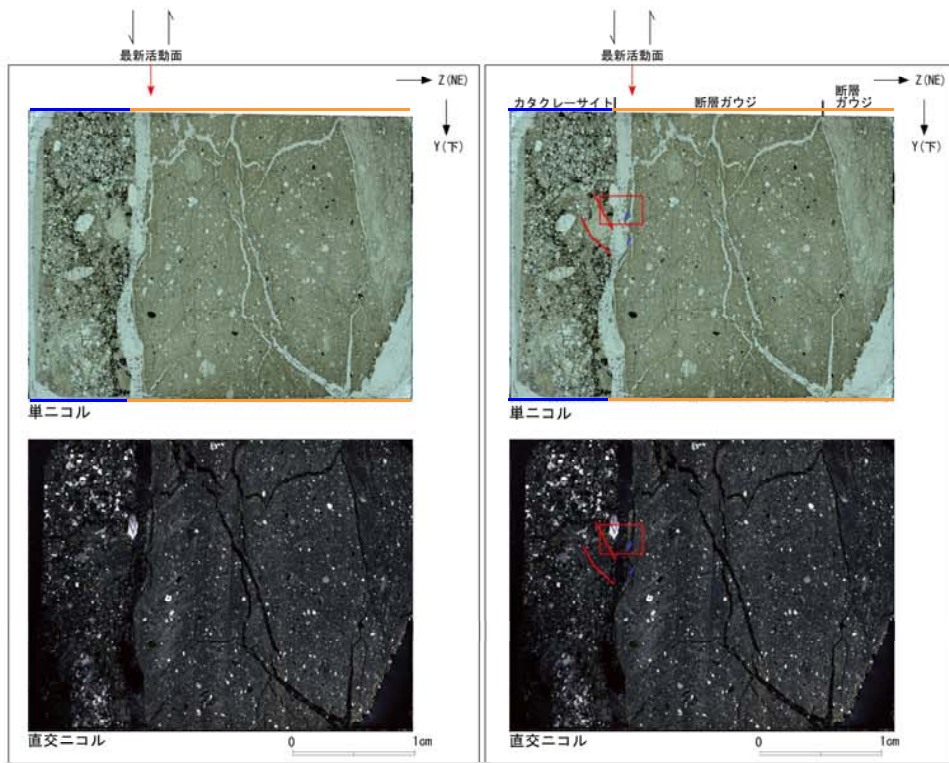
H19-No.19のボーリングコア(深度35.12m)から採取した薄片試料の観察結果によれば最新活動面の変位センスは、左ずれを伴う逆断層である。

条線データなし



薄片の作成方向は最新活動面に  
直交方向かつ傾斜方向に平行方向

走向・傾斜 N41° W87° NE  
Y: 傾斜方向(下向きを正とする)  
Z: 断層面の法線方向(上盤側を正とする)



- 凡例
- 断層ガウジ
- カタクレーサイト
- R1面
- P面

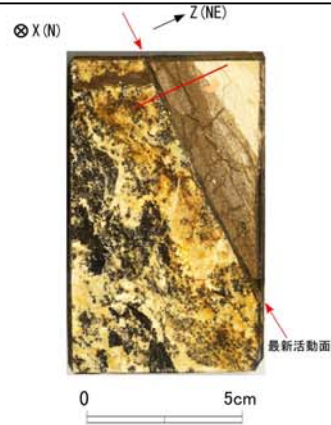
鉛直断面: 最新活動面の変位センスは、逆断層成分が卓越する。



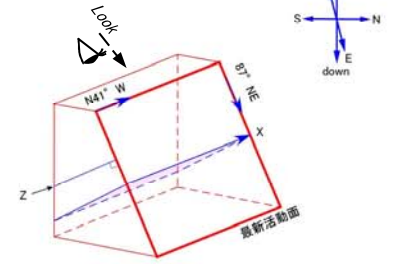
# 浦底断層 薄片試料観察(H19-No.19 深度35.12m)(その2)

H19-No.19のボーリングコア(深度35.12m)から採取した薄片試料の観察結果によれば最新活動面の変位センスは、左ずれを伴う逆断層である。

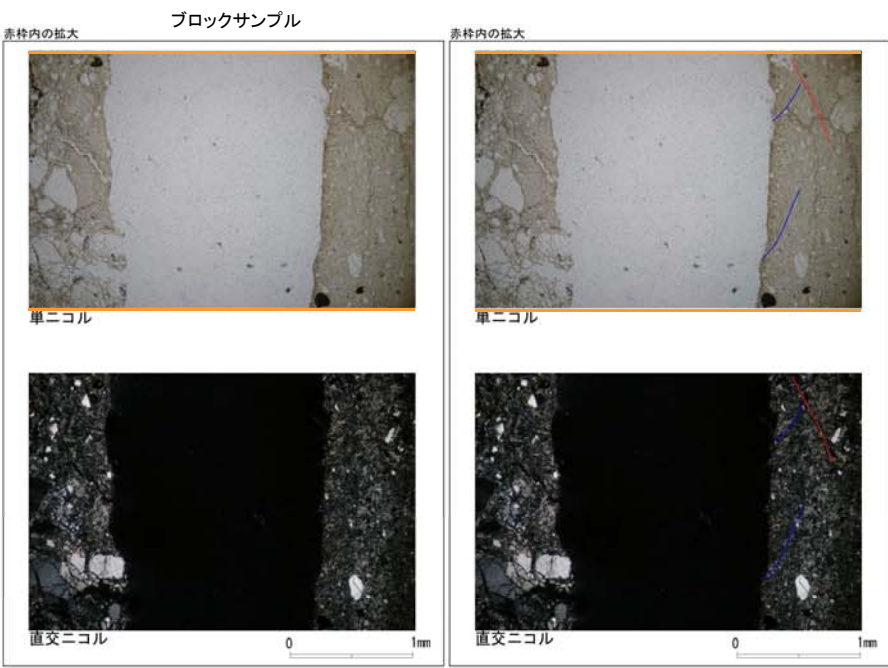
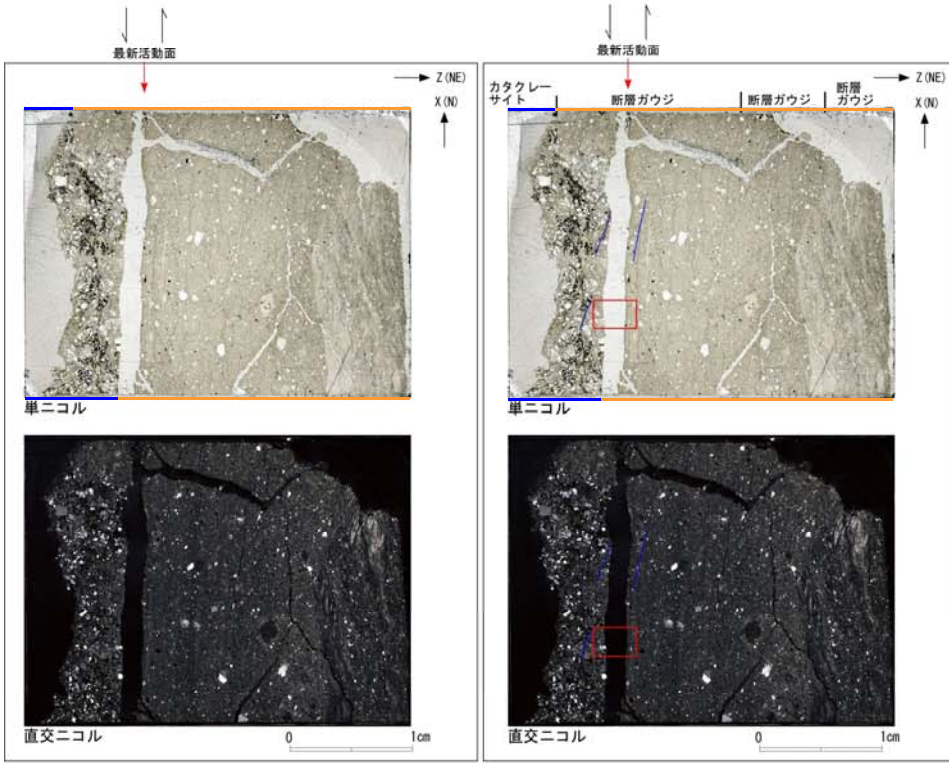
条線データなし



薄片の作成方向は最新活動面に直交方向かつ走向方向に平行方向



走向・傾斜 N41° W87° NE  
 X: 走向方向(北向きを正とする)  
 Z: 断層面の法線方向(上盤側を正とする)

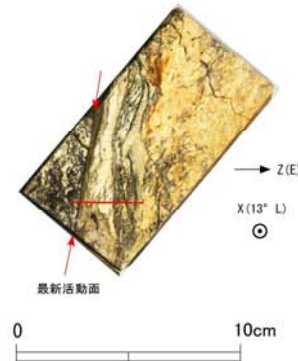
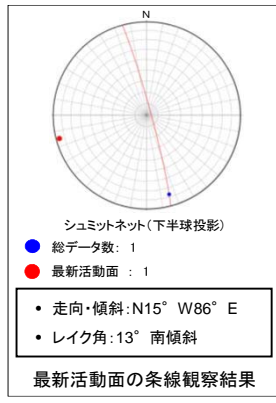


- 凡例
- 断層ガウジ
- カタクレーサイト
- R1面
- P面

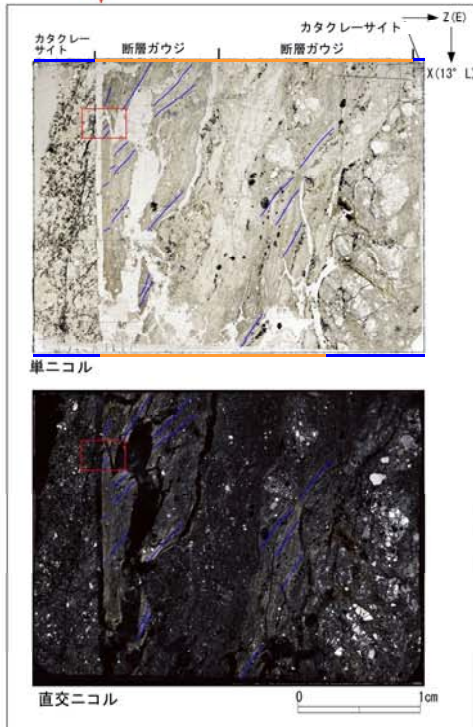
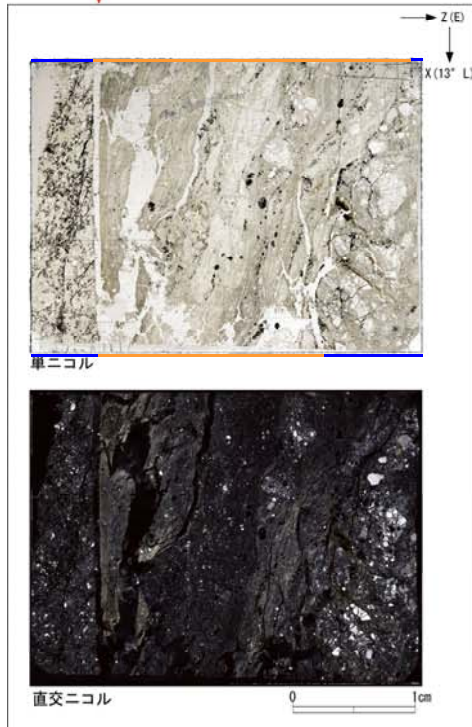
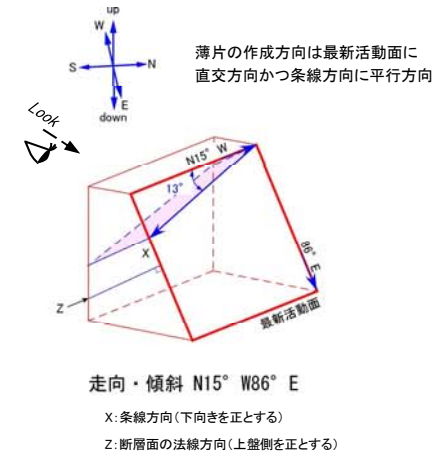
水平断面: 最新活動面の変位センスは、左ずれ成分が卓越する。

# 浦底断層 薄片試料観察(H19-No.8 深度131.68m)

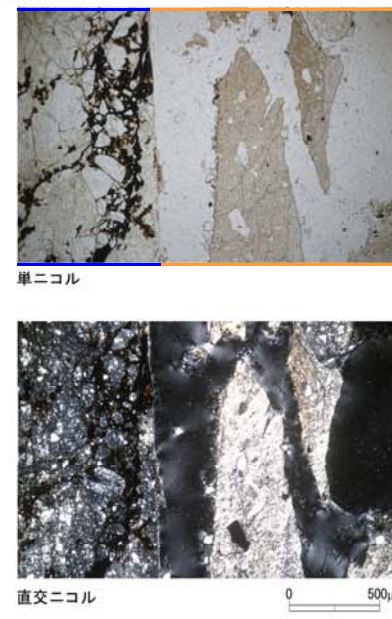
H19-No.8のボーリングコア(深度131.68m)から採取した薄片試料の観察結果によれば最新活動面の変位センスは、左ずれ成分が卓越する。



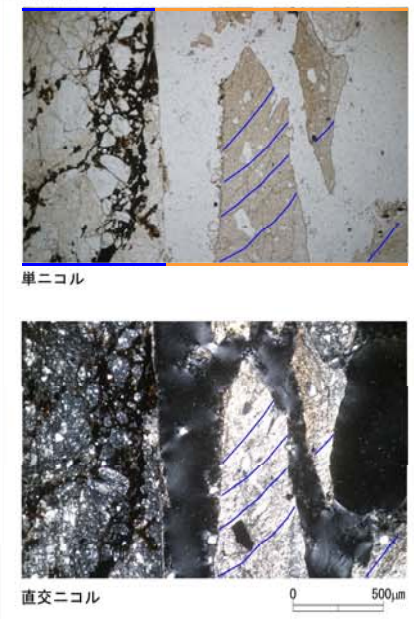
ブロックサンプル



赤枠内の拡大



赤枠内の拡大



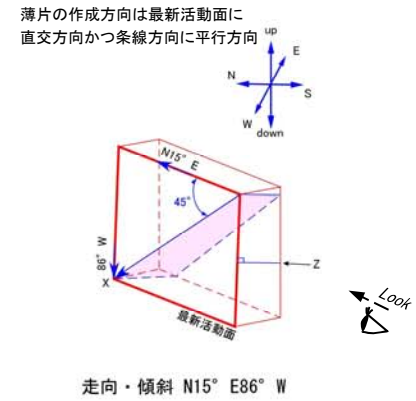
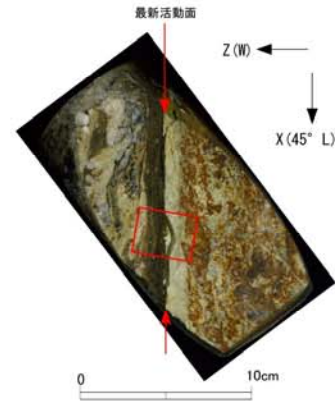
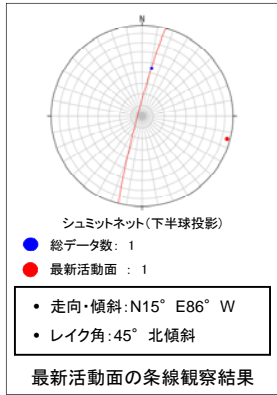
- 凡例
- 断層ガウジ
  - カタクレーサイト
  - R1面
  - P面

## 2. D-1 破碎帶

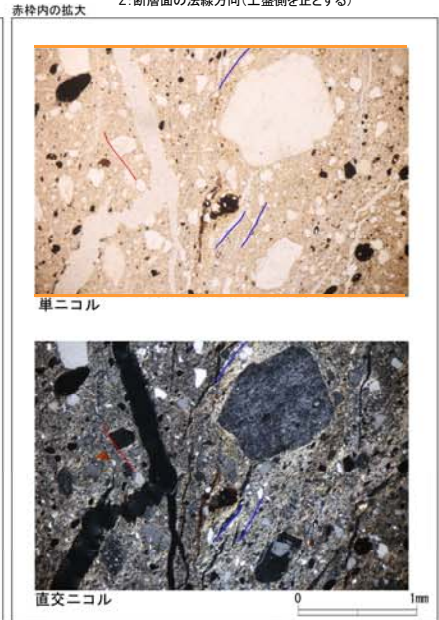
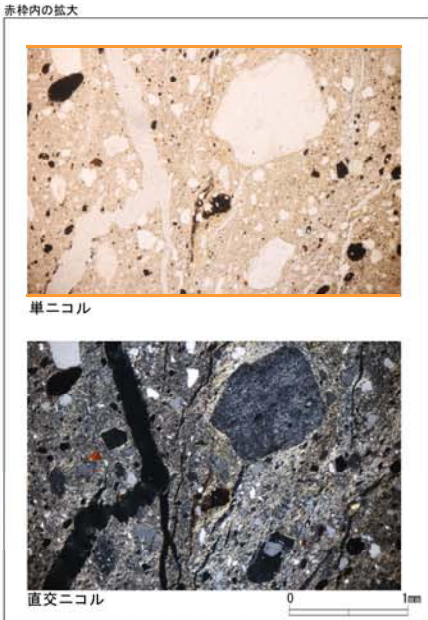
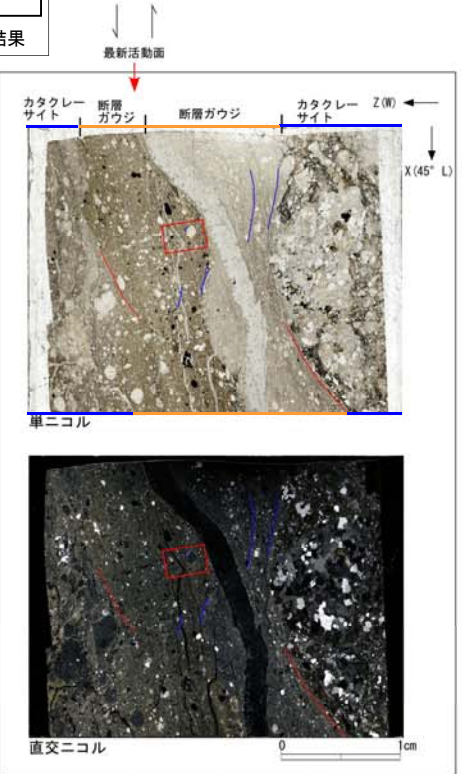
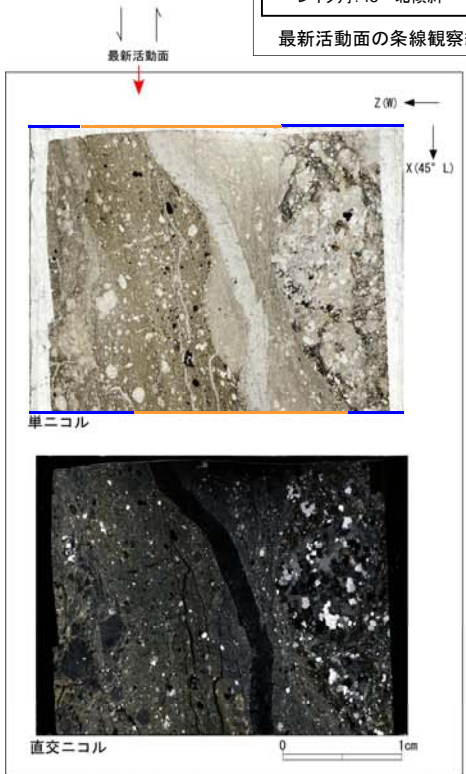


# D-1 破碎帯 薄片試料観察 (H24-A-11 深度29.15m)

H24-A-11のボーリングコア(深度29.15m)から採取した薄片試料の観察結果によれば最新活動面の変位センスは、右ずれを伴う正断層である。



X: 条線方向(下向きを正とする)  
 Z: 断層面の法線方向(上盤側を正とする)



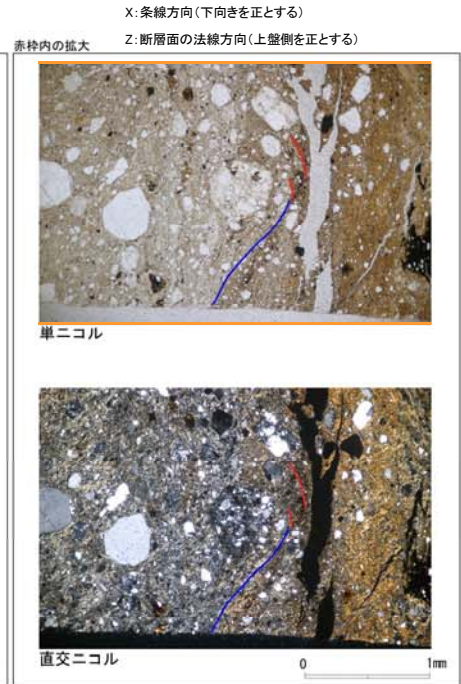
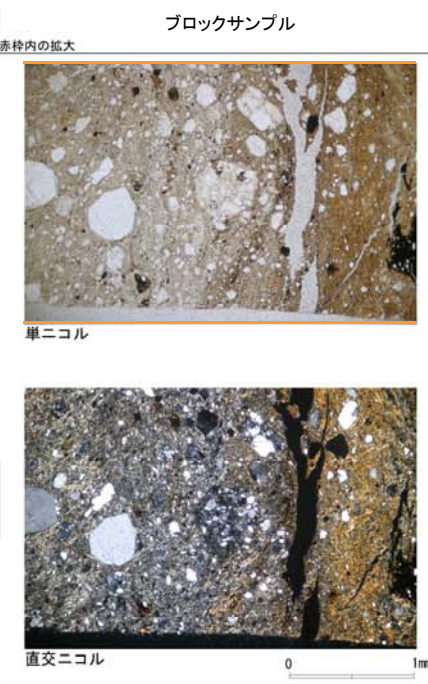
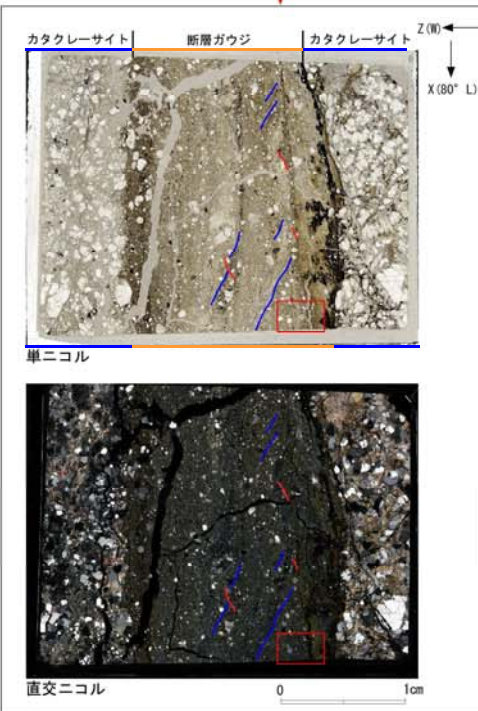
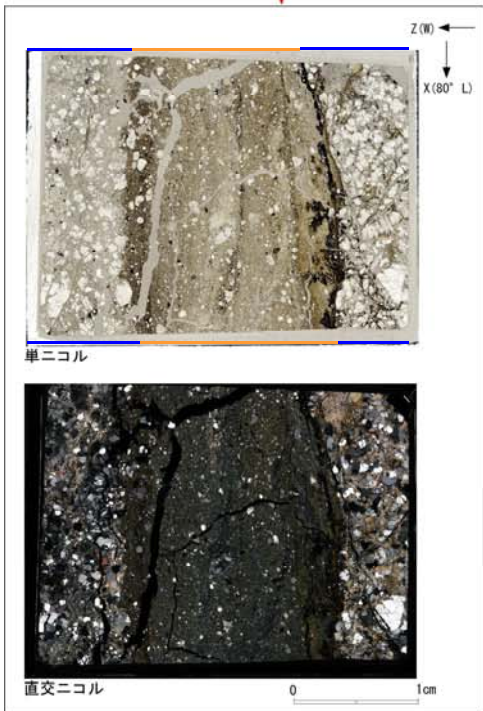
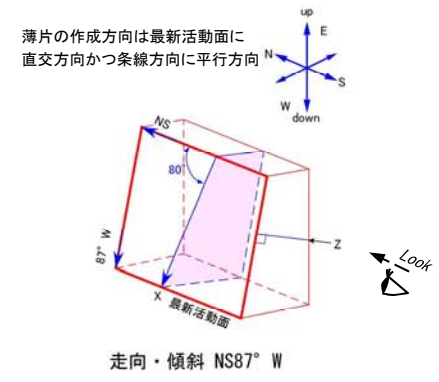
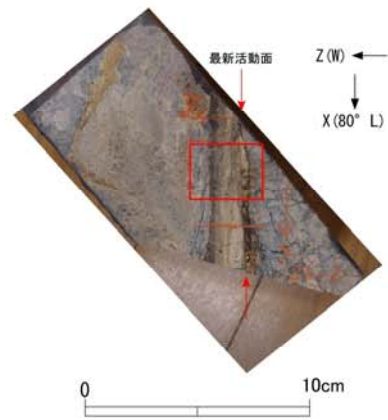
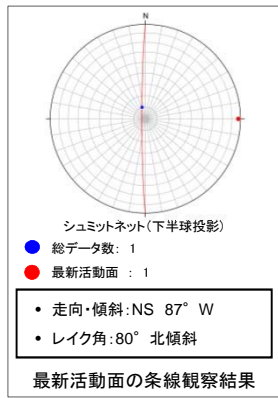
- 凡例
- 断層ガウジ
  - カタクレーサイト
  - R1面
  - P面





# D-1 破碎帯 薄片試料観察 (H24-E-1 深度20.32m)

H24-E-1のボーリングコア(深度20.32m)から採取した薄片試料の観察結果によれば最新活動面の変位センスは、正断層成分が卓越する。

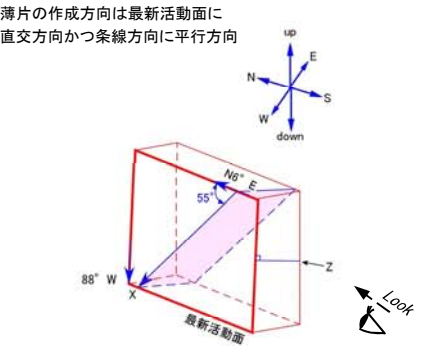
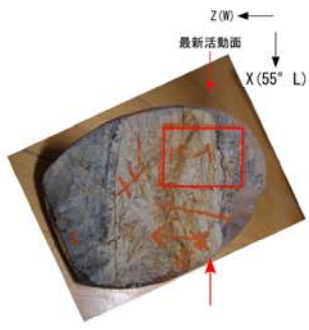
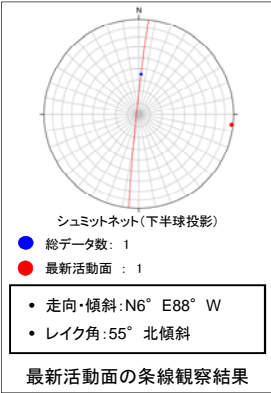


- 凡例
- 断層ガウジ
  - カタクレーサイト
  - R1面
  - P面

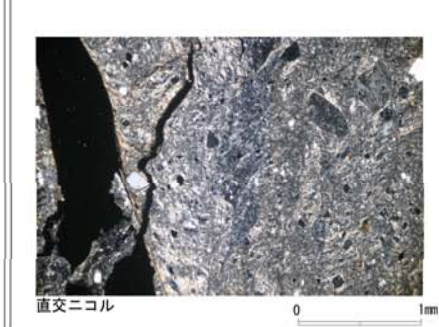
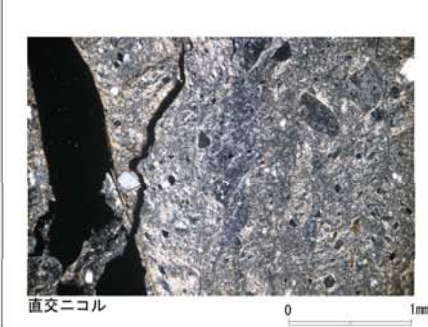
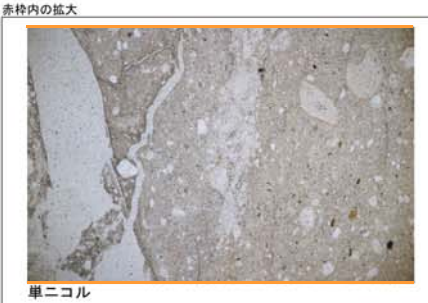
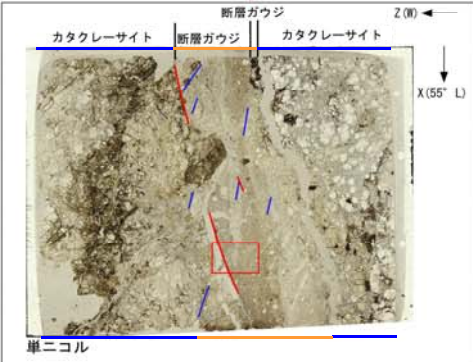


# D-1 破碎帯 薄片試料観察 (H24-B'-1 深度21.57m)

H24-B'-1のボーリングコア(深度21.57m)から採取した薄片試料の観察結果によれば最新活動面の変位センスは、右ずれを伴う正断層である。



0 10cm  
ブロックサンプル

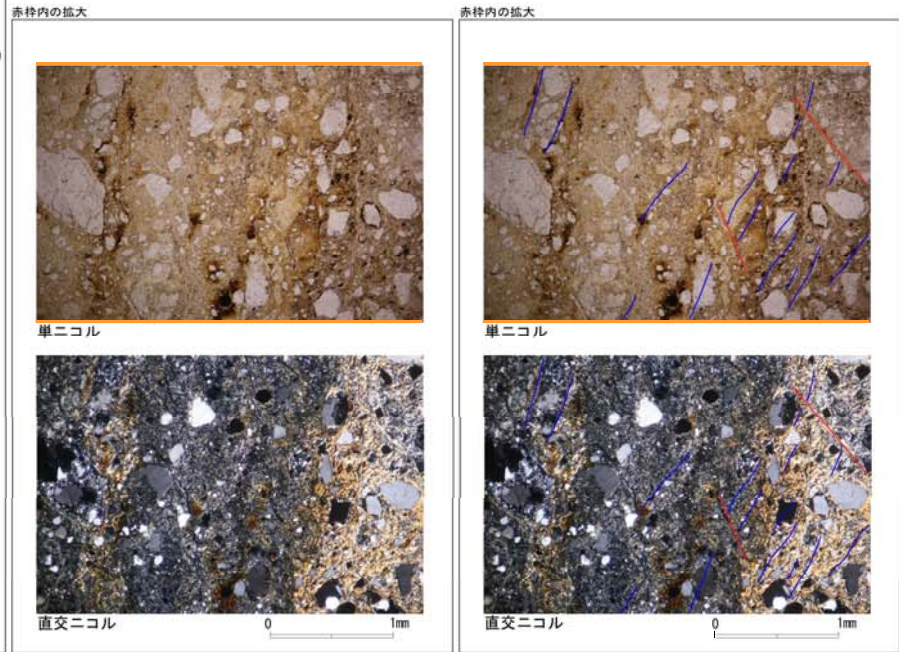
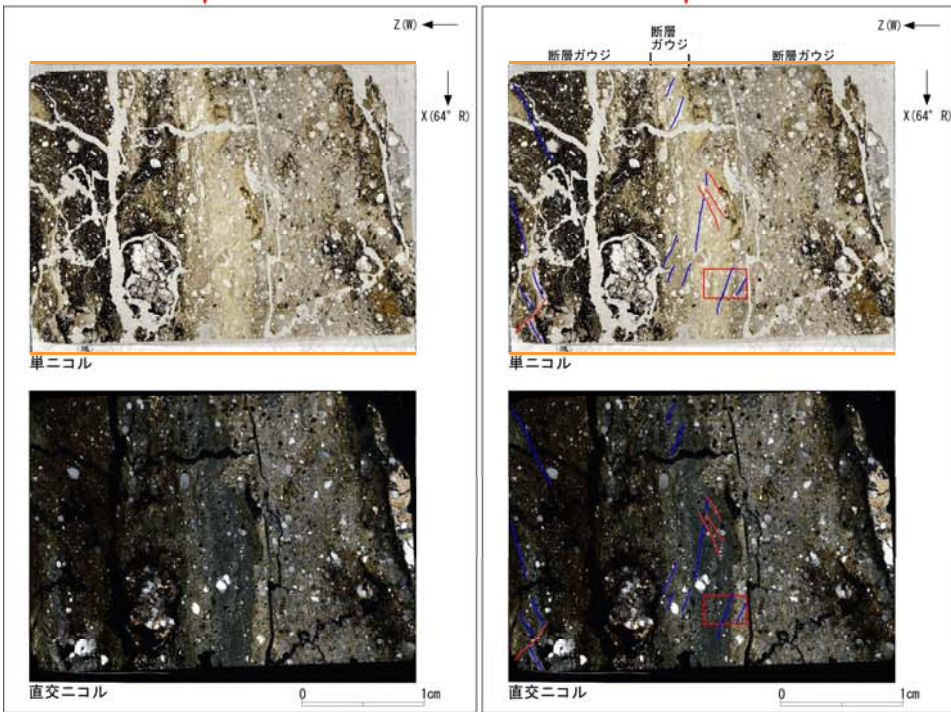
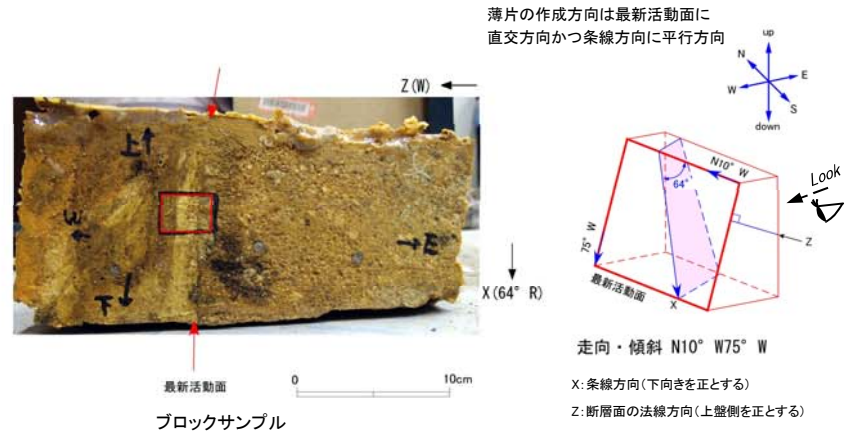
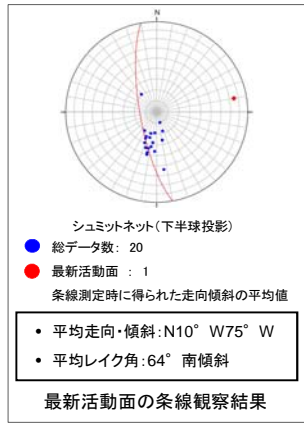


走向・傾斜 N6° E88° W  
X: 条線方向(下向きを正とする)  
Z: 断層面の法線方向(上盤側を正とする)

- 凡例
- 断層ガウジ
  - カタクレーサイト
  - R1面
  - P面

# D-1 破碎帯 薄片試料観察 (D-1 トレンチ北側ピット)

D-1 トレンチ北側ピットから採取した薄片試料の観察結果によれば最新活動面の変位センスは、左ずれを伴う正断層である。

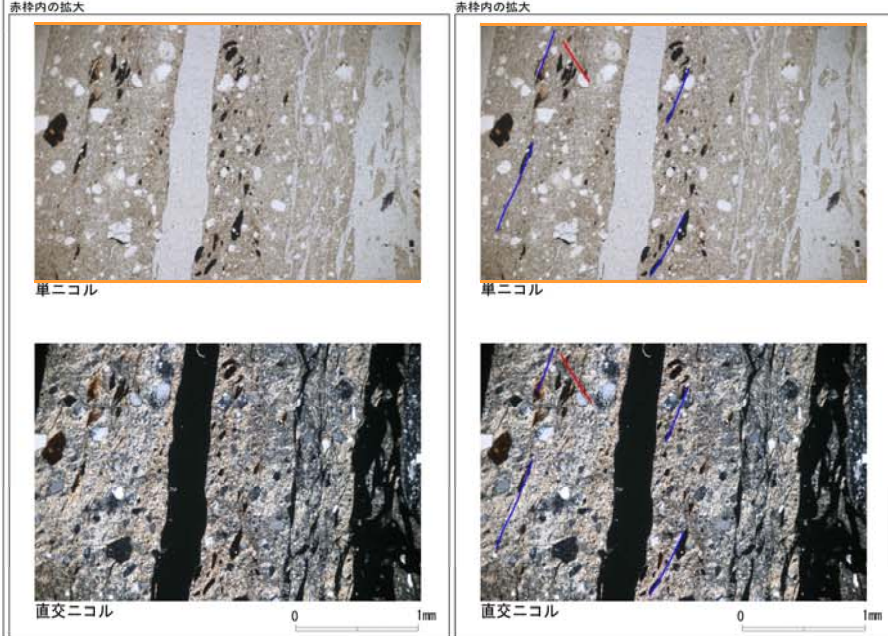
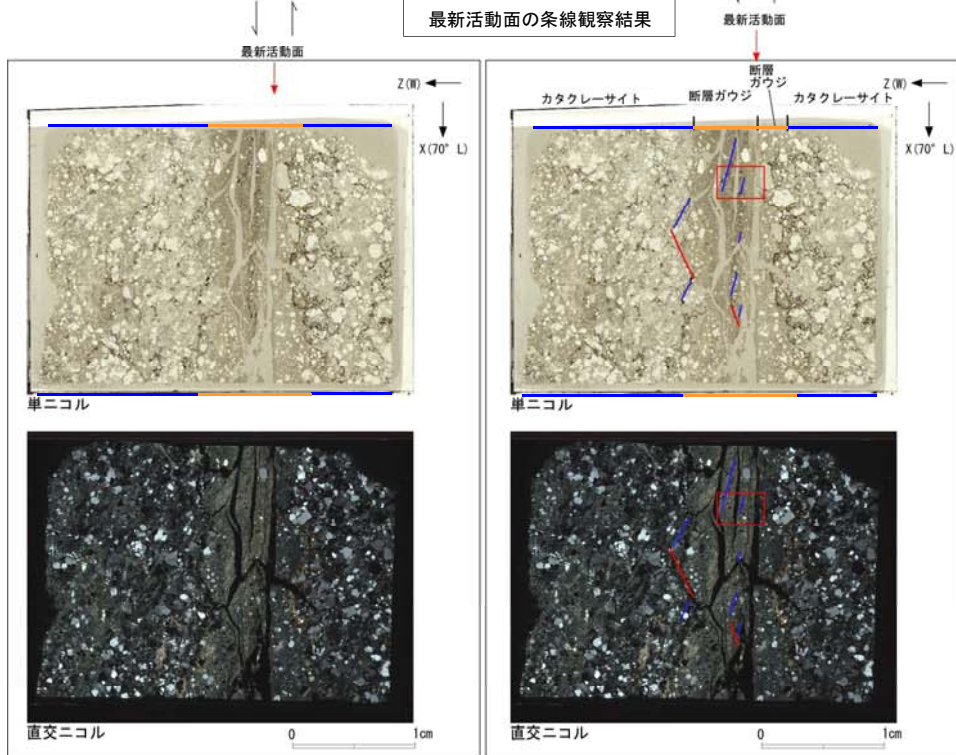
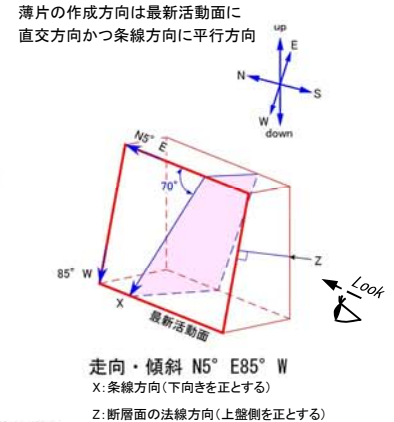
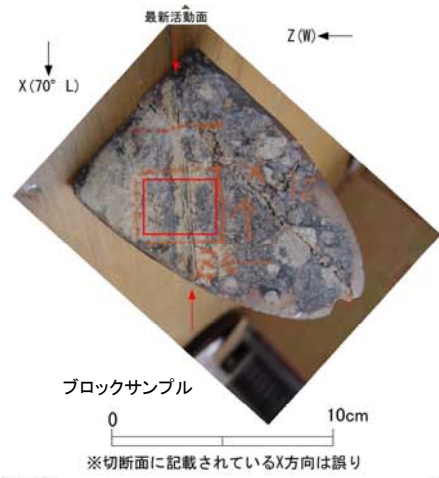
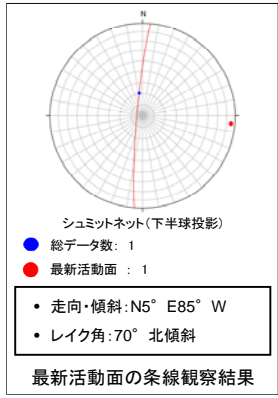


- 凡例
- 断層ガウジ
  - カタクレーサイト
  - R1面
  - P面



# D-1 破碎帯 薄片試料観察 (H24-B'-3 深度15.98m)

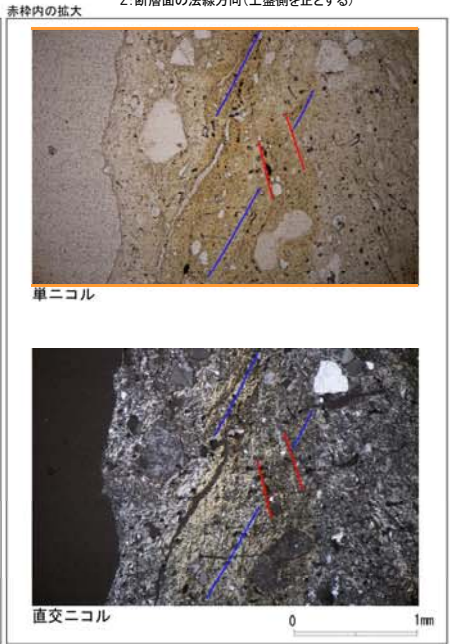
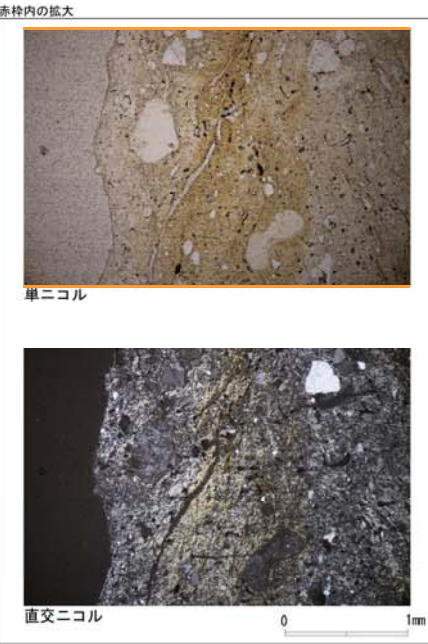
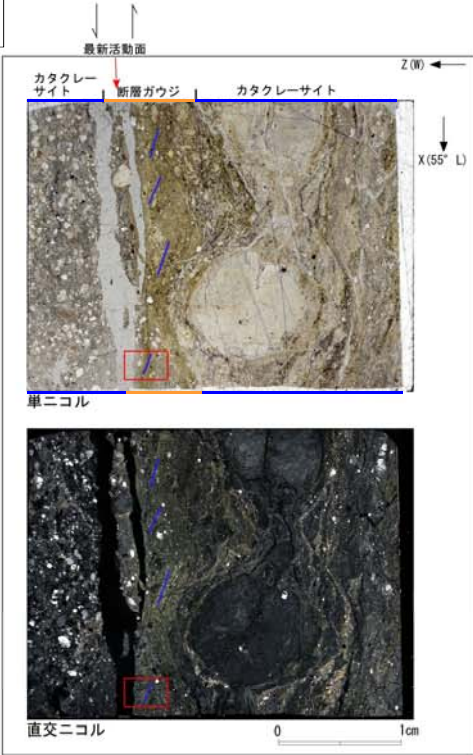
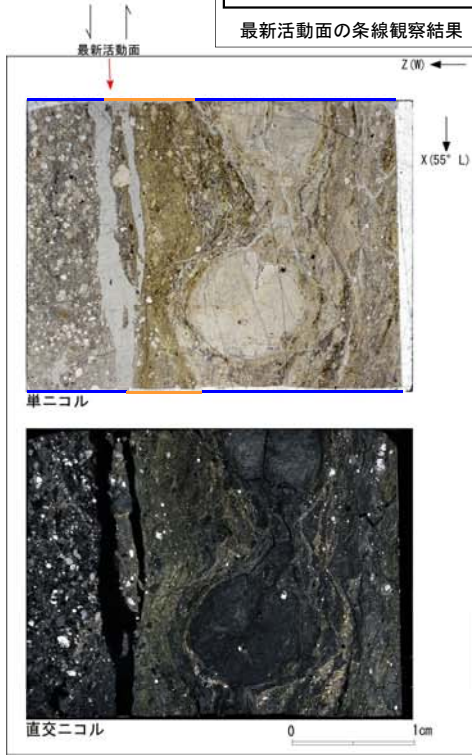
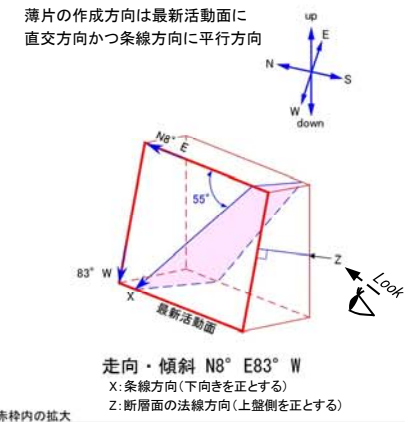
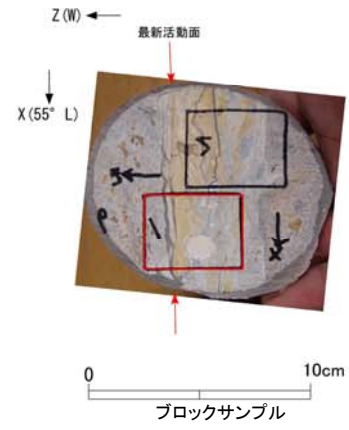
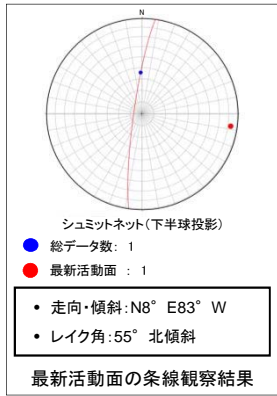
H24-B'-3のボーリングコア(深度15.98m)から採取した薄片試料の観察結果によれば最新活動面の変位センスは、正断層成分が卓越する。



- 凡例
- 断層ガウジ
  - カタクレーサイト
  - R1面
  - P面

# D-1 破碎帯 薄片試料観察 (H24-B'-15 深度8.07m)

H24-B'-15のボーリングコア(深度8.07m)から採取した薄片試料の観察結果によれば最新活動面の変位センスは、右ずれを伴う正断層である。

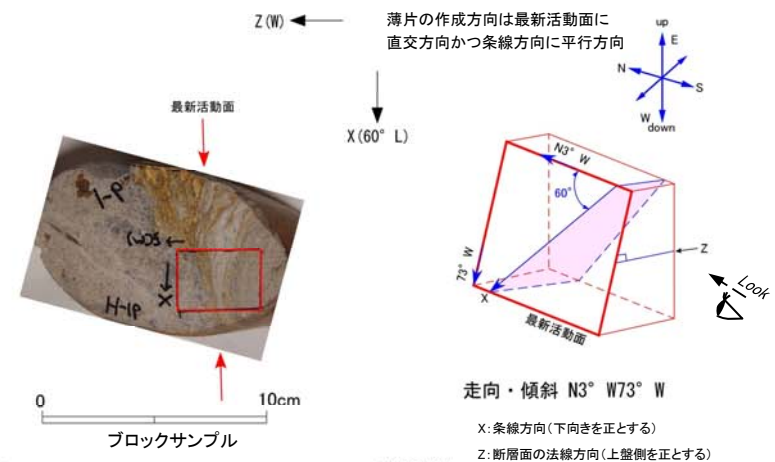
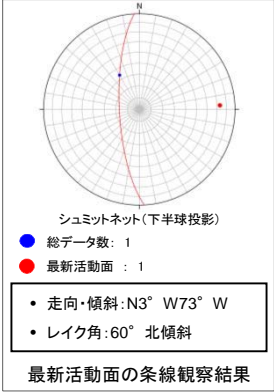


- 凡例
- 断層ガウジ
  - カタクレーサイト
  - R1面
  - P面

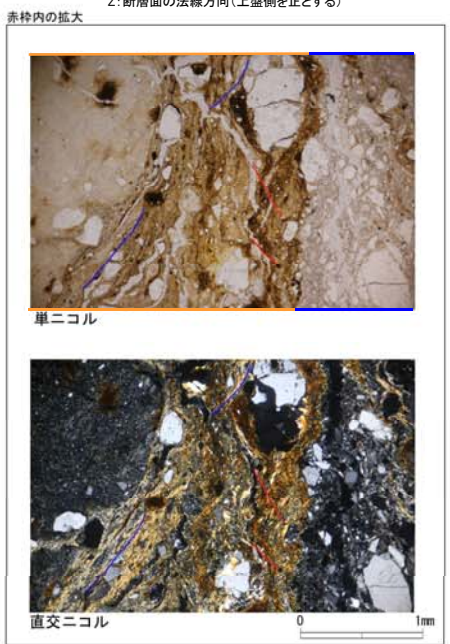
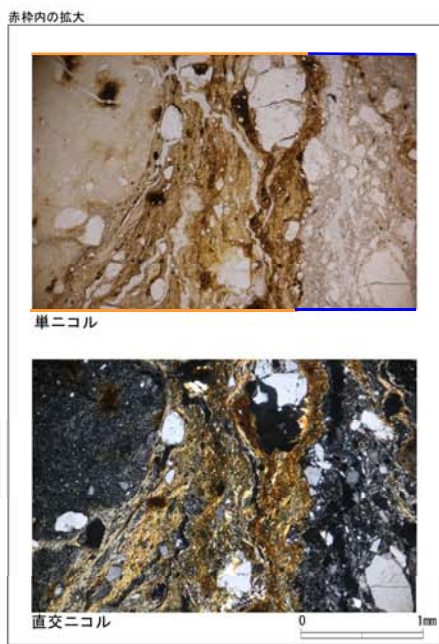
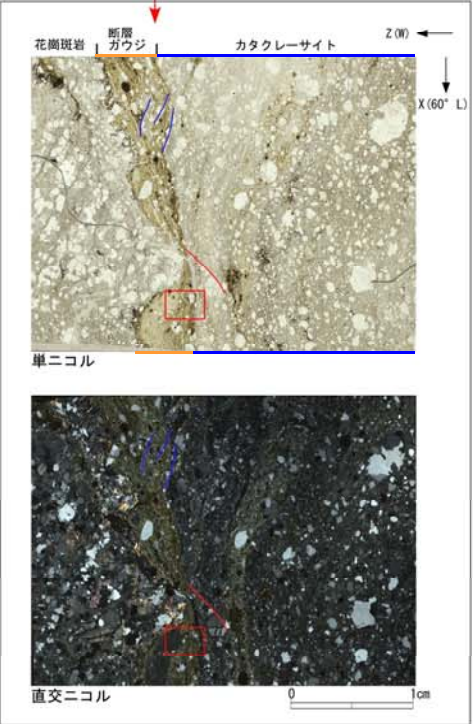
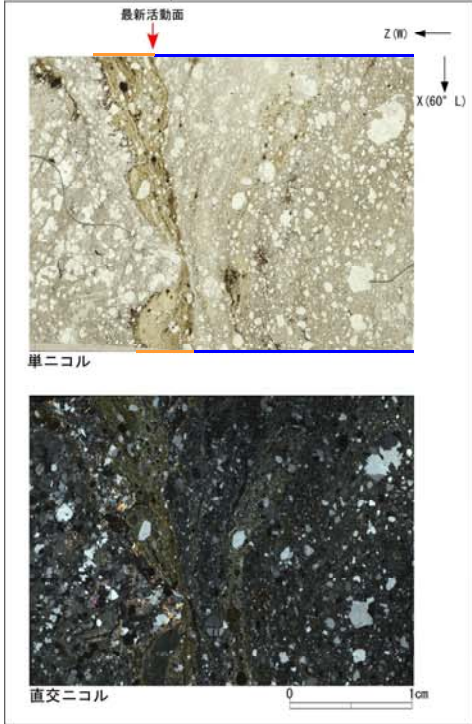


# D-1 破碎帯 薄片試料観察 (H24-H-16 深度7.85m)

H24-H-16のボーリングコア(深度7.85m)から採取した薄片試料の観察結果によれば最新活動面の変位センスは、右ずれを伴う正断層である。



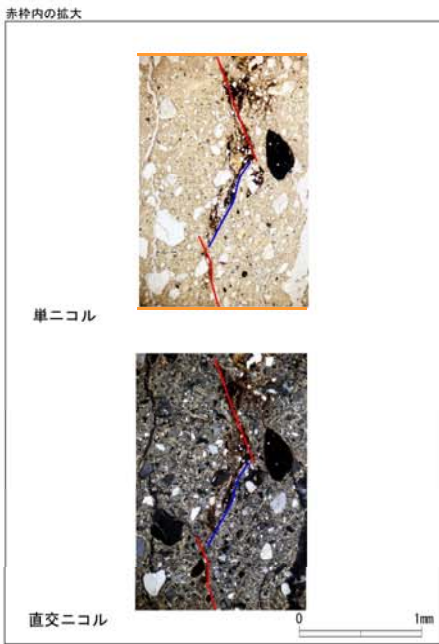
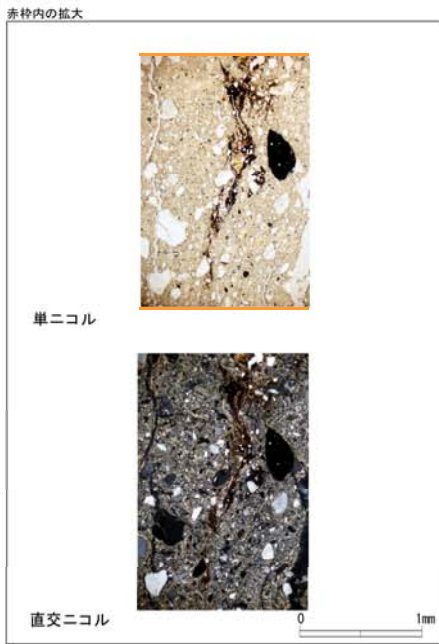
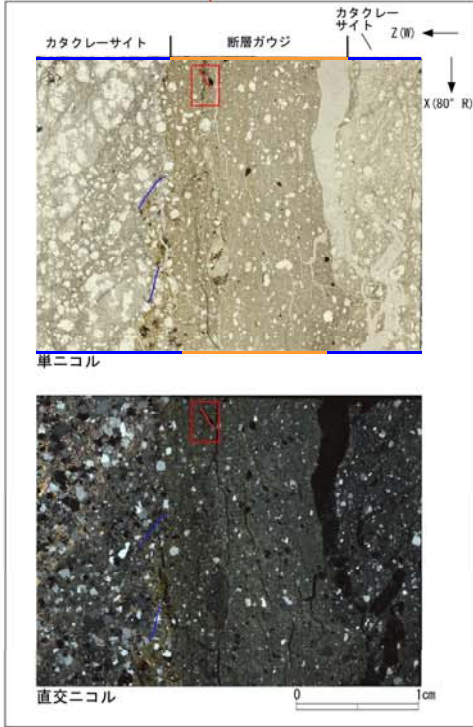
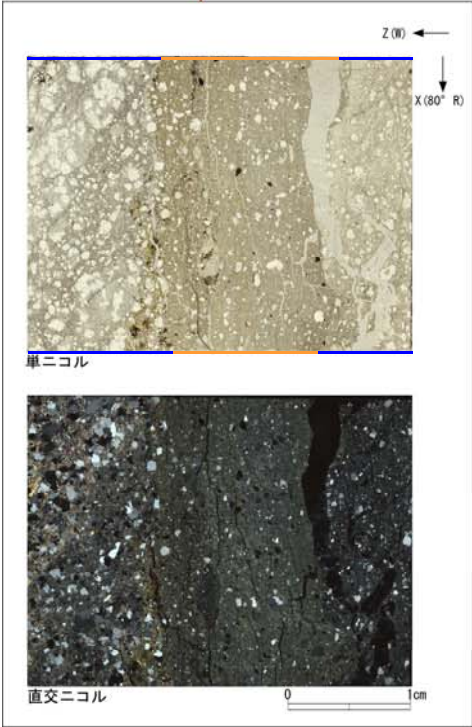
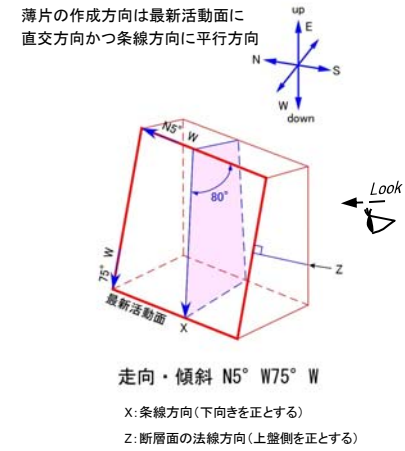
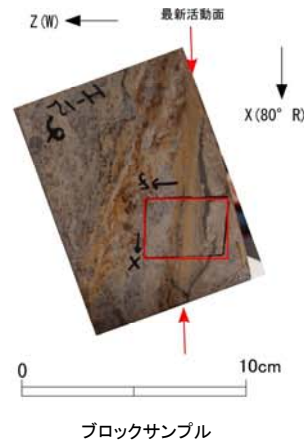
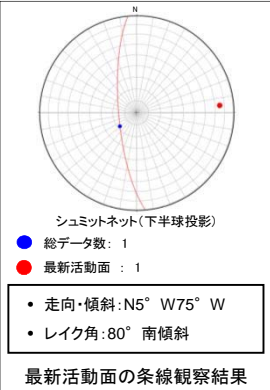
0 10cm  
ブロックサンプル



- 凡例
- 断層ガウジ
  - カタクレーサイト
  - R1面
  - P面

# D-1 破碎帯 薄片試料観察 (H24-H-15 深度11.04m)

H24-H-15のボーリングコア(深度11.04m)から採取した薄片試料の観察結果によれば最新活動面の変位センスは、正断層成分が卓越する。

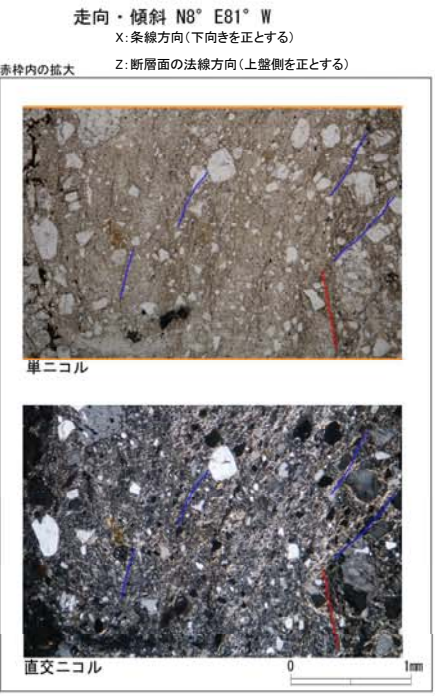
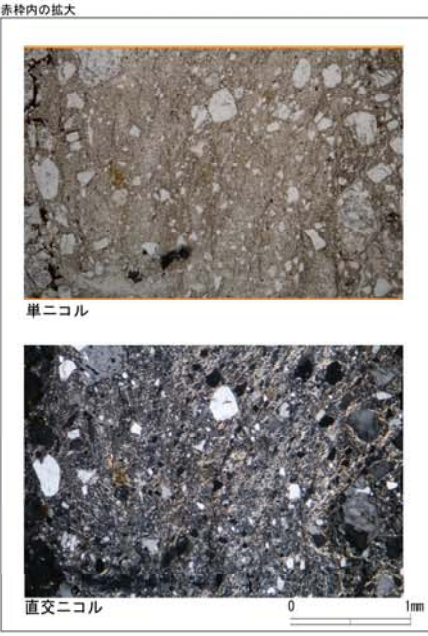
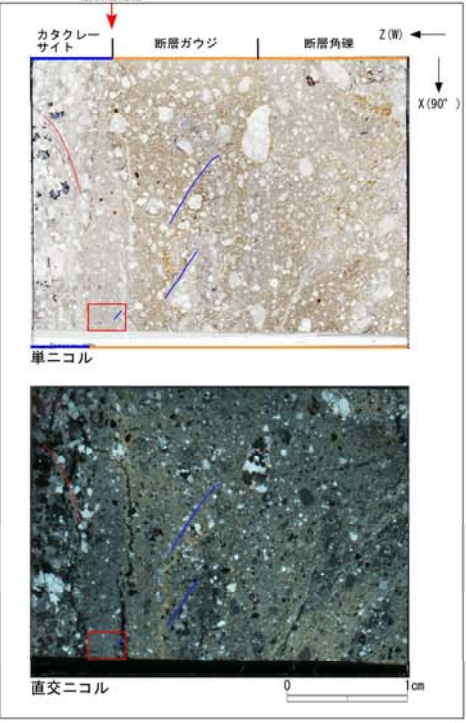
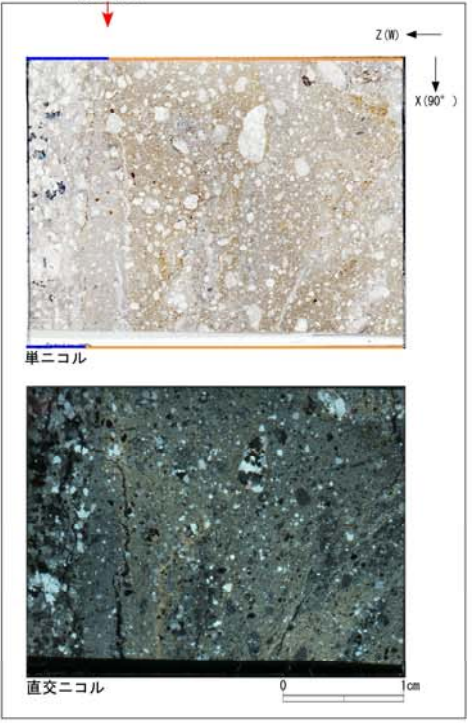
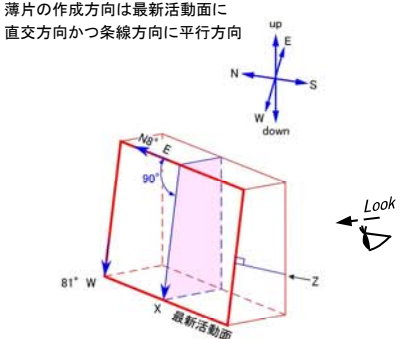
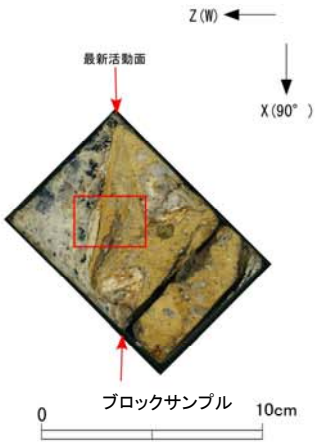
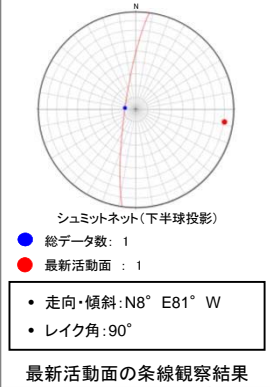


- 凡例
- 断層ガウジ
  - カタクレーサイト
  - R1面
  - P面



# D-1 破砕帯 薄片試料観察 (H24-H-13 深度16.86m)

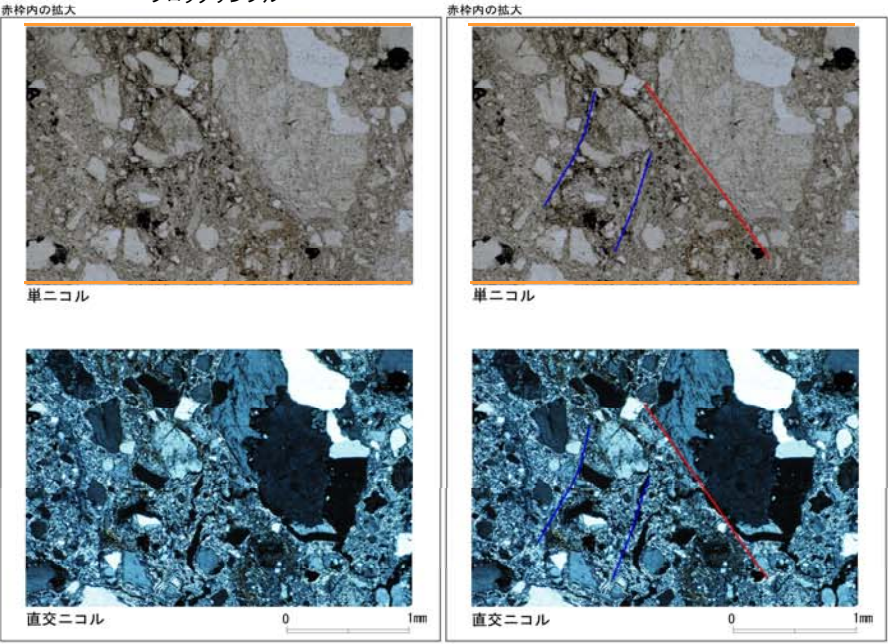
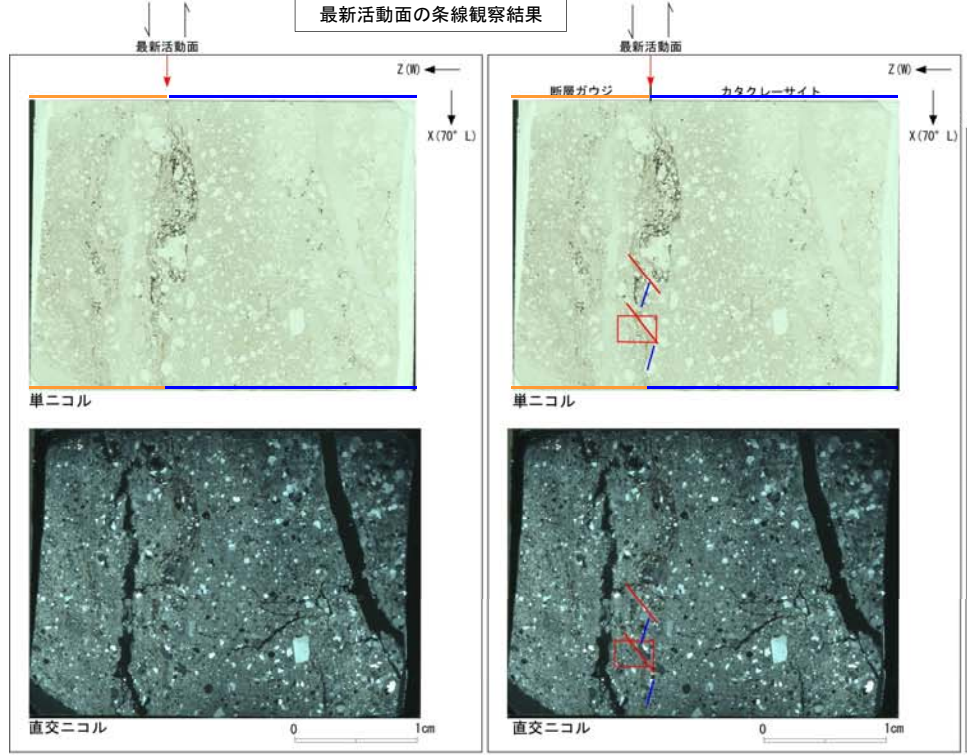
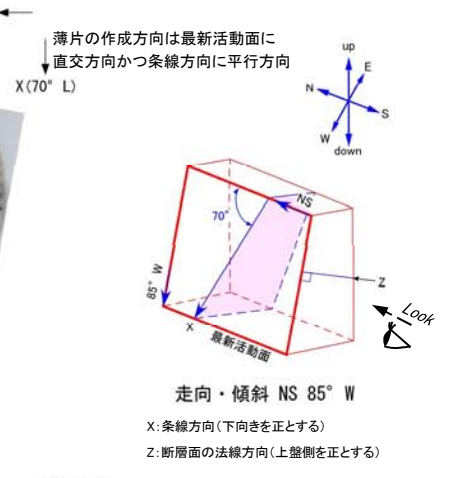
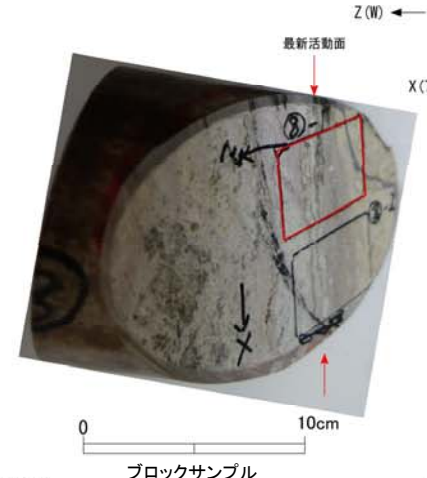
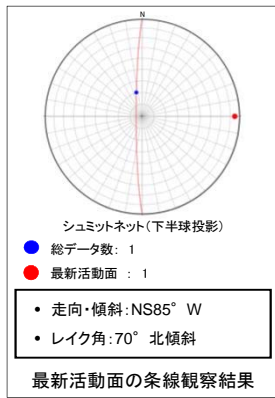
H24-H-13のボーリングコア(深度16.86m)から採取した薄片試料の観察結果によれば最新活動面の変位センスは、正断層成分が卓越する。



- 凡例
- 断層ガウジ・断層角礫
  - カタクレーサイト
  - R1面
  - P面

# D-1 破碎帯 薄片試料観察 (H27-F-5 深度18.84m)

H27-F-5のボーリングコア(深度18.84m)から採取した薄片試料の観察結果によれば最新活動面の変位センスは、正断層成分が卓越する。

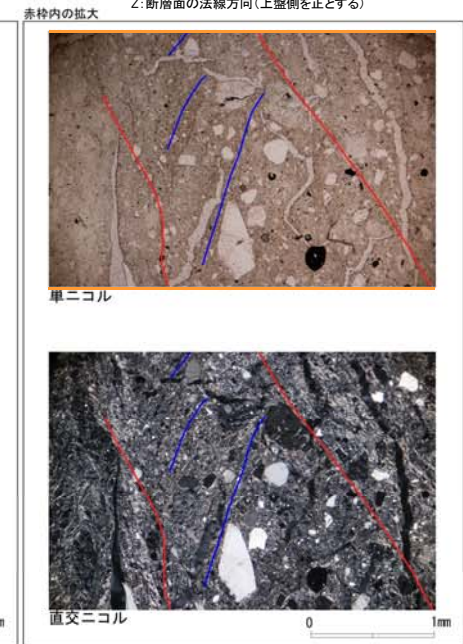
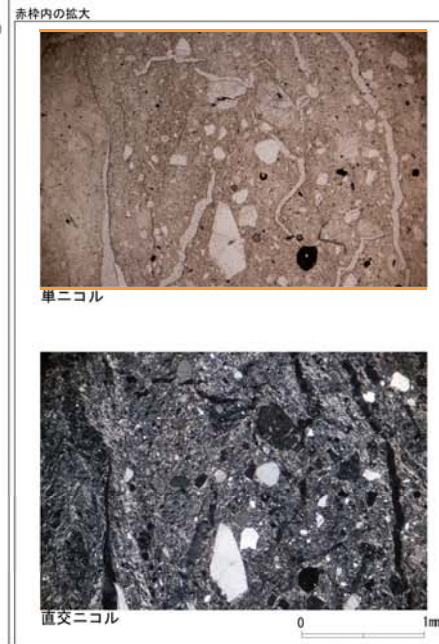
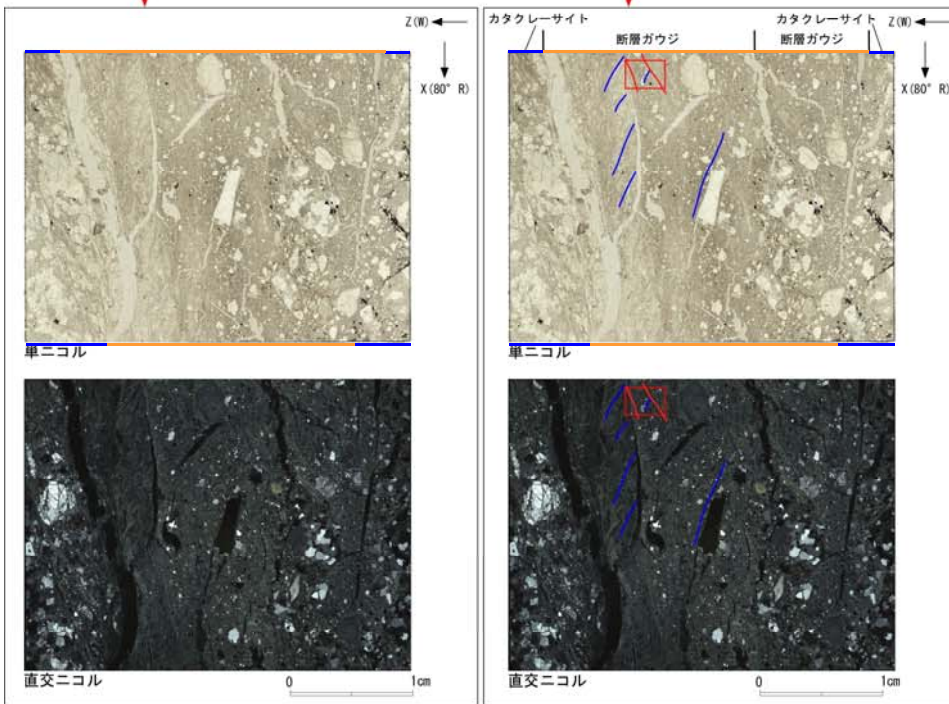
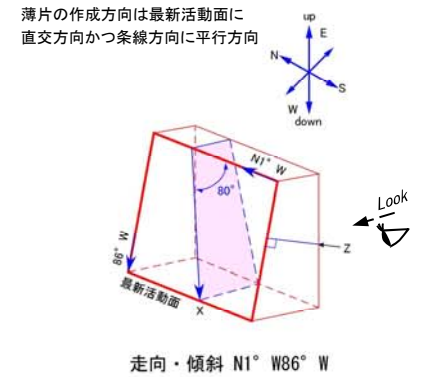
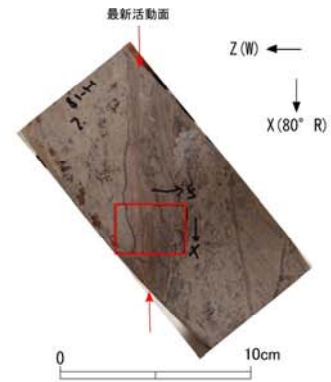
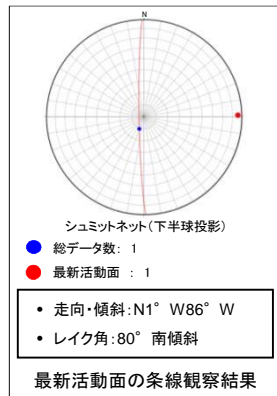


- 凡例
- 断層ガウジ
  - カタクレーサイト
  - R1面
  - P面



# D-1 破碎帯 薄片試料観察 (H24-H-18 深度29.81m)

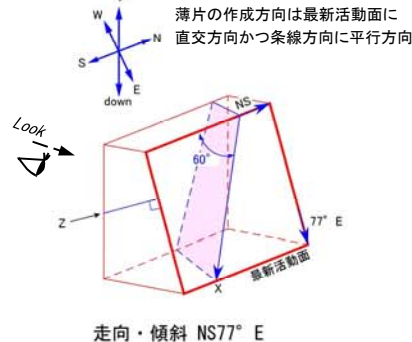
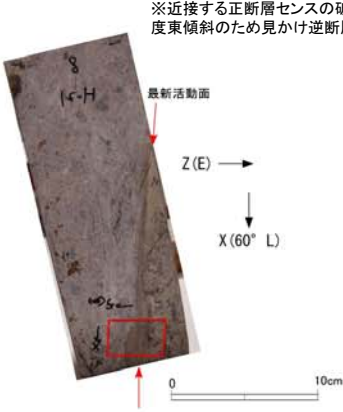
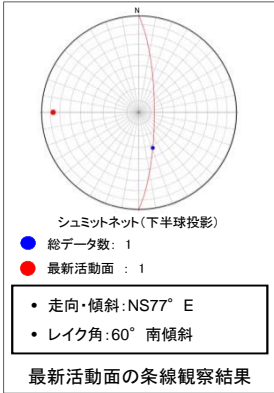
H24-H-18のボーリングコア(深度29.81m)から採取した薄片試料の観察結果によれば最新活動面の変位センスは、正断層成分が卓越する。



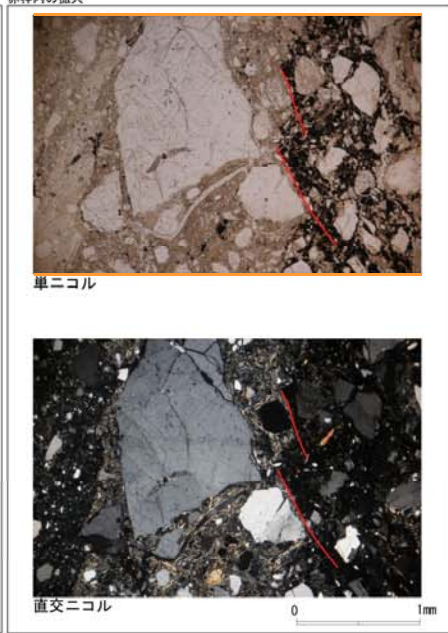
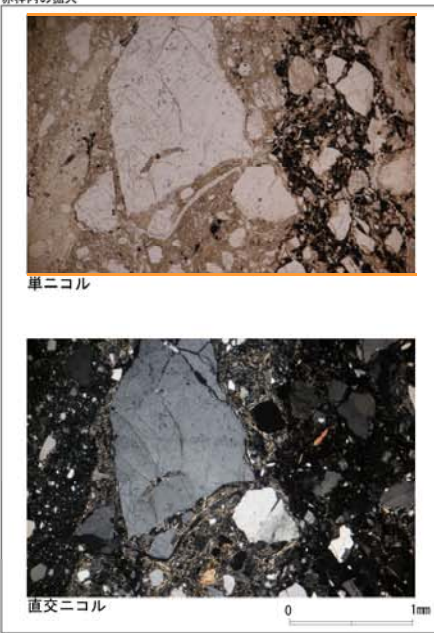
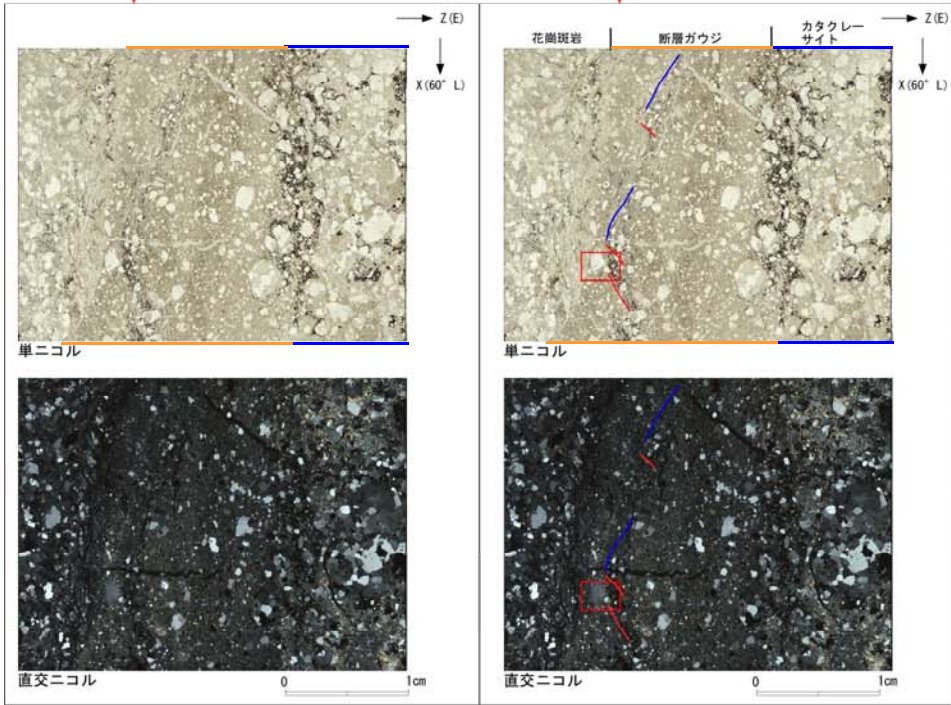
- 凡例
- 断層ガウジ
  - カタクレーサイト
  - R1面
  - P面

# D-1 破碎帯 薄片試料観察 (H24-H-21 深度18.78m)

H24-H-21のボーリングコア(深度18.78m)から採取した薄片試料の観察結果によれば最新活動面の変位センスは、左ずれを伴う逆(正)断層である※。



X: 条線方向(下向きを正とする)  
 Z: 断層面の法線方向(上盤を正とする)

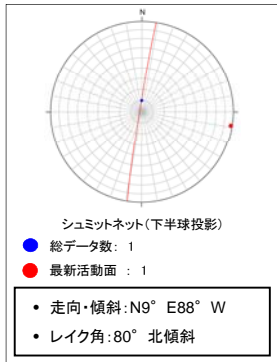


- 凡例
- 断層ガウジ
  - カタクレーサイト
  - R1面
  - P面

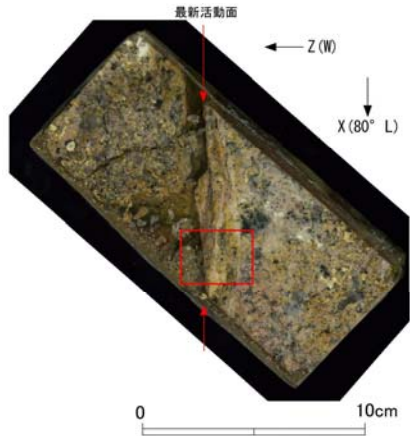


# D-1破碎帯 薄片試料観察(H24-D1-1 深度60.12m)

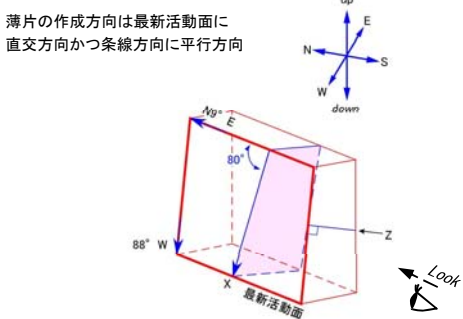
H24-D1-1のボーリングコア(深度60.12m)から採取した薄片試料の観察結果によれば最新活動面の変位センスは、正断層成分が卓越する。



最新活動面の条線観察結果

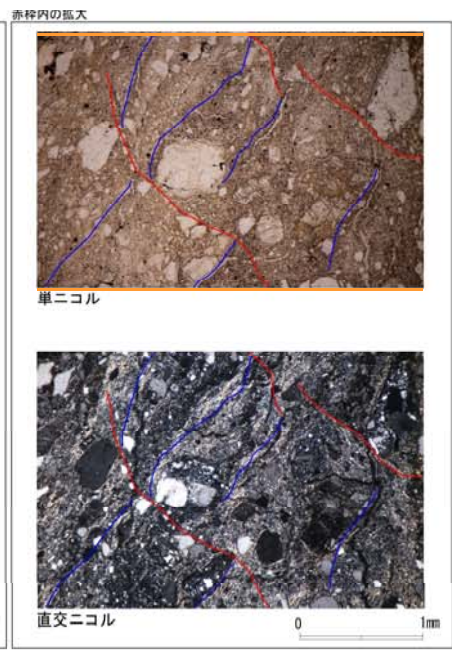
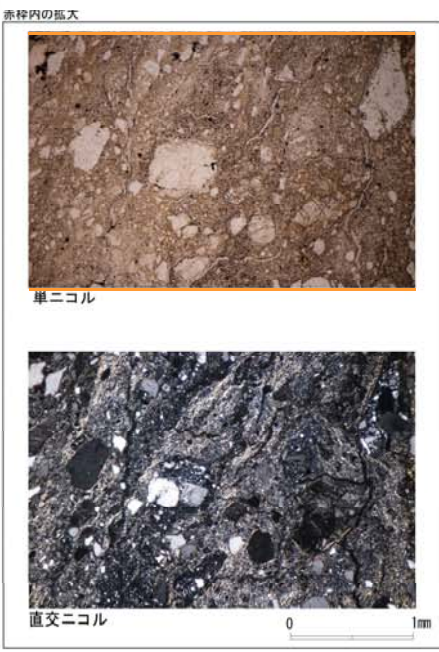
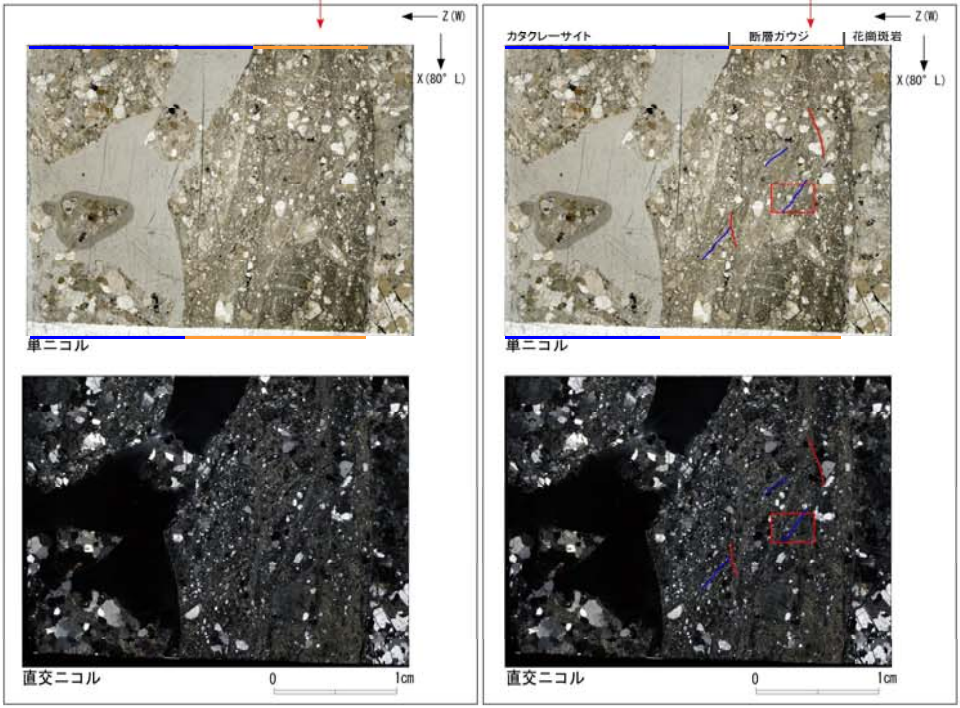


ブロックサンプル



走向・傾斜 N9° E88° W

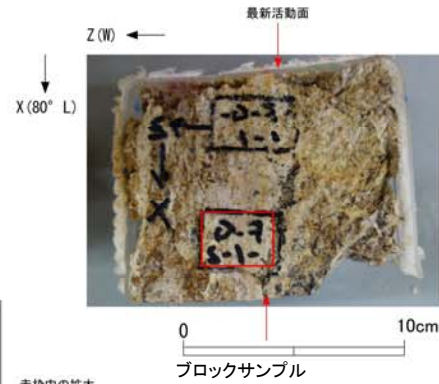
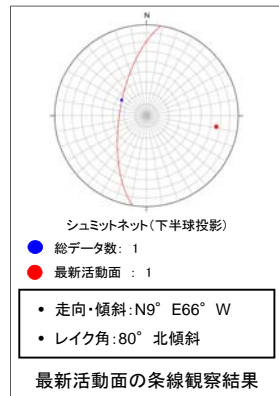
X: 条線方向(下向きを正とする)  
Z: 断層面の法線方向(上盤側を正とする)



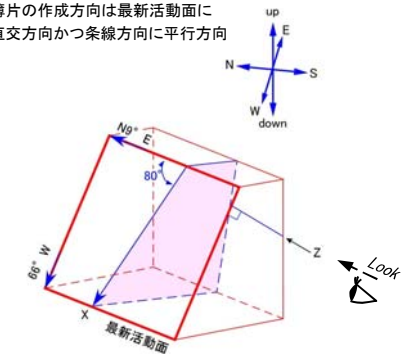
- 凡例
- 断層ガウジ
- カタクレーサイト
- R1面
- P面

# D-1 破碎帯 薄片試料観察 (D-1 トレンチふげん道路ピット)

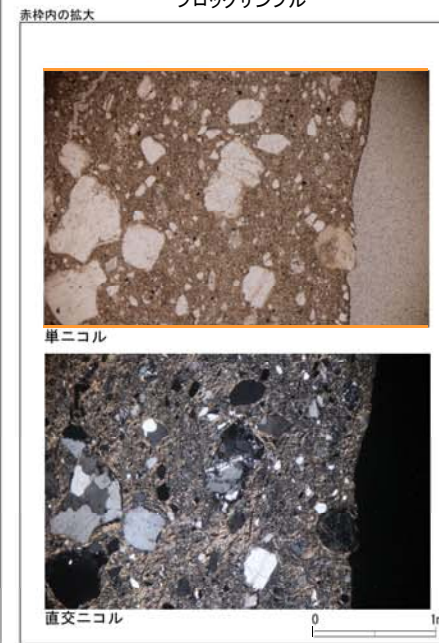
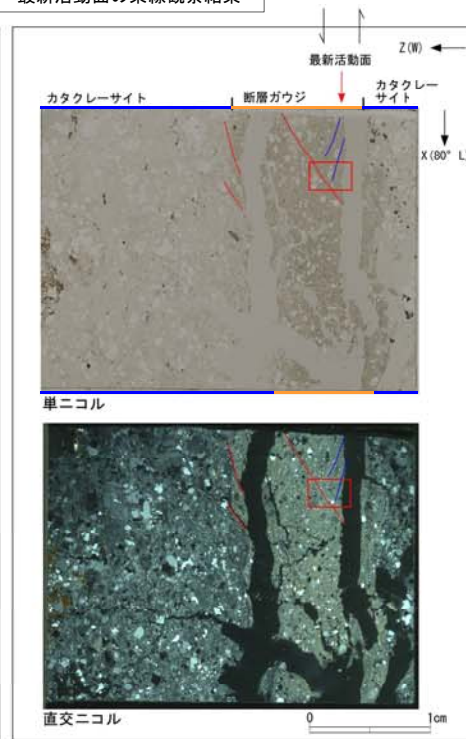
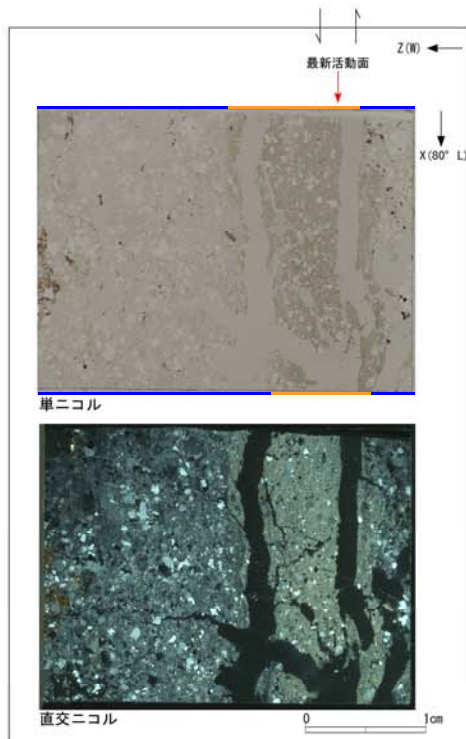
D-1 トレンチふげん道路ピットから採取した薄片試料の観察結果によれば最新活動面の変位センスは、正断層成分が卓越する。



薄片の作成方向は最新活動面に直交方向かつ条線方向に平行方向



走向・傾斜 N9° E66° W  
X: 条線方向(下向きを正とする)  
Z: 断層面の法線方向(上盤側を正とする)

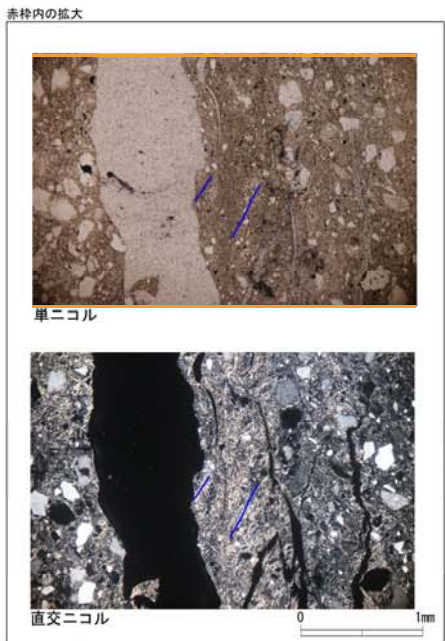
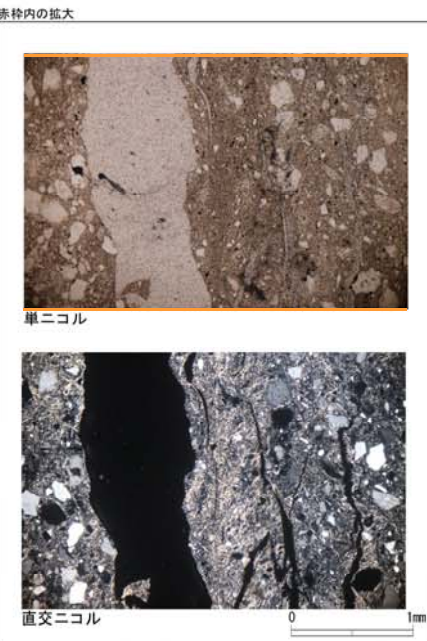
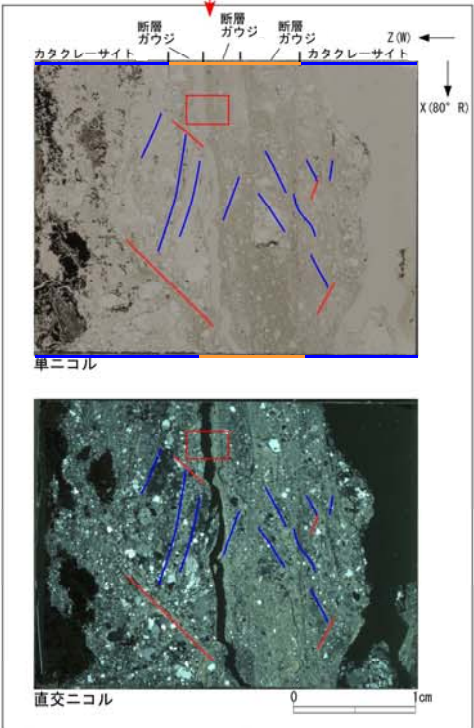
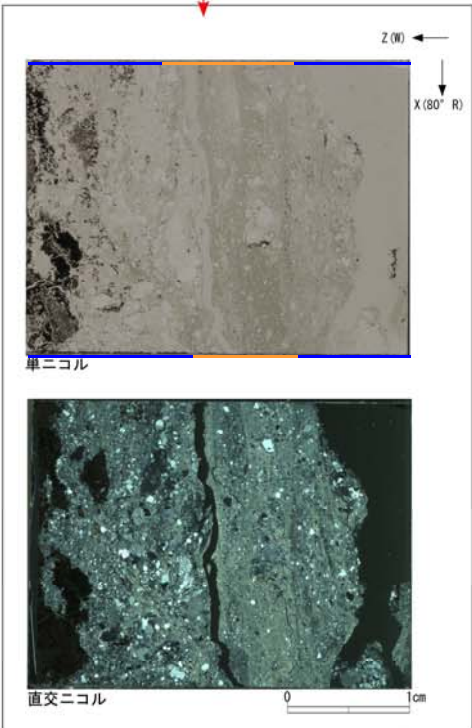
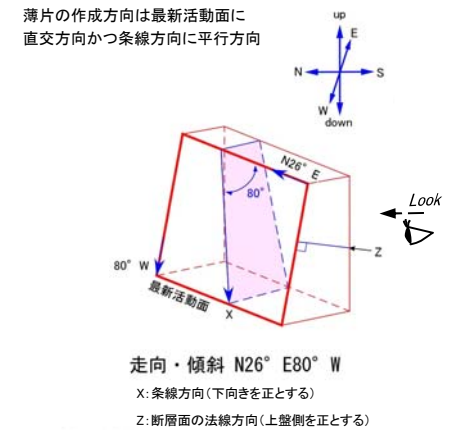
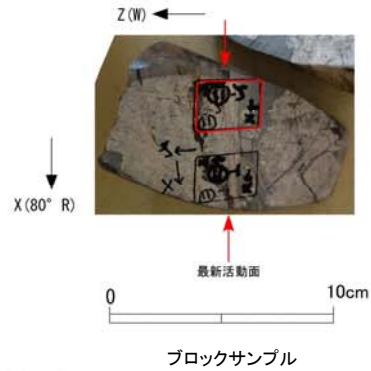
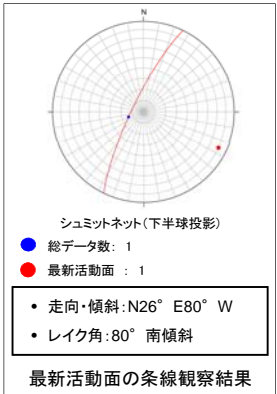


- 凡例
- 断層ガウジ
  - カタクレーサイト
  - R1面
  - P面



# D-1 破碎帯 薄片試料観察 (H27-B-1 深度59.85m)

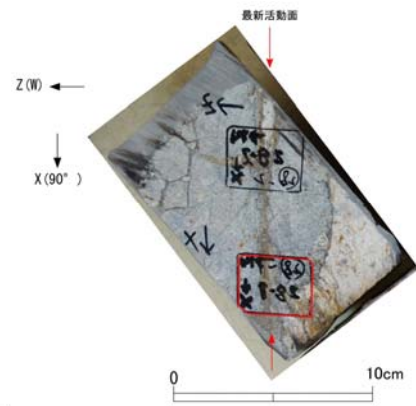
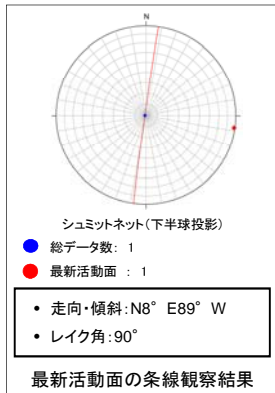
H27-B-1のボーリングコア(深度59.85m)から採取した薄片試料の観察結果によれば最新活動面の変位センスは、正断層成分が卓越する。



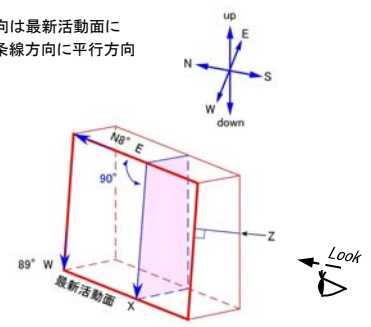
- 凡例
- 断層ガウジ
  - カタクレーサイト
  - R1面
  - P面

# D-1 破碎帯 薄片試料観察 (H27-B-2 深度61.43m)

H27-B-2のボーリングコア(深度61.43m)から採取した薄片試料の観察結果によれば最新活動面の変位センスは、正断層成分が卓越する。

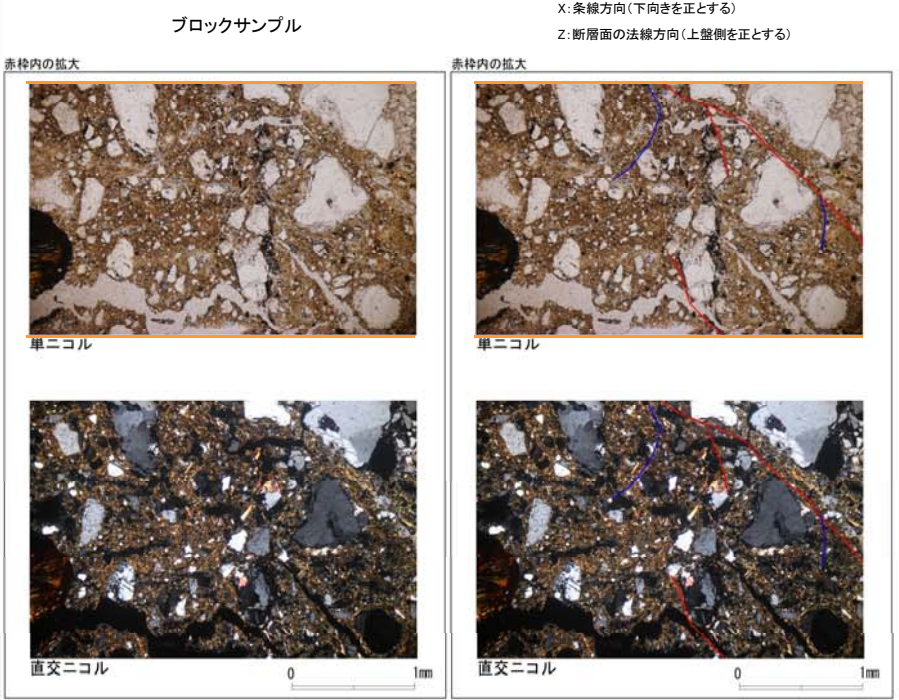
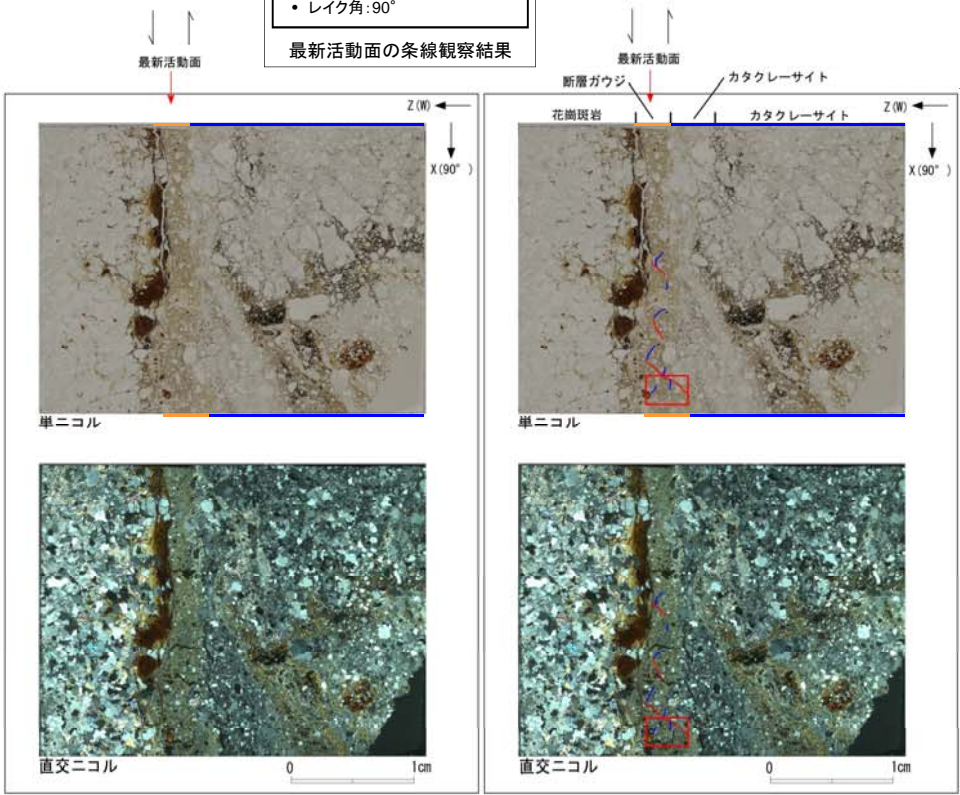


薄片の作成方向は最新活動面に  
直交方向かつ条線方向に平行方向



走向・傾斜 N8° E89° W

X: 条線方向(下向きを正とする)  
Z: 断層面の法線方向(上盤側を正とする)



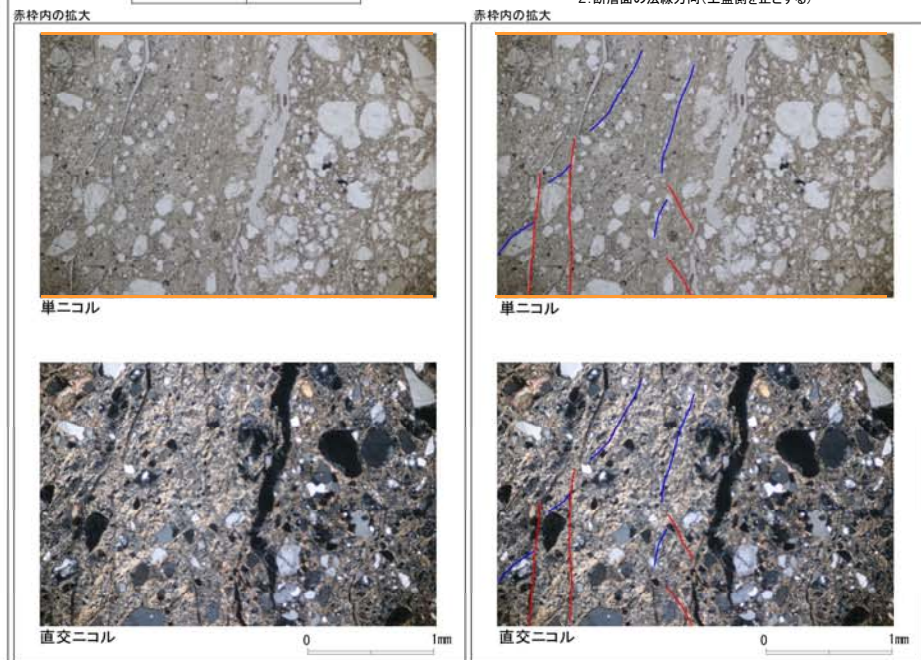
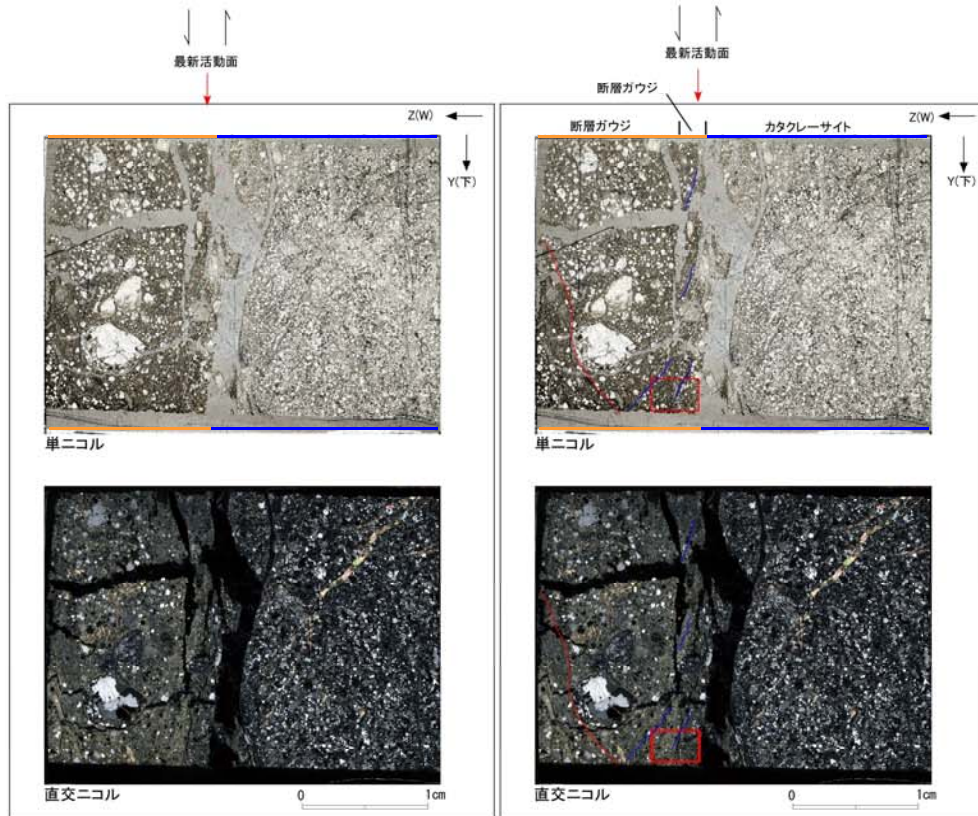
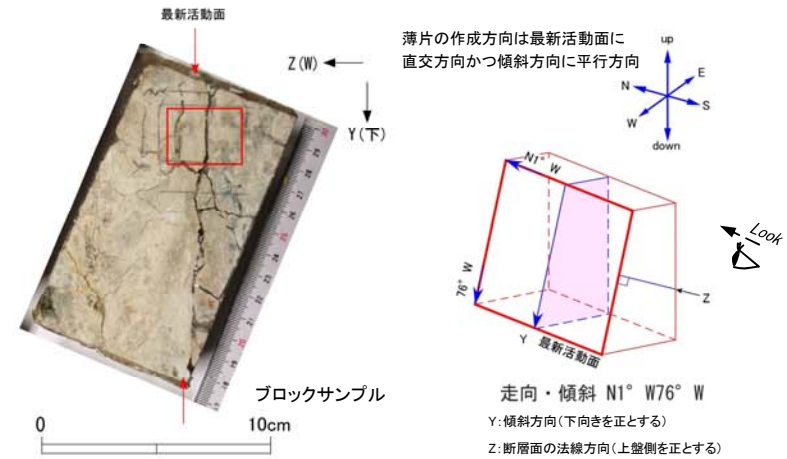
- 凡例
- 断層ガウジ
  - カタクレーサイト
  - R1面
  - P面



# D-1破碎帯 薄片試料観察(H24-B14-2 深度109.16m)(その1)

H24-B14-2のボーリングコア(深度109.16m)から採取した薄片試料の観察結果によれば最新活動面の変位センスは、右ずれを伴う正断層である。

条線データなし



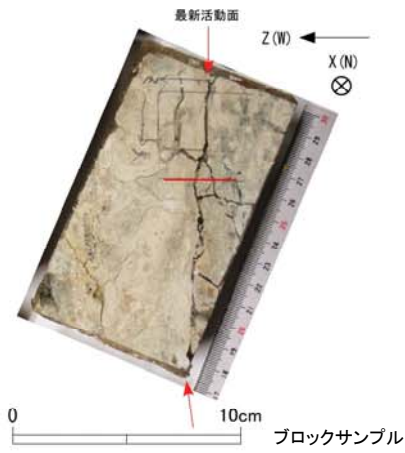
- 凡例
- 断層ガウジ
- カタクレーサイト
- R1面
- P面

鉛直断面:最新活動面の変位センスは、正断層成分が卓越する。

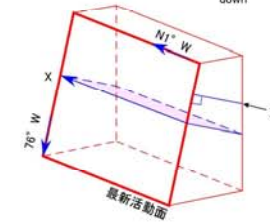
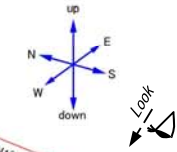
# D-1破碎帯 薄片試料観察(H24-B14-2 深度109.16m)(その2)

H24-B14-2のボーリングコア(深度109.16m)から採取した薄片試料の観察結果によれば最新活動面の変位センスは、右ずれを伴う正断層である。

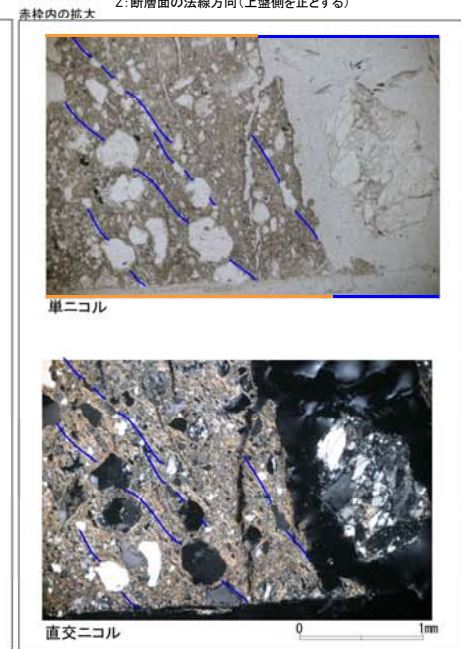
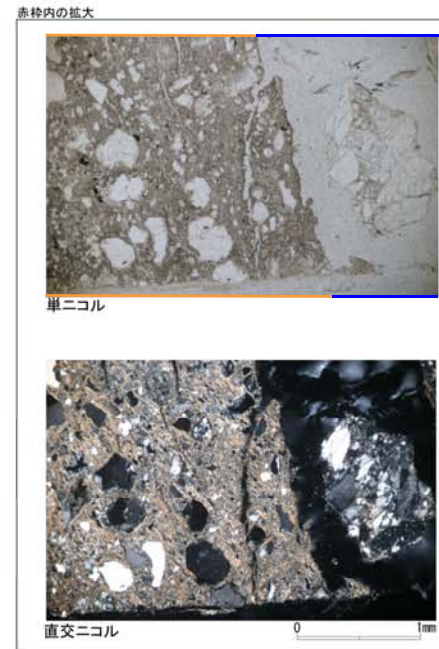
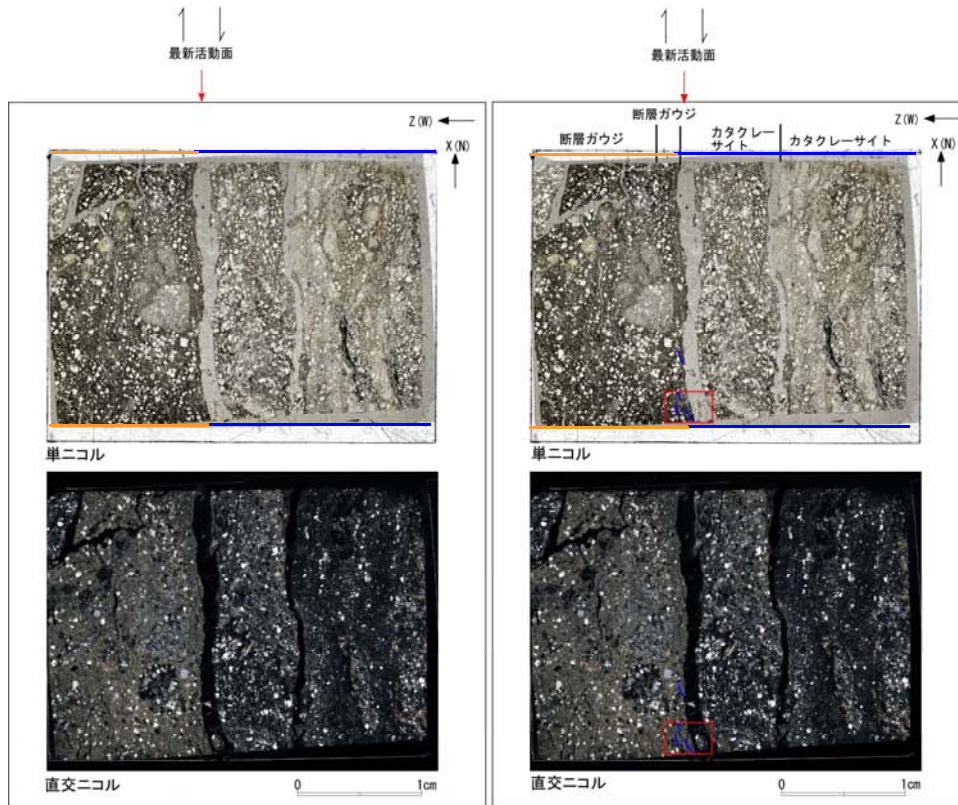
条線データなし



薄片の作成方向は最新活動面に直交方向かつ走向方向に平行方向



走向・傾斜 N1° W76° W  
 X: 走向方向(北向きを正とする)  
 Z: 断層面の法線方向(上盤側を正とする)



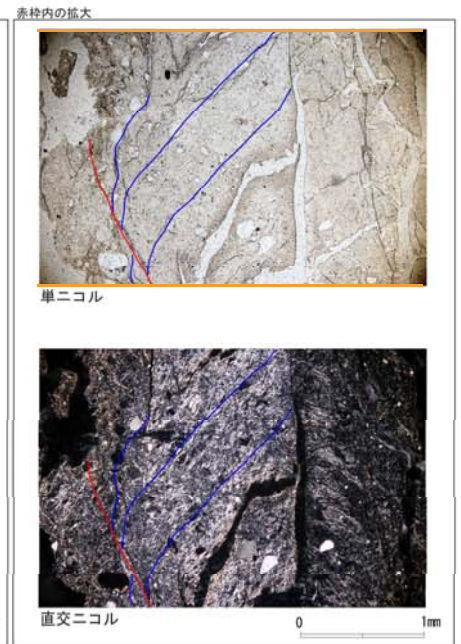
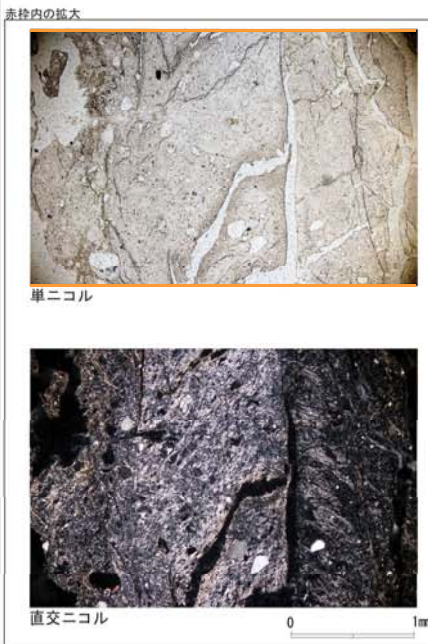
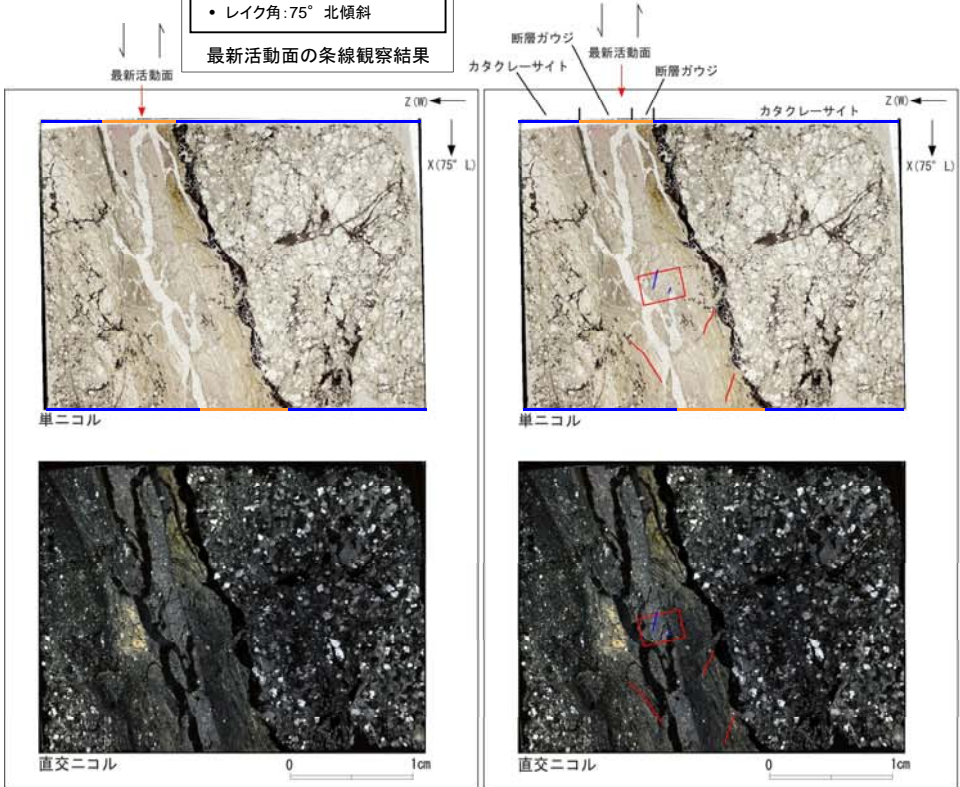
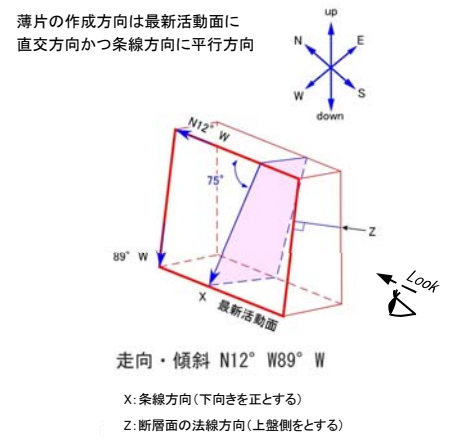
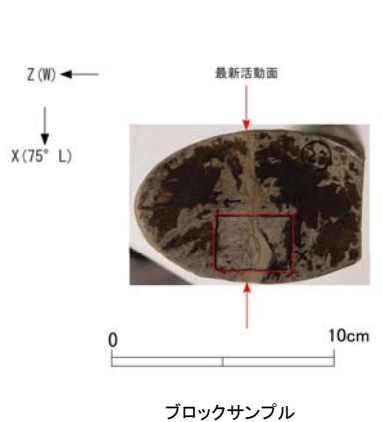
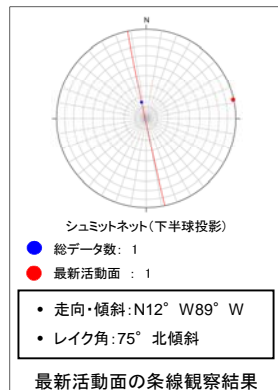
- 凡例
- 断層ガウジ
- カタクレーサイト
- R1面
- P面

水平断面:最新活動面の変位センスは、右ずれ成分が卓越する。



# D-1破碎帯 薄片試料観察(H24-D1-3 深度34.40m)

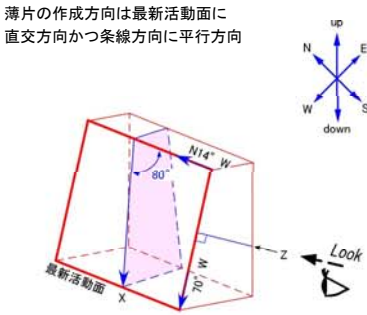
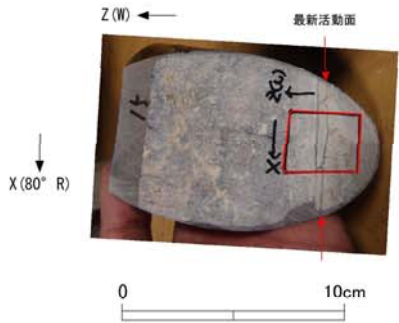
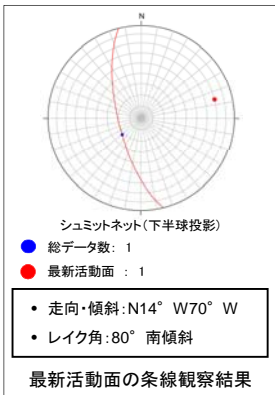
H24-D1-3のボーリングコア(深度34.40m)から採取した薄片試料の観察結果によれば最新活動面の変位センスは、正断層成分が卓越する。



- 凡例
- 断層ガウジ
  - カタクレーサイト
  - R1面
  - P面

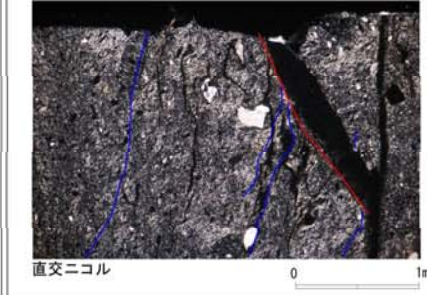
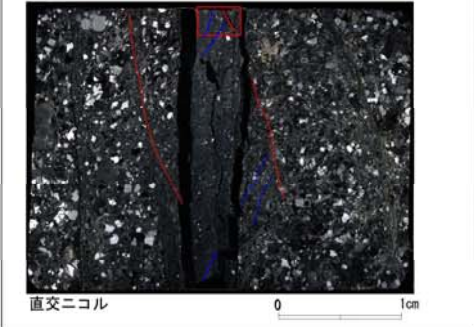
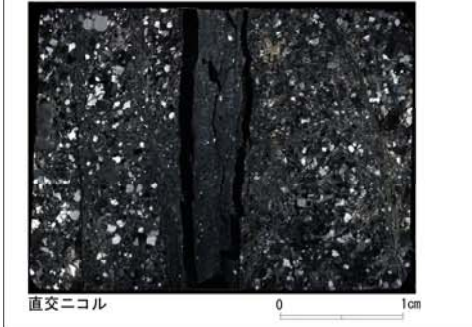
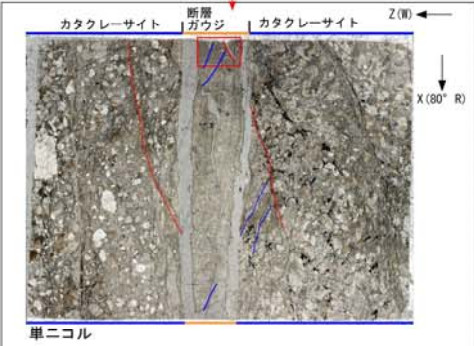
# D-1破碎帯 薄片試料観察(H24-D1-2 深度12.85m)

H24-D1-2のボーリングコア(深度12.85m)から採取した薄片試料の観察結果によれば最新活動面の変位センスは、正断層成分が卓越する。



走向・傾斜 N14° W70° W

X: 条線方向(下向きを正とする)  
 Z: 断層面の法線方向(上盤側をとる)

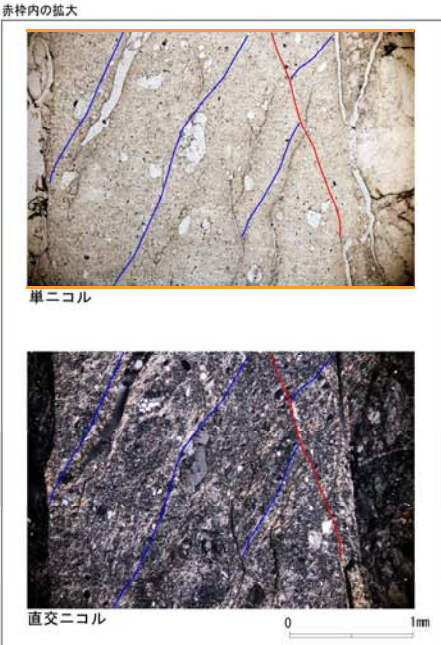
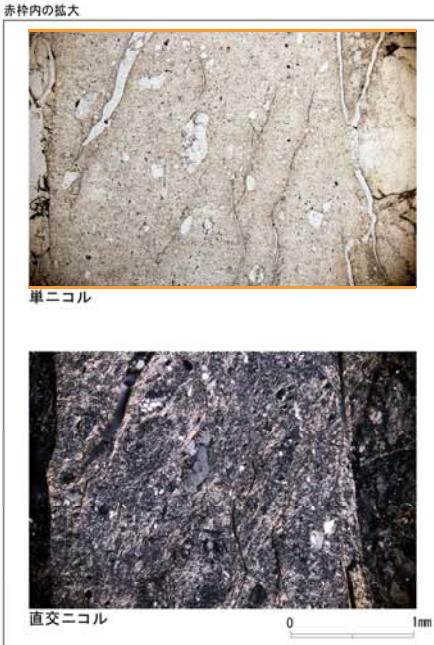
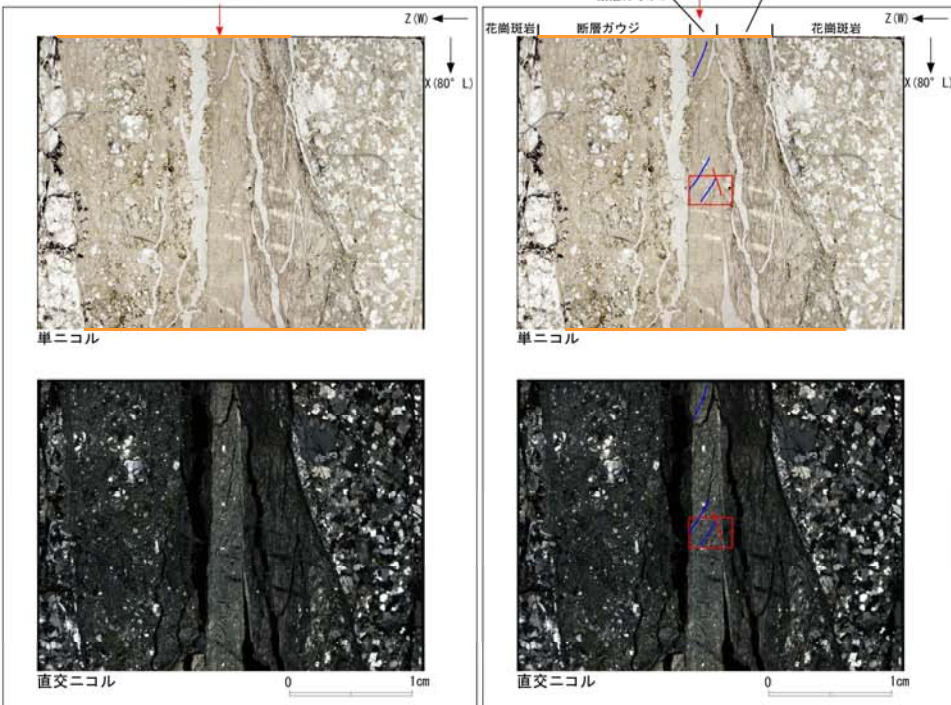
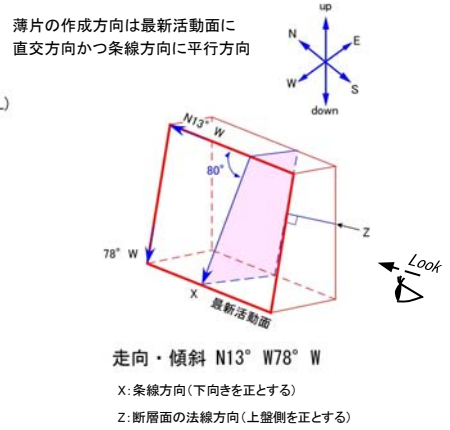
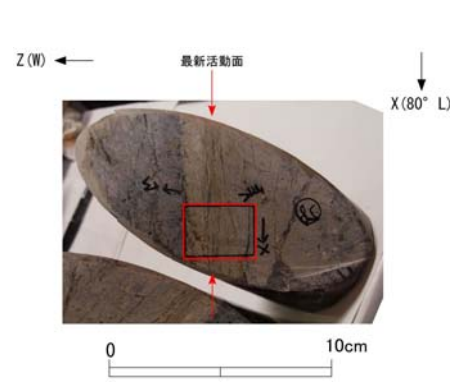
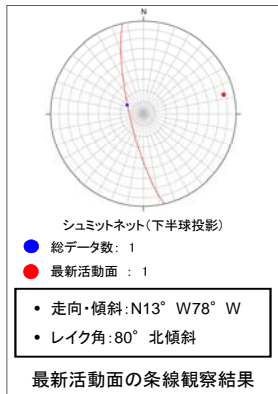


- 凡例
- 断層ガウジ
  - カタクレーサイト
  - R1面
  - P面



# D-1破碎帯 薄片試料観察(H24-D1-4 深度10.91m)

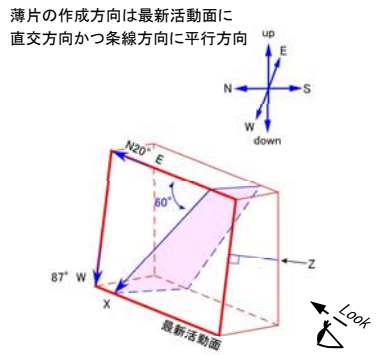
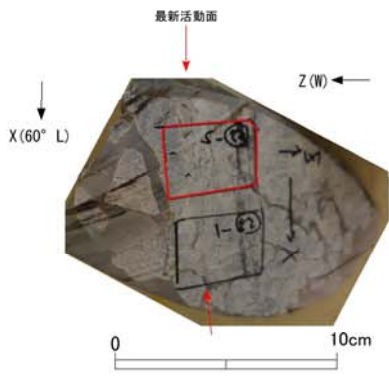
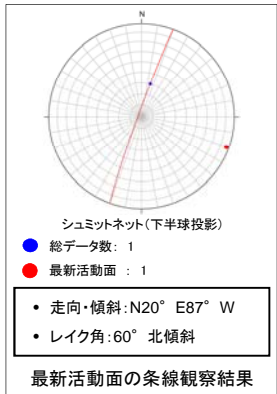
H24-D1-4のボーリングコア(深度10.91m)から採取した薄片試料の観察結果によれば最新活動面の変位センスは、正断層成分が卓越する。



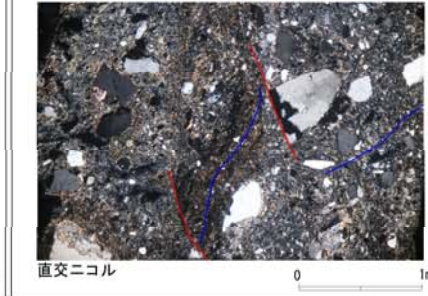
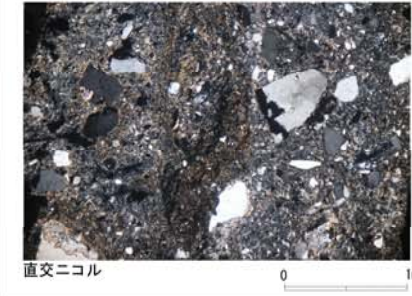
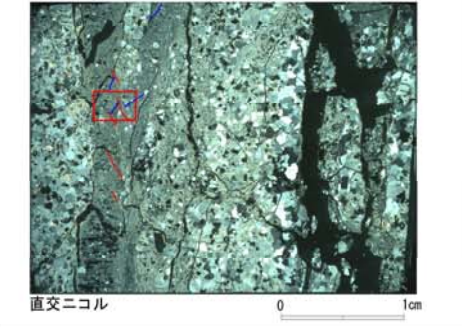
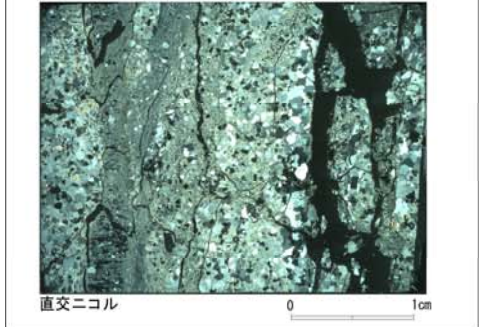
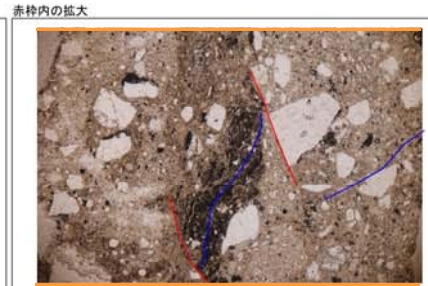
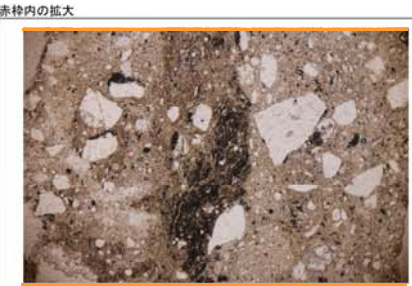
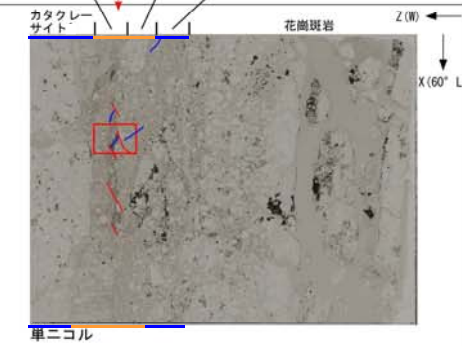
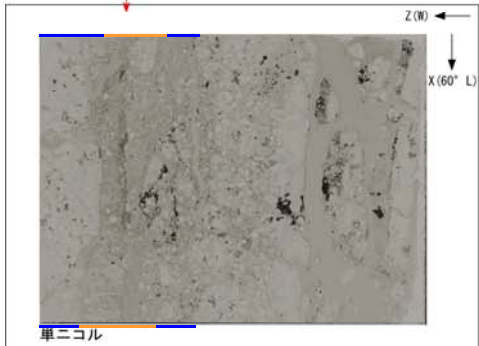
- 凡例
- 断層ガウジ
  - カタクレーサイト
  - R1面
  - P面

# D-1 破碎帯 薄片試料観察 (H27-B-3 深度119.15m)

H27-B-3のボーリングコア(深度119.15m)から採取した薄片試料の観察結果によれば最新活動面の変位センスは、右ずれを伴う正断層である。



※切断面に記載されているZ方向は誤り  
ブロックサンプル

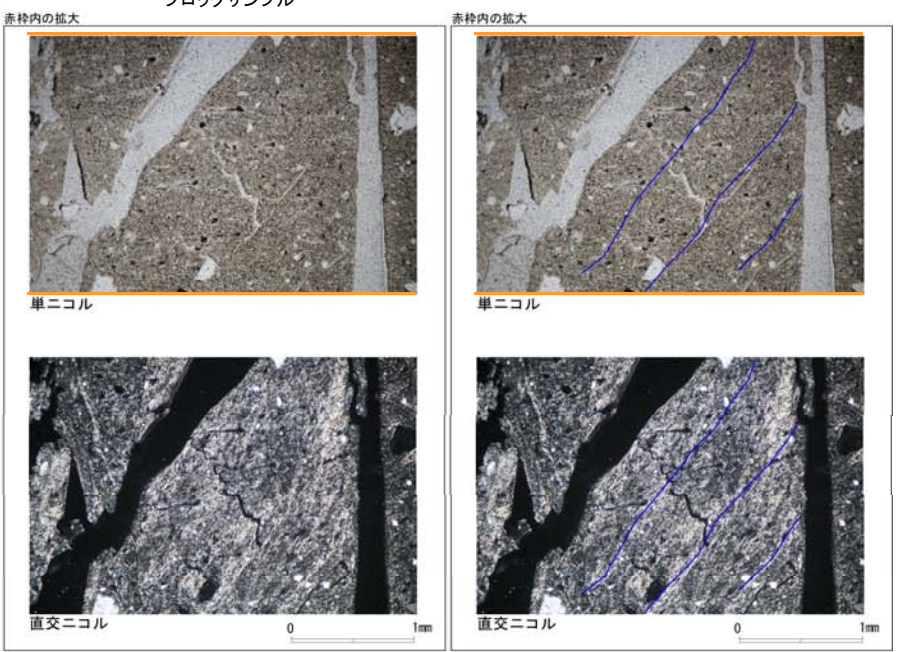
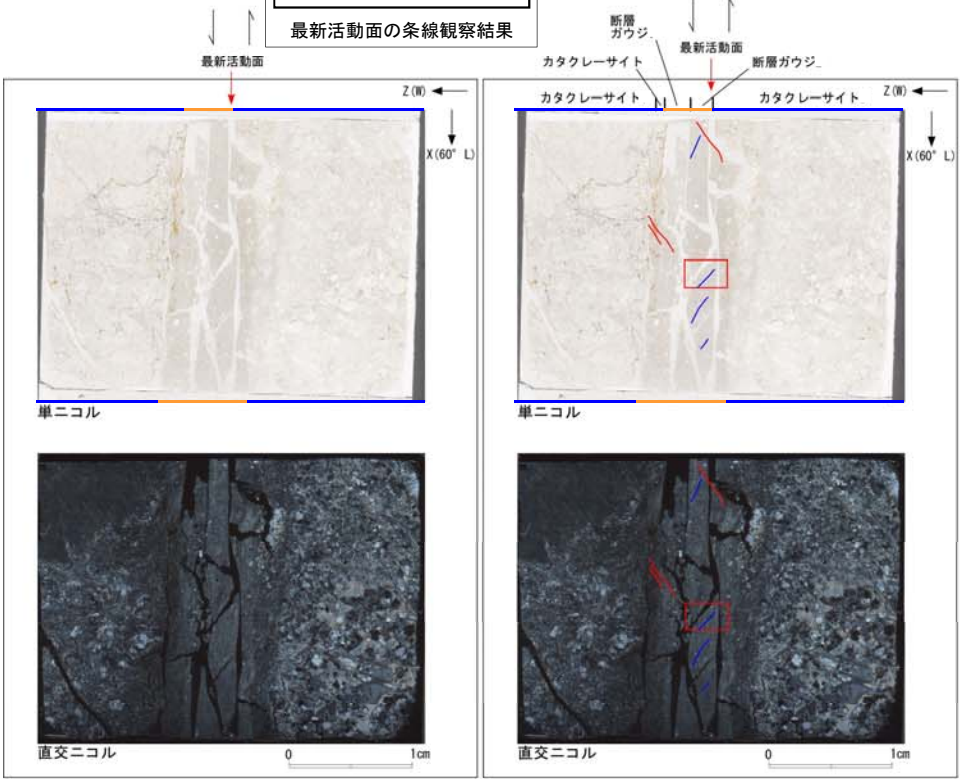
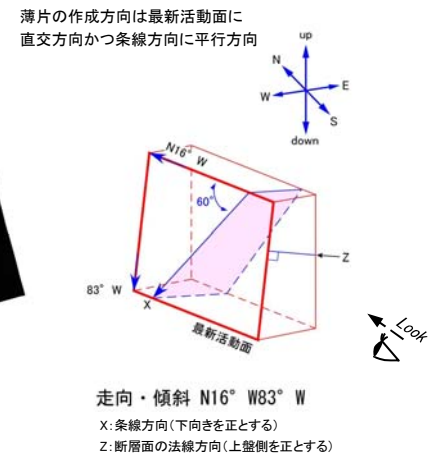
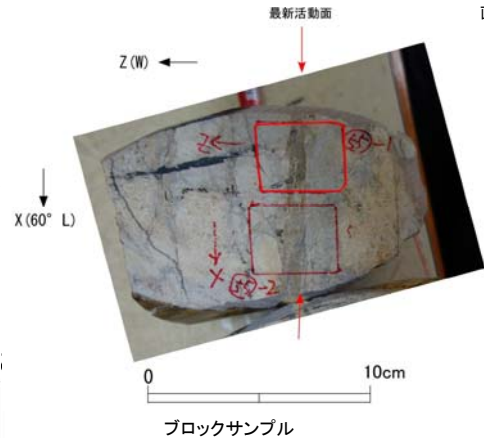
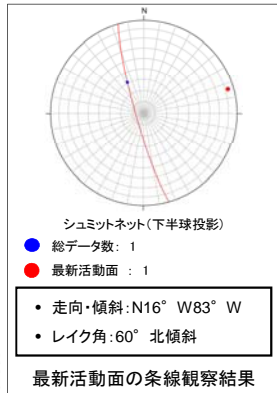


- 凡例
- 断層ガウジ
  - カタクレーサイト
  - R1面
  - P面



# D-1 破碎帯 薄片試料観察 (H27-B-4' 深度24.24m)

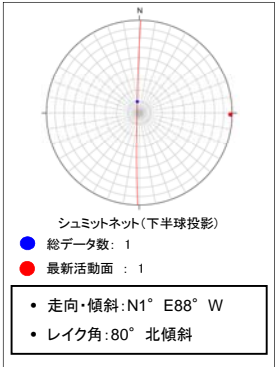
H27-B-4' のボーリングコア (深度24.24m) から採取した薄片試料の観察結果によれば最新活動面の変位センスは、右ずれを伴う正断層である。



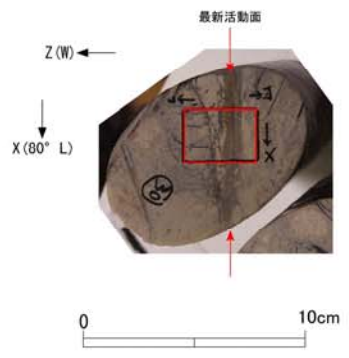
- 凡例
- 断層ガウジ
  - カタクレーサイト
  - R1面
  - P面

# D-1破碎帯 薄片試料観察(H24-D1-5 深度47.47m)

H24-D1-5のボーリングコア(深度47.47m)から採取した薄片試料の観察結果によれば最新活動面の変位センスは、正断層成分が卓越する。

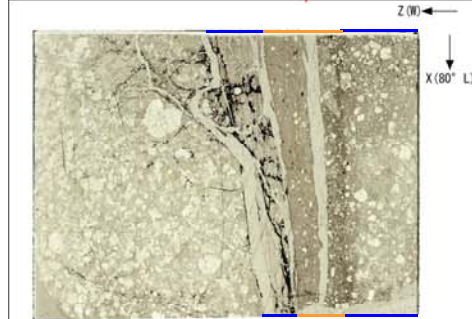
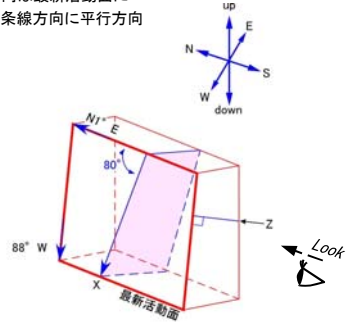


最新活動面の条線観察結果

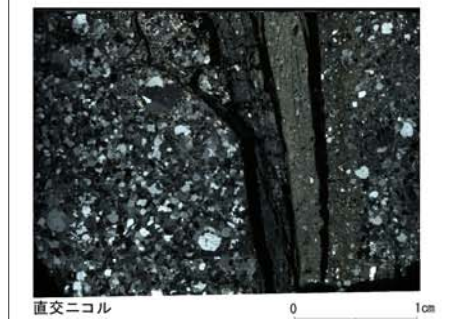


ブロックサンプル

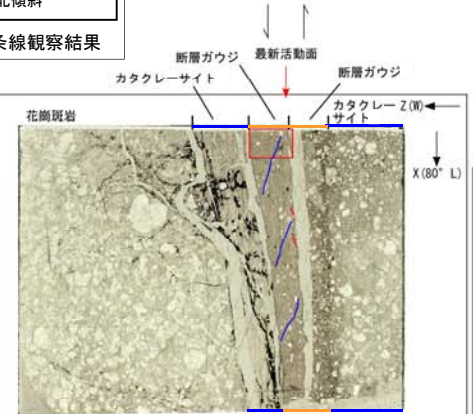
薄片の作成方向は最新活動面に  
直交方向かつ条線方向に平行方向



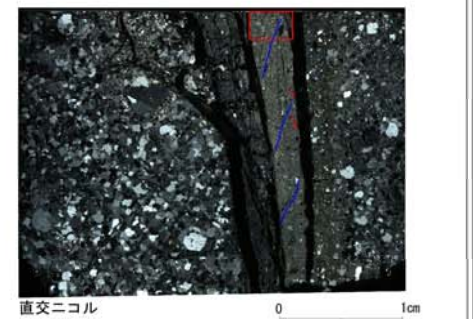
単ニコル



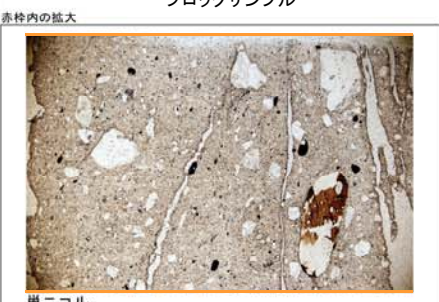
直交ニコル



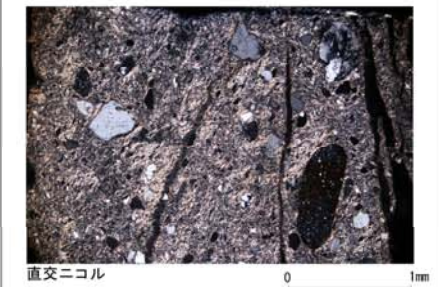
単ニコル



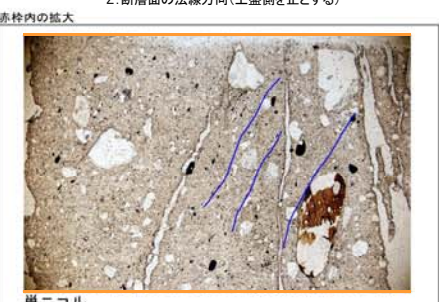
直交ニコル



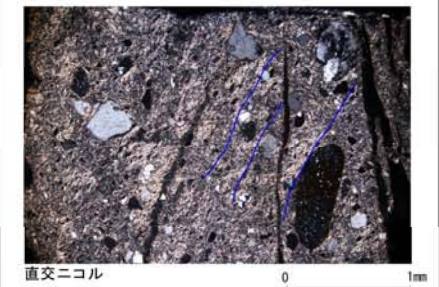
単ニコル



直交ニコル



単ニコル



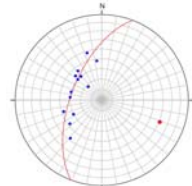
直交ニコル

- 凡例
- 断層ガウジ
  - カタクレーサイト
  - R1面
  - P面



# D-1 破碎帯 薄片試料観察(2号炉原子炉建屋南側斜面)

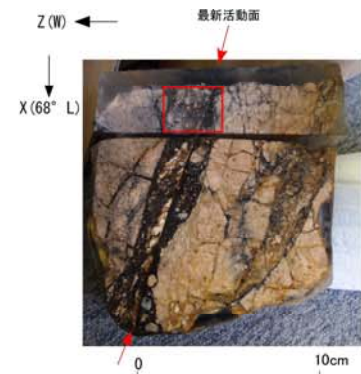
2号炉原子炉建屋南側斜面から採取した薄片試料の観察結果によれば最新活動面の変位センスは、正断層成分が卓越する。



シュミットネット(下半球投影)  
 ● 総データ数: 13  
 ● 最新活動面: 1  
 条線測定時に得られた走向傾斜の平均値

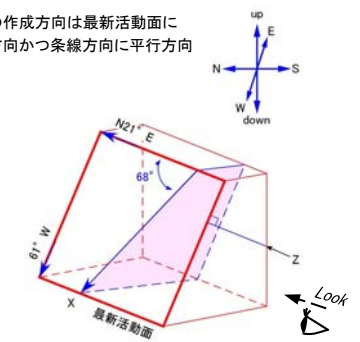
- 平均走向・傾斜: N21° E61° W
- 平均レイク角: 68° 北傾斜

最新活動面の条線観察結果



ブロックサンプル

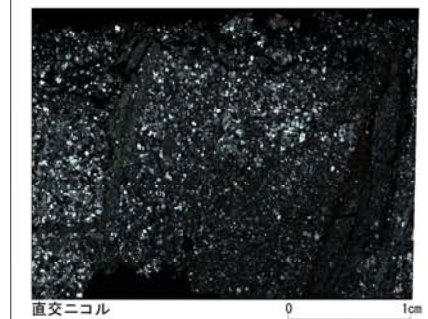
薄片の作成方向は最新活動面に  
直交方向かつ条線方向に平行方向



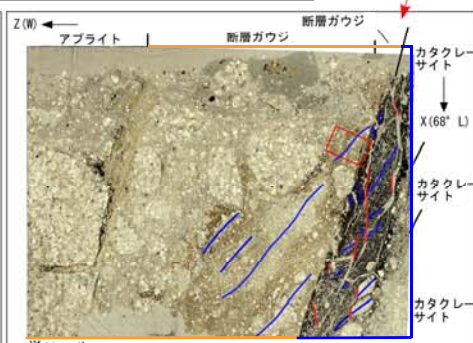
走向・傾斜 N21° E61° W  
 X: 条線方向(下向きを正とする)  
 Z: 断層面の法線方向(上盤側を正とする)



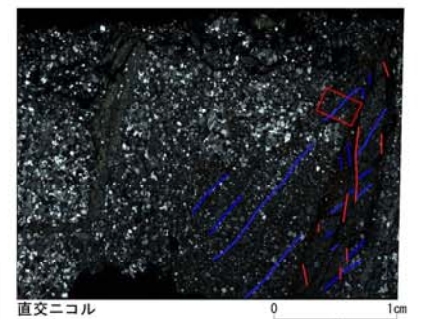
単ニコル



直交ニコル



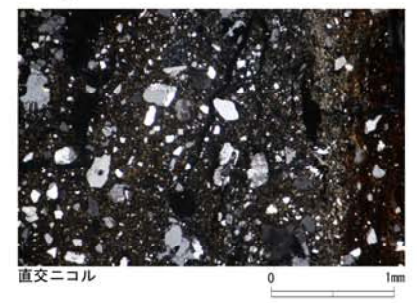
単ニコル



直交ニコル



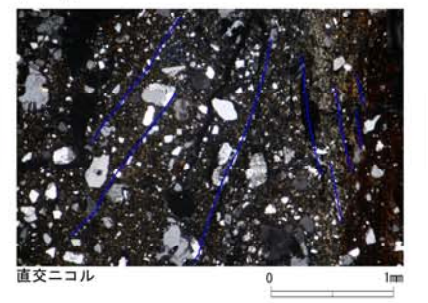
単ニコル



直交ニコル



単ニコル



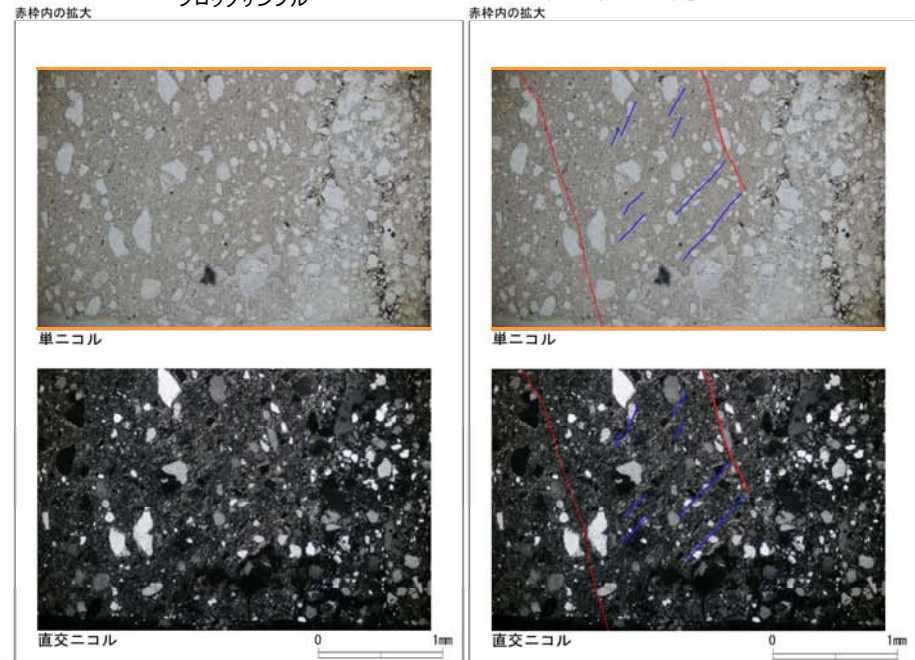
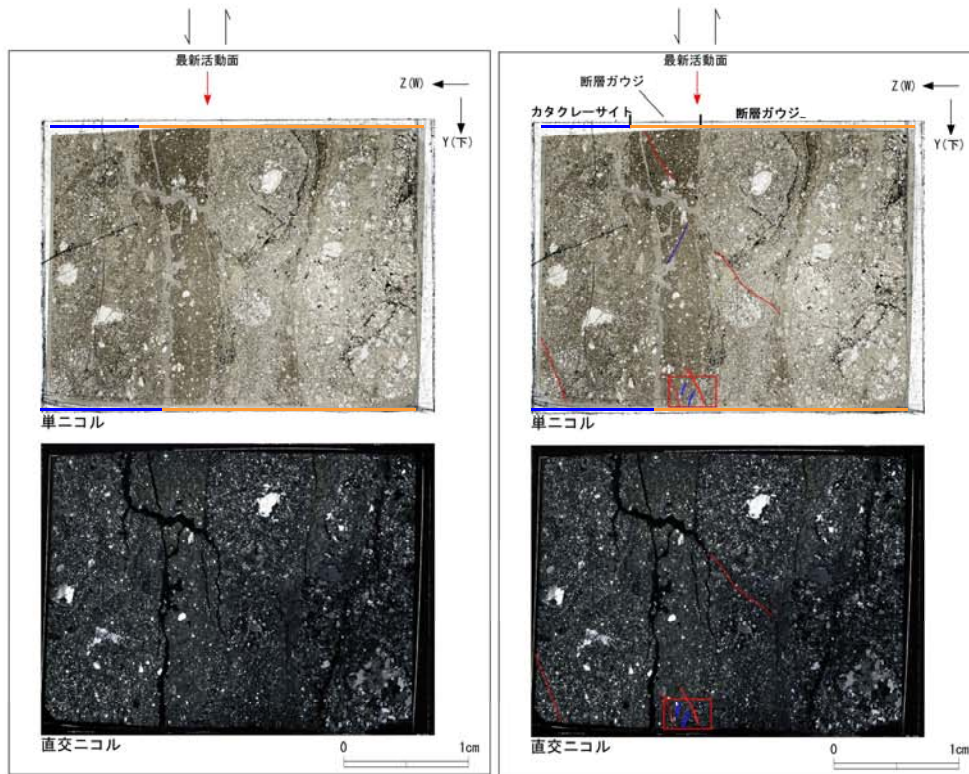
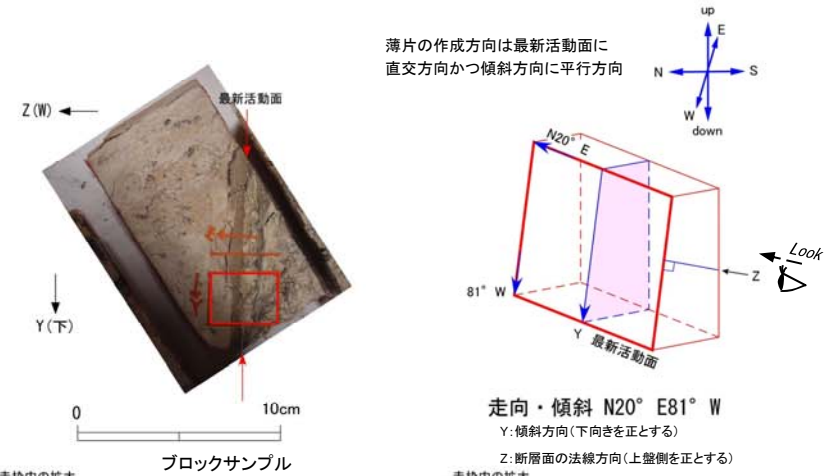
直交ニコル

- 凡例
- 断層ガウジ
  - カタクレーサイト
  - R1面
  - P面

# D-1破碎帯 薄片試料観察(H19-No.14 深度87.03m)(その1)

H19-No.14のボーリングコア(深度87.03m)から採取した薄片試料の観察結果によれば最新活動面の変位センスは、右ずれを伴う正断層である。

条線データなし



- 凡例
- 断層ガウジ
- カタクレーサイト
- R1面
- P面

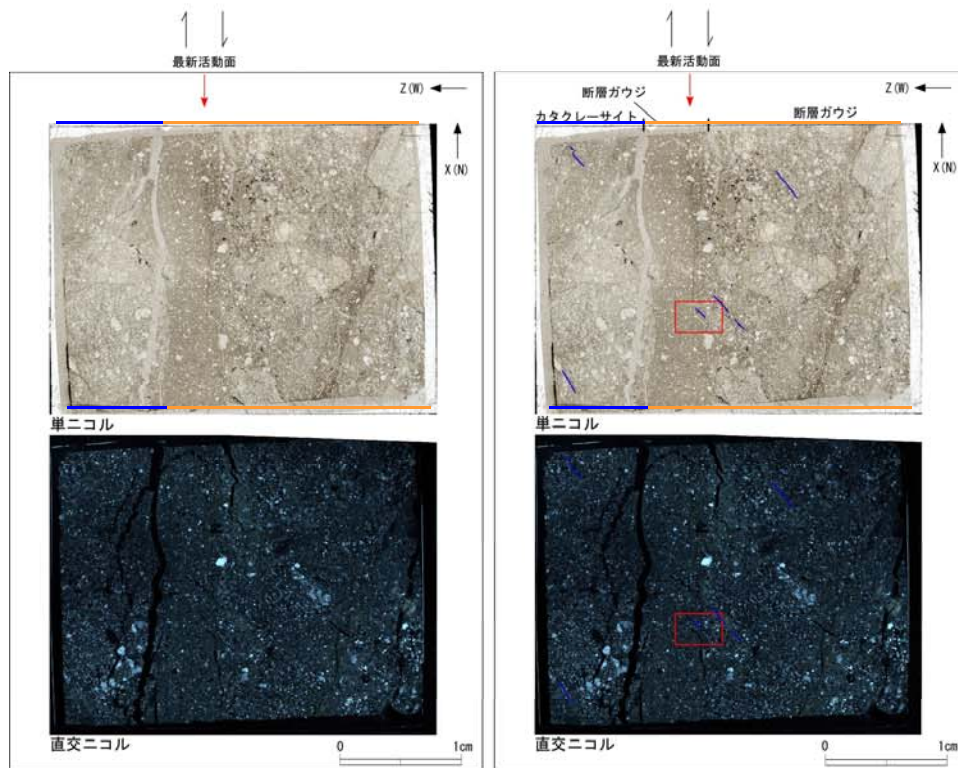
鉛直断面: 最新活動面の変位センスは、正断層成分が卓越する。



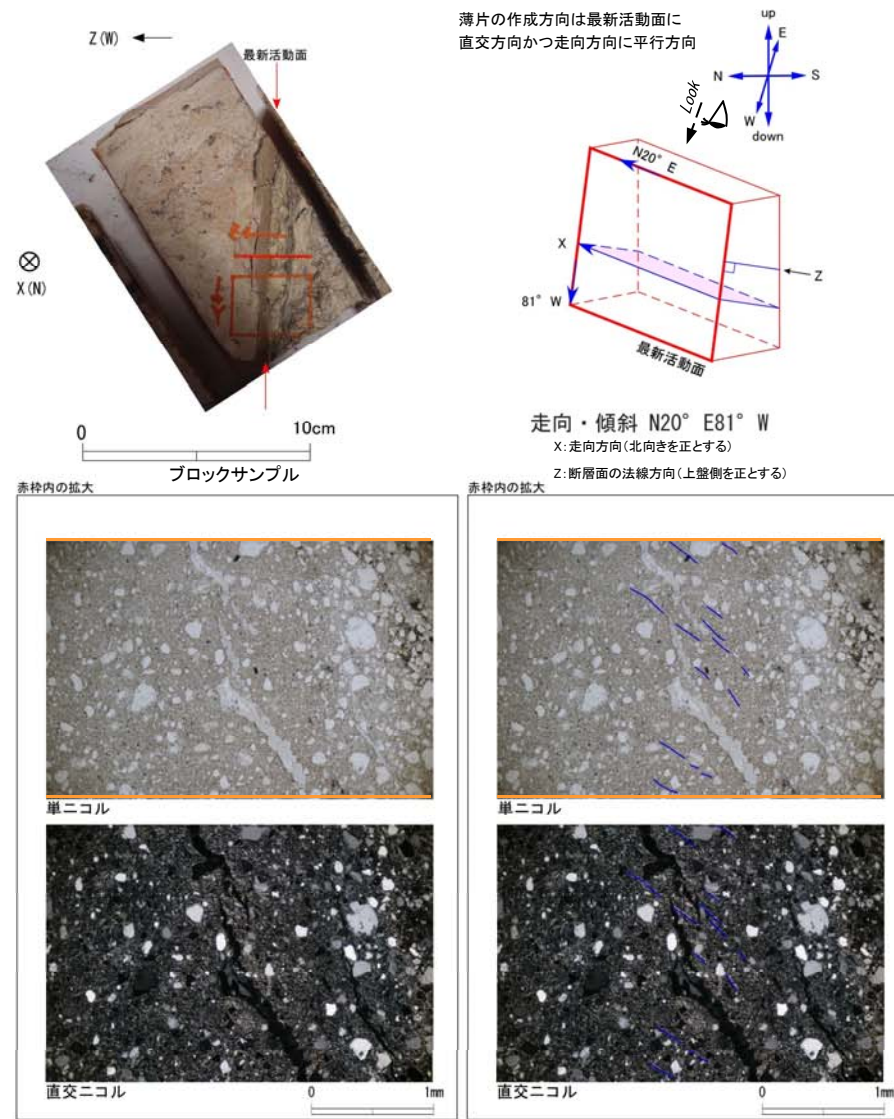
# D-1破碎帯 薄片試料観察(H19-No.14 深度87.03m)(その2)

H19-No.14のボーリングコア(深度87.03m)から採取した薄片試料の観察結果によれば最新活動面の変位センスは、右ずれを伴う正断層である。

条線データなし



- 凡例
- 断層ガウジ
- カタクレーサイト
- R1面
- P面

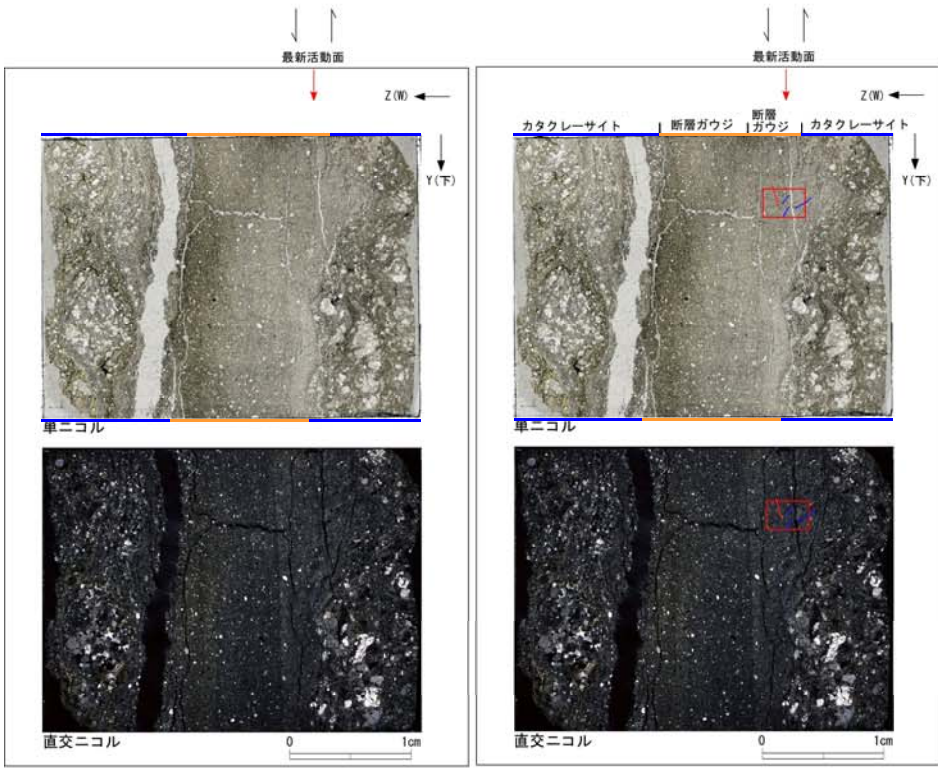


水平断面:最新活動面の変位センスは、右ずれ成分が卓越する。

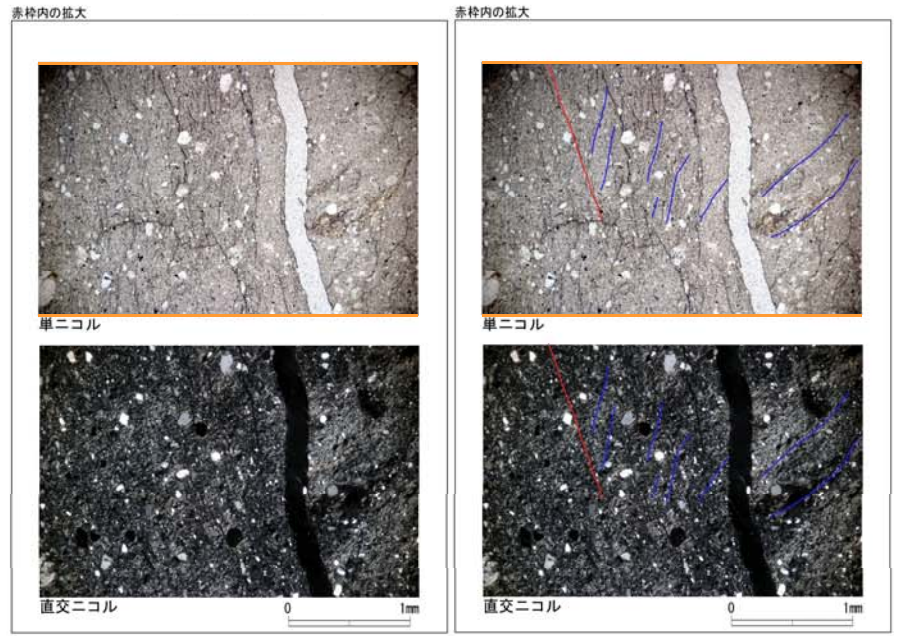
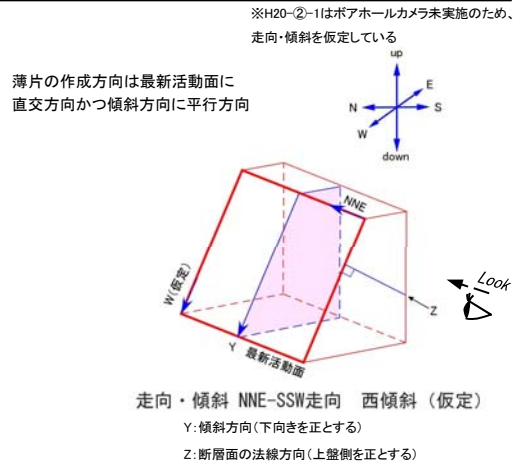
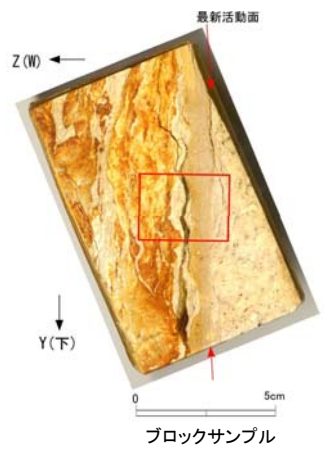
# D-1 破碎帯 薄片試料観察 (H20-②-1 深度50.70m) (その1)

H20-②-1のボーリングコア(深度50.70m)から採取した薄片試料の観察結果によれば最新活動面の変位センスは、右ずれを伴う正断層である。

走向・傾斜及び条線データなし



- 凡例
- 断層ガウジ
- カタクレーサイト
- R1面
- P面



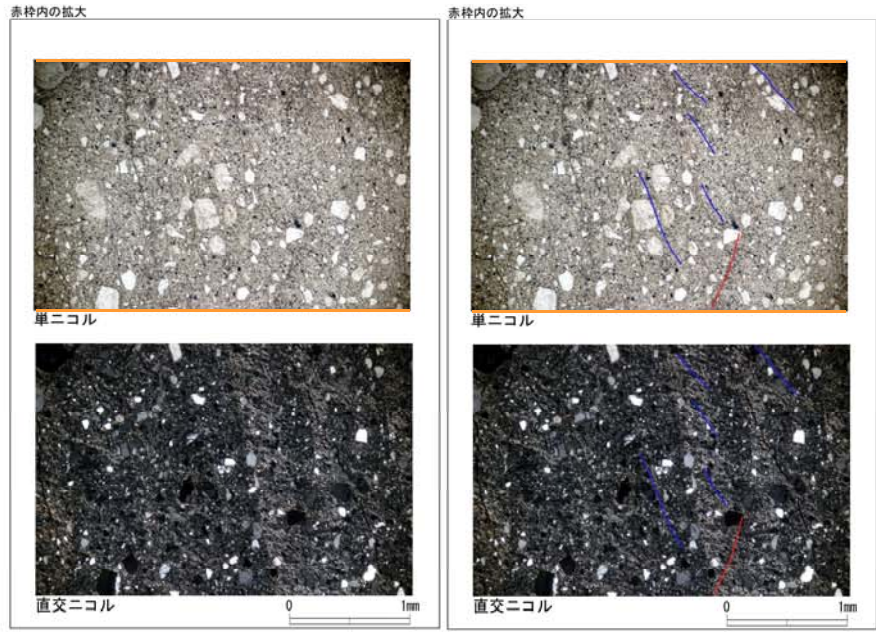
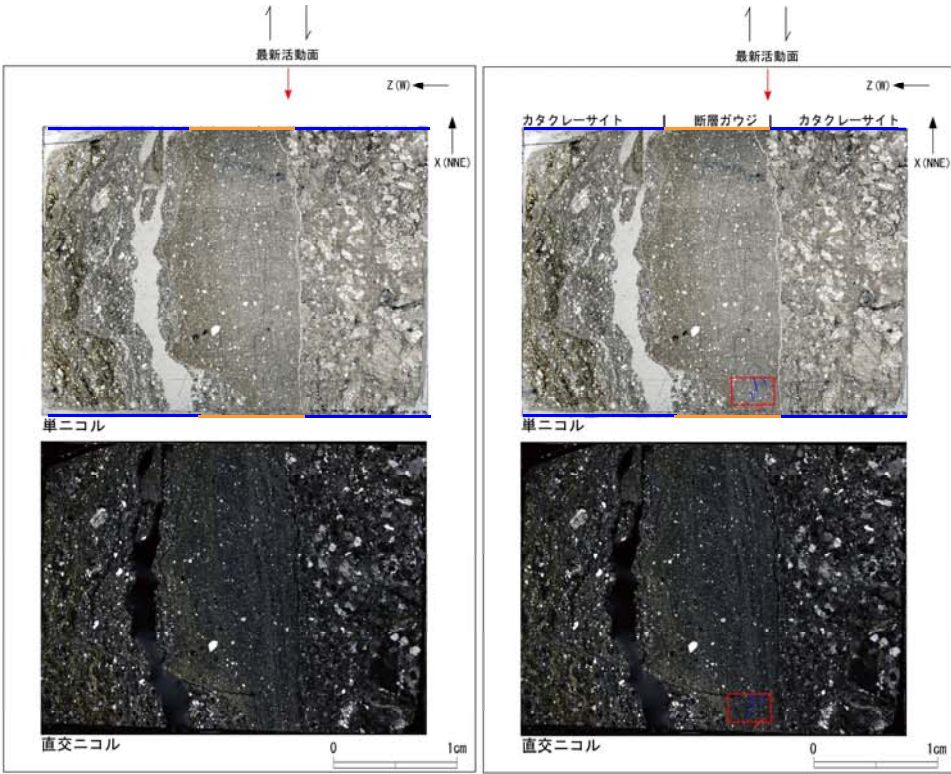
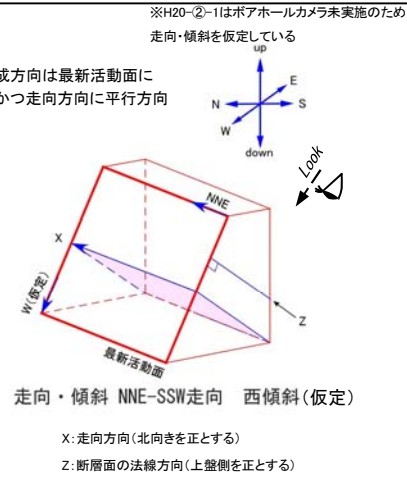
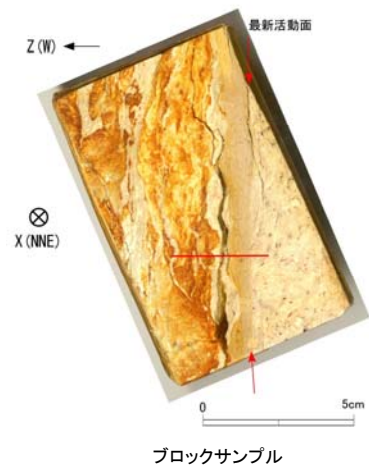
鉛直断面: 最新活動面の変位センスは、正断層成分が卓越する。



# D-1 破碎帯 薄片試料観察 (H20-②-1 深度50.70m) (その2)

H20-②-1のボーリングコア(深度50.70m)から採取した薄片試料の観察結果によれば最新活動面の変位センスは、右ずれを伴う正断層である。

走向・傾斜及び条線データなし

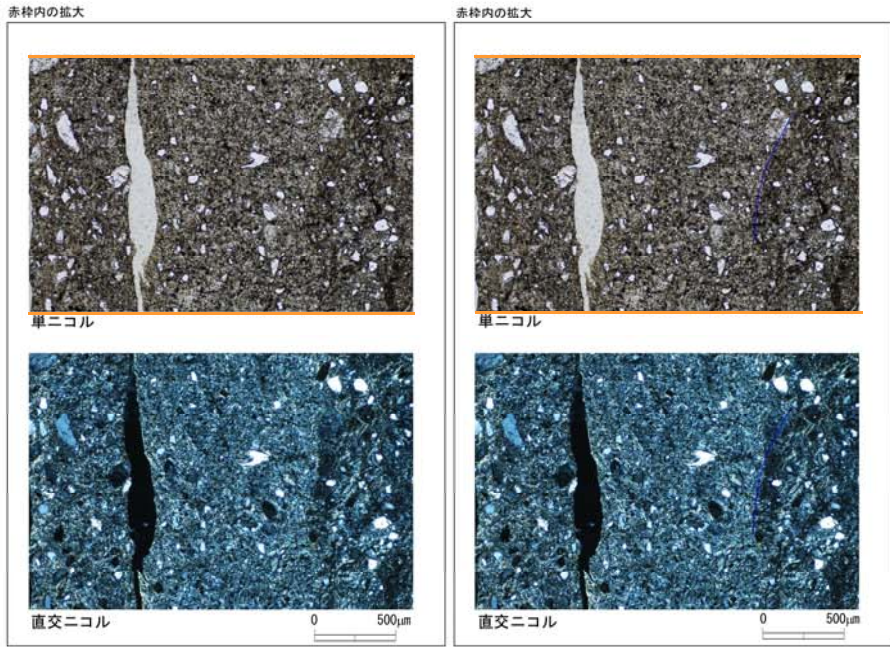
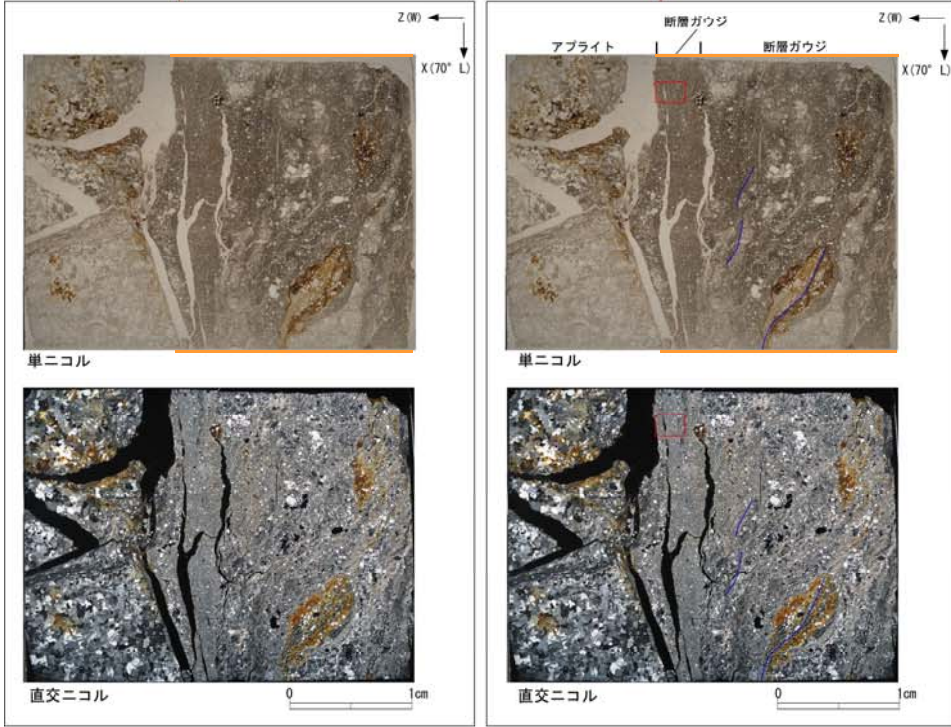
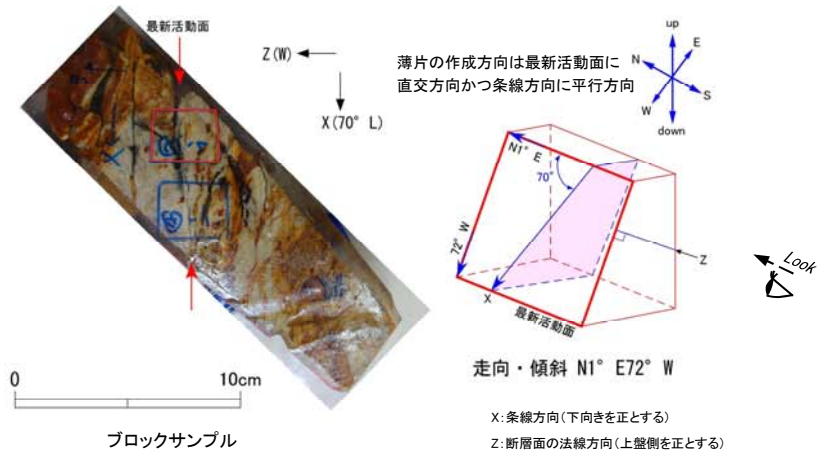
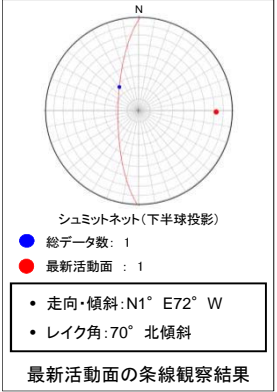


- 凡例
- 断層ガウジ
- カタクレーサイト
- R1面
- P面

水平断面: 最新活動面の変位センスは、右ずれ成分が卓越する。

# D-1破砕帯 薄片試料観察(H19-No.2 深度149.71m)

H19-No.2のボーリングコア(深度149.71m)から採取した薄片試料の観察結果によれば最新活動面の変位センスは、正断層成分が卓越する。

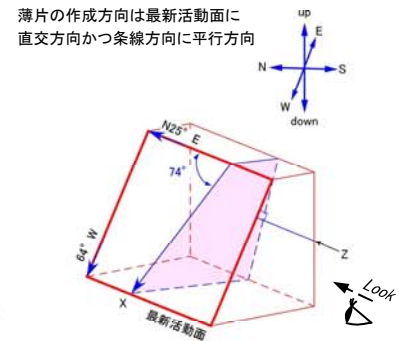
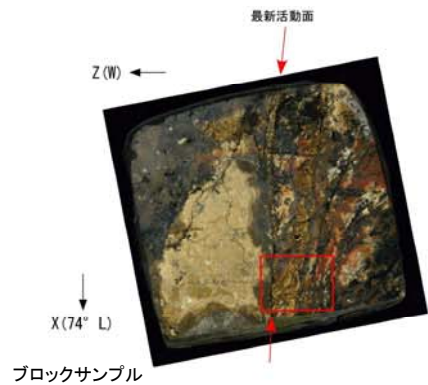
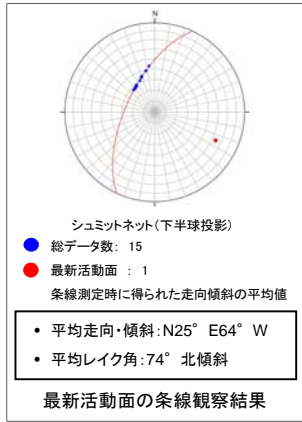


- 凡例
- 断層ガウジ
  - カタクレーサイト
  - R1面
  - P面

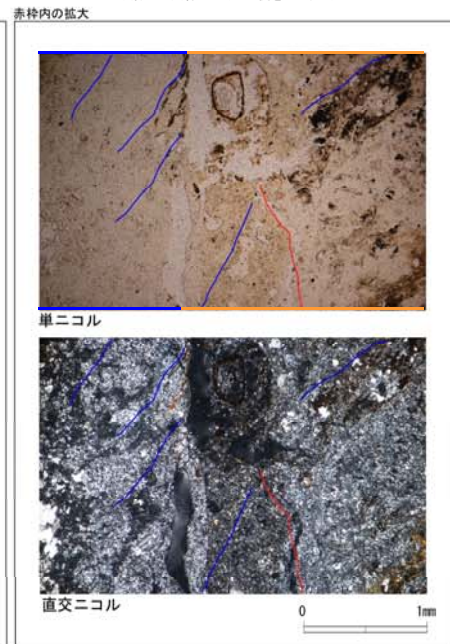
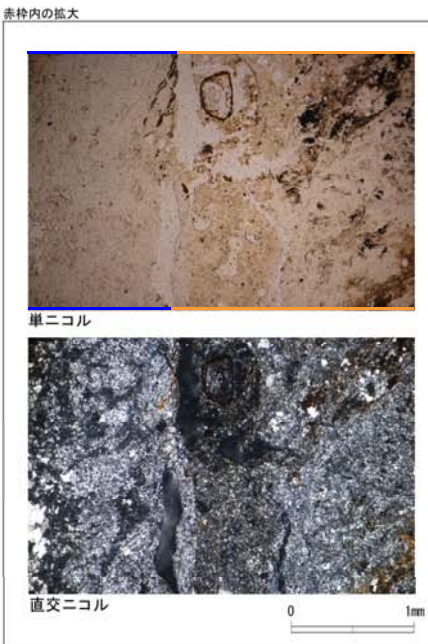
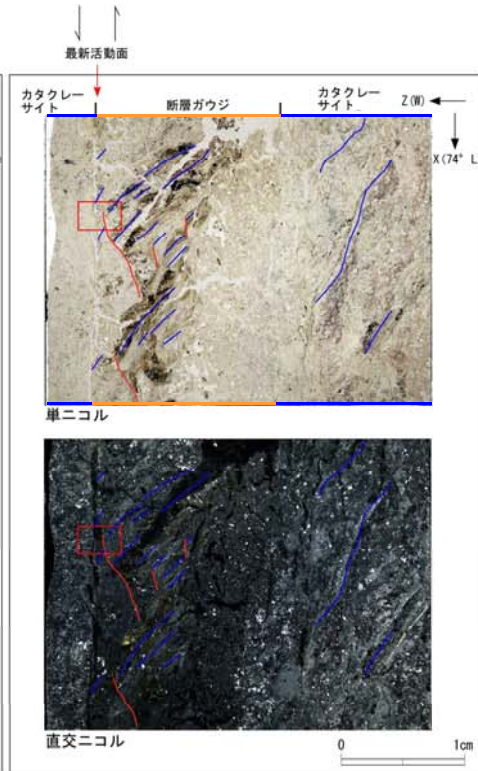
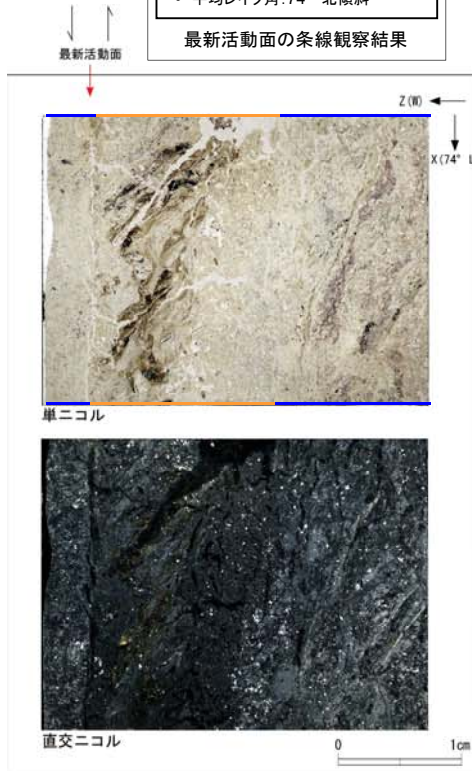


# D-1 破碎帯 薄片試料観察 (D-1 既往露頭)

D-1 既往露頭から採取した薄片試料の観察結果によれば最新活動面の変位センスは、正断層成分が卓越する。



走向・傾斜 N25° E64° W  
 X: 条線方向(下向きを正とする)  
 Z: 断層面の法線方向(上盤側を正とする)



- 凡例
- 断層ガウジ
  - カタクレーサイト
  - R1面
  - P面

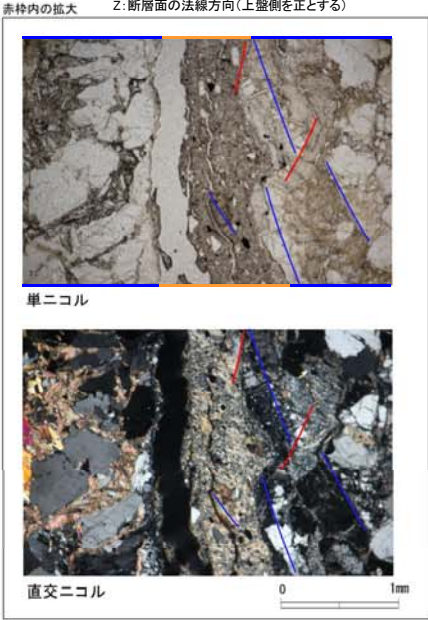
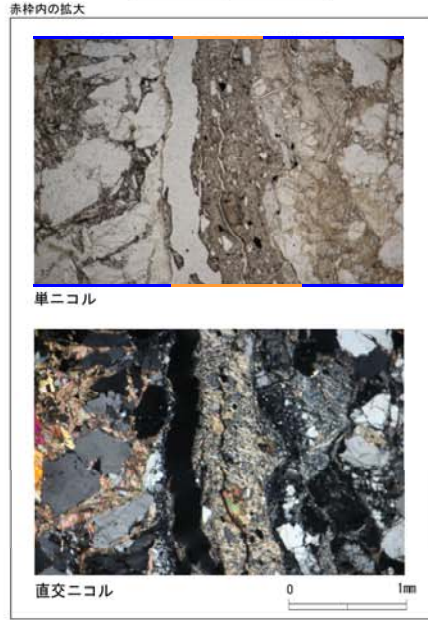
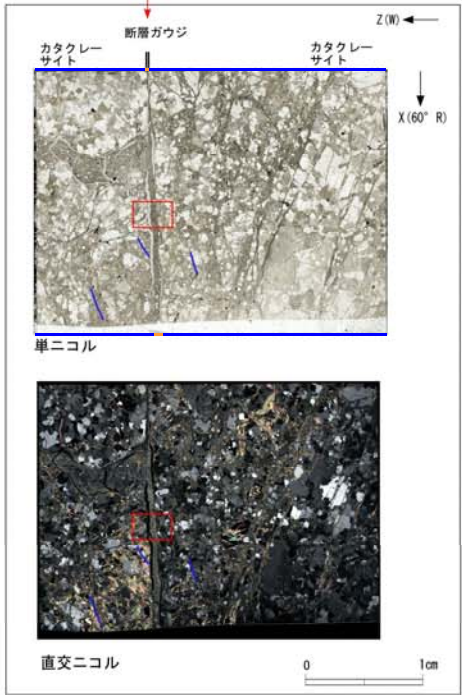
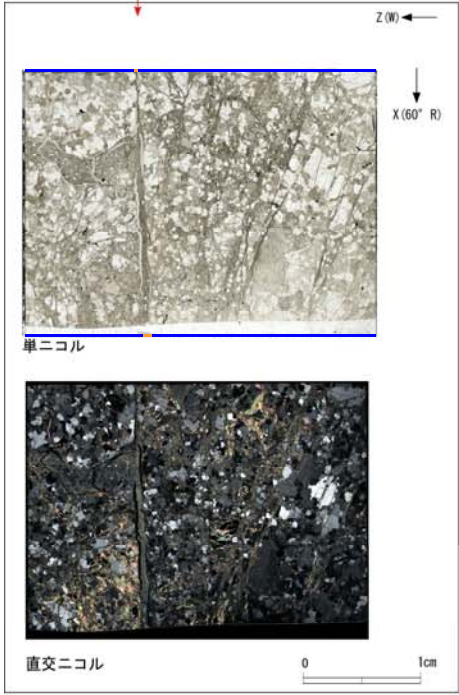
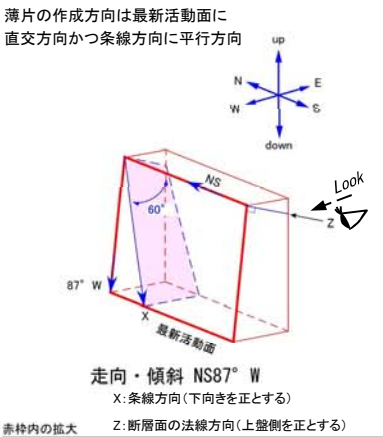
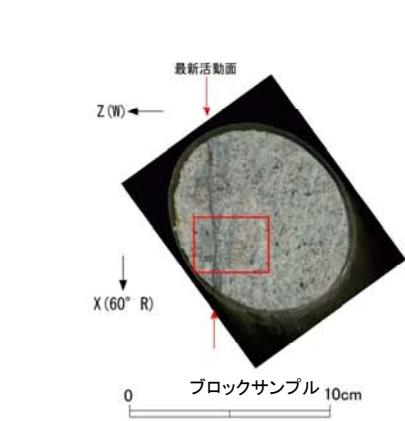
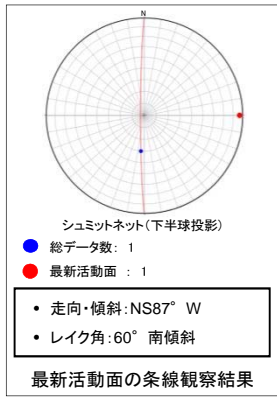
余白



### 3. K断層

# K断層 薄片試料観察(H24-E'-2 深度18.86m)

H24-E'-2のボーリングコア(深度18.86m)から採取した薄片試料の観察結果によれば最新活動面の変位センスは、右ずれを伴う逆断層である。

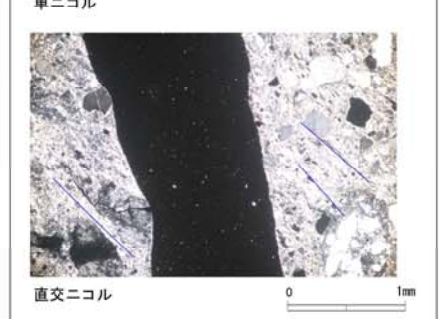
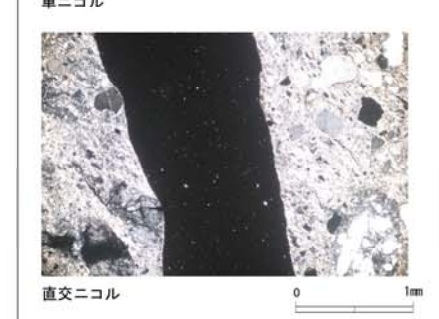
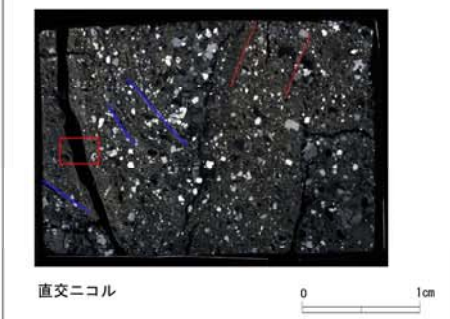
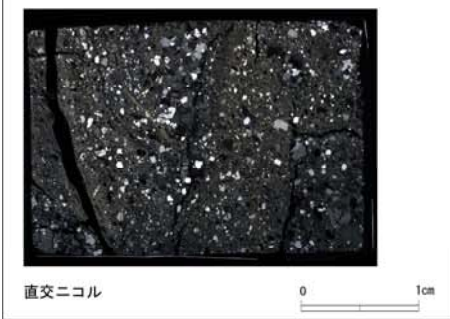
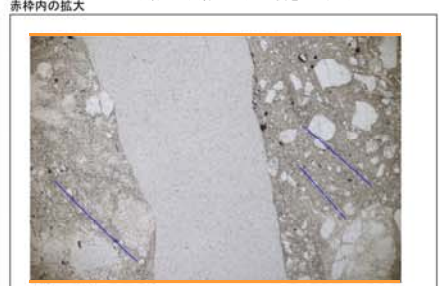
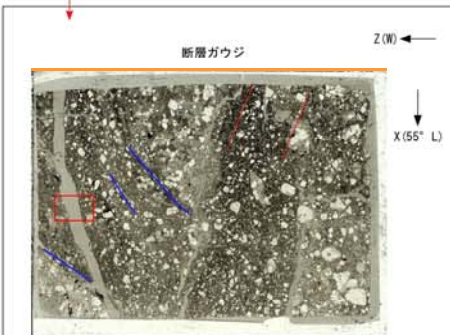
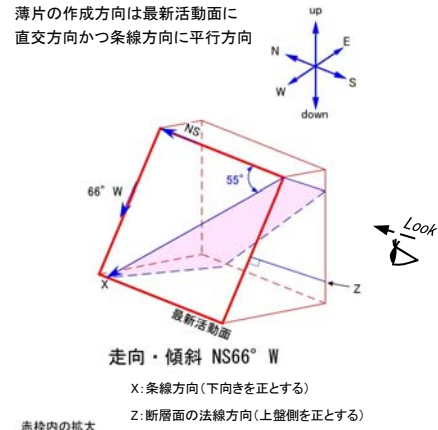
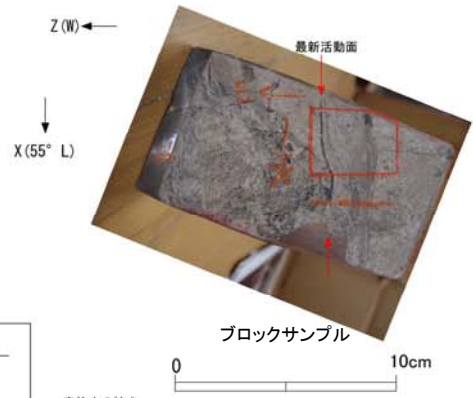
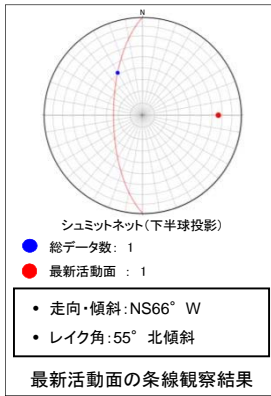


- 凡例
- 断層ガウジ
  - カタクレーサイト
  - R1面
  - P面



# K断層 薄片試料観察(H24-E'-1 深度10.72m)

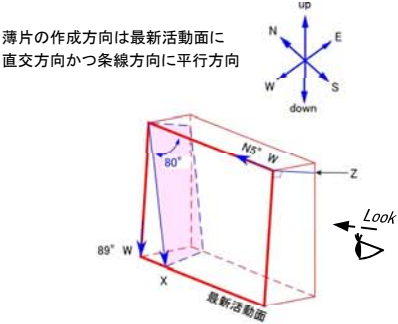
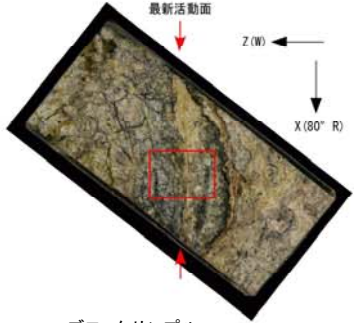
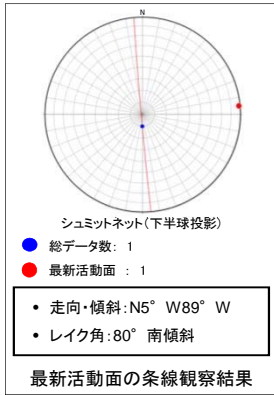
H24-E'-1のボーリングコア(深度10.72m)から採取した薄片試料の観察結果によれば最新活動面の変位センスは、左ずれを伴う逆断層である。



- 凡例
- 断層ガウジ
  - カタクレーサイト
  - R1面
  - P面

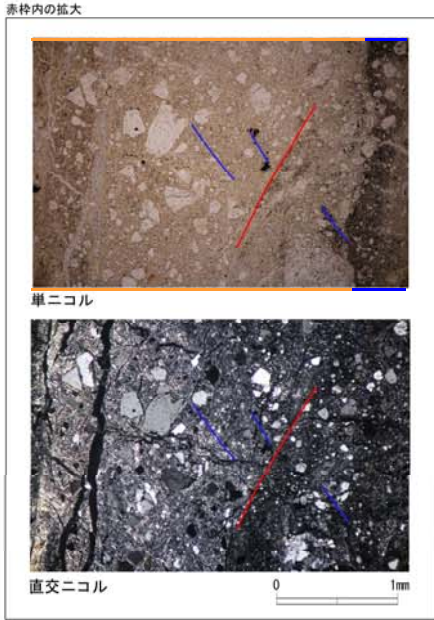
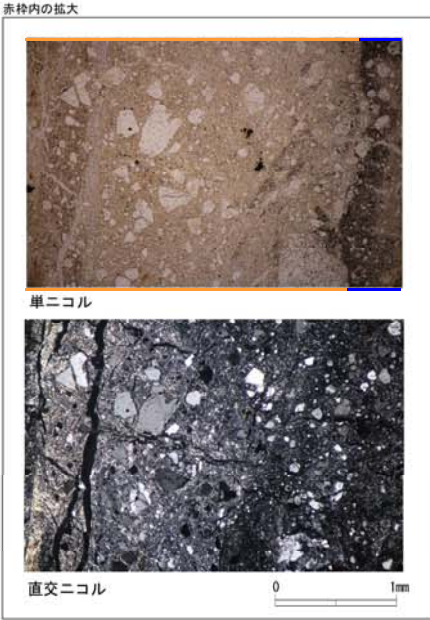
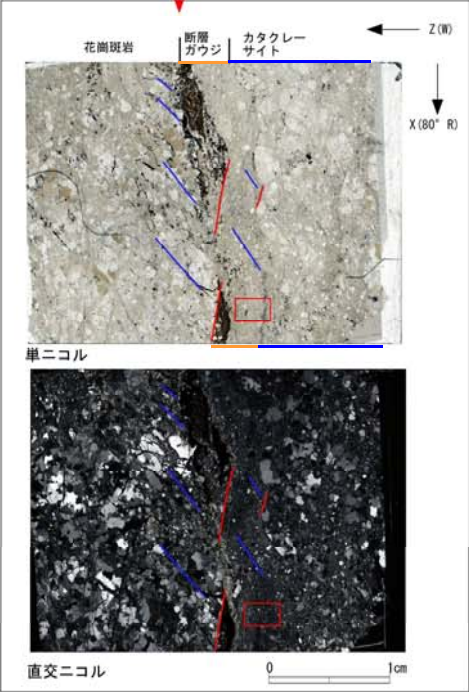
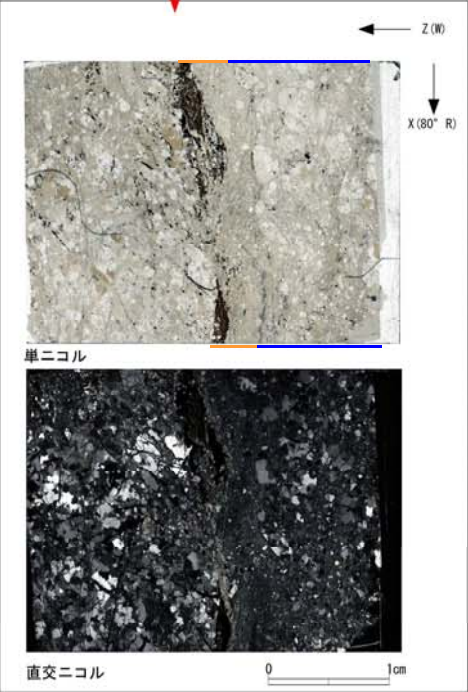
# K断層 薄片試料観察(H24-A-11 深度11.81m)

H24-A-11のボーリングコア(深度11.81m)から採取した薄片試料の観察結果によれば最新活動面の変位センスは、逆断層成分が卓越する。



ブロックサンプル  
0 10cm

走向・傾斜 N5° W89° W  
 X: 条線方向(下向きを正とする)  
 Z: 断層面の法線方向(上盤側を正とする)

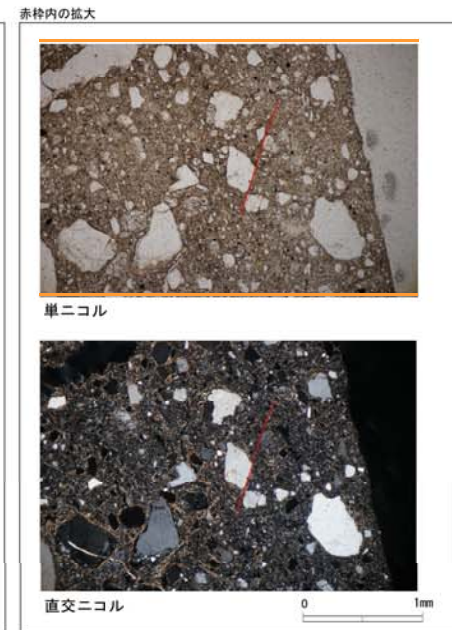
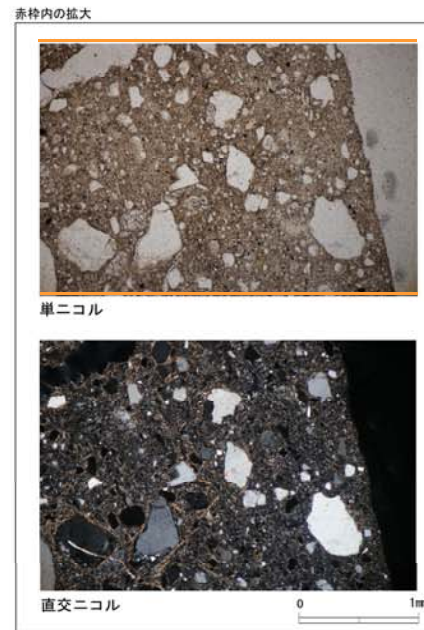
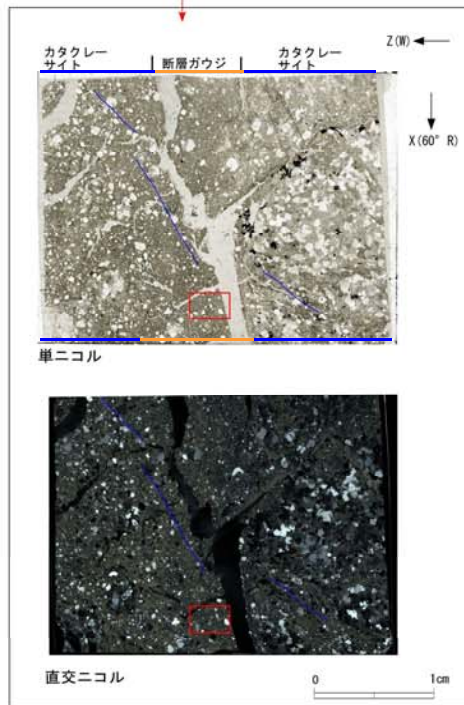
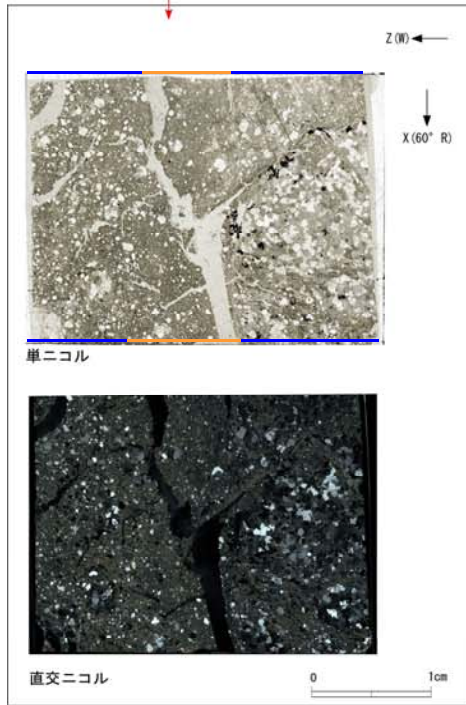
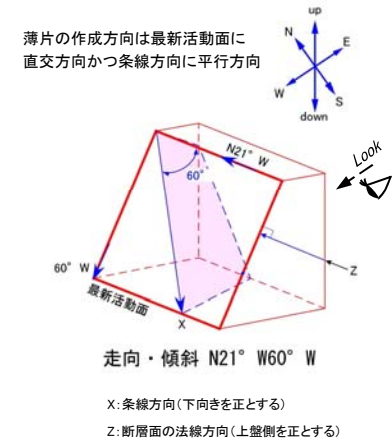
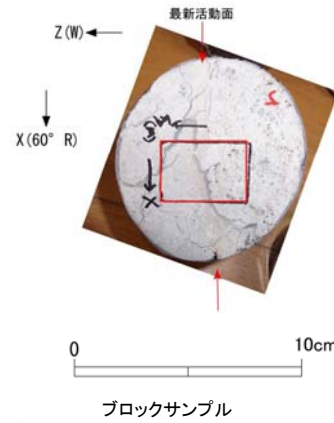
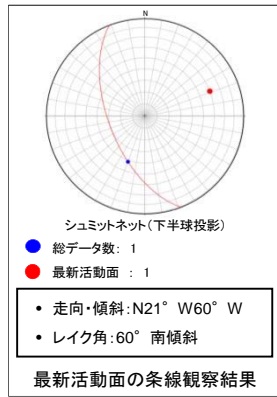


- 凡例
- 断層ガウジ
  - カタクレーサイト
  - R1面
  - P面



# K断層 薄片試料観察(H24-E-2 深度13.42m)

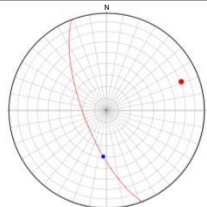
H24-E-2のボーリングコア(深度13.42m)から採取した薄片試料の観察結果によれば最新活動面の変位センスは、右ずれを伴う逆断層である。



- 凡例
- 断層ガウジ
  - カタクレーサイト
  - R1面
  - P面

# K断層 薄片試料観察(H24-E-1 深度8.44m)

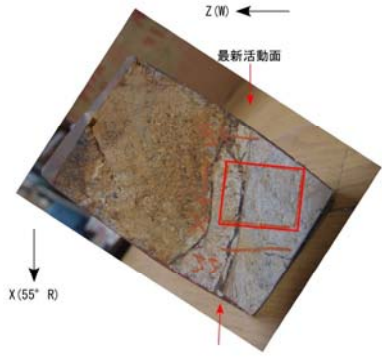
H24-E-1のボーリングコア(深度8.44m)から採取した薄片試料の観察結果によれば最新活動面の変位センスは、右ずれを伴う逆断層である。



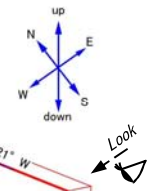
シュミットネット(下半球投影)  
 ● 総データ数: 1  
 ● 最新活動面: 1  
 ● 走向・傾斜: N21° W71° W  
 ● レイク角: 55° 南傾斜

最新活動面

最新活動面



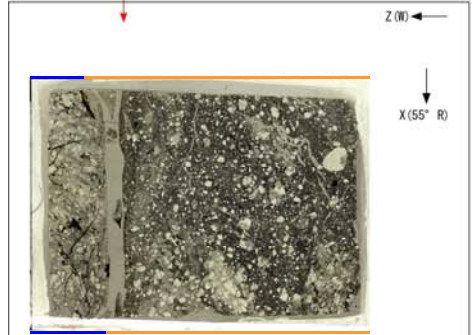
薄片の作成方向は最新活動面に  
 直交方向かつ条線方向に平行方向



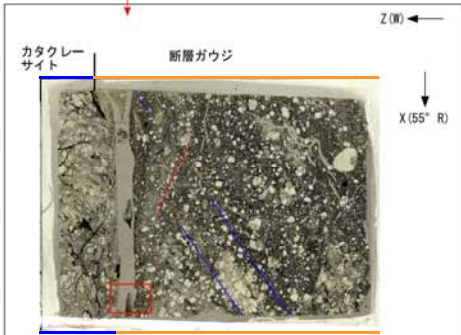
走向・傾斜 N21° W71° W

X: 条線方向(下向きを正とする)  
 Z: 断層面の法線方向(上盤側を正とする)

0 10cm  
 ブロックサンプル

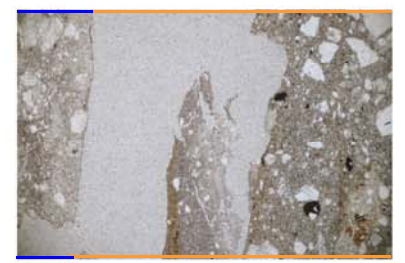


単ニコル



単ニコル

赤枠内の拡大

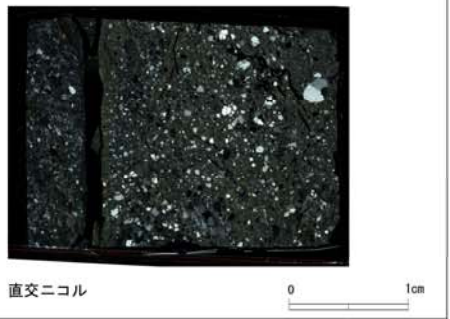


単ニコル

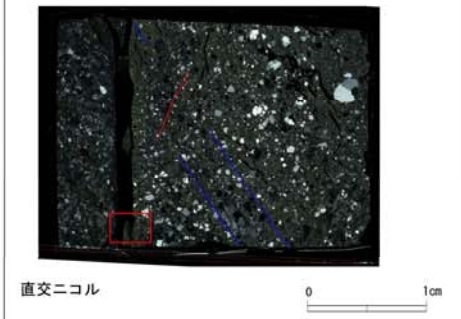
赤枠内の拡大



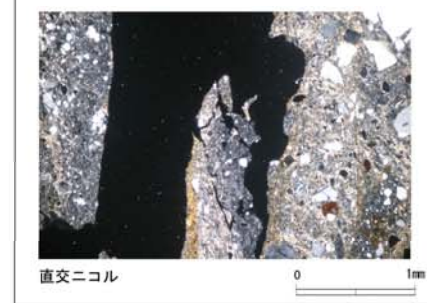
単ニコル



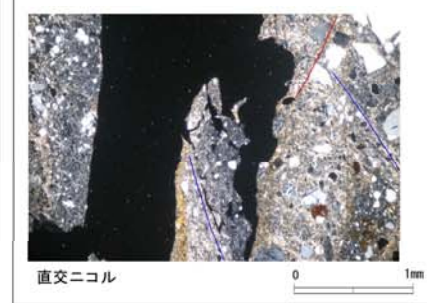
直交ニコル



直交ニコル



直交ニコル



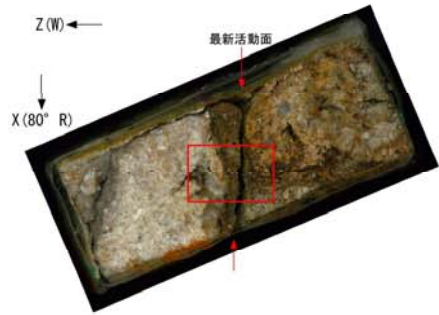
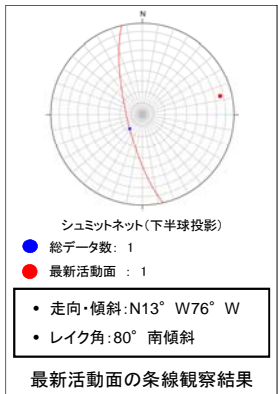
直交ニコル

- 凡例
- 断層ガウジ
  - カタクレーサイト
  - R1面
  - P面

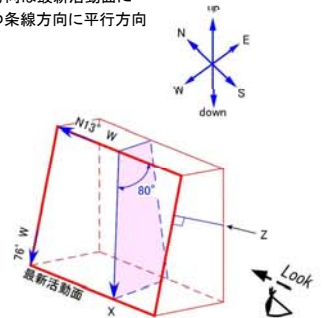


# K断層 薄片試料観察(D-1トレンチLカットピット)

D-1トレンチLカットピットから採取した薄片試料の観察結果によれば最新活動面の変位センスは、逆断層成分が卓越する。



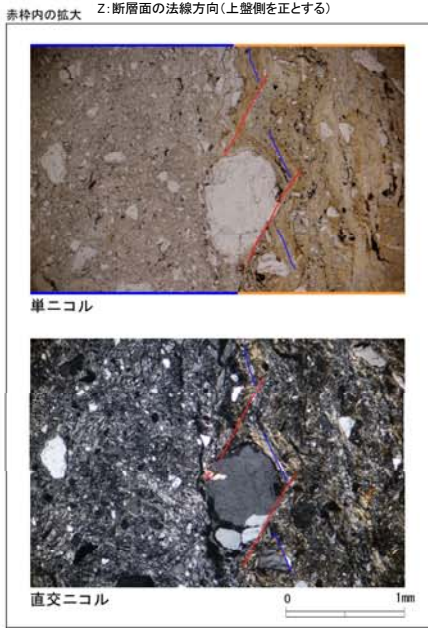
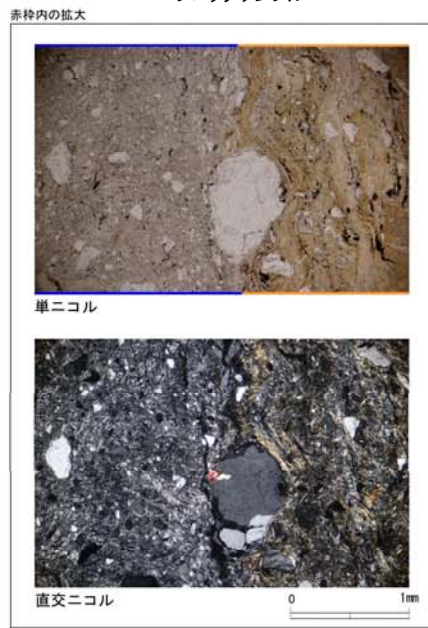
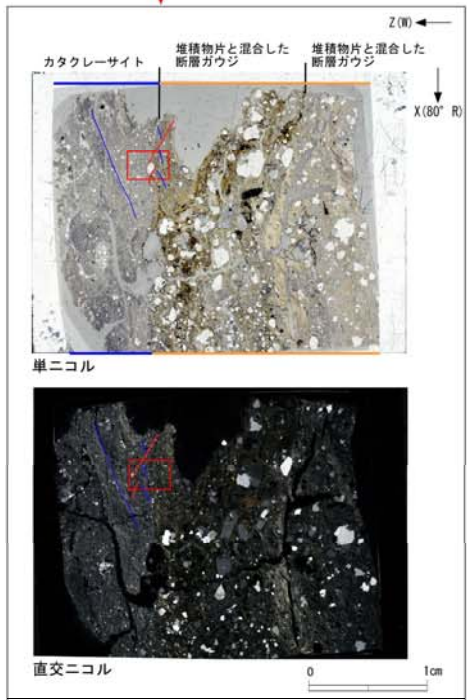
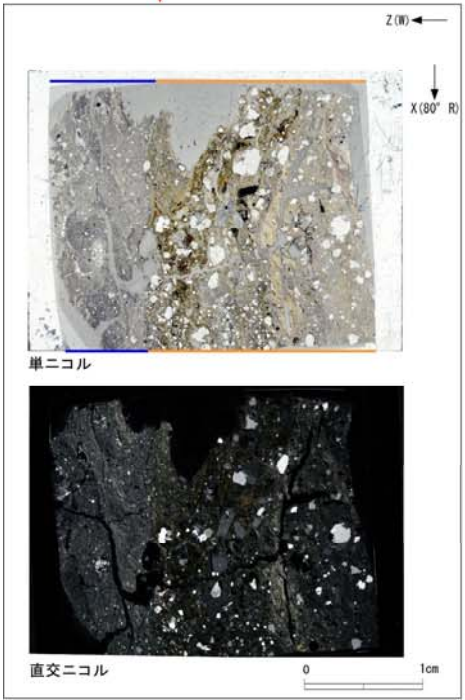
薄片の作成方向は最新活動面に  
直交方向かつ条線方向に平行方向



0 10cm  
ブロックサンプル

走向・傾斜 N13° W76° W  
X: 条線方向(下向きを正とする)

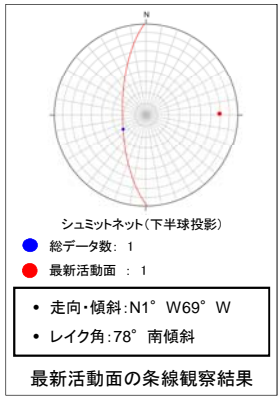
Z: 断層面の法線方向(上側を正とする)



- 凡例
- 断層ガウジ
  - カタクレーサイト
  - R1面
  - P面

# K断層 薄片試料観察(D-1トレンチ2-1ピット)

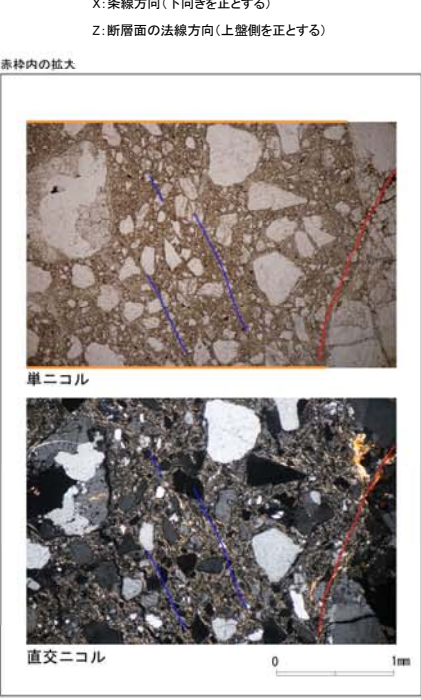
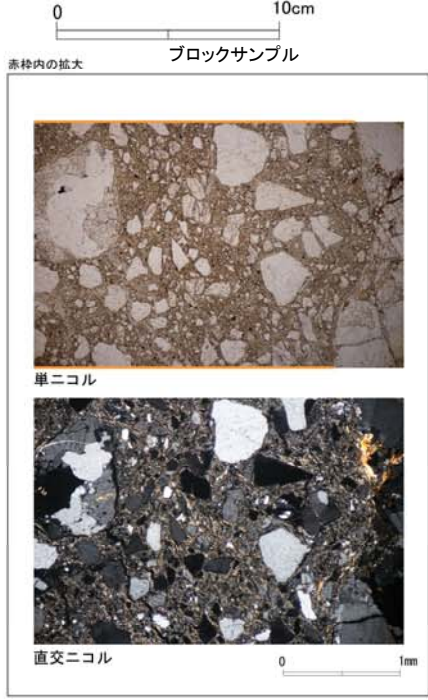
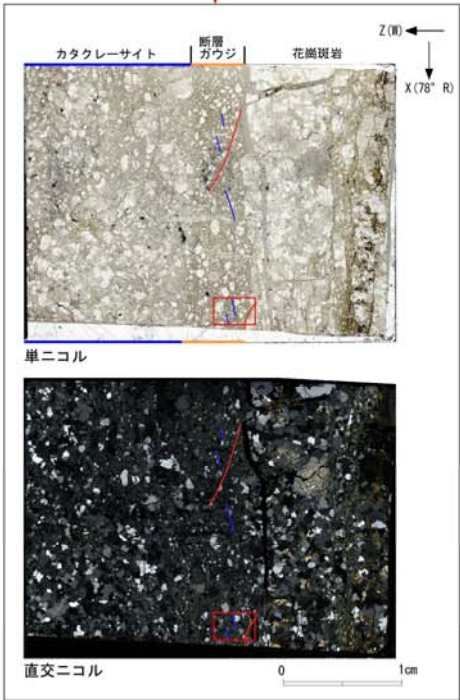
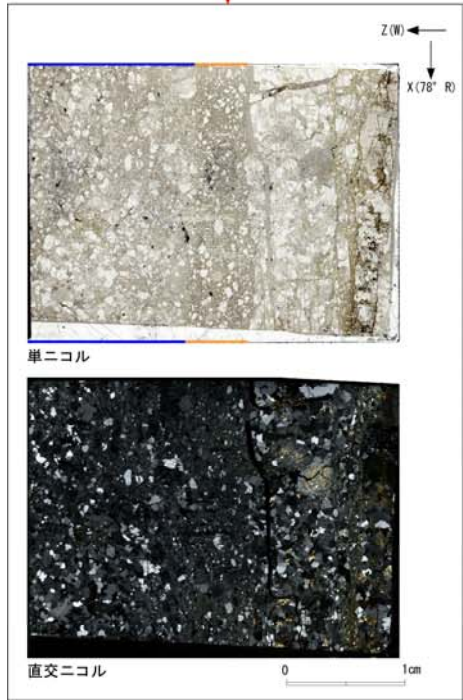
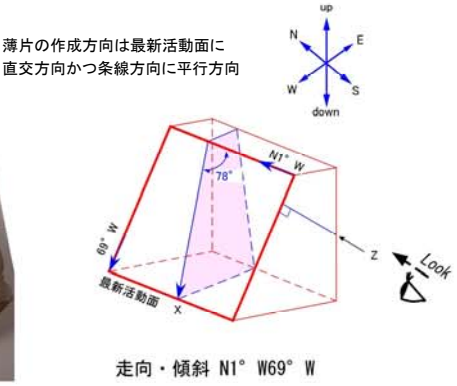
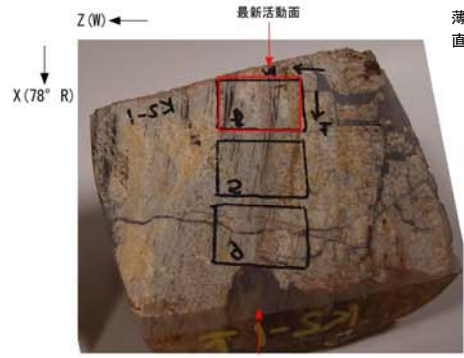
D-1トレンチ2-1ピットから採取した薄片試料の観察結果によれば最新活動面の変位センスは、逆断層成分が卓越する。



↑ ↓  
最新活動面

↑ ↓  
最新活動面

最新活動面の条線観察結果

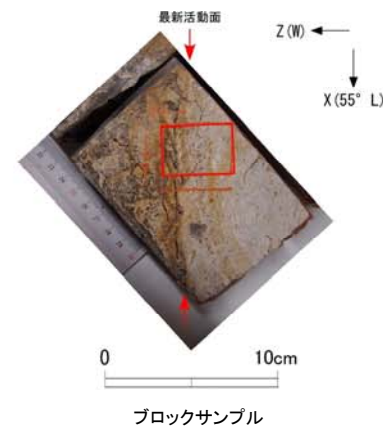
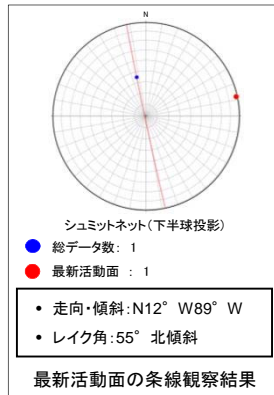


- 凡例
- 断層ガウジ
  - カタクレーサイト
  - R1面
  - P面

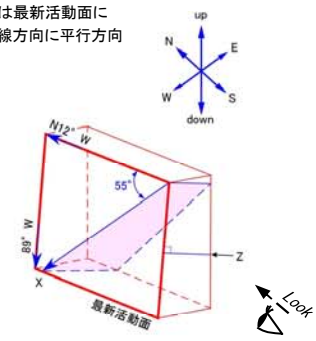


# K断層 薄片試料観察(H24-B'-1 深度7.91m)

H24-B'-1のボーリングコア(深度7.91m)から採取した薄片試料の観察結果によれば最新活動面の変位センスは、左ずれを伴う逆断層である。

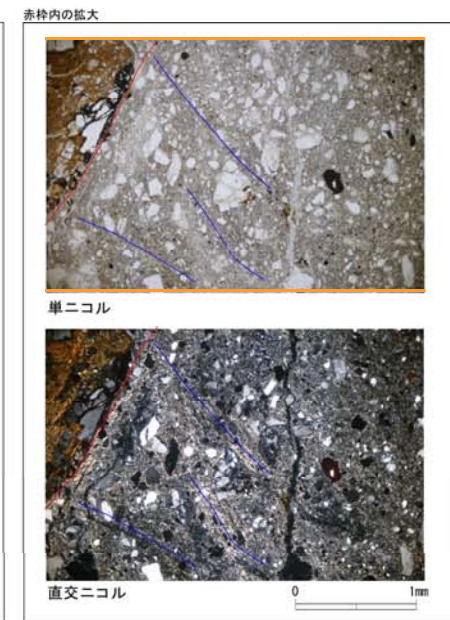
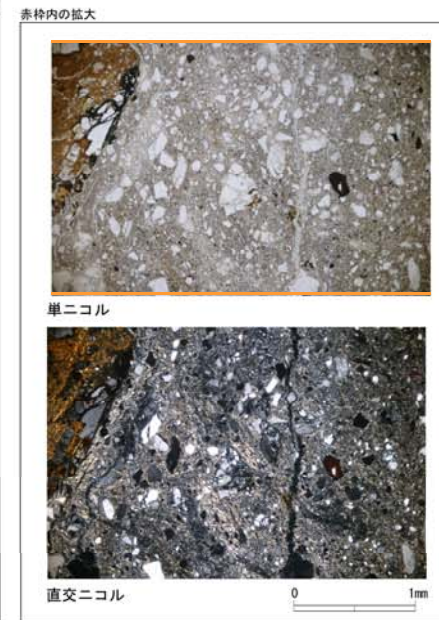
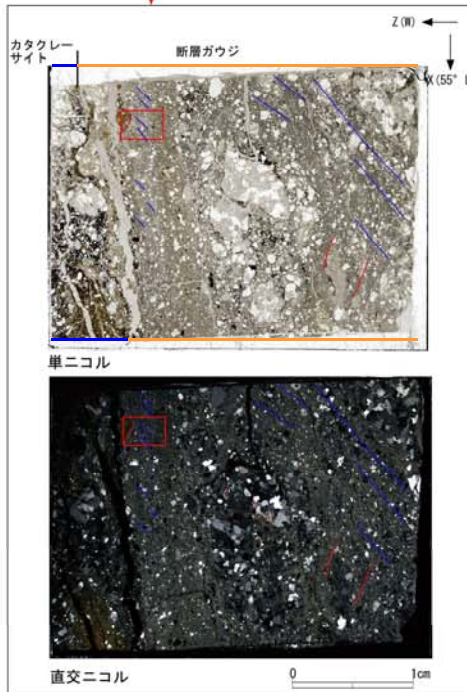


薄片の作成方向は最新活動面に  
直交方向かつ条線方向に平行方向



走向・傾斜 N12° W89° W

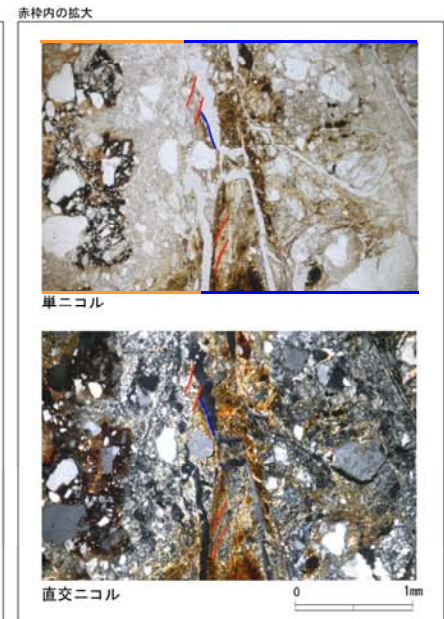
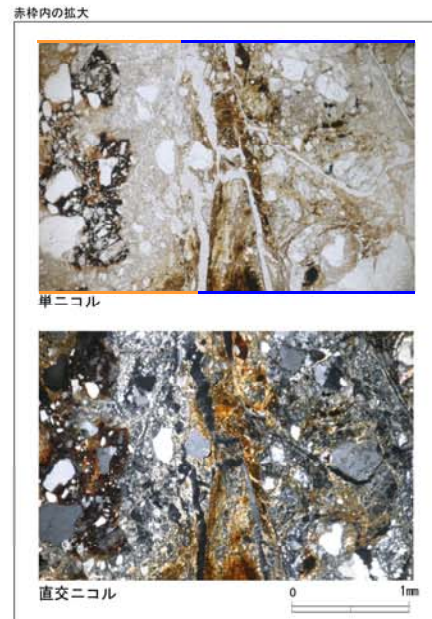
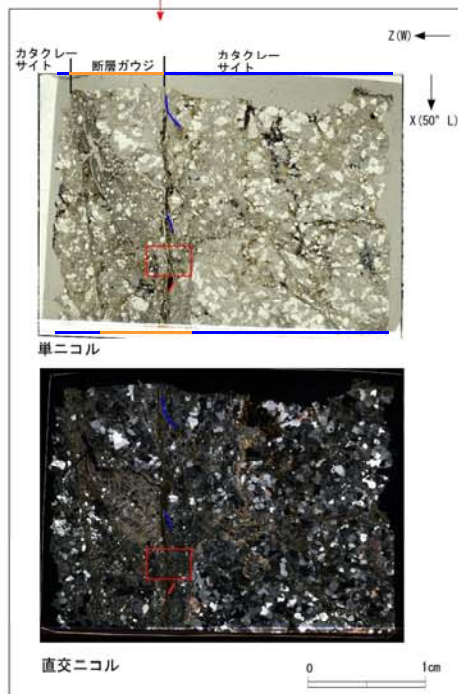
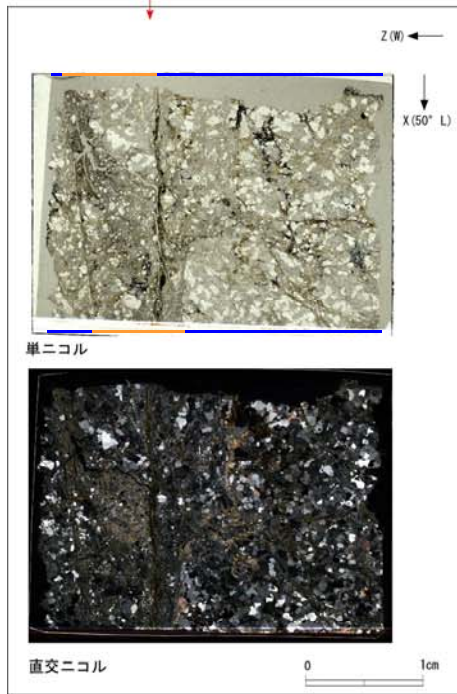
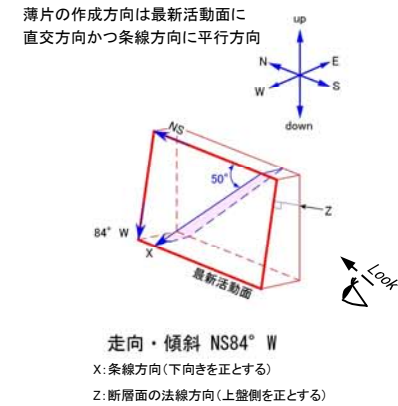
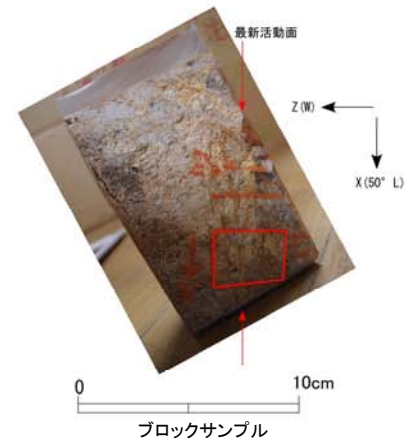
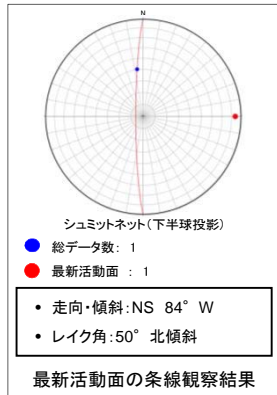
X: 条線方向(下向きを正とする)  
 Z: 断層面の法線方向(上盤側を正とする)



- 凡例
- 断層ガウジ
  - カタクレーサイト
  - R1面
  - P面

# K断層 薄片試料観察(H24-B'-3 深度7.70m)

H24-B'-3のボーリングコア(深度7.70m)から採取した薄片試料の観察結果によれば最新活動面の変位センスは、左ずれを伴う逆断層である。

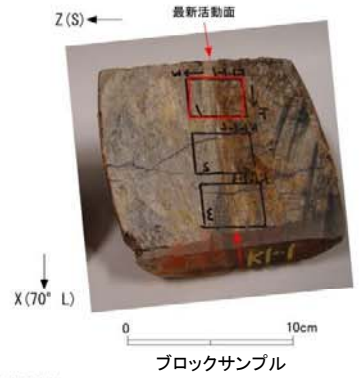
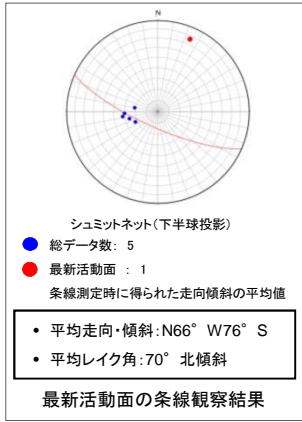


- 凡例
- 断層ガウジ
  - カタクレーサイト
  - R1面
  - P面

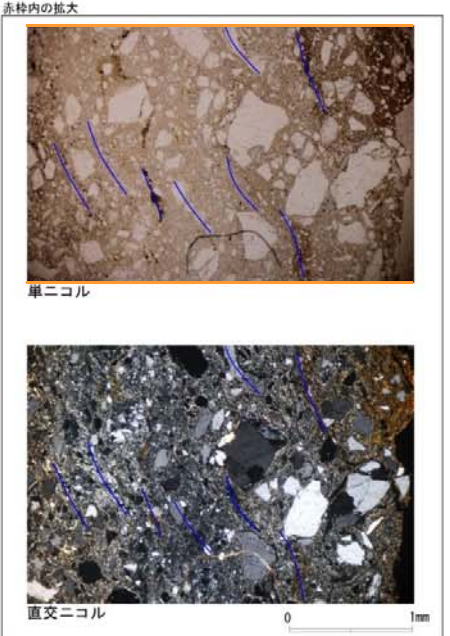
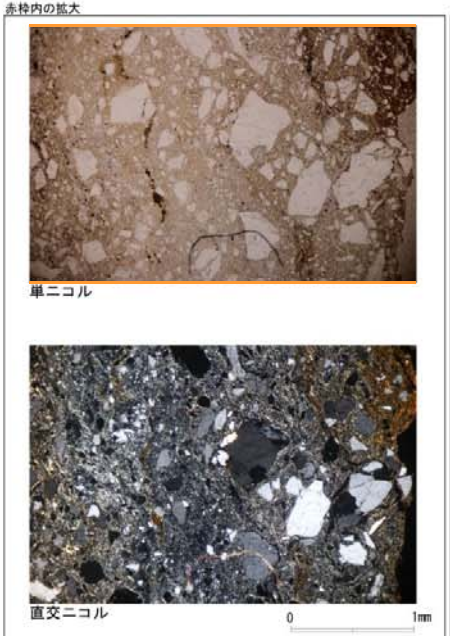
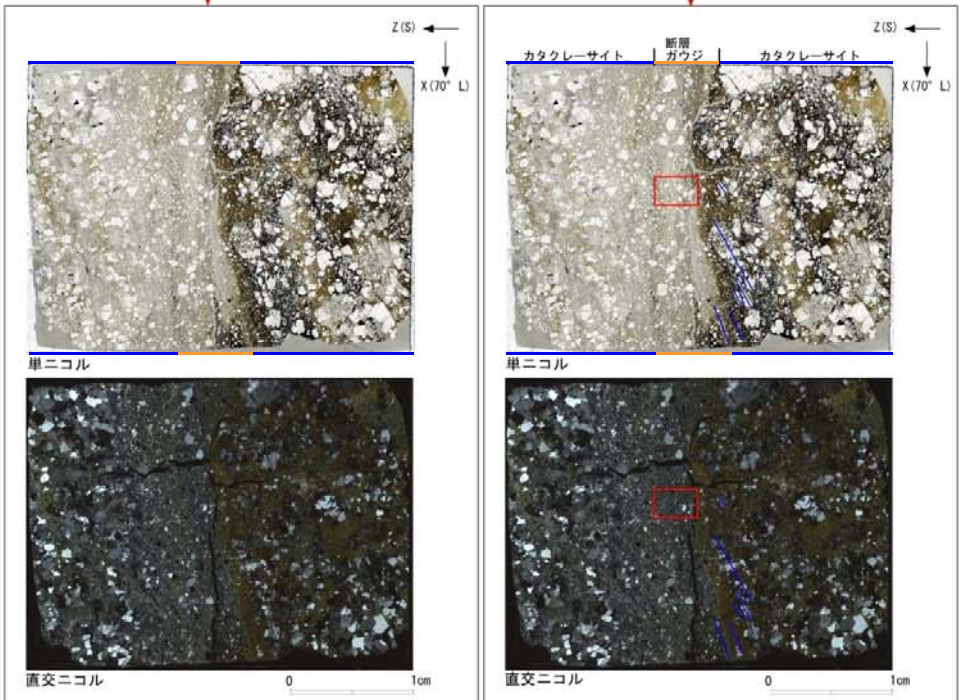
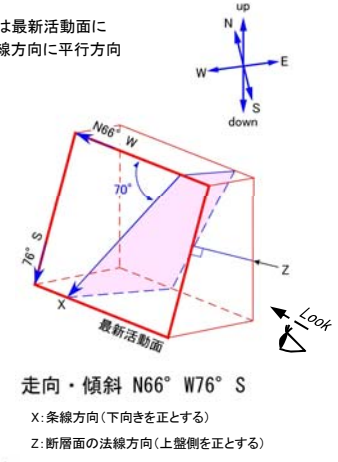


# K断層 薄片試料観察(D-1トレンチ1-1ピット)

D-1トレンチ1-1ピットから採取した薄片試料の観察結果によれば最新活動面の変位センスは、逆断層成分が卓越する。



薄片の作成方向は最新活動面に  
 直交方向かつ条線方向に平行方向

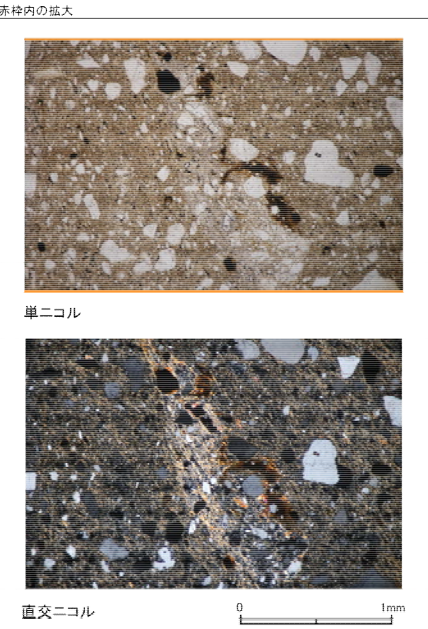
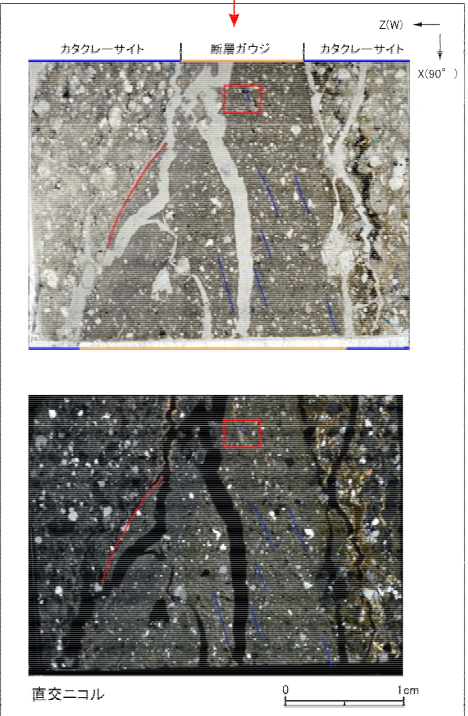
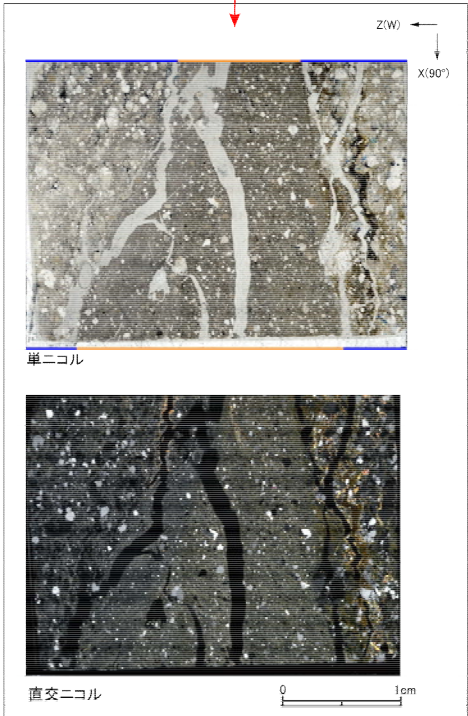
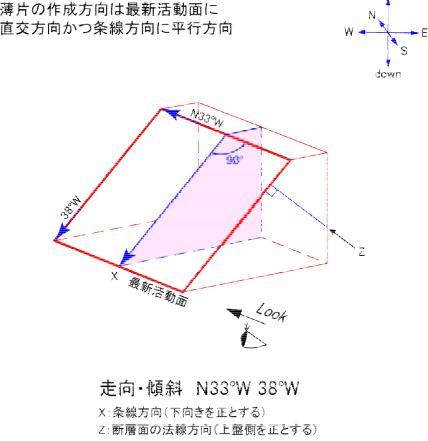
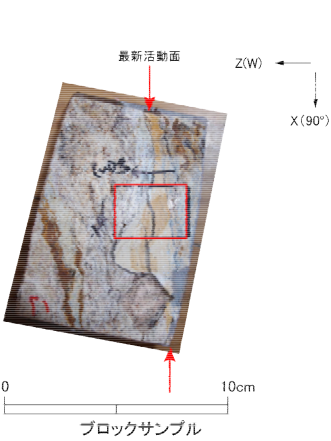
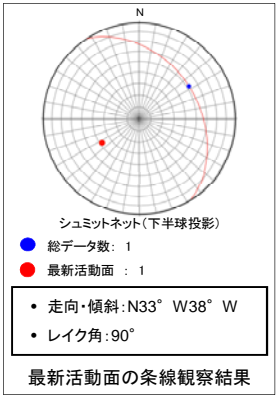


- 凡例
- 断層ガウジ
  - カタクレーサイト
  - R1面
  - P面



# K断層 薄片試料観察(H24-H-6-1 深度9.58m)

H24-H-6-1のボーリングコア(深度9.58m)から採取した薄片試料の観察結果によれば最新活動面の変位センスは、逆断層成分が卓越する。

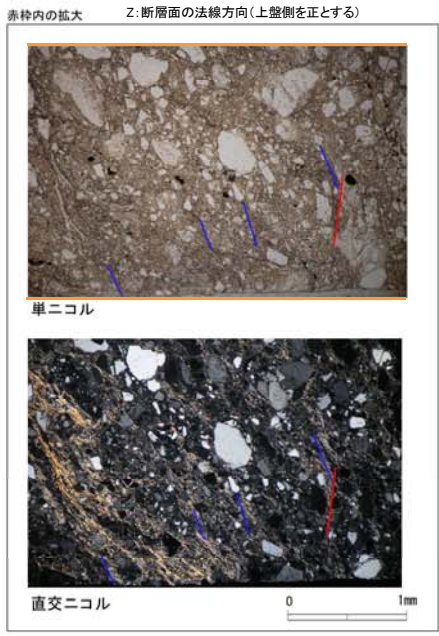
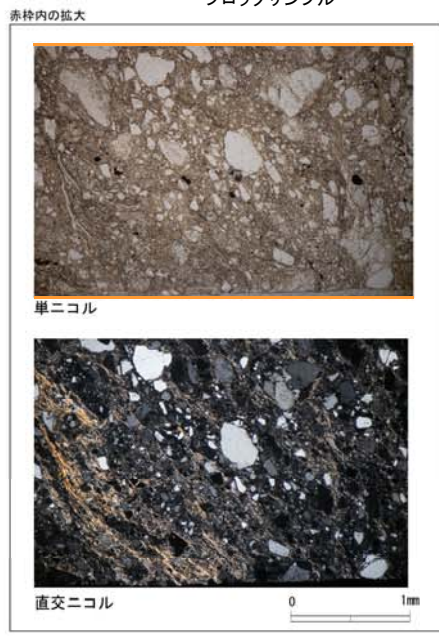
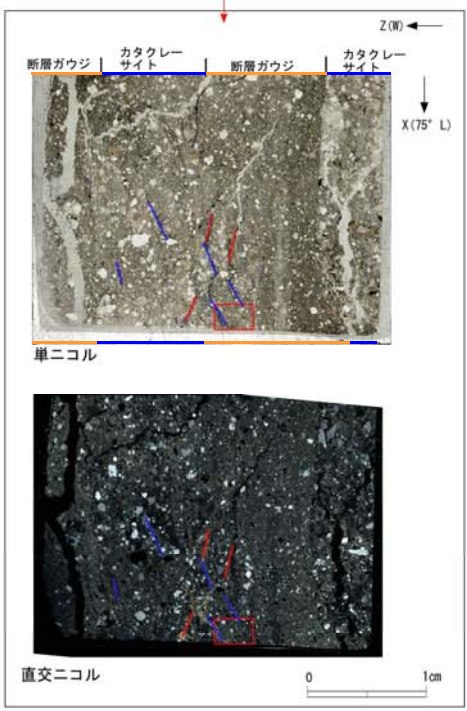
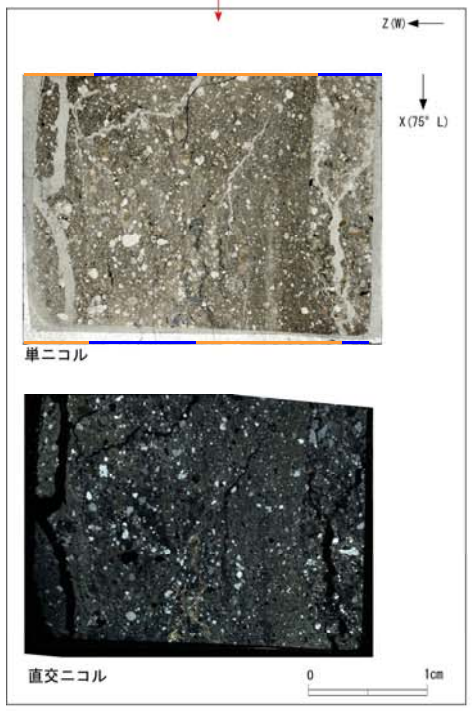
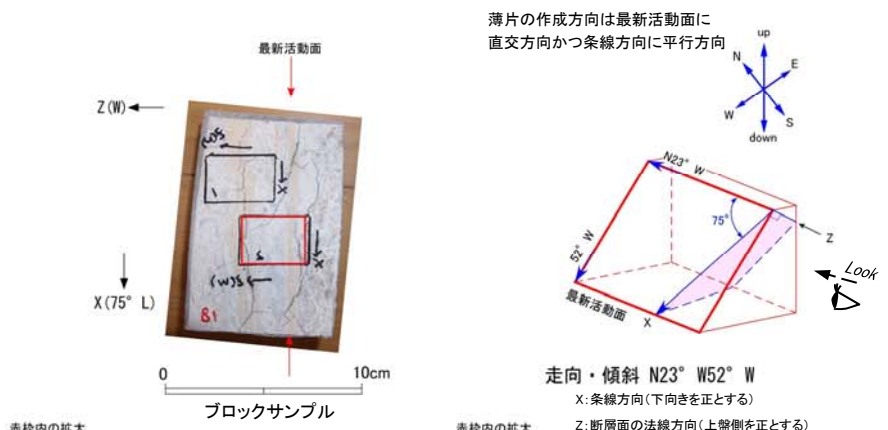
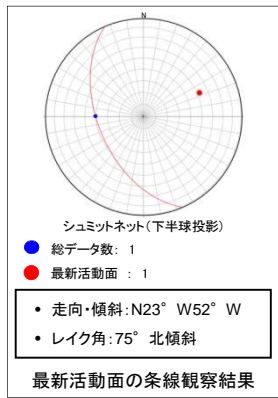


- 凡例
- 断層ガウジ
  - カタクレーサイト
  - R1面
  - P面



# K断層 薄片試料観察(H24-H-6 深度10.50m)

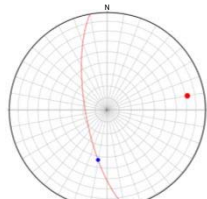
H24-H-6のボーリングコア(深度10.50m)から採取した薄片試料の観察結果によれば最新活動面の変位センスは、逆断層成分が卓越する。



- 凡例
- 断層ガウジ
  - カタクレーサイト
  - R1面
  - P面

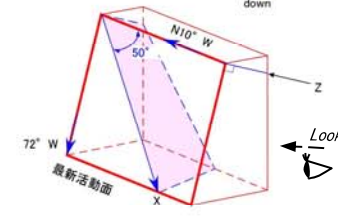
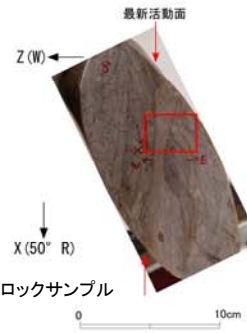
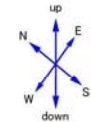
# K断層 薄片試料観察(H24-H-13 深度8.89m)

H24-H-13のボーリングコア(深度8.89m)から採取した薄片試料の観察結果によれば最新活動面の変位センスは、右ずれを伴う逆断層である。



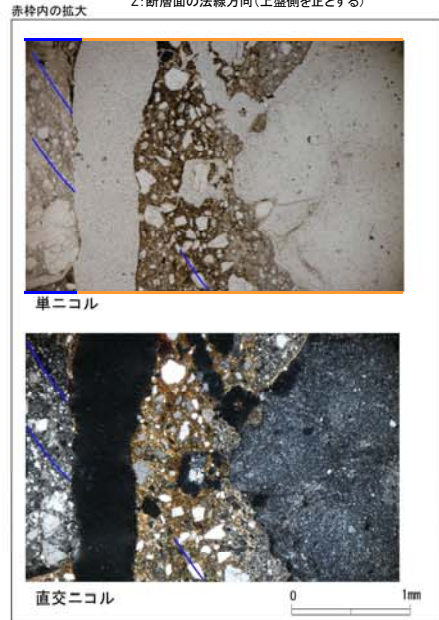
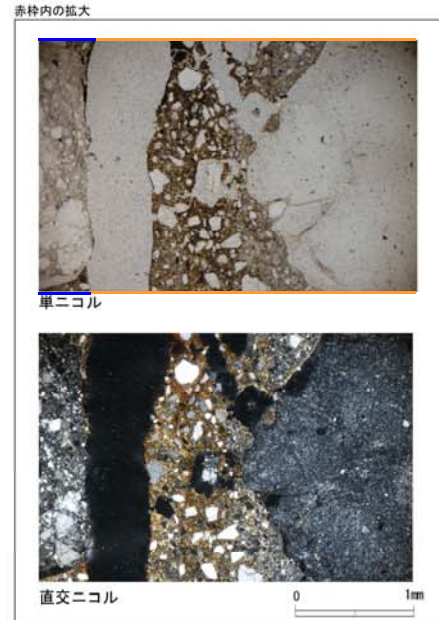
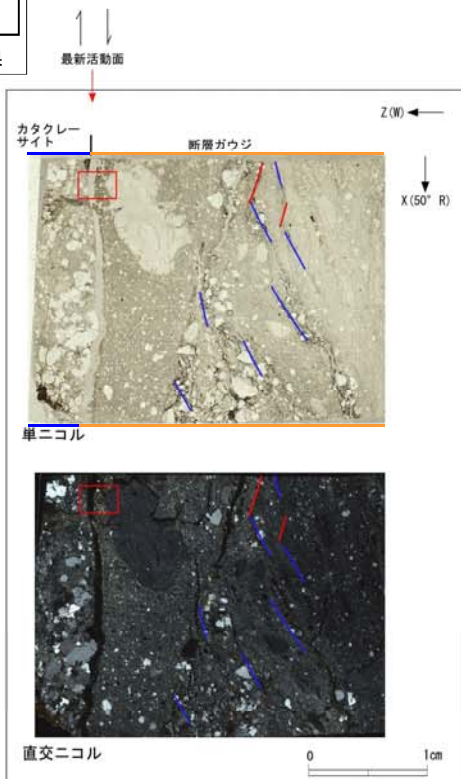
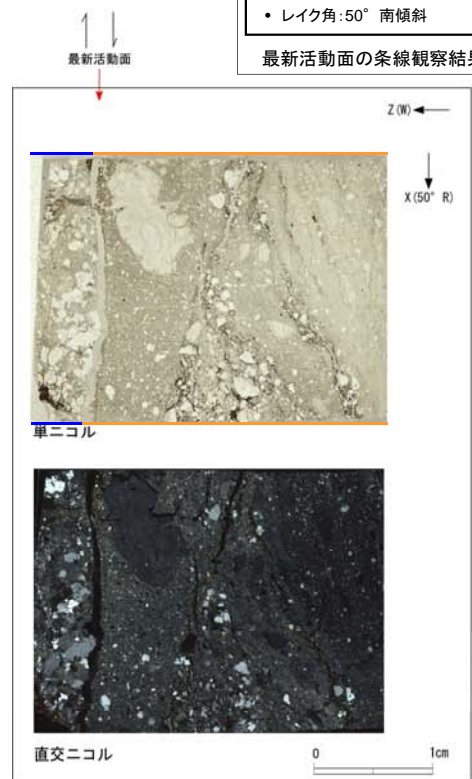
シュミットネット(下半球投影)  
 ● 総データ数: 1  
 ● 最新活動面: 1  
 • 走向・傾斜: N10° W72° W  
 • レイク角: 50° 南傾斜  
 最新活動面の条線観察結果

薄片の作成方向は最新活動面に  
 直交方向かつ条線方向に平行方向



走向・傾斜 N10° W72° W

X: 条線方向(下向きを正とする)  
 Z: 断層面の法線方向(上盤側を正とする)

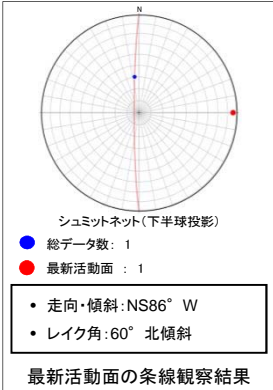


- 凡例
- 断層ガウジ
  - カタクレーサイト
  - R1面
  - P面

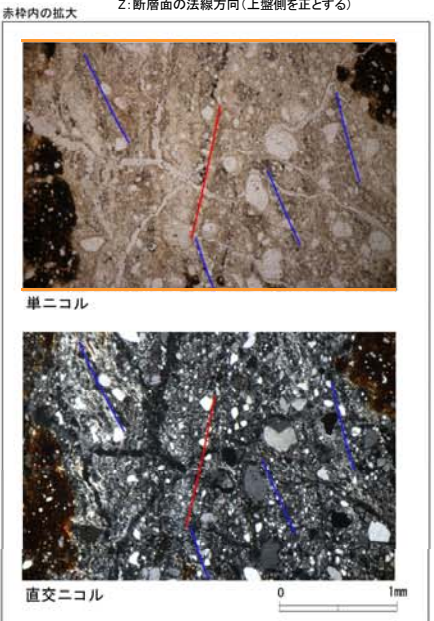
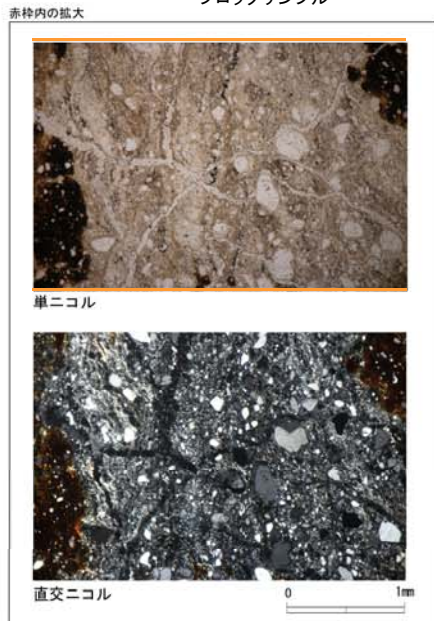
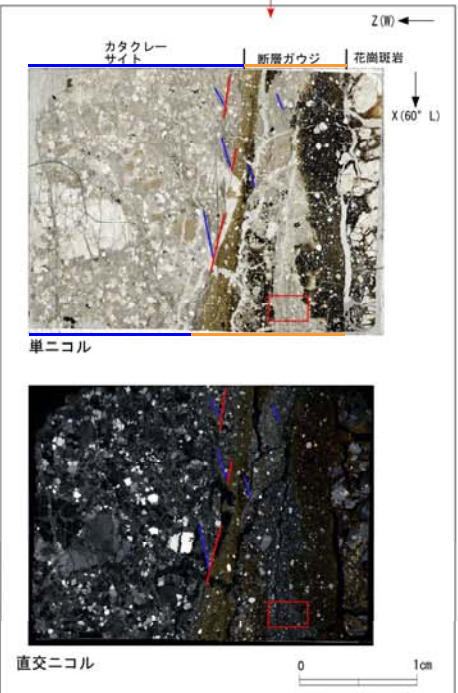
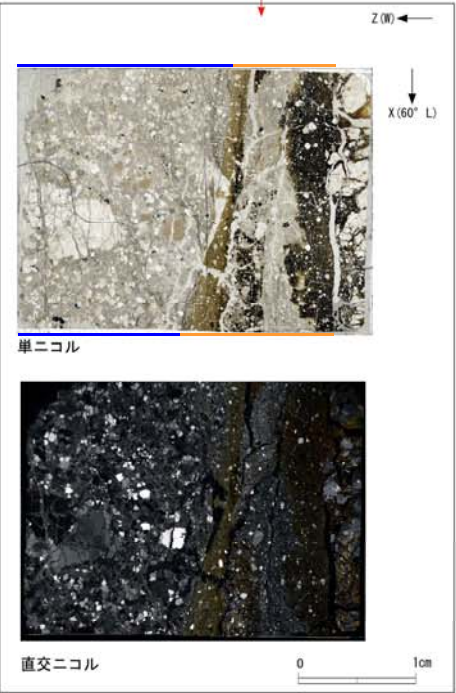
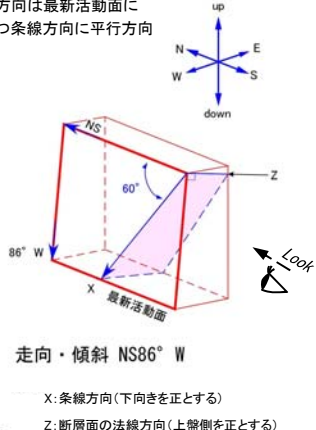
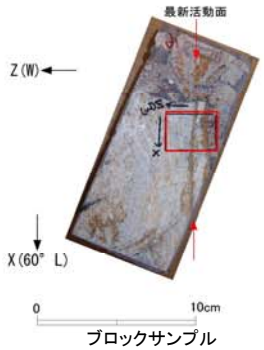


# K断層 薄片試料観察(H24-H-9-1 深度10.43m)

H24-H-9-1のボーリングコア(深度10.43m)から採取した薄片試料の観察結果によれば最新活動面の変位センスは、左ずれを伴う逆断層である。



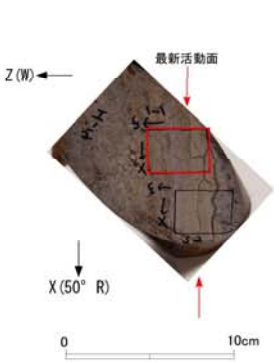
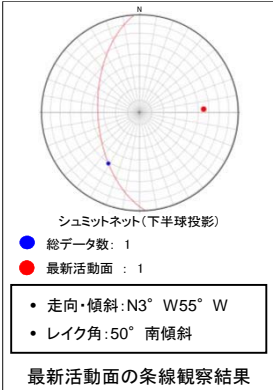
薄片の作成方向は最新活動面に  
直交方向かつ条線方向に平行方向



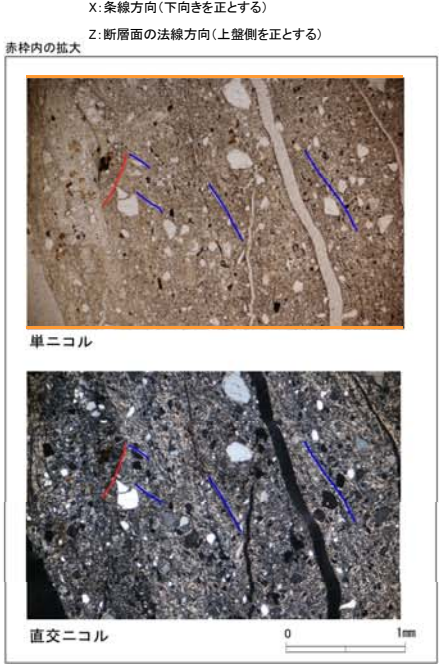
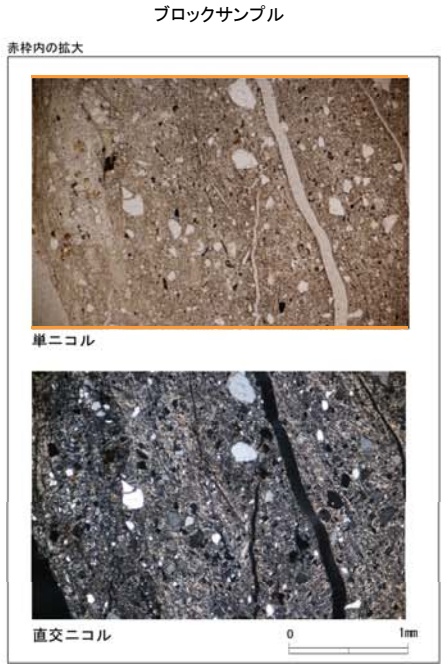
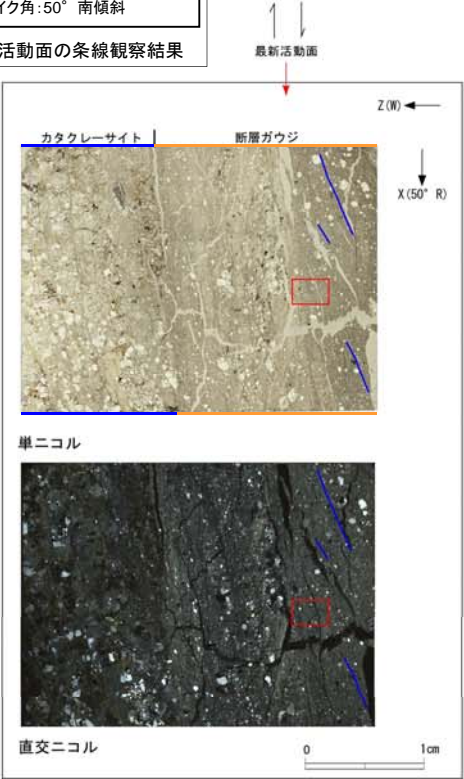
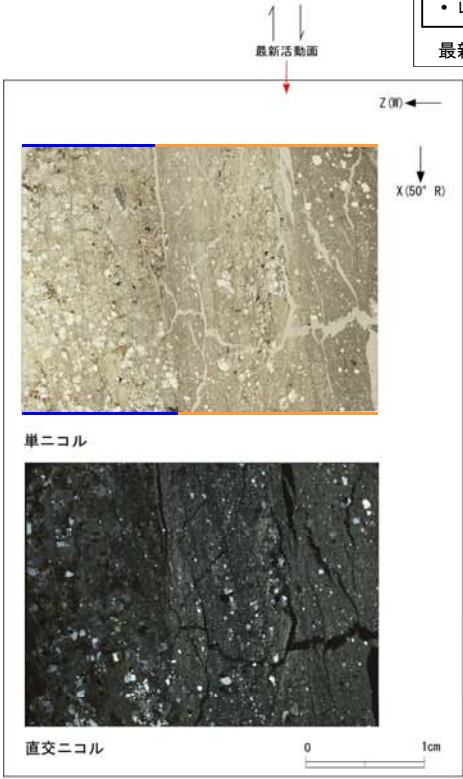
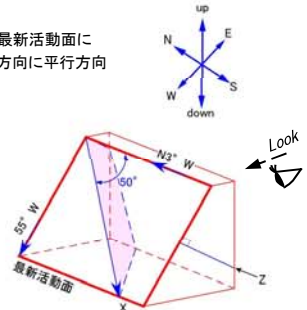
- 凡例
- 断層ガウジ
  - カタクレーサイト
  - R1面
  - P面

# K断層 薄片試料観察(H24-H-14 深度4.93m)

H24-H-14のボーリングコア(深度4.93m)から採取した薄片試料の観察結果によれば最新活動面の変位センスは、右ずれを伴う逆断層である。



薄片の作成方向は最新活動面に  
直交方向かつ条線方向に平行方向



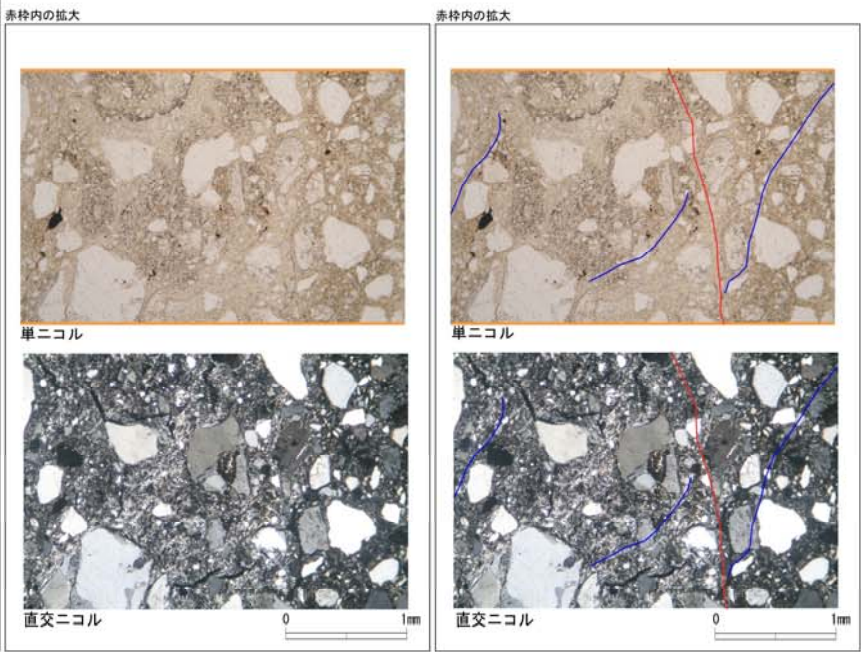
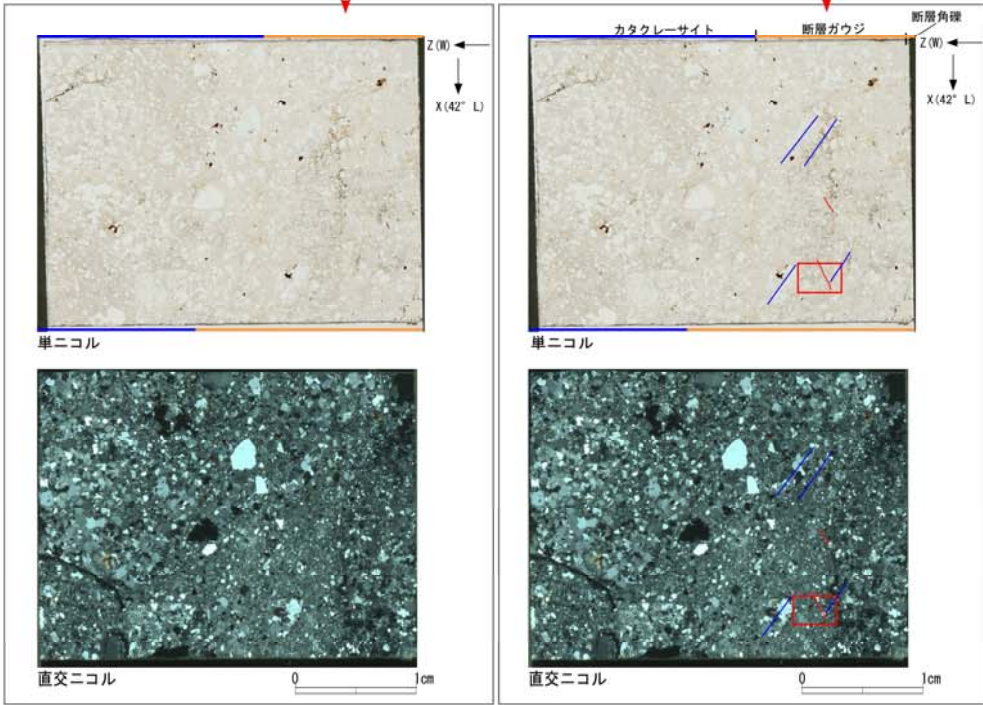
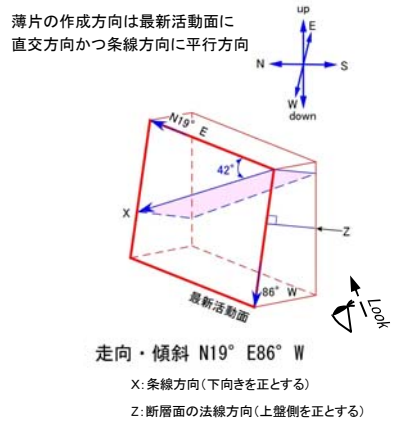
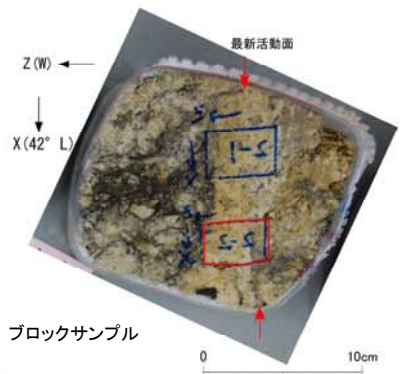
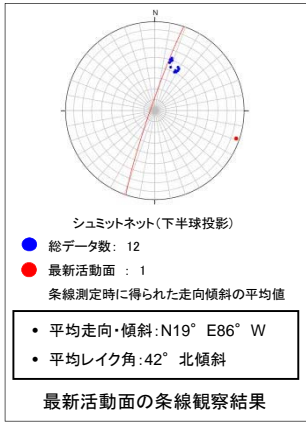
- 凡例
- 断層ガウジ
  - カタクレーサイト
  - R1面
  - P面



## 4. D-6破碎帶

# D-6破碎帯 薄片試料観察(D-6大深度坑)

D-6大深度坑から採取した薄片試料の観察結果によれば最新活動面の変位センスは、右ずれを伴う正断層である。

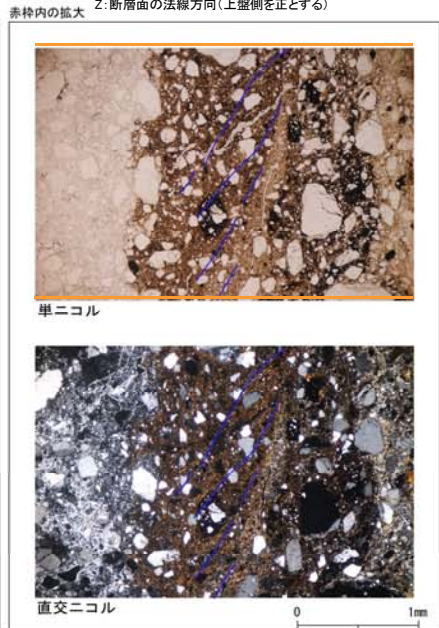
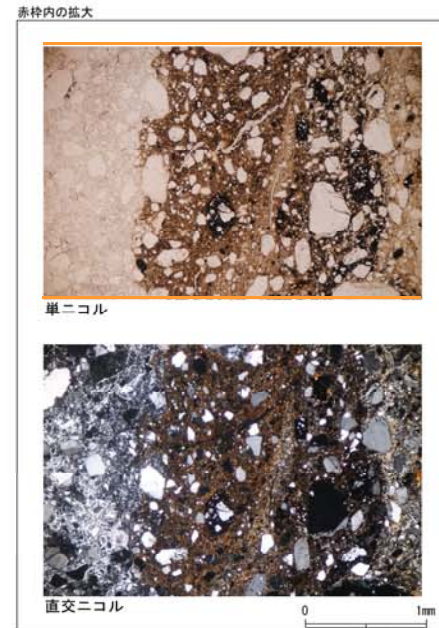
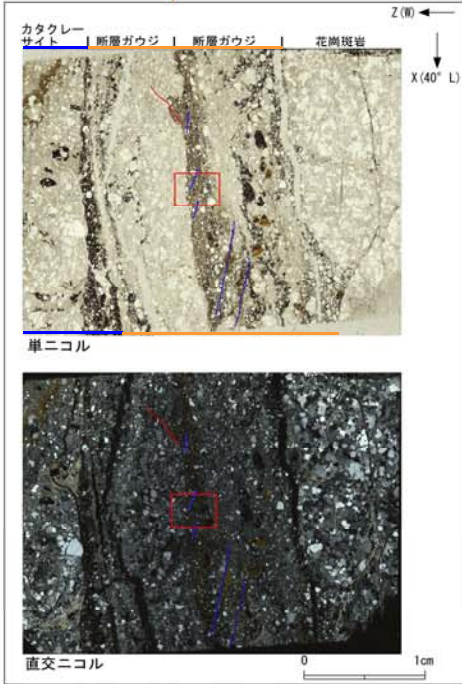
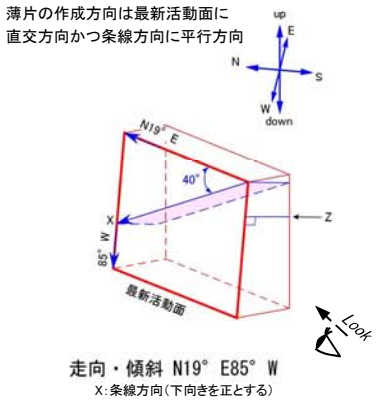
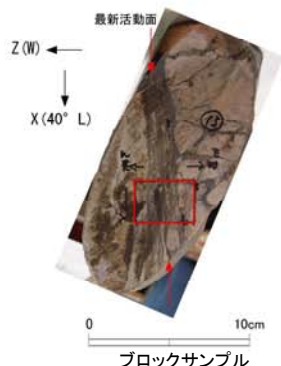
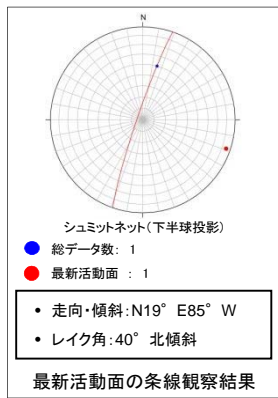


- 凡例
- 断層ガウジ・断層角礫
  - カタクレーサイト
  - R1面
  - P面



# D-6破碎帯 薄片試料観察(H24-B8-22 深度176.70m)

H24-B8-22のボーリングコア(深度176.70m)から採取した薄片試料の観察結果によれば最新活動面の変位センスは、右ずれを伴う正断層である。



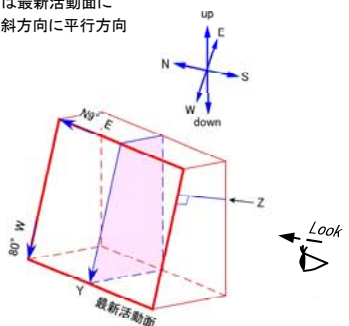
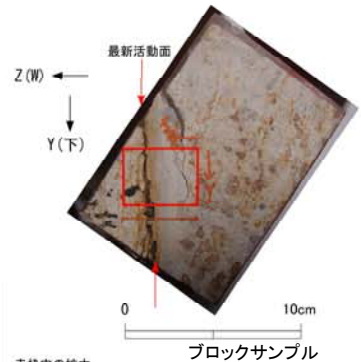
- 凡例
- 断層ガウジ
  - カタクレーサイト
  - R1面
  - P面

# D-6破碎帯 薄片試料観察(H24-B11-2 深度83.79m)(その1)

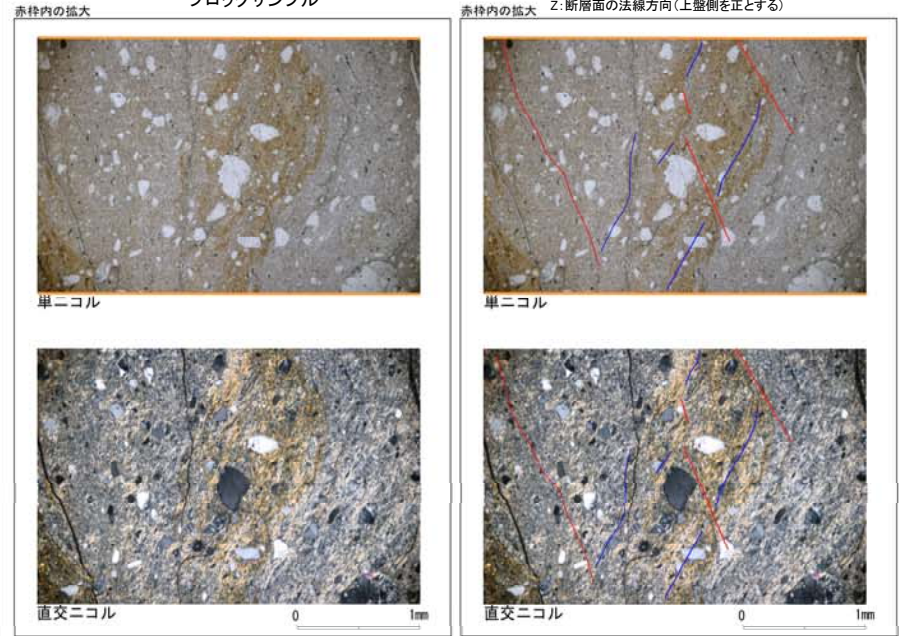
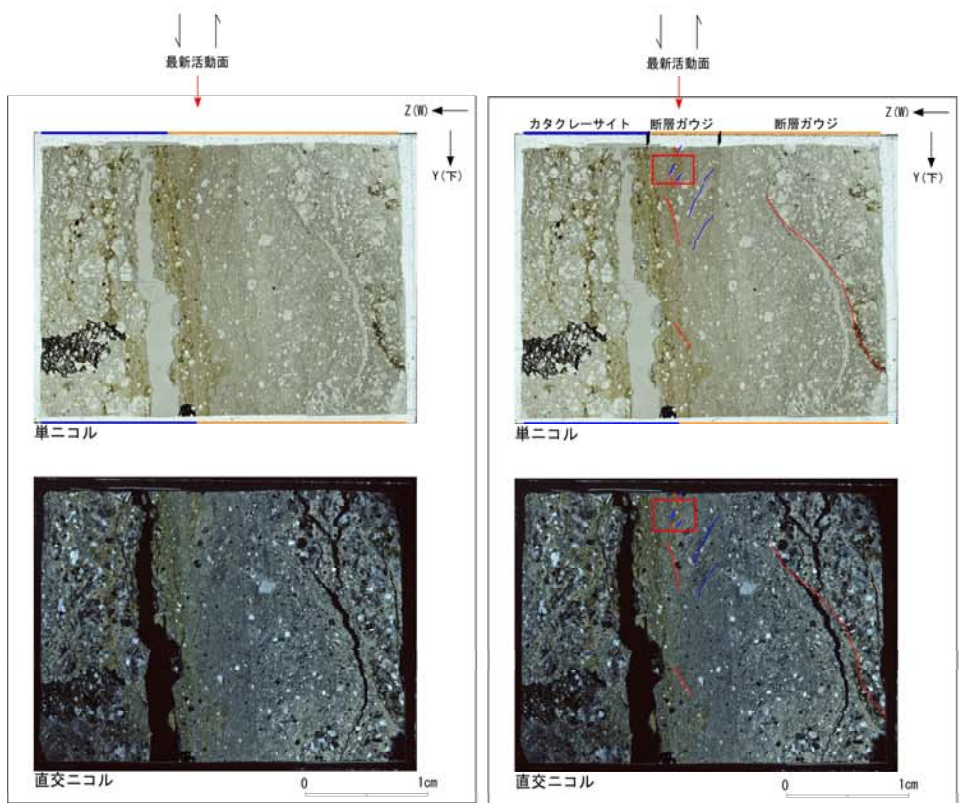
H24-B11-2のボーリングコア(深度83.79m)から採取した薄片試料の観察結果によれば最新活動面の変位センスは、右ずれを伴う正断層である。

条線データなし

薄片の作成方向は最新活動面に  
直交方向かつ傾斜方向に平行方向



走向・傾斜 N9° E80° W  
Y: 傾斜方向(下向きを正とする)  
Z: 断層面の法線方向(上側を正とする)



- 凡例
- 断層ガウジ
- カタクレーサイト
- R1面
- P面

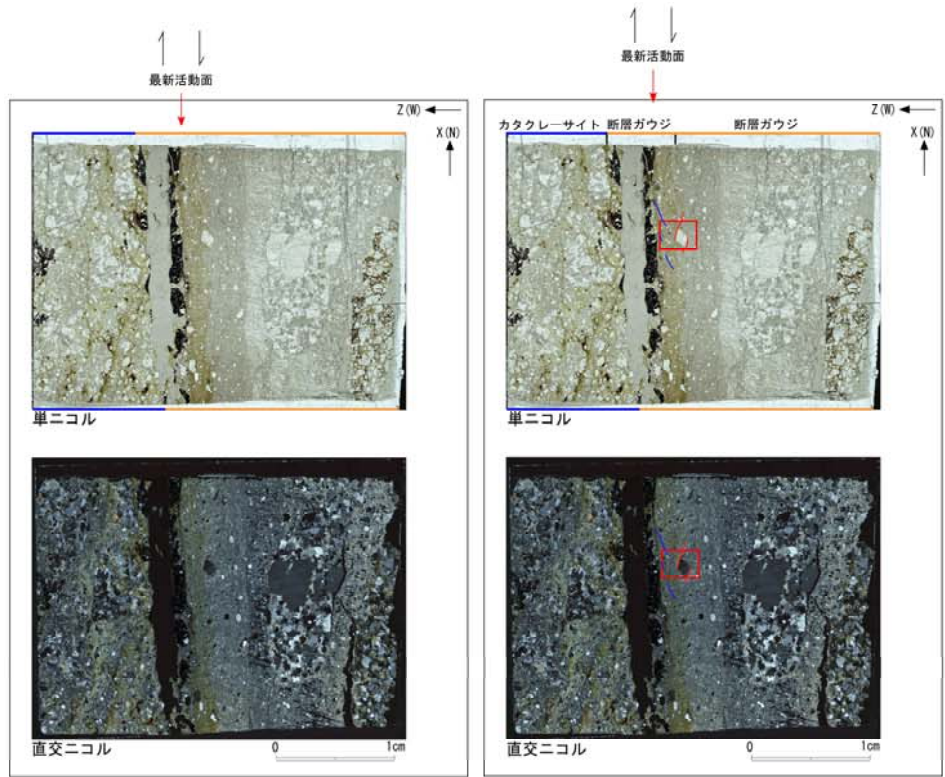
鉛直断面: 最新活動面の変位センスは、正断層成分が卓越する。



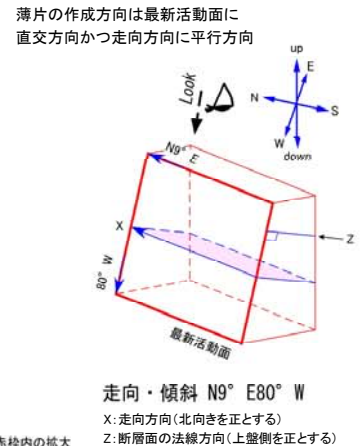
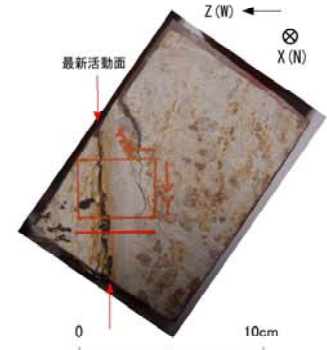
# D-6破碎帯 薄片試料観察(H24-B11-2 深度83.79m)(その2)

H24-B11-2のボーリングコア(深度83.79m)から採取した薄片試料の観察結果によれば最新活動面の変位センスは、右ずれを伴う正断層である。

条線データなし



- 凡例
- 断層ガウジ
- カタクレーサイト
- R1面
- P面

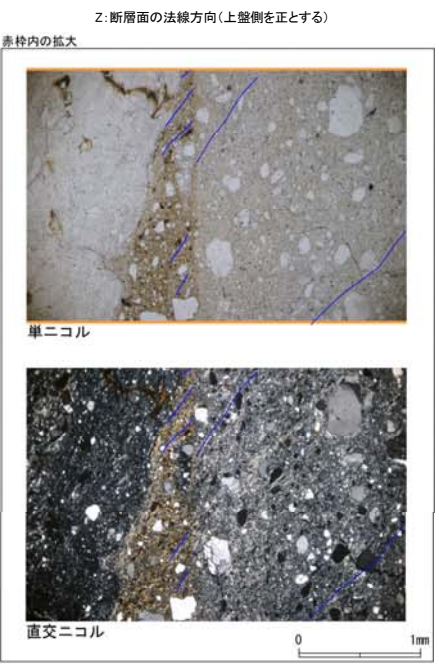
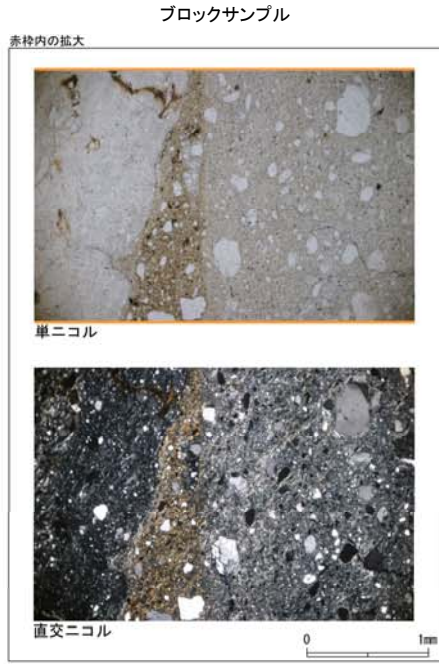
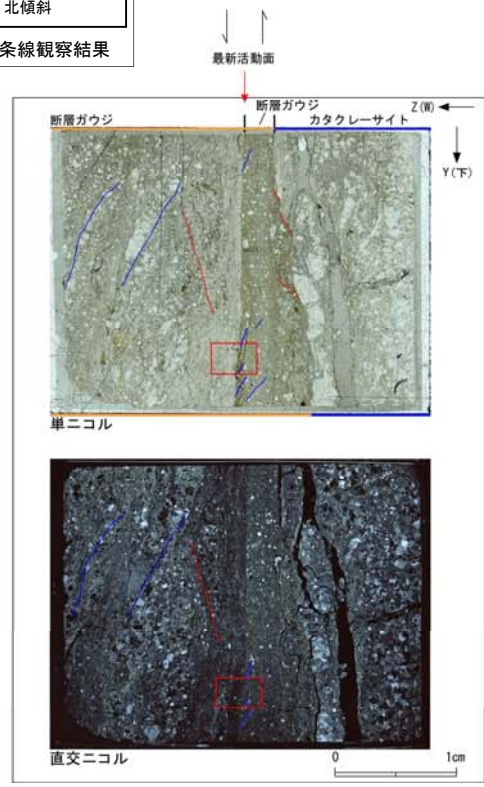
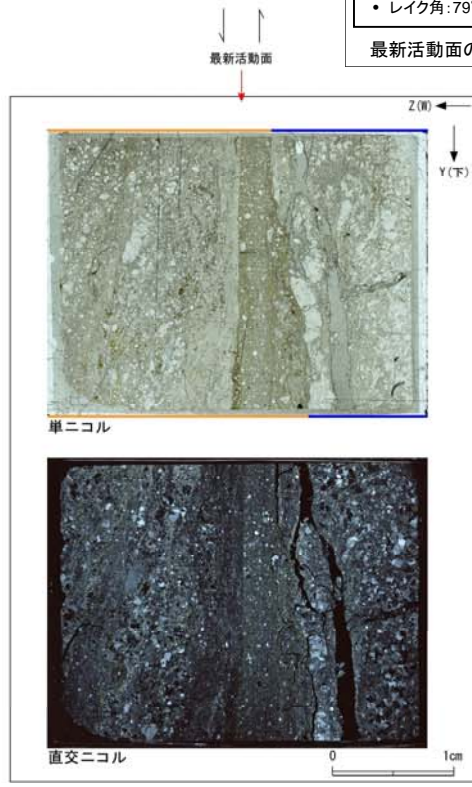
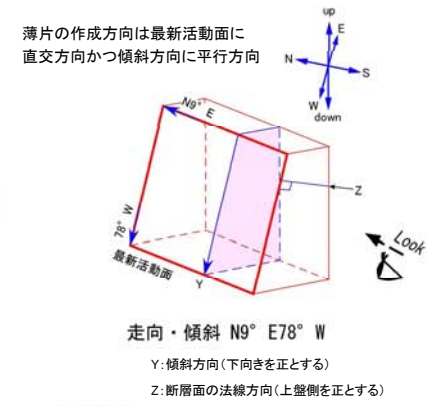
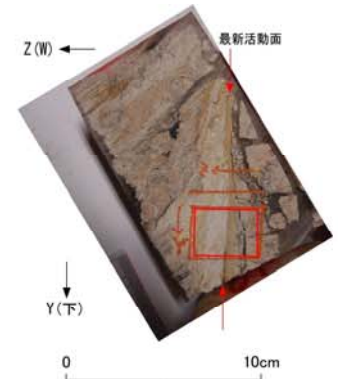
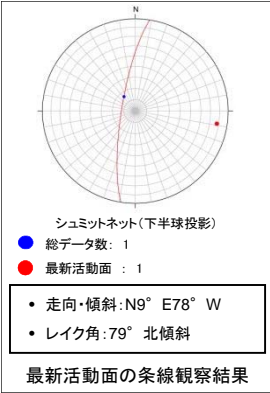


走向・傾斜 N9° E80° W  
 X: 走向方向(北向きを正とする)  
 Z: 断層面の法線方向(上盤側を正とする)

水平断面: 最新活動面の変位センスは、右ずれ成分が卓越する。

# D-6破碎帯 薄片試料観察(H19-No.4 深度171.70m) (その1)

H19-No.4のボーリングコア(深度171.70m)から採取した薄片試料の観察結果によれば最新活動面の変位センスは、正断層成分が卓越する。

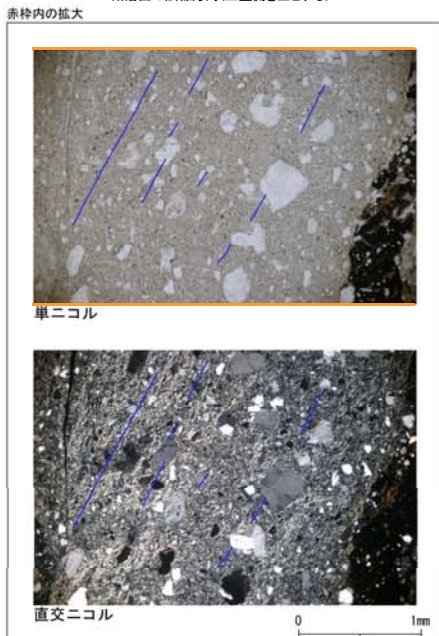
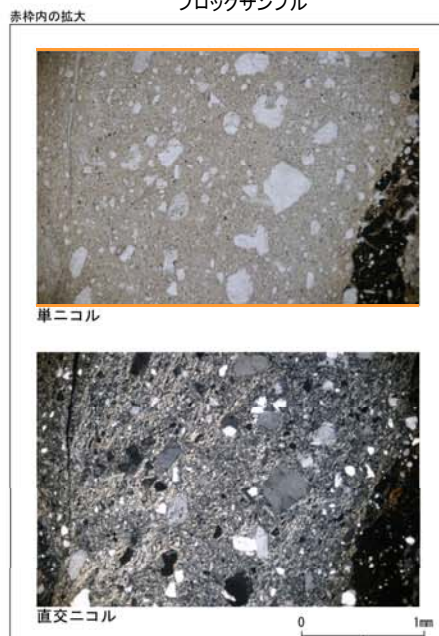
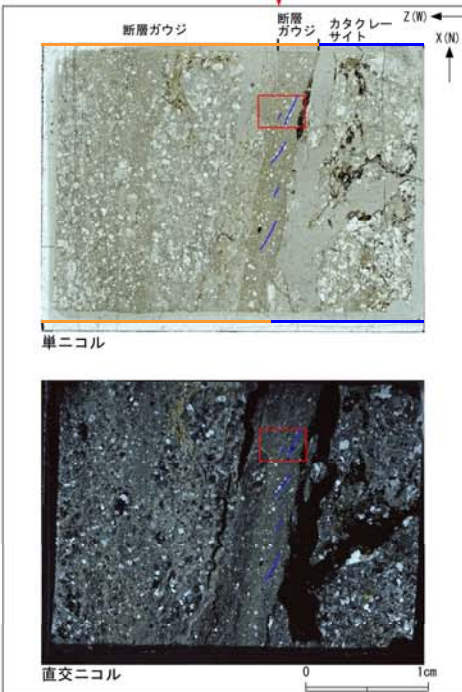
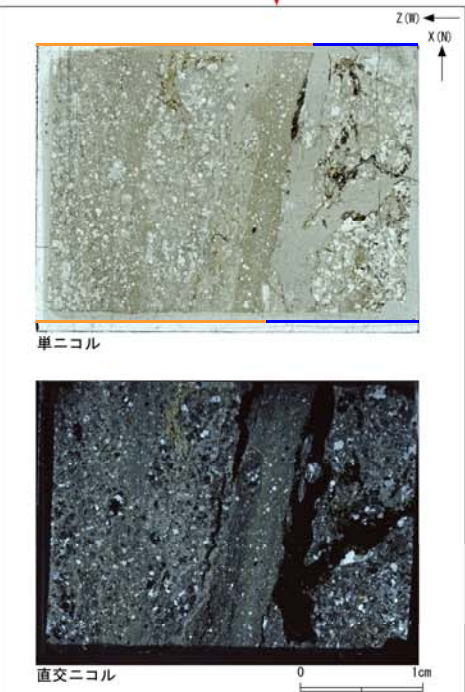
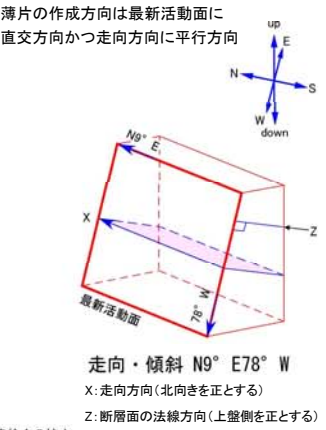
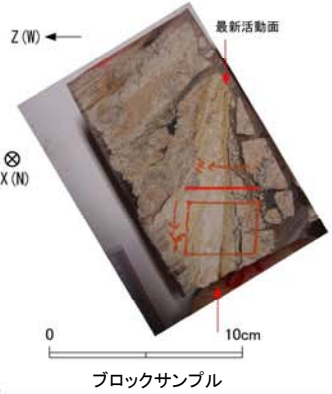
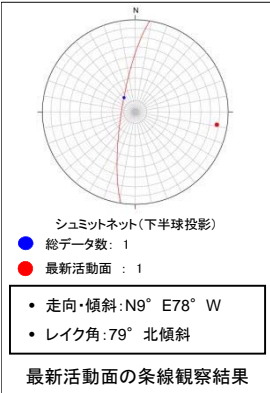


- 凡例
- 断層ガウジ
  - カタクレーサイト
  - R1面
  - P面



# D-6破碎帯 薄片試料観察(H19-No.4 深度171.70m) (その2)

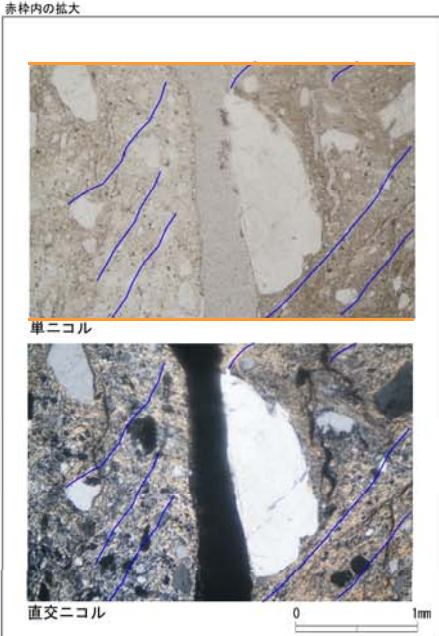
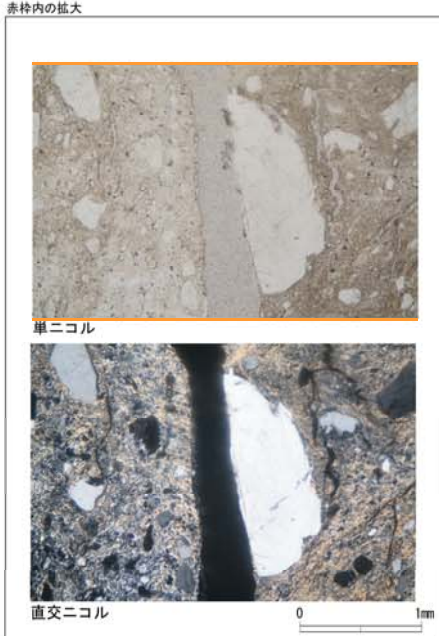
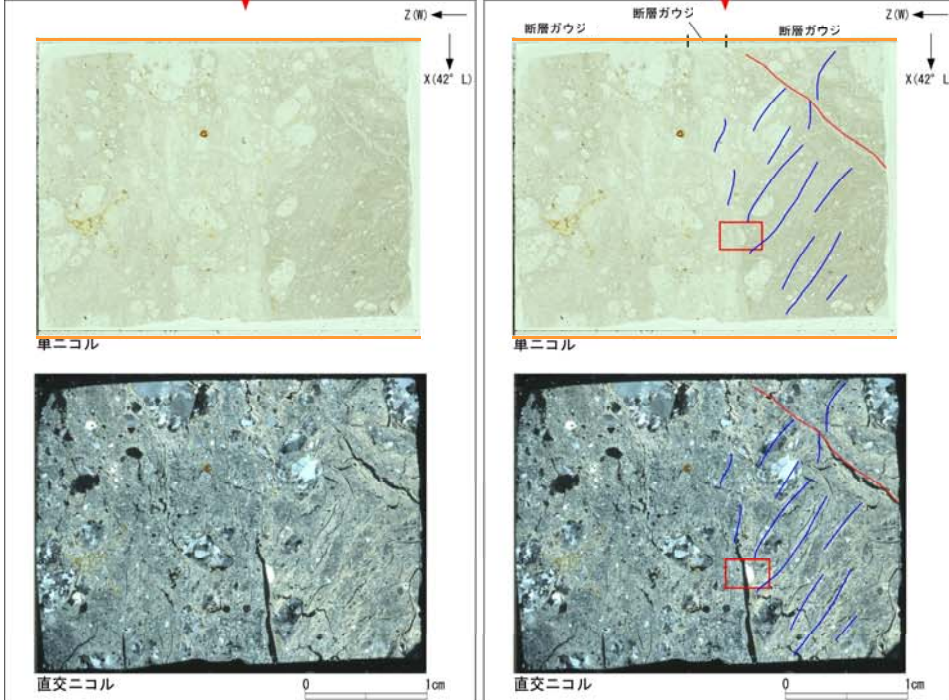
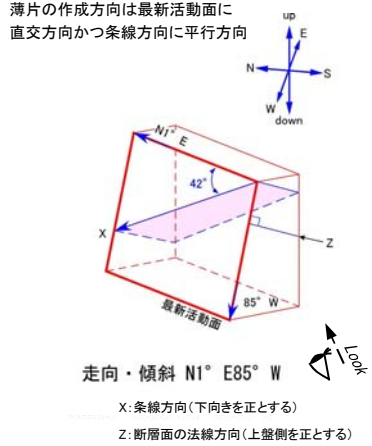
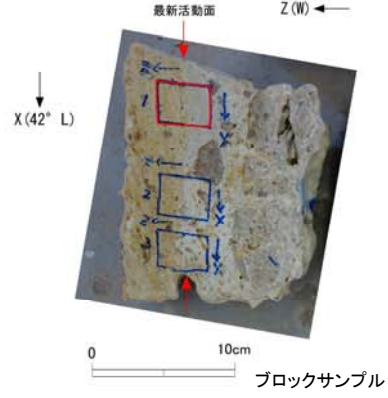
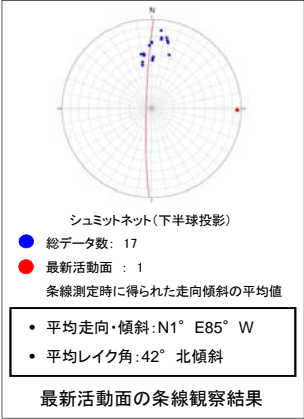
H19-No.4のボーリングコア(深度171.70m)から採取した薄片試料の観察結果によれば最新活動面の変位センスは、正断層成分が卓越する。



- 凡例
- 断層ガウジ
  - カタクレーサイト
  - R1面
  - P面

# D-6破碎帯 薄片試料観察(1号炉原子炉建屋南側斜面)

1号炉原子炉建屋南側斜面から採取した薄片試料の観察結果によれば最新活動面の変位センスは、右ずれを伴う正断層である。



- 凡例
- 断層ガウジ
  - カタクレーサイト
  - R1面
  - P面

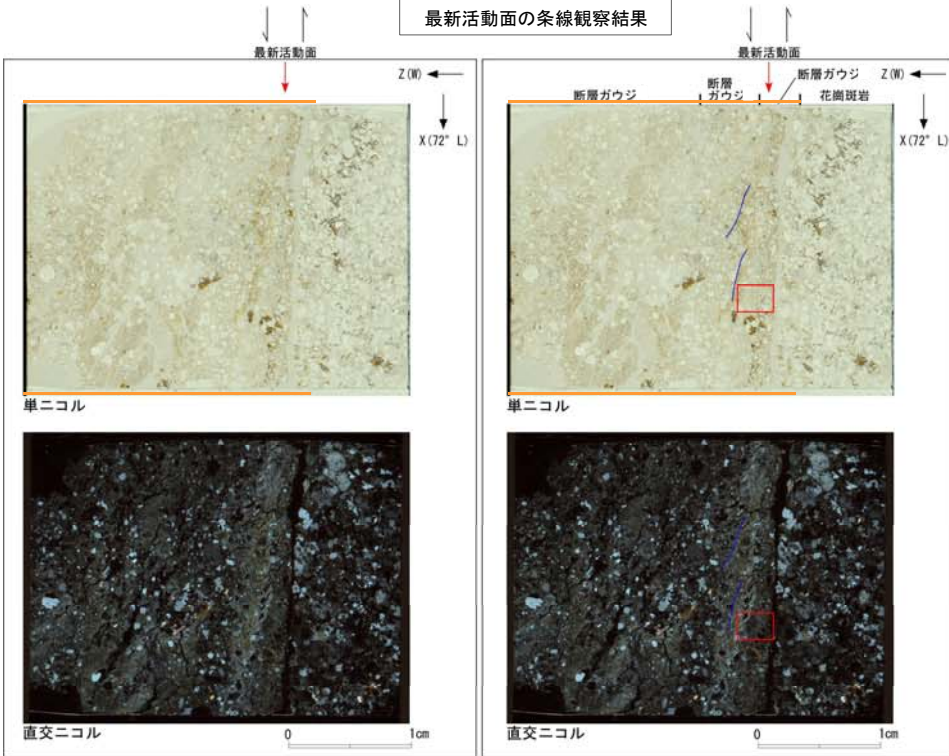
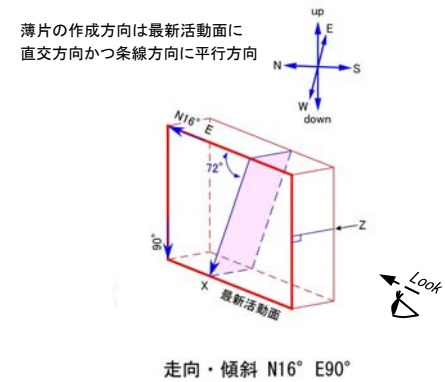
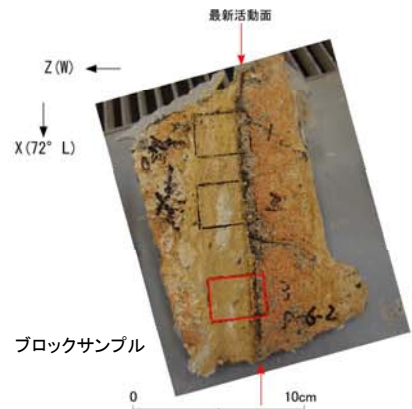
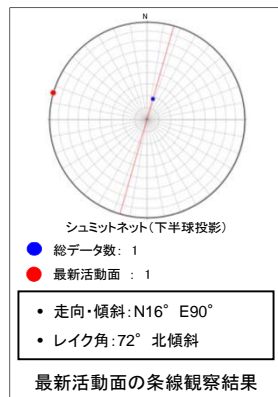




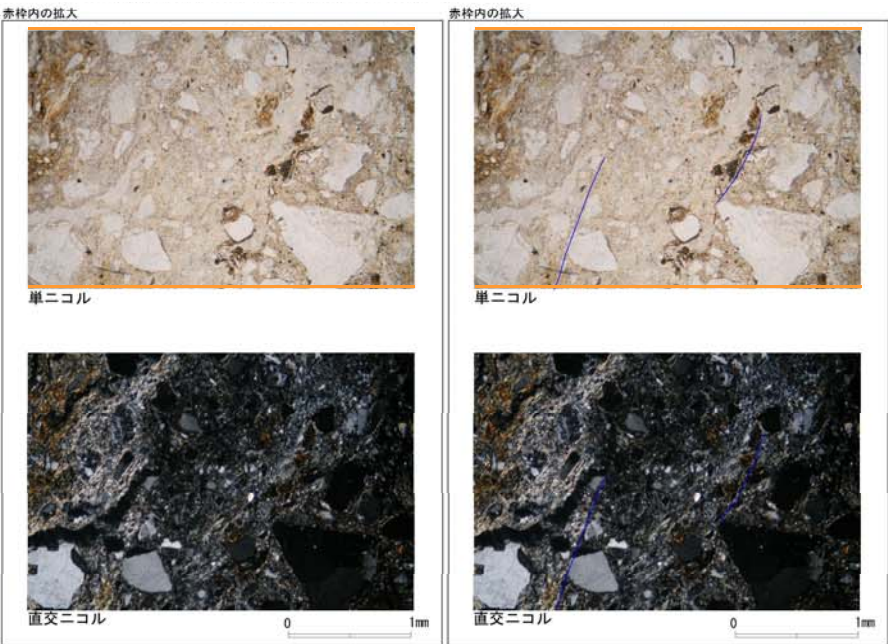


# D-6破碎帯 薄片試料観察(1号炉原子炉建屋南方斜面(72m盤東側))

1号炉原子炉建屋南方斜面(72m盤東側)から採取した薄片試料の観察結果によれば最新活動面の変位センスは、正断層成分が卓越する。



※全体的にはW傾斜であるが、切断面部分は局所的な湾曲部であり東傾斜を示す。変位センスはW傾斜北落ち条線で変位センスを判読する。

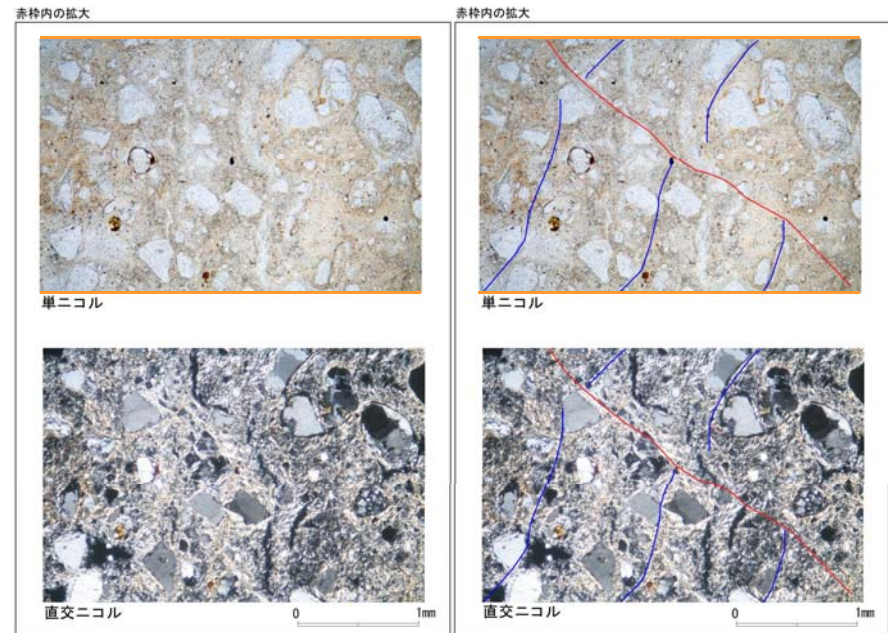
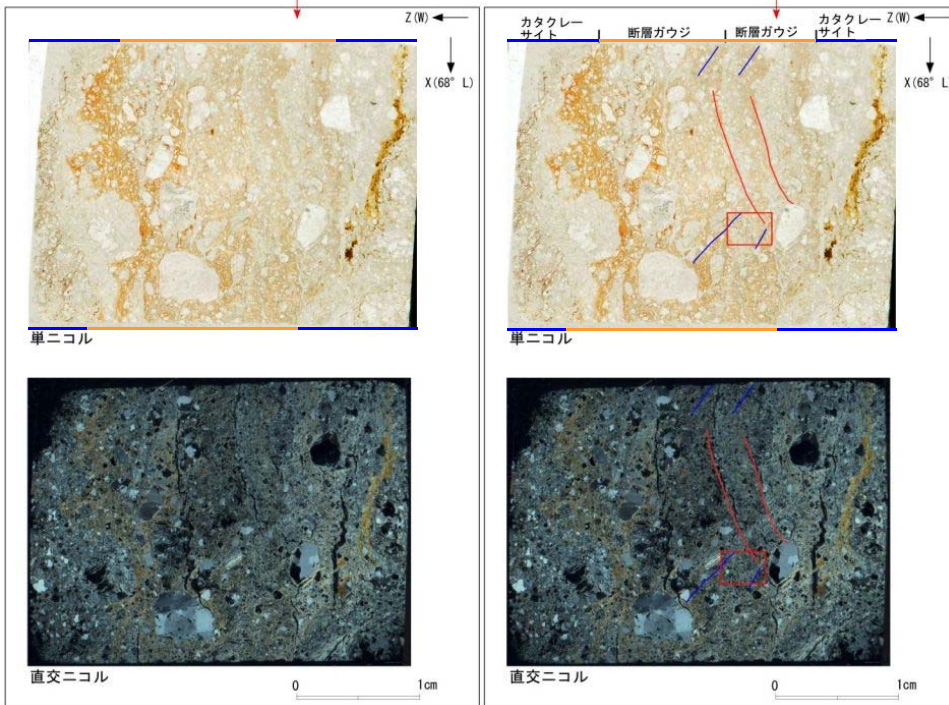
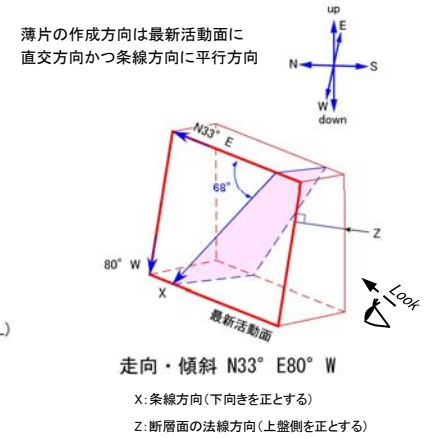
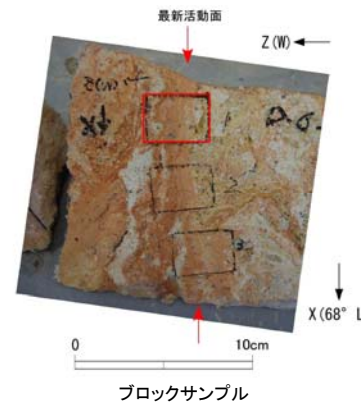
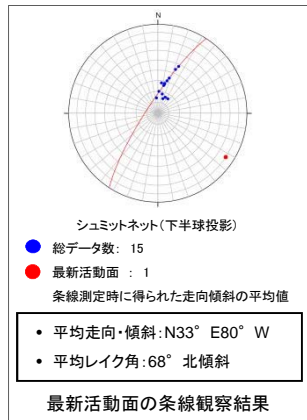


- 凡例
- 断層ガウジ
  - カタクレーサイト
  - R1面
  - P面



# D-6破碎帯 薄片試料観察(1号炉原子炉建屋南方斜面(72m盤西側))

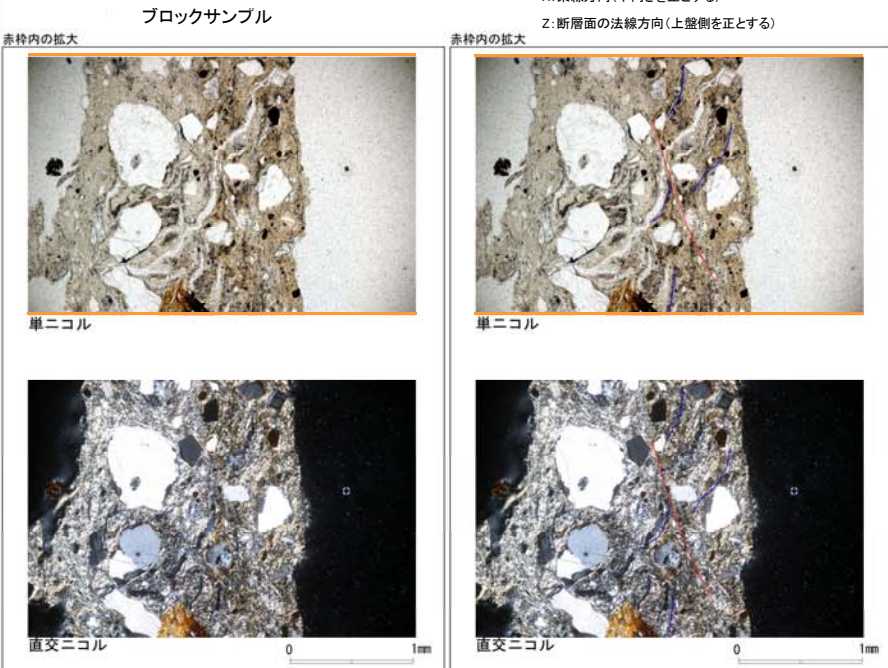
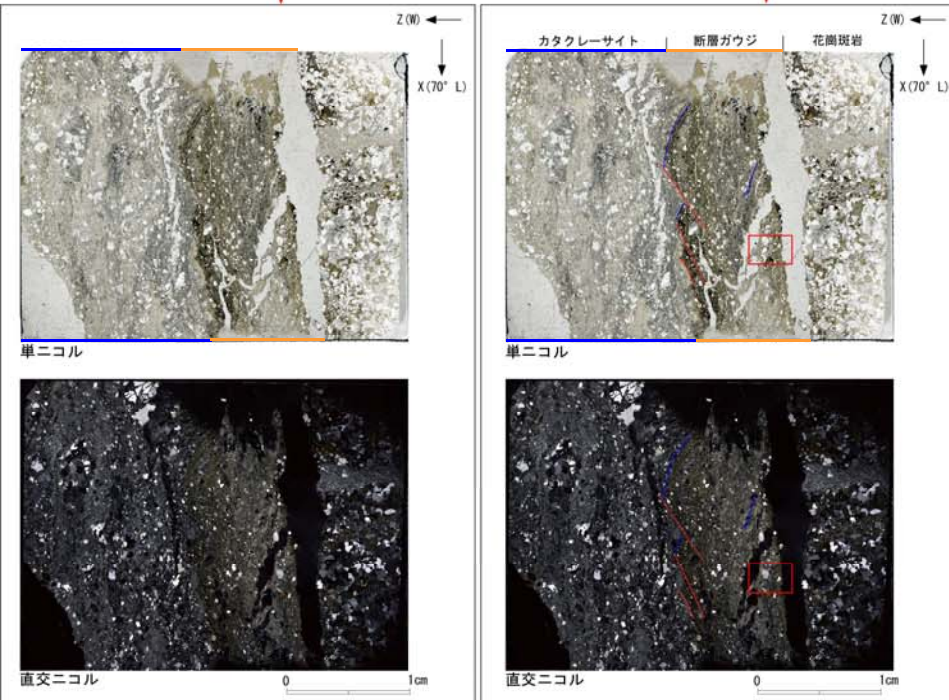
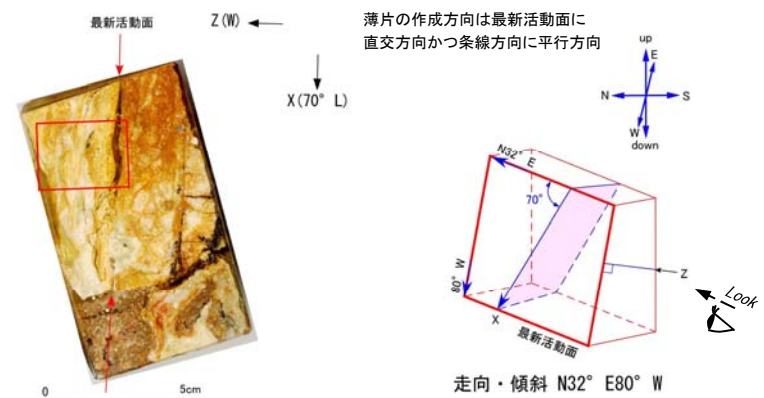
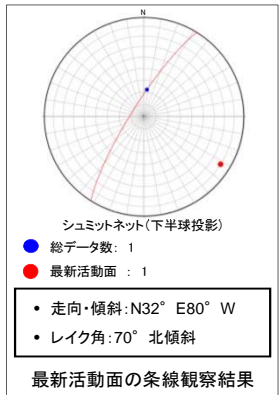
1号炉原子炉建屋南方斜面(72m盤西側)から採取した薄片試料の観察結果によれば最新活動面の変位センスは、正断層成分が卓越する。



- 凡例
- 断層ガウジ
  - カタクレーサイト
  - R1面
  - P面

# D-6破碎帯 薄片試料観察(H20-①-4 深度14.67m)

H20-①-4のボーリングコア(深度14.67m)から採取した薄片試料の観察結果によれば最新活動面の変位センスは、正断層成分が卓越する。

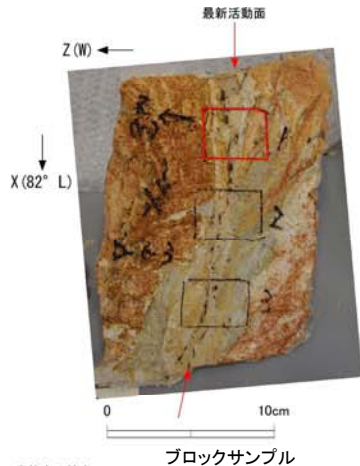
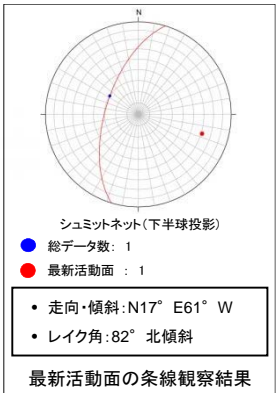


- 凡例
- 断層ガウジ
  - カタクレーサイト
  - R1面
  - P面

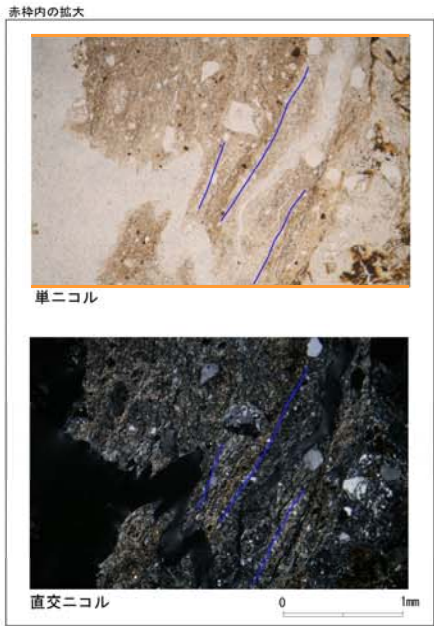
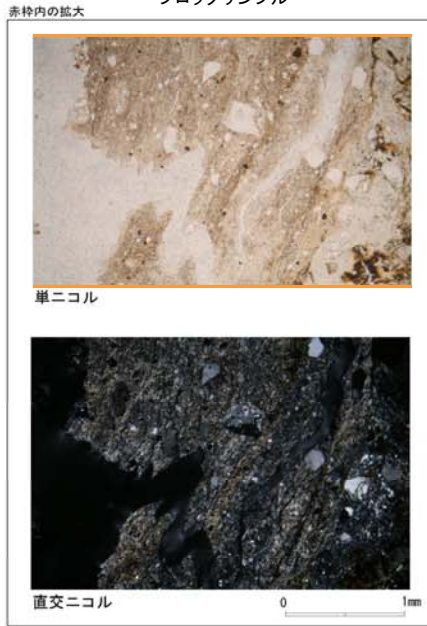
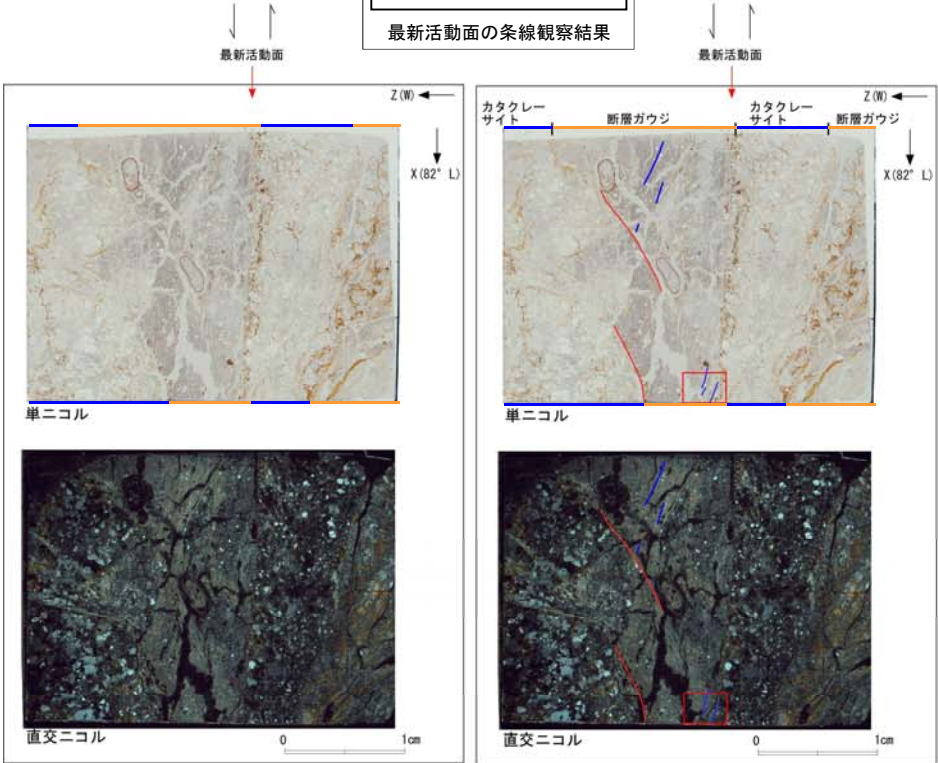
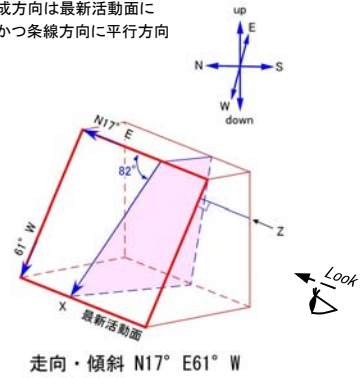


# D-6破碎帯 薄片試料観察(1号炉原子炉建屋南方斜面(山頂部))

1号炉原子炉建屋南方斜面(山頂部)から採取した薄片試料の観察結果によれば最新活動面の変位センスは、正断層成分が卓越する。



薄片の作成方向は最新活動面に  
直交方向かつ条線方向に平行方向



- 凡例
- 断層ガウジ
  - カタクレーサイト
  - R1面
  - P面

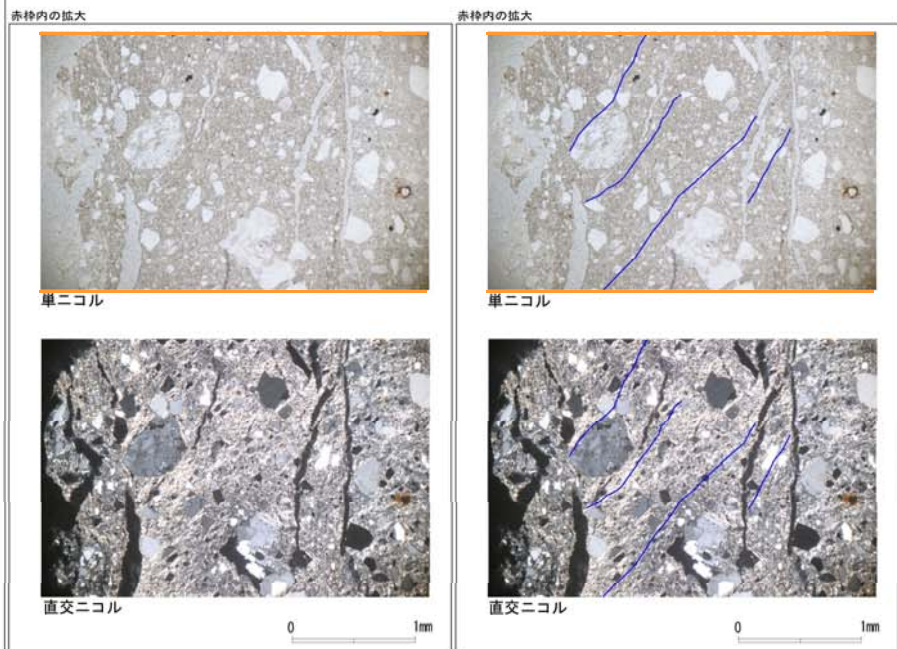
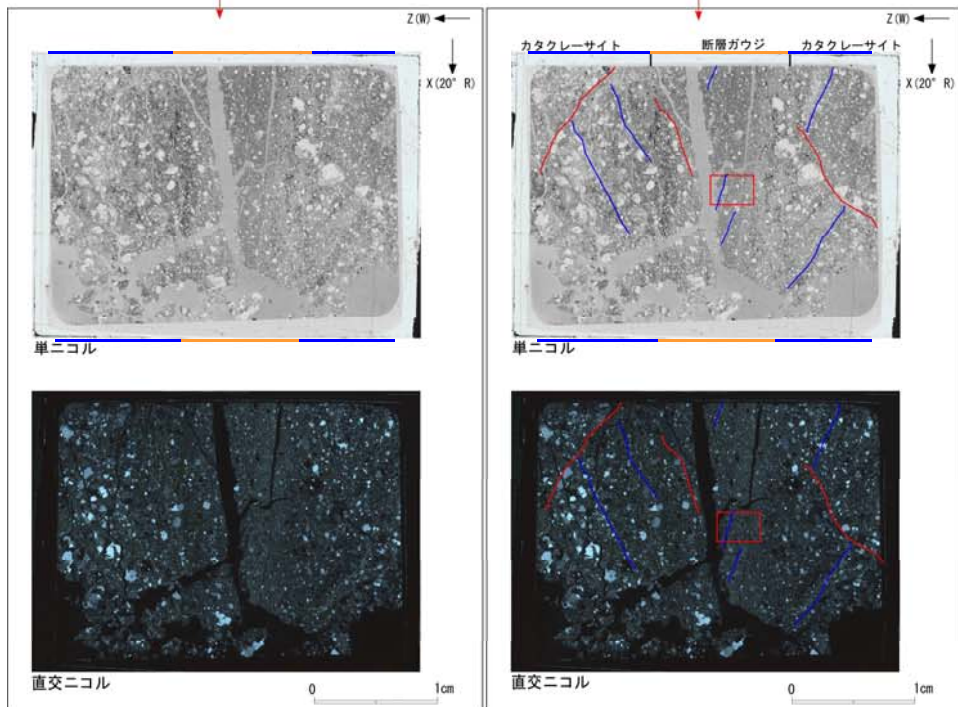
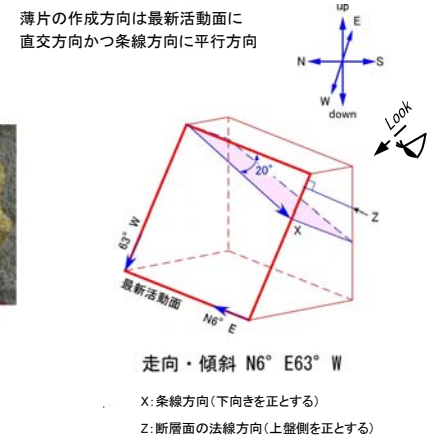
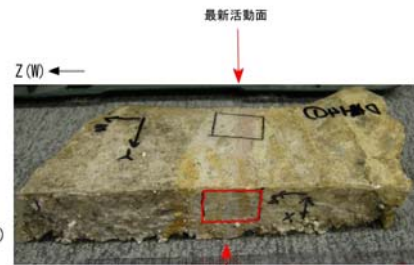
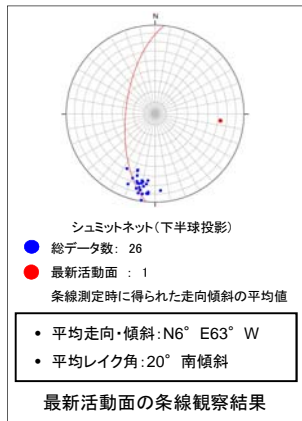
余白



## 5. D-14破碎帶

# D-14破碎帯 薄片試料観察(D-14既往露頭)

D-14既往露頭で採取した薄片試料の観察結果によれば、最新活動面の変位センスは、左ずれ成分が卓越する。

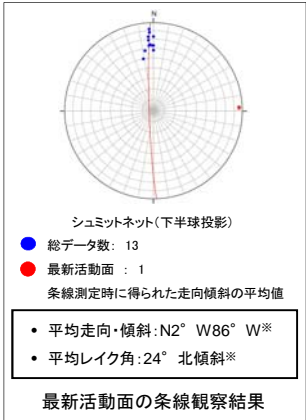


- 凡例
- 断層ガウジ
  - カタクレーサイト
  - R1面
  - P面

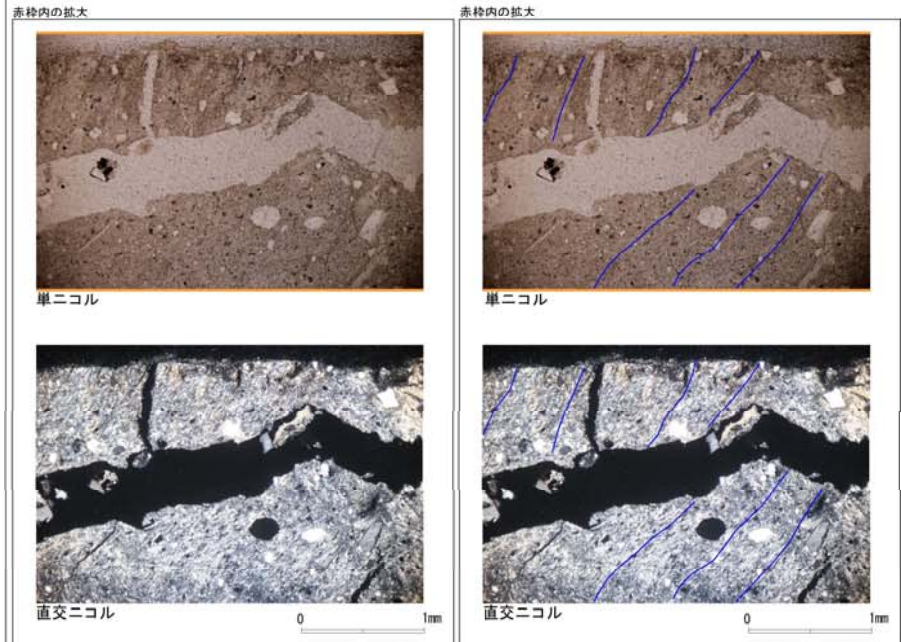
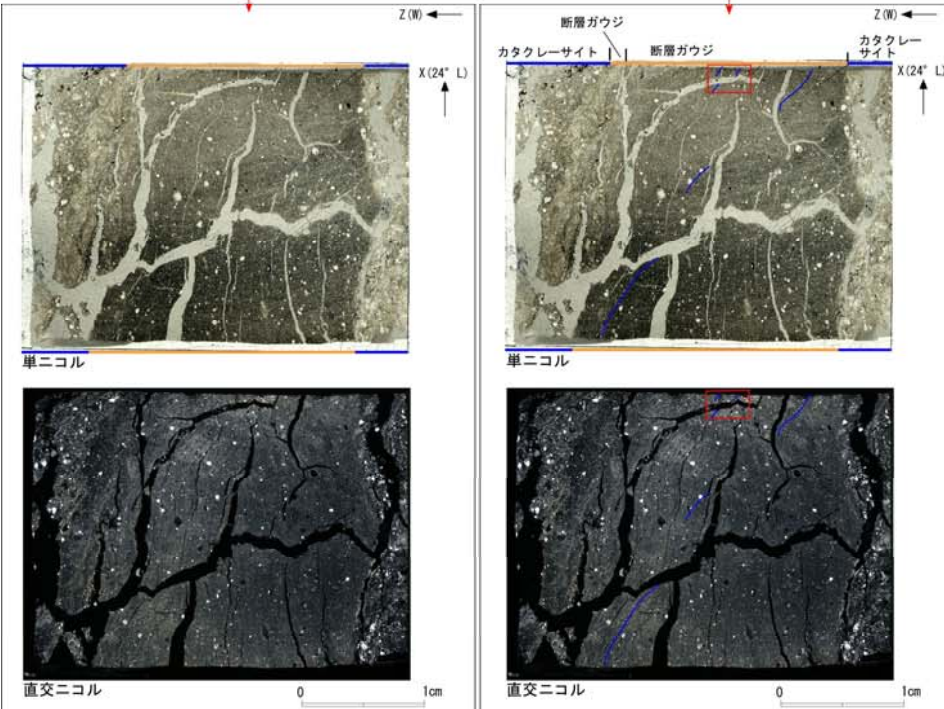
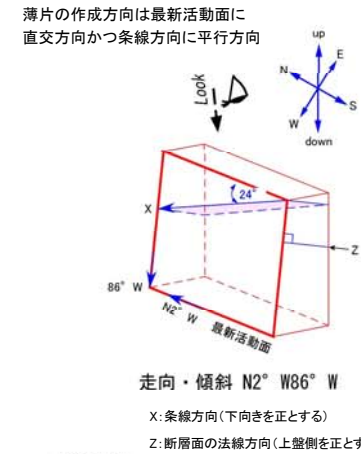
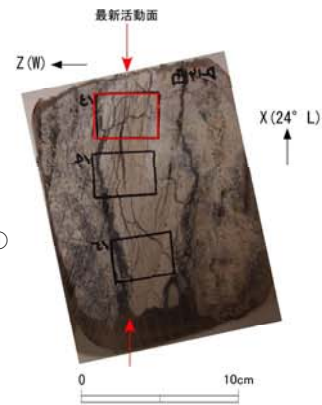


# D-14破碎帯 薄片試料観察(D-14ピット①)

D-14ピット①から採取した薄片試料の観察結果によれば最新活動面の変位センスは、左ずれ成分が卓越する。



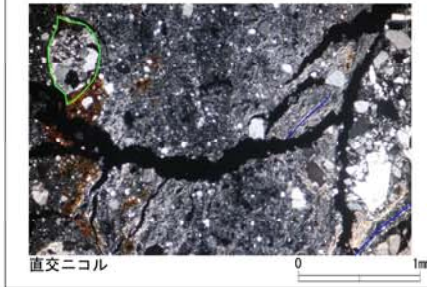
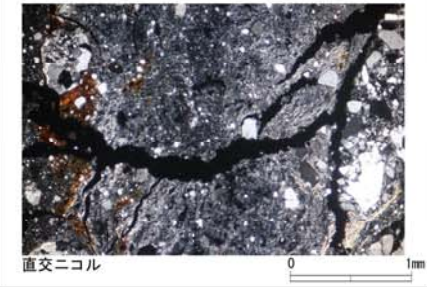
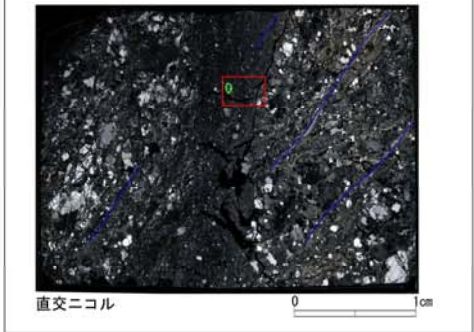
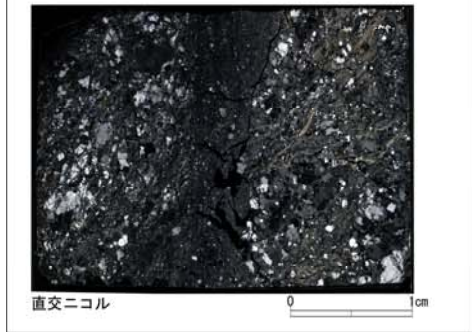
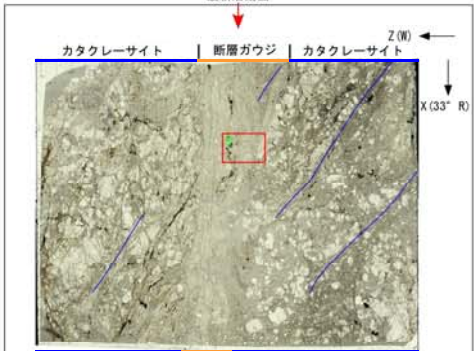
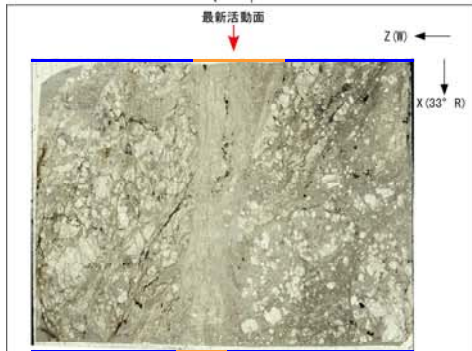
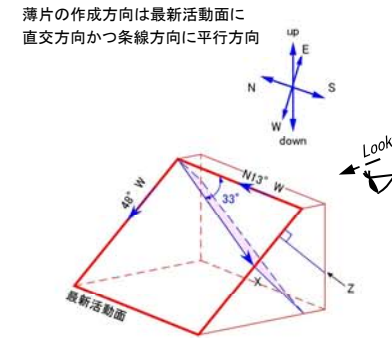
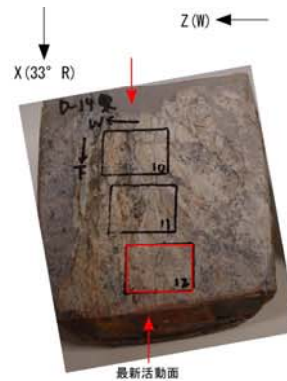
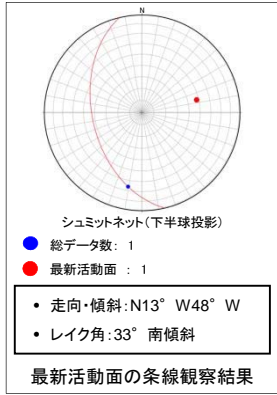
※性状一覧表に掲載されている値は、ピット①の底盤掘り下げ後の追加計測値であるため、本資料に掲載されている値とは異なる



- 凡例
- 断層ガウジ
  - カタクレーサイト
  - R1面
  - P面

# D-14破碎帯 薄片試料観察(D-14ピット②)

D-14ピット②から採取した薄片試料の観察結果によれば最新活動面の変位センスは、左ずれを伴う正断層である。



- 凡例
- 断層ガウジ
  - カタクレーサイト
  - R1面
  - P面
  - 非対称変形構造

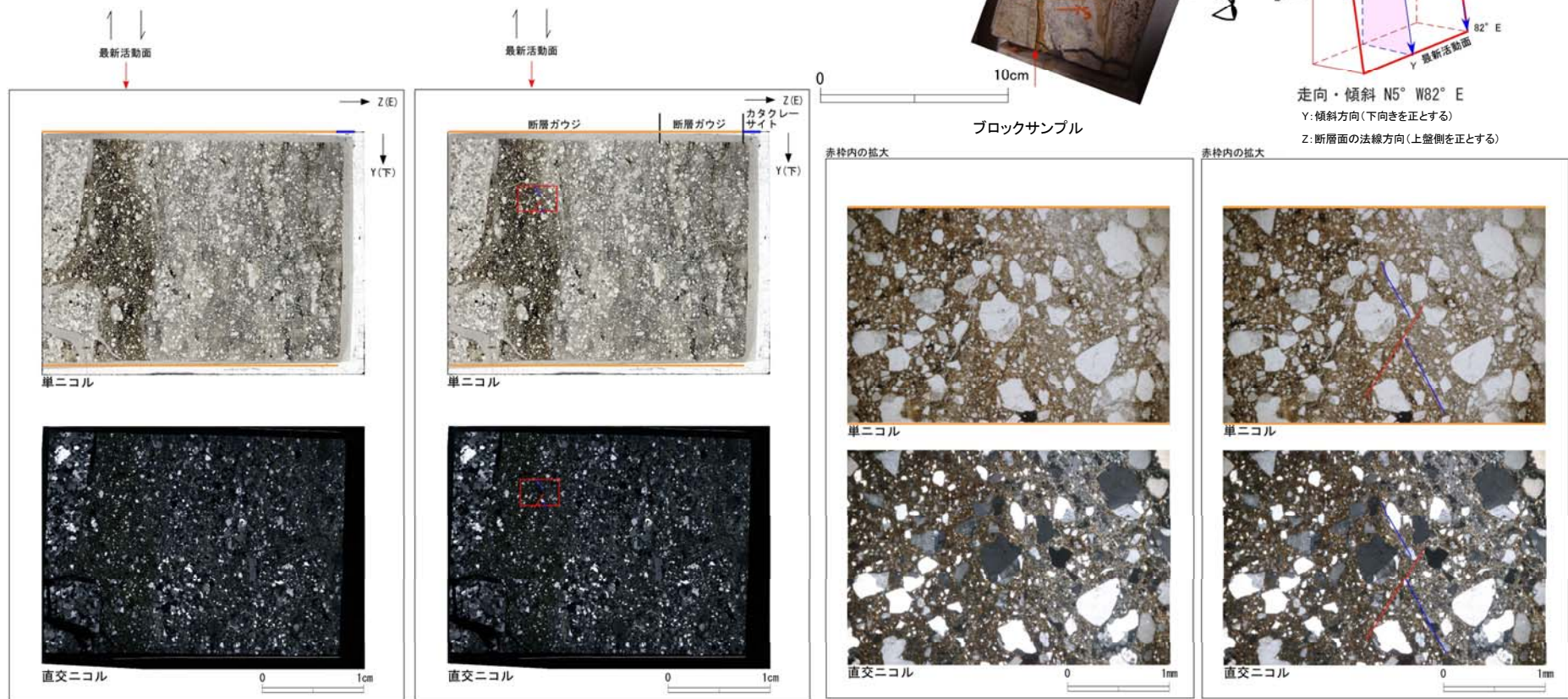
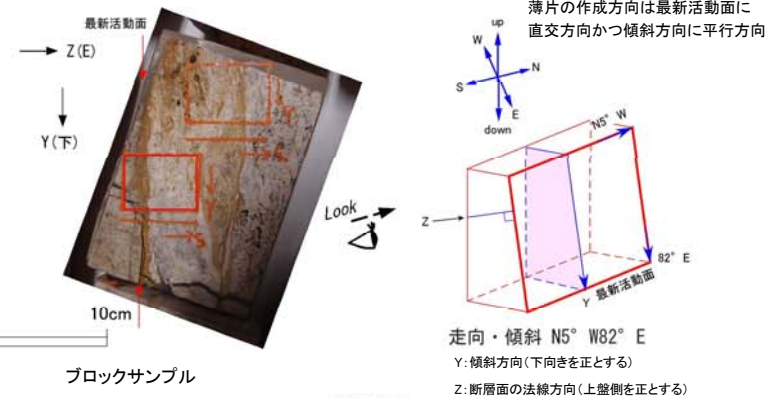


## 6. D-5破碎帶

# D-5破碎帯 薄片試料観察(H24-B8-21 深度93.53m)(その1)

H24-B8-21のボーリングコア(深度93.53m)から採取した薄片試料の観察結果によれば最新活動面の変位センスは、右ずれを伴う正断層である。

条線データなし



- 凡例
- 断層ガウジ
- カタクレーサイト
- R1面
- P面

鉛直断面:最新活動面の変位センスは、正断層成分が卓越する。

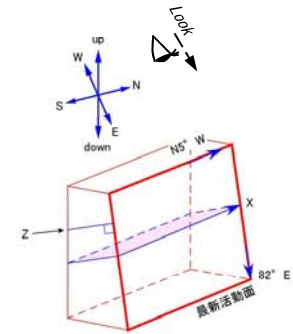
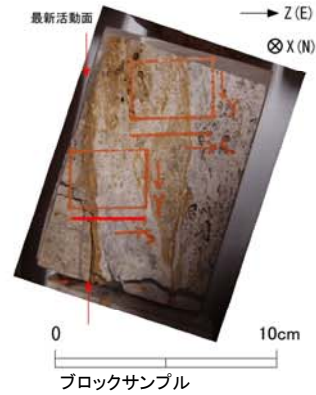


# D-5破碎帯 薄片試料観察(H24-B8-21 深度93.53m)(その2)

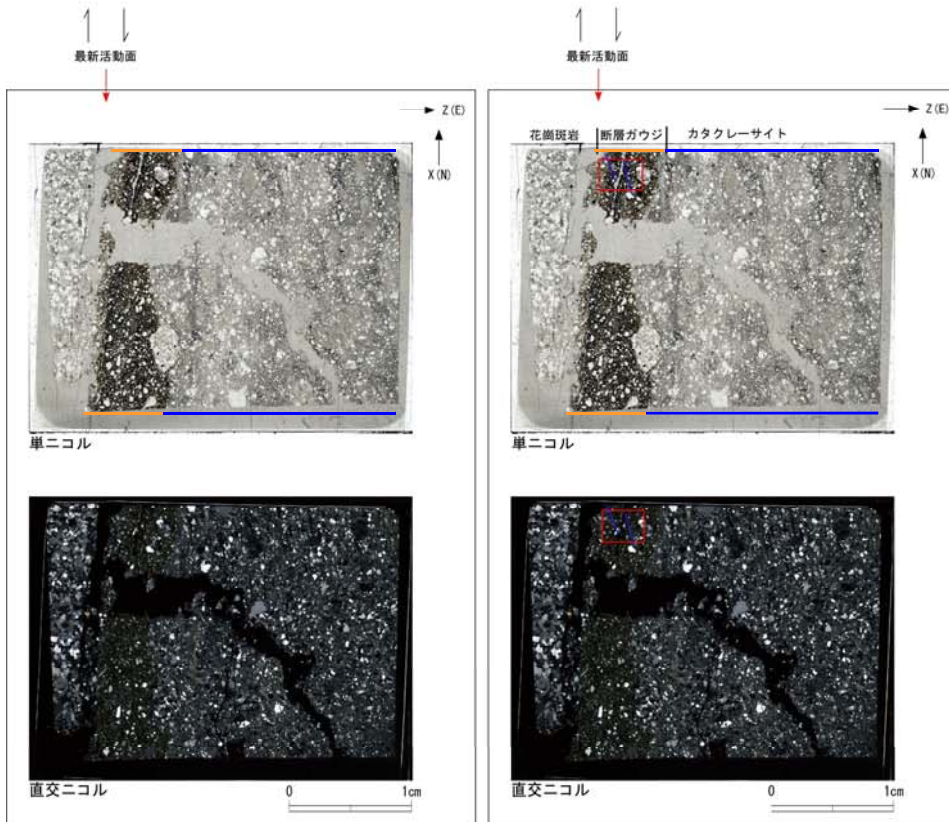
H24-B8-21のボーリングコア(深度93.53m)から採取した薄片試料の観察結果によれば最新活動面の変位センスは、右ずれを伴う正断層である。

条線データなし

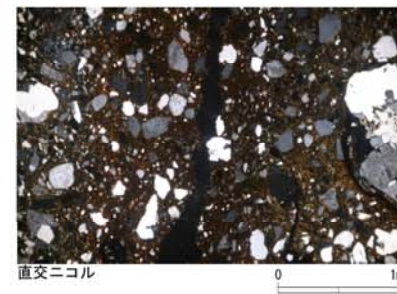
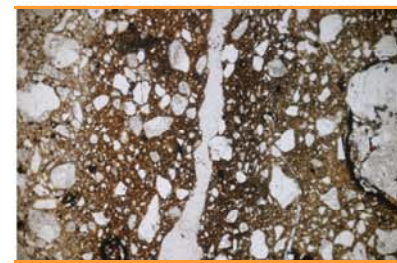
薄片の作成方向は最新活動面に  
直交方向かつ走向方向に平行方向



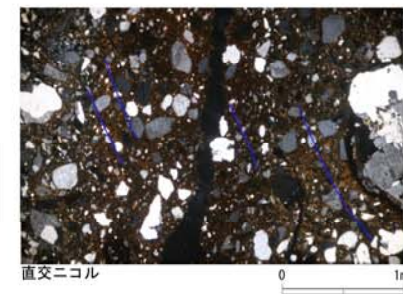
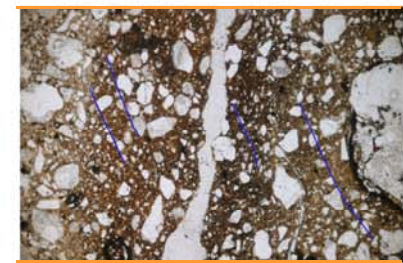
走向・傾斜 N5° W82° E  
X: 走向方向(北向きを正とする)  
Z: 断層面の法線方向(上盤側を正とする)



赤枠内の拡大



赤枠内の拡大

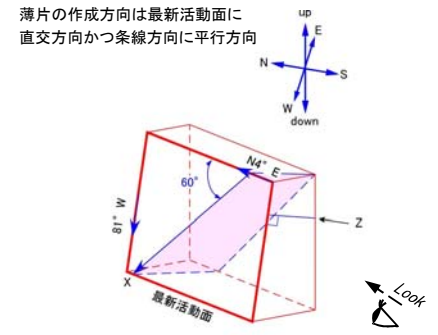
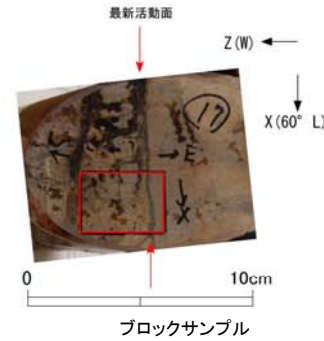
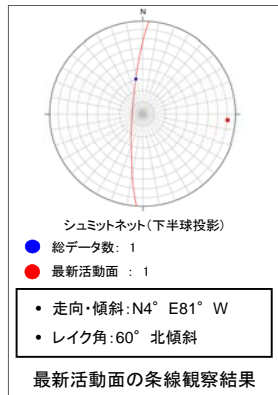


- 凡例
- 断層ガウジ
- カタクレーサイト
- R1面
- P面

水平断面:最新活動面の変位センスは、右ずれ成分が卓越する。

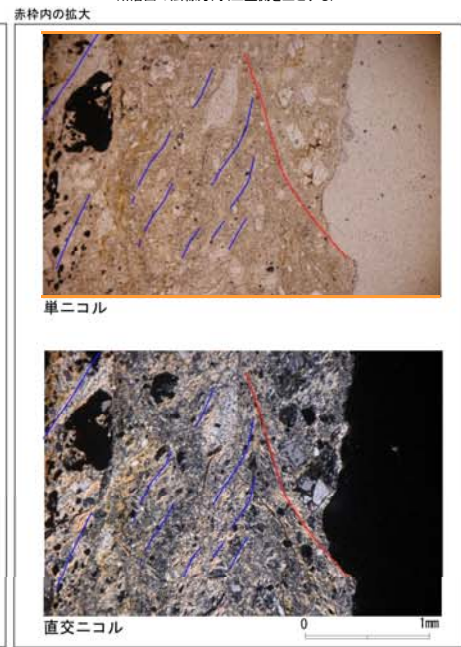
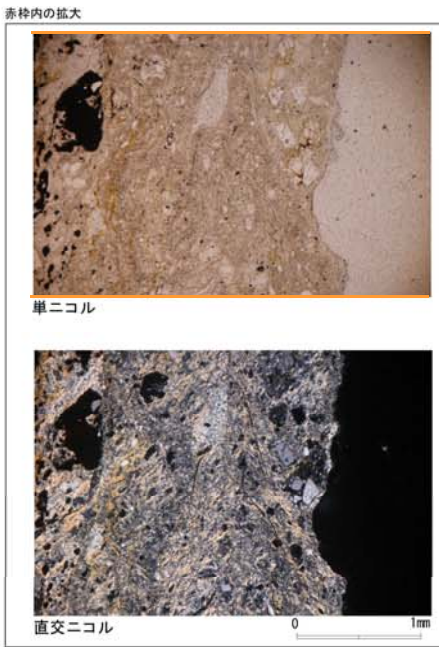
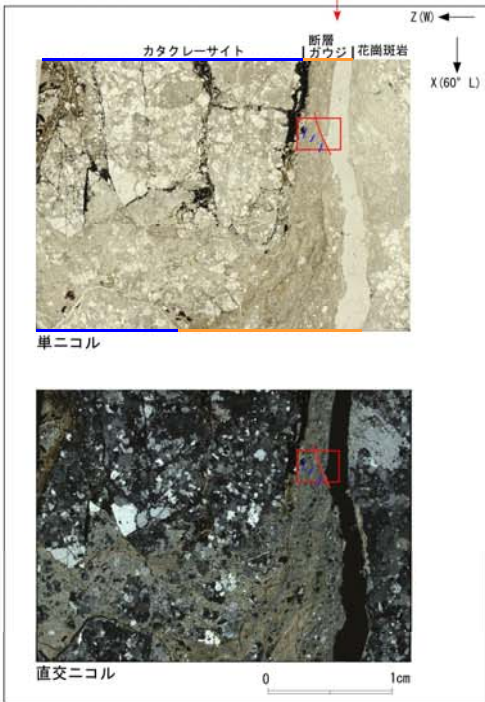
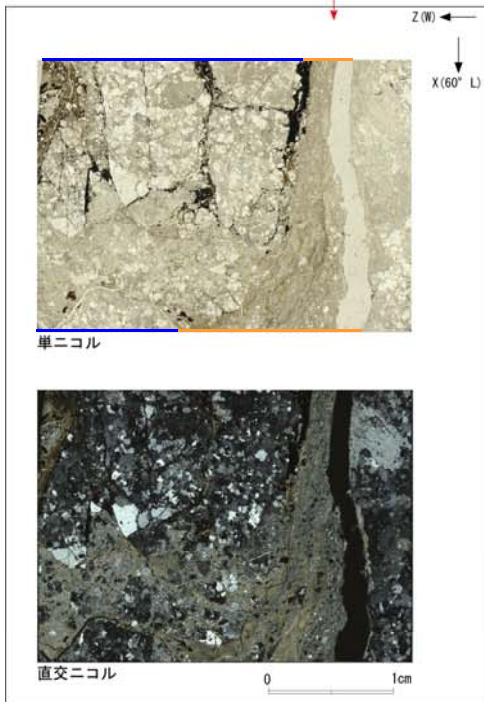
# D-5破碎帯 薄片試料観察(H24-B11-1 深度88.93m)

H24-B11-1のボーリングコア(深度88.93m)から採取した薄片試料の観察結果によれば最新活動面の変位センスは、右ずれを伴う正断層である。



走向・傾斜 N4° E81° W

X: 条線方向(下向きを正とする)  
 Z: 断層面の法線方向(上盤側を正とする)



- 凡例
- 断層ガウジ
  - カタクレーサイト
  - R1面
  - P面

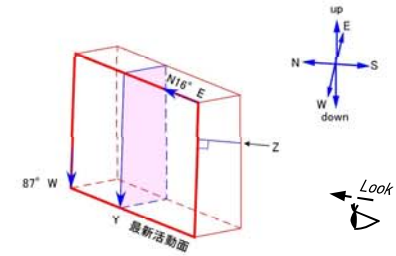
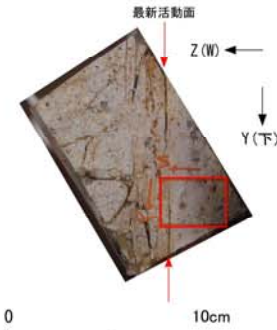


# D-5破碎帯 薄片試料観察(H19-No.4 深度107.55m)(その1)

H19-No.4のボーリングコア(深度107.55m)から採取した薄片試料の観察結果によれば最新活動面の変位センスは、右ずれを伴う正断層である。

条線データなし

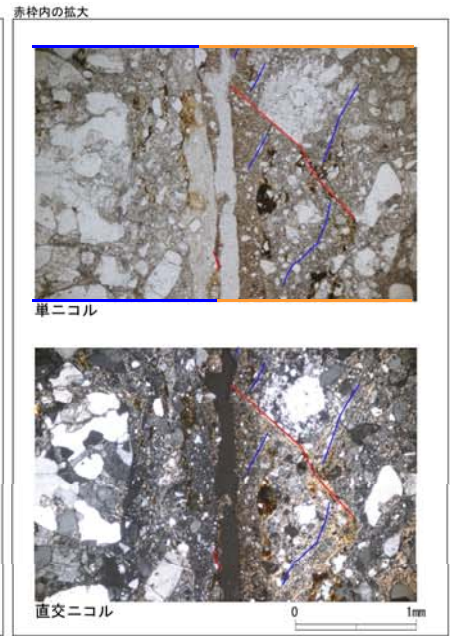
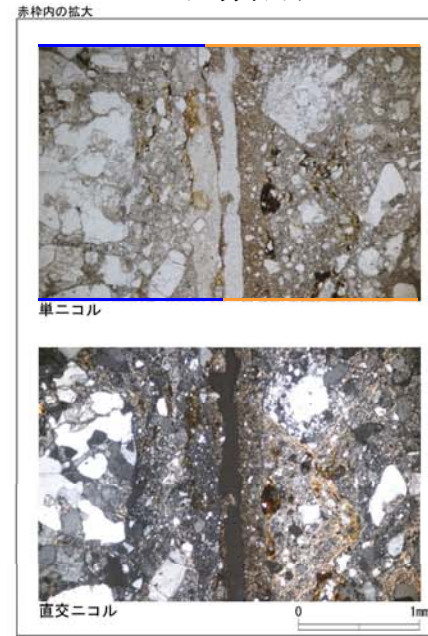
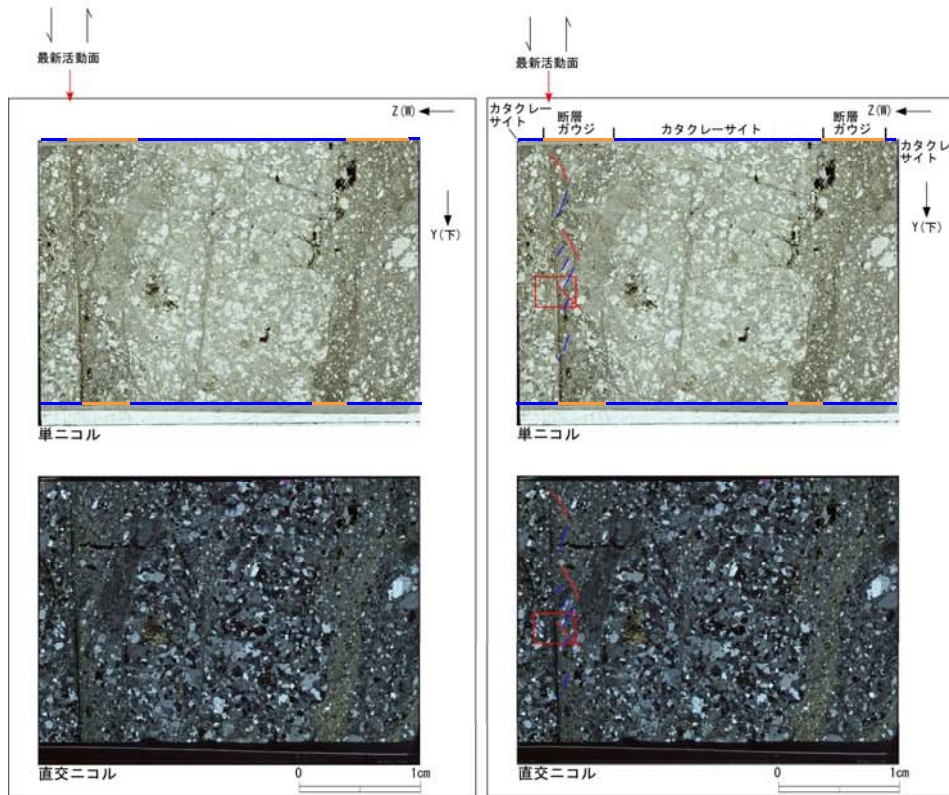
薄片の作成方向は最新活動面に  
直交方向かつ傾斜方向に平行方向



走向・傾斜 N16° E87° W

Y: 傾斜方向(下向きを正とする)

Z: 断層面の法線方向(上盤側を正とする)



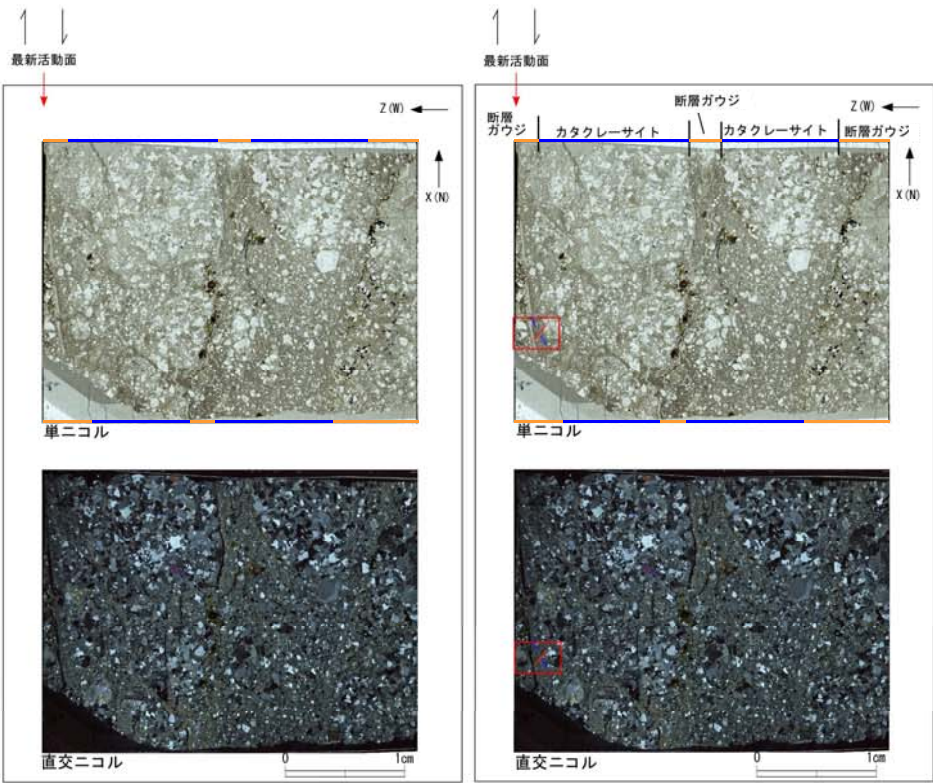
- 凡例
- 断層ガウジ
- カタクレースイト
- R1面
- P面

鉛直断面: 最新活動面の変位センスは、正断層成分が卓越する。

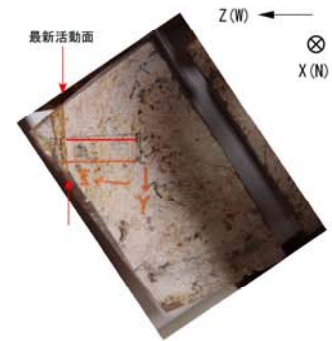
# D-5破碎帯 薄片試料観察(H19-No.4 深度107.55m)(その2)

H19-No.4のボーリングコア(深度107.55m)から採取した薄片試料の観察結果によれば最新活動面の変位センスは、右ずれを伴う正断層である。

条線データなし

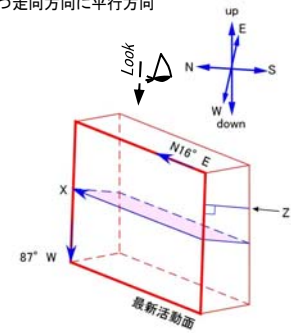


- 凡例
- 断層ガウジ
- カタクレーサイト
- R1面
- P面



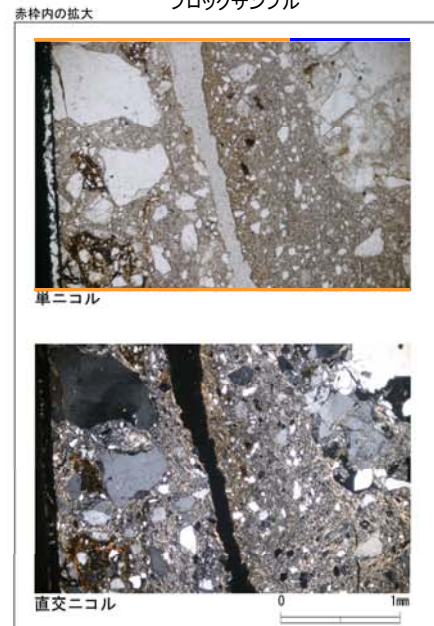
0 10cm  
ブロックサンプル

薄片の作成方向は最新活動面に  
直交方向かつ走向方向に平行方向



走向・傾斜 N16° E 87° W

X: 走向方向(北向きを正とする)  
Z: 断層面の法線方向(上盤側を正とする)

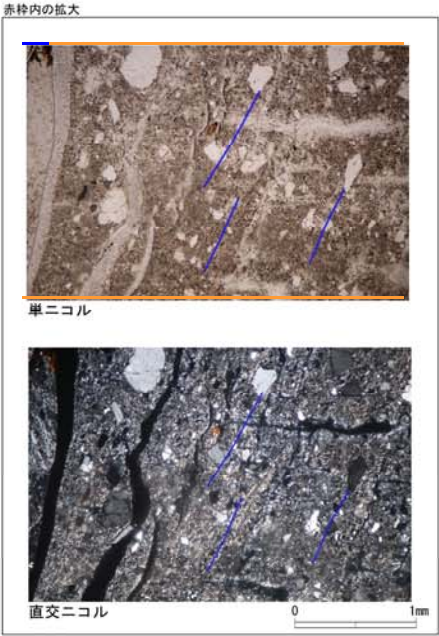
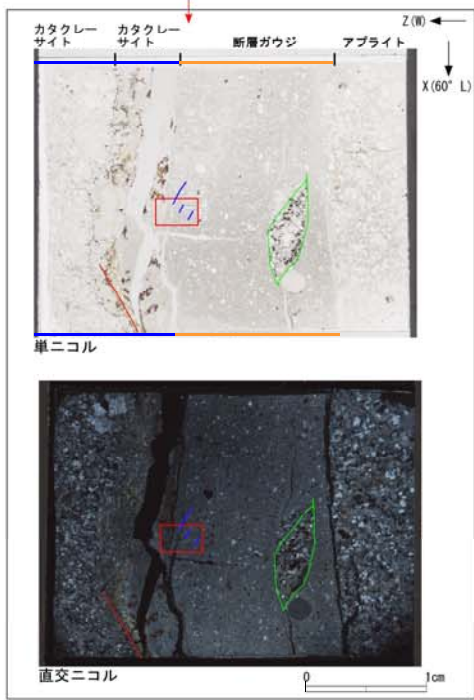
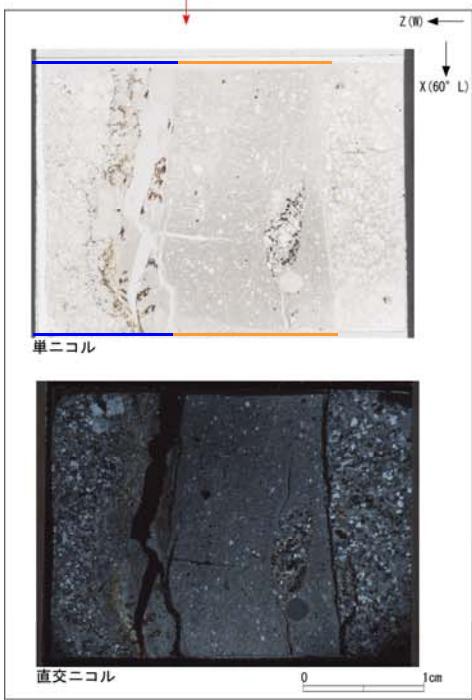
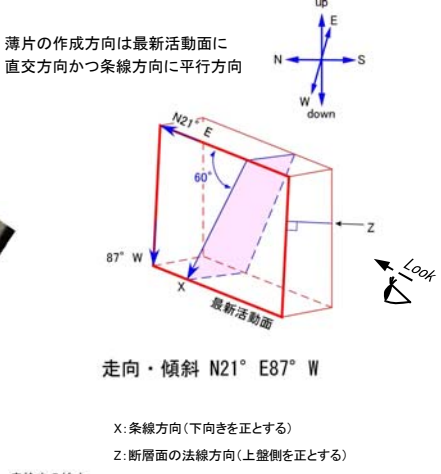
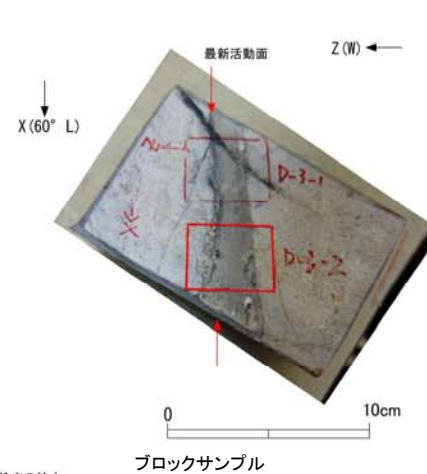
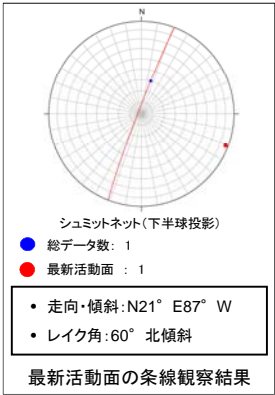


水平断面: 最新活動面の変位センスは、右ずれ成分が卓越する。



# D-5破碎帯 薄片試料観察(H27-D5-1 深度25.76m)

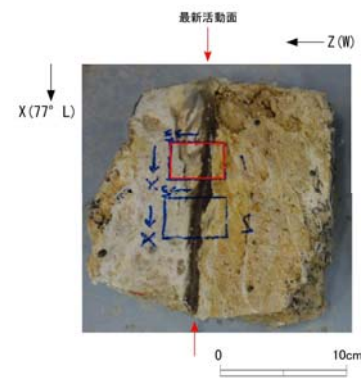
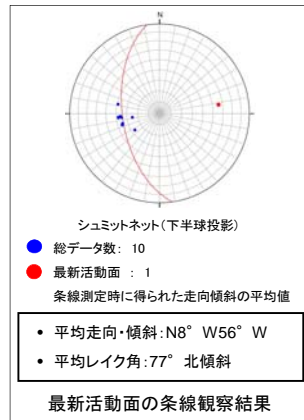
H27-D5-1のボーリングコア(深度25.76m)から採取した薄片試料の観察結果によれば最新活動面の変位センスは、右ずれを伴う正断層である。



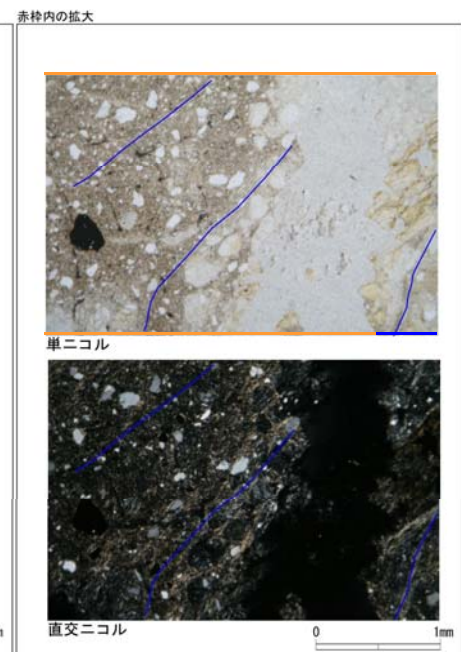
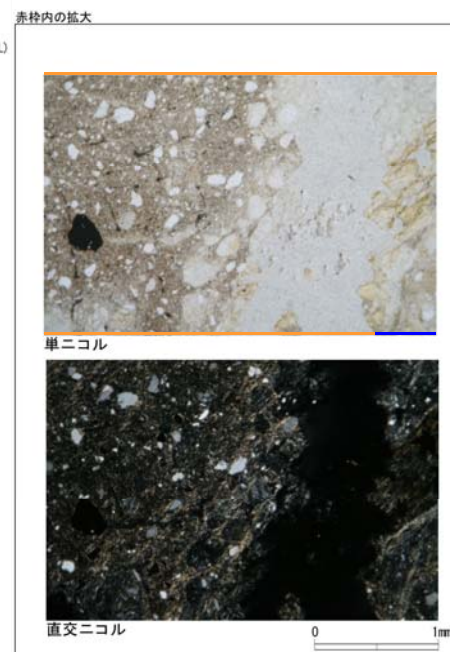
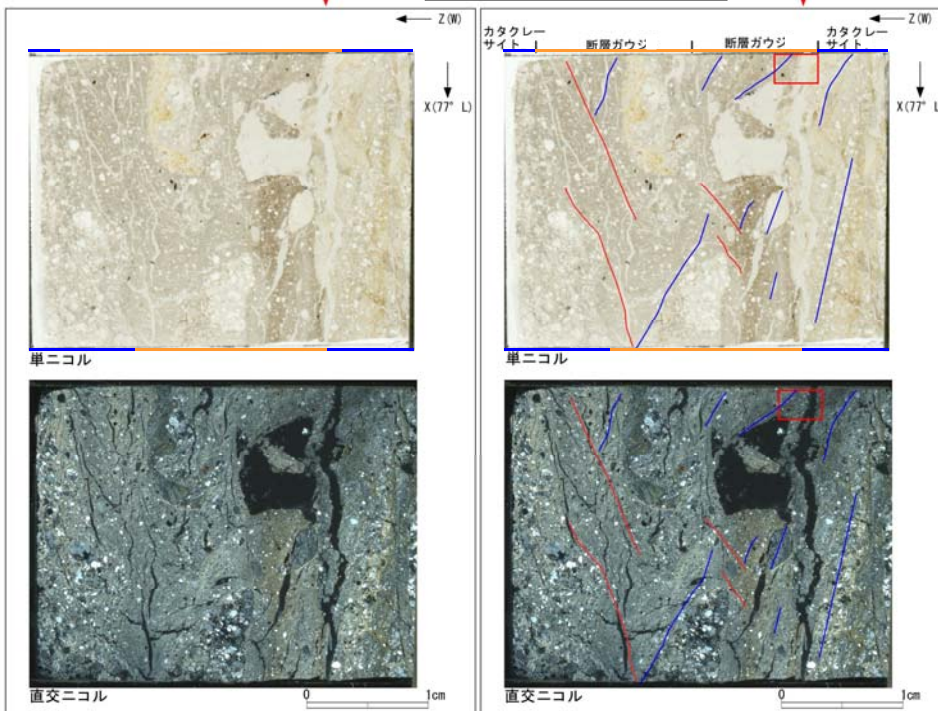
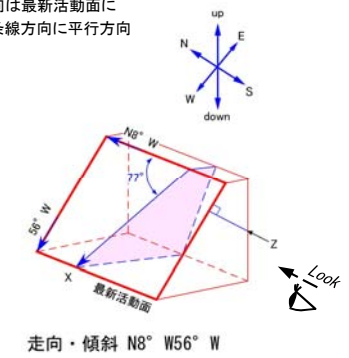
- 凡例
- 断層ガウジ
  - カタクレーサイト
  - R1面
  - P面
  - 非対称変形構造

# D-5破碎帯 薄片試料観察(1号炉原子炉建屋南側斜面)

1号炉原子炉建屋南側斜面から採取した薄片試料の観察結果によれば最新活動面の変位センスは、正断層成分が卓越する。



薄片の作成方向は最新活動面に直交方向かつ条線方向に平行方向

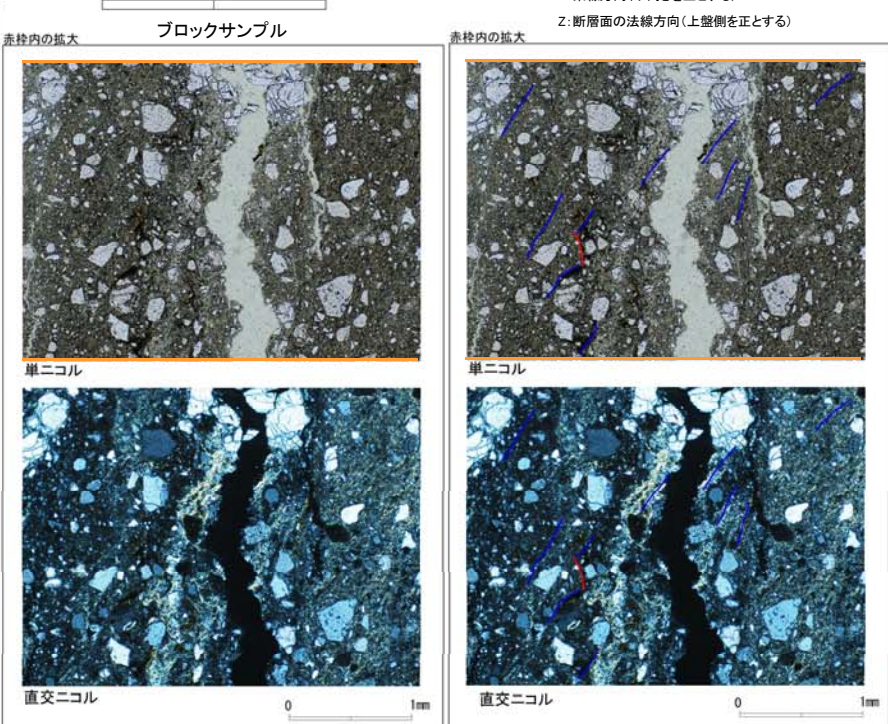
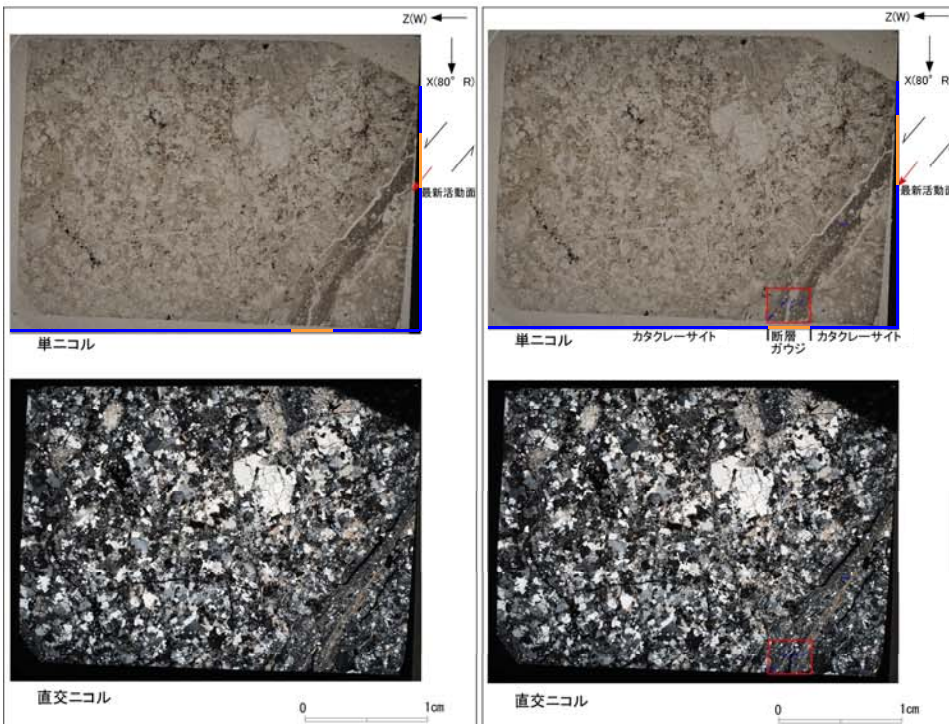
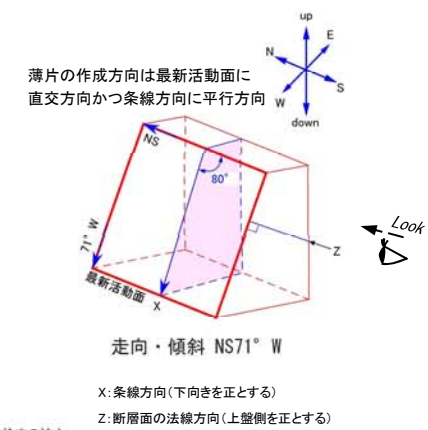
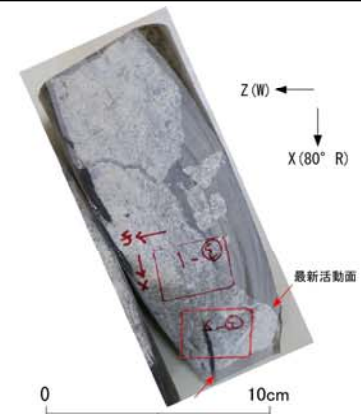
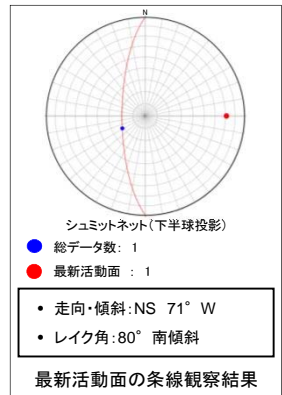


- 凡例
- 断層ガウジ
  - カタクレーサイト
  - R1面
  - P面



# D-5破碎帯 薄片試料観察(H20-①-10 深度51.26m)

H20-①-10のボーリングコア(深度51.26m)から採取した薄片試料の観察結果によれば最新活動面の変位センスは、正断層成分が卓越する。

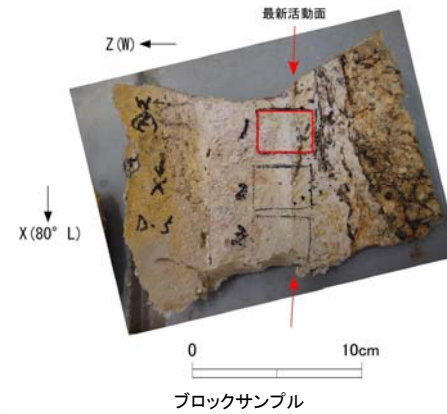
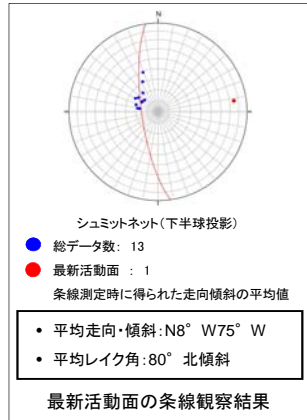


- 凡例
- 断層ガウジ
  - カタクレーサイト
  - R1面
  - P面

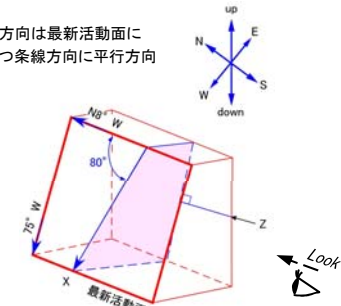


# D-5破碎帯 薄片試料観察(1号炉原子炉建屋南方斜面(72m盤))

1号炉原子炉建屋南方斜面(72m盤)から採取した薄片試料の観察結果によれば最新活動面の変位センスは、正断層成分が卓越する。



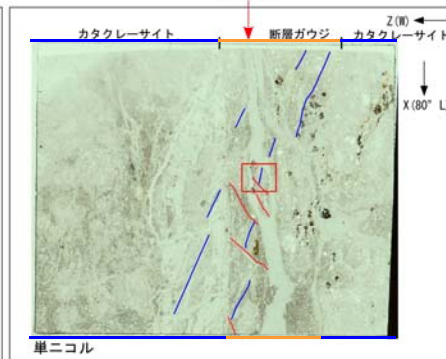
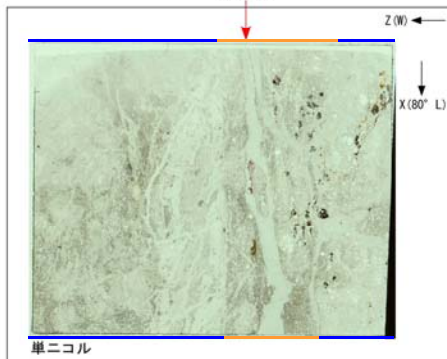
薄片の作成方向は最新活動面に  
直交方向かつ条線方向に平行方向



走向・傾斜 N8° W75° W

X: 条線方向(下向きを正とする)

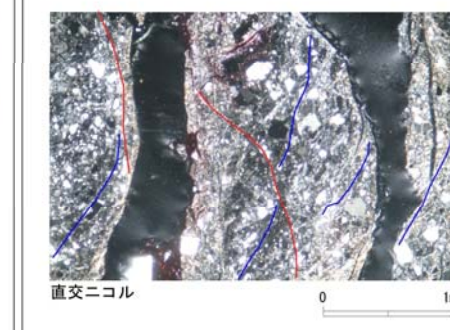
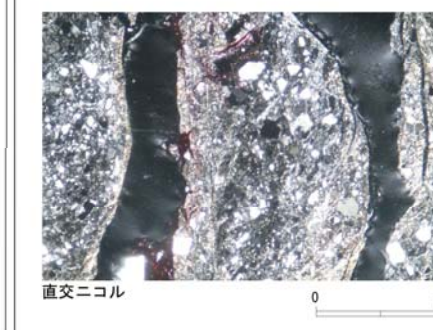
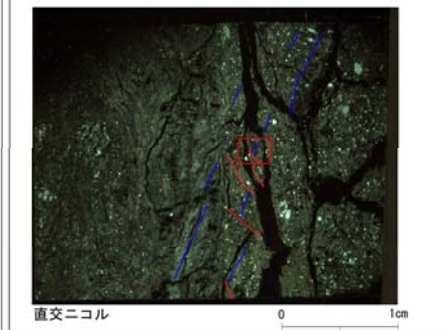
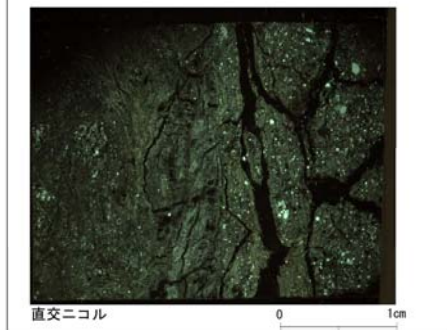
Z: 断層面の法線方向(上盤側を正とする)



赤枠内の拡大



赤枠内の拡大



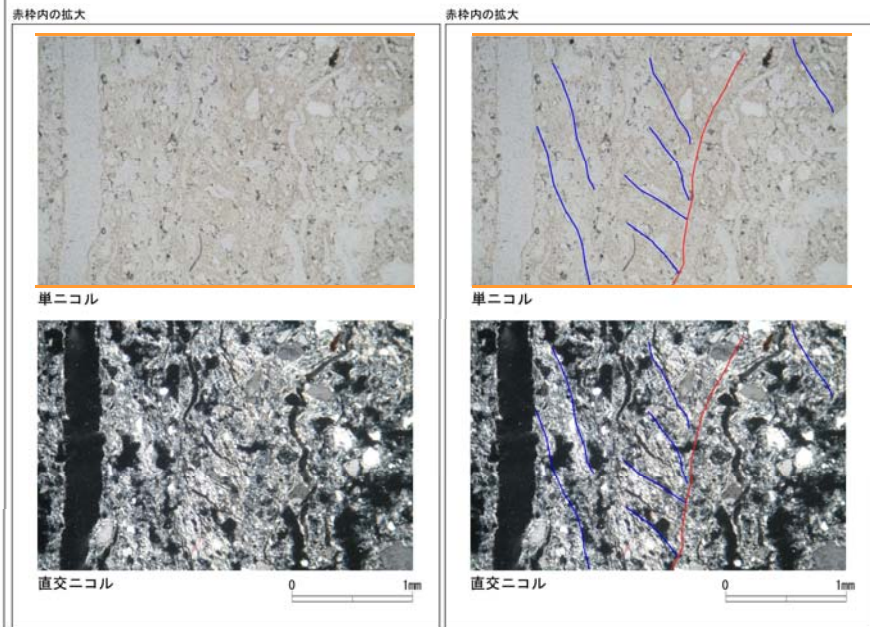
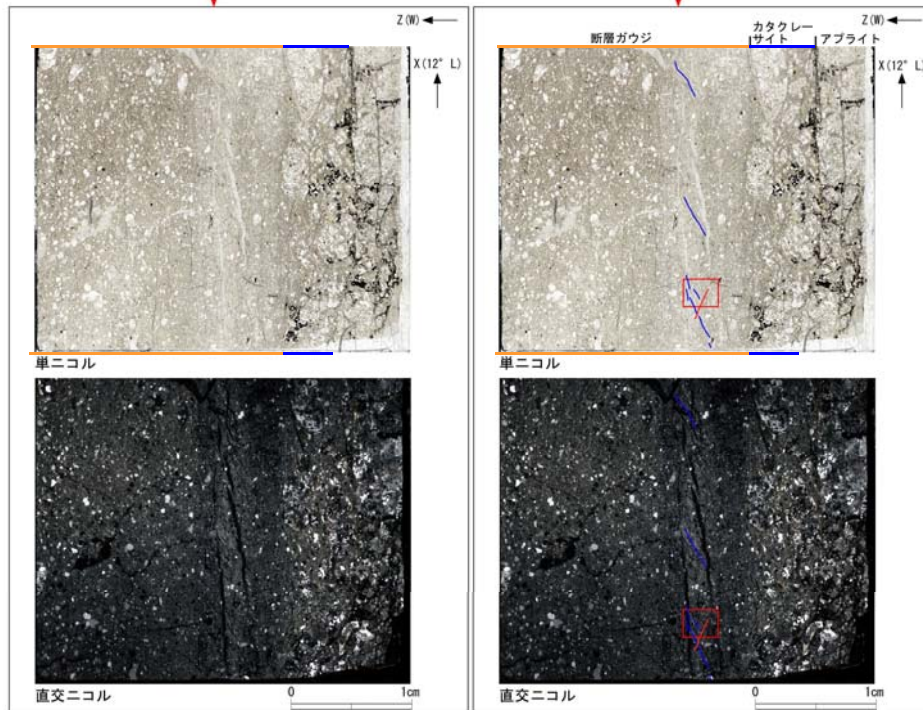
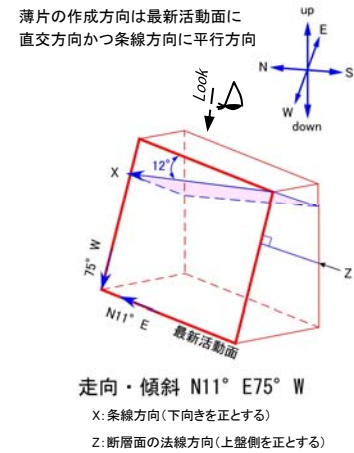
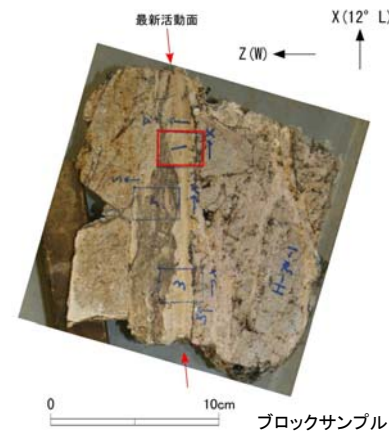
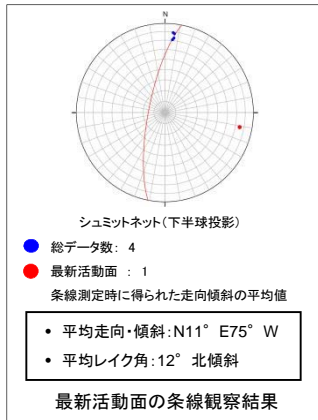
- 凡例
- 断層ガウジ
  - カタクレーサイト
  - R1面
  - P面



## 7. H-3a破碎帶

# H-3a 破碎帯 薄片試料観察 (2号炉原子炉建屋南側道路剥ぎ取り)

2号炉原子炉建屋南側道路剥ぎ取りから採取した薄片試料の観察結果によれば最新活動面の変位センスは、右ずれ成分が卓越する。

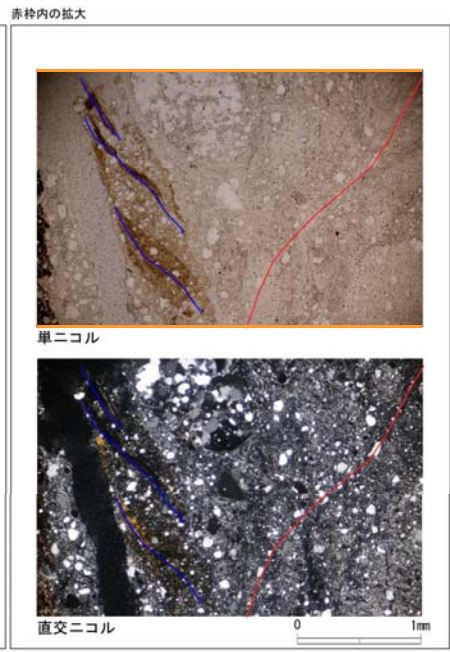
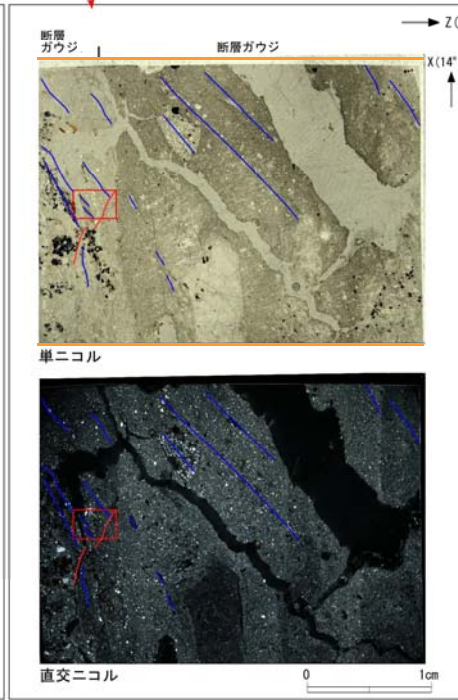
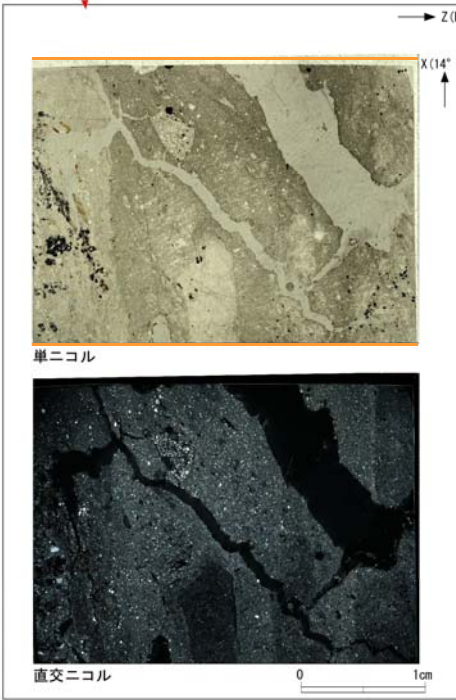
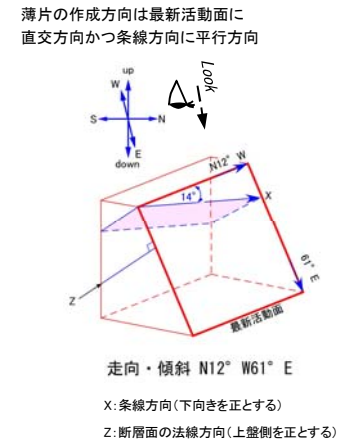
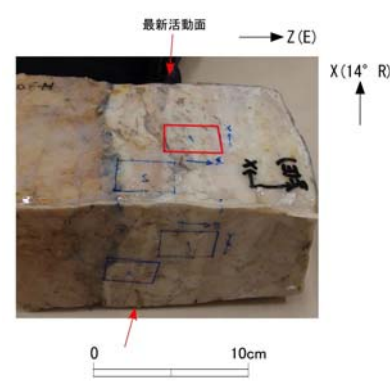
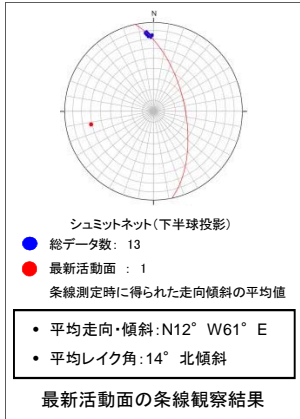


- 凡例
- 断層ガウジ
  - カタクレーサイト
  - R1面
  - P面



# H-3a破碎帯 薄片試料観察(H-3a既往露頭)

H-3a既往露頭から採取した薄片試料の観察結果によれば最新活動面の変位センスは、右ずれ成分が卓越する。



- 凡例
- 断層ガウジ
  - カタクレーサイト
  - R1面
  - P面

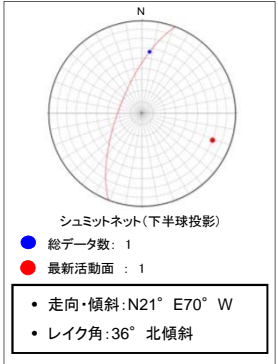
余白



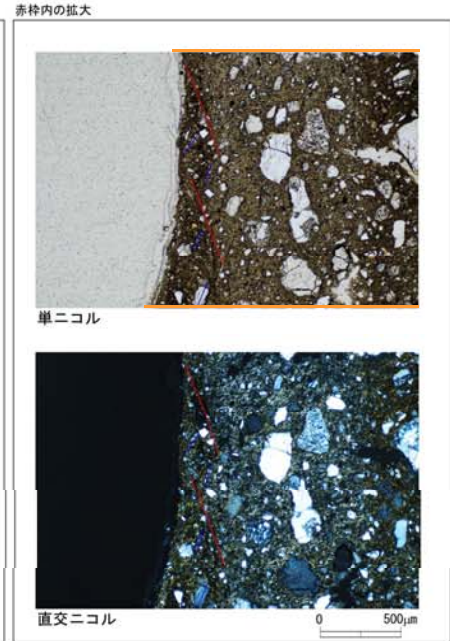
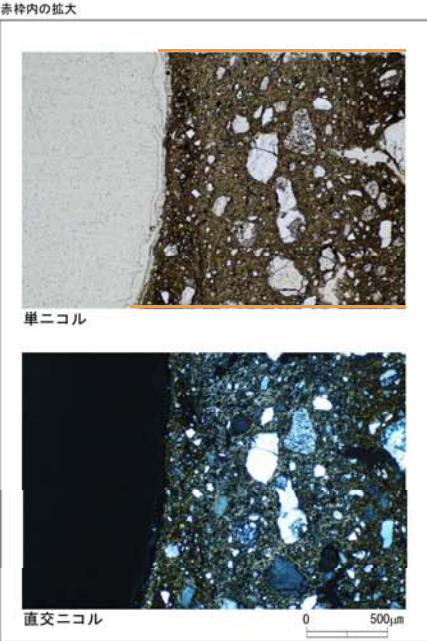
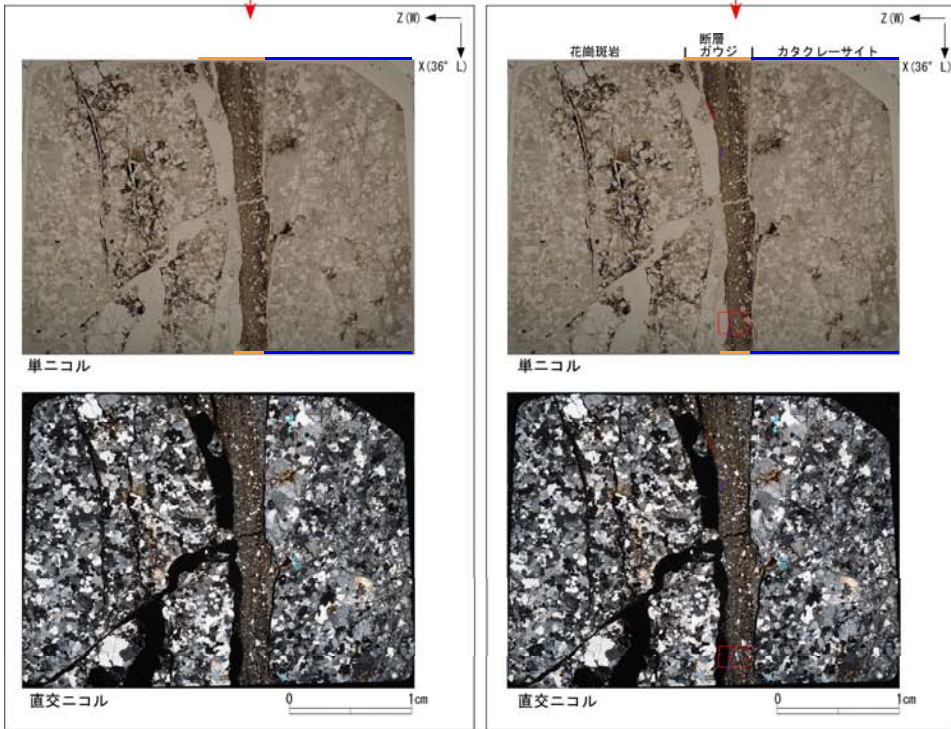
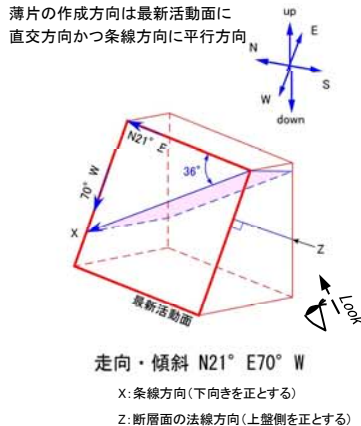
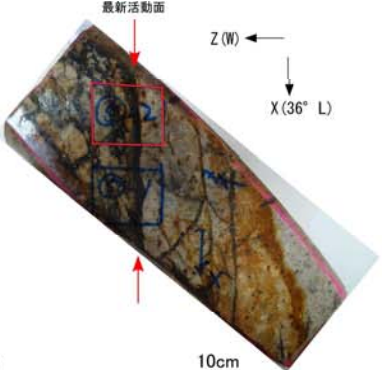
## 8. D-2~D-16破碎帶

# D-2破碎帯 薄片試料観察(H19-No.2 深度186.53m)

H19-No.2のボーリングコア(深度186.53m)から採取した薄片試料の観察結果によれば最新活動面の変位センスは、右ずれを伴う正断層である。



最新活動面の条線観察結果

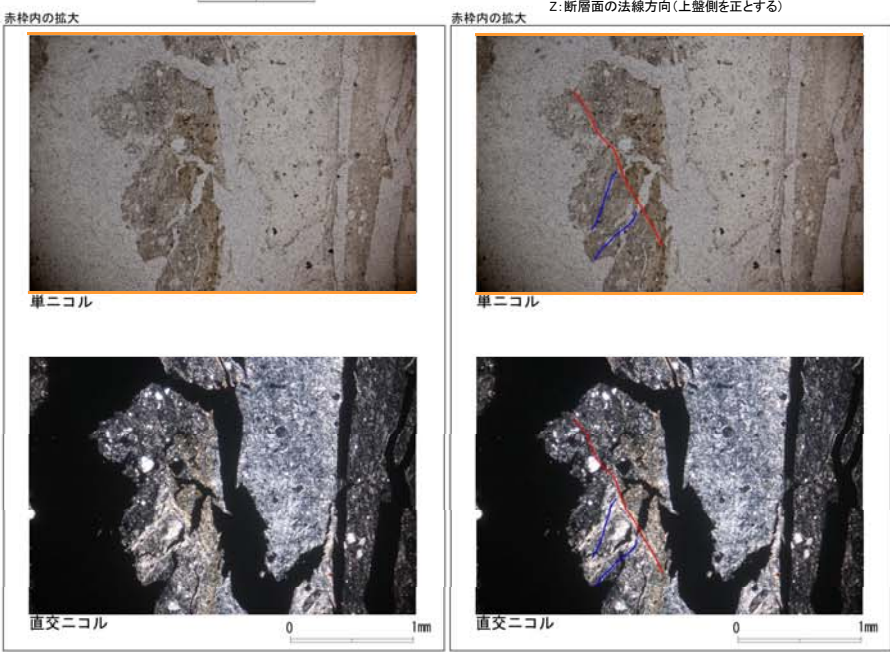
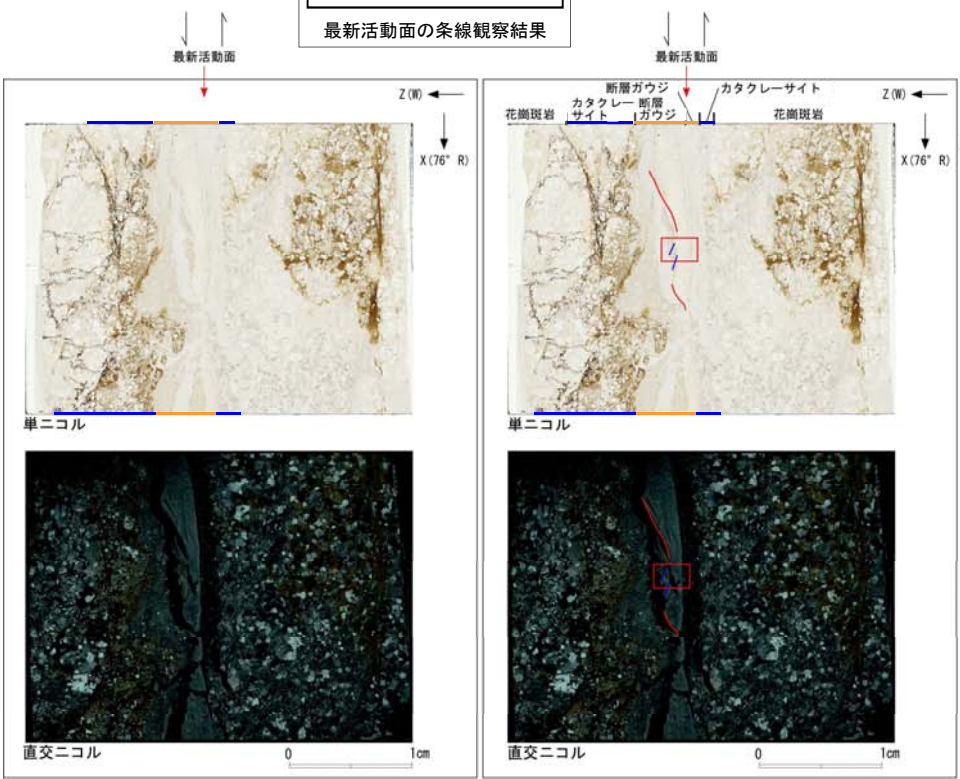
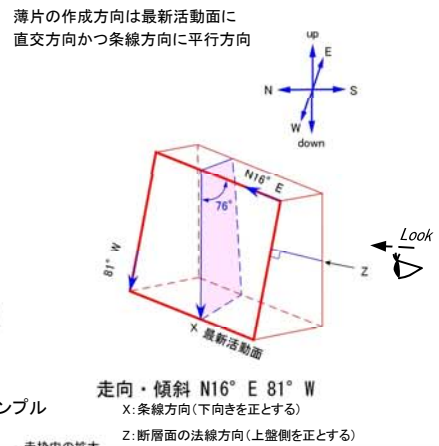
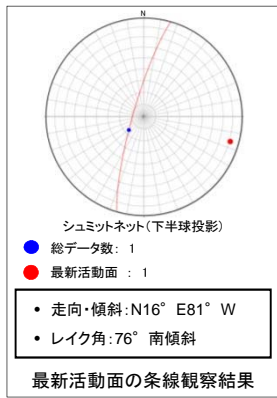


- 凡例
- 断層ガウジ
  - カタクレーサイト
  - R1面
  - P面



# D-3破碎帯 薄片試料観察(H27-Br-1 深度35.85m)

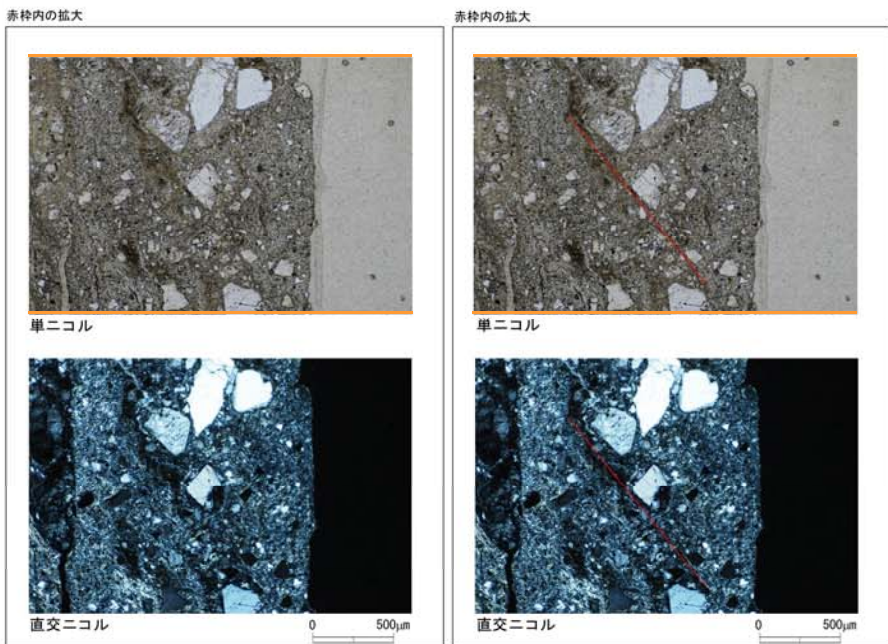
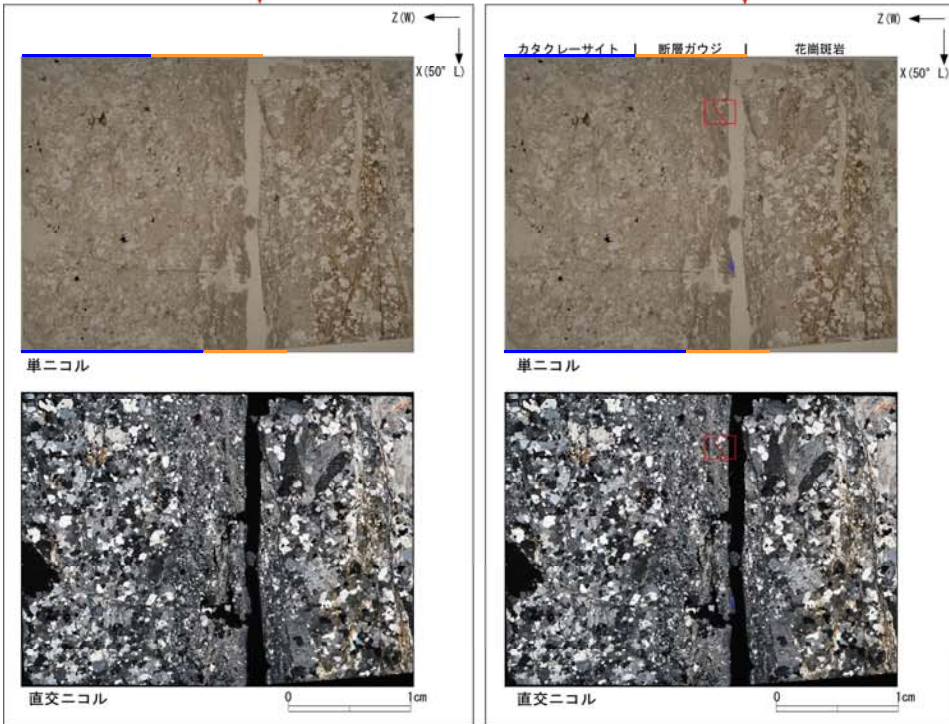
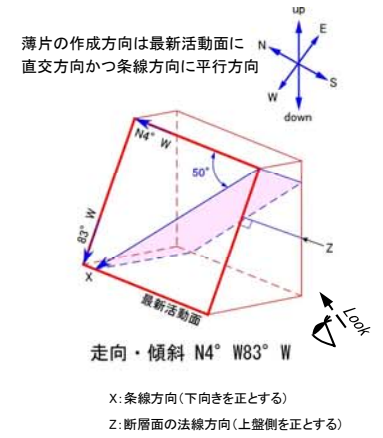
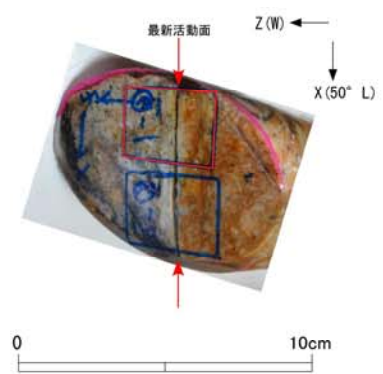
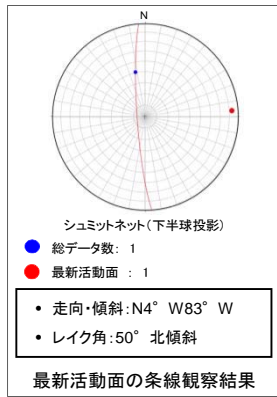
H27-Br-1のボーリングコア(深度35.85m)から採取した薄片試料の観察結果によれば最新活動面の変位センスは、正断層成分が卓越する。



- 凡例
- 断層ガウジ
  - カタクレーサイト
  - R1面
  - P面

# D-4破碎帯 薄片試料観察(H19-No.12 深度104.22m)

H19-No.12のボーリングコア(深度104.22m)から採取した薄片試料の観察結果によれば最新活動面の変位センスは、右ずれを伴う正断層である。

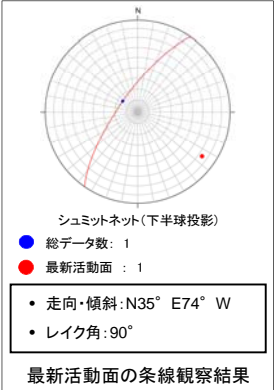


- 凡例
- 断層ガウジ
  - カタクレーサイト
  - R1面
  - P面



# D-4破碎帯 薄片試料観察(H27-D5-1 深度22.91m)

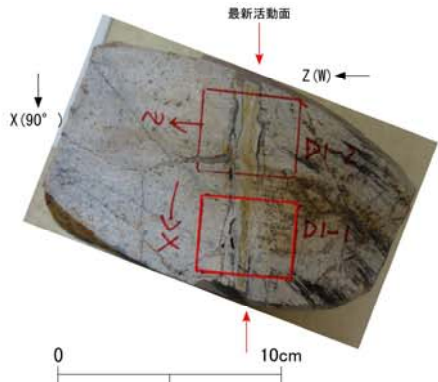
H27-D5-1のボーリングコア(深度22.91m)から採取した薄片試料の観察結果によれば最新活動面の変位センスは、正断層成分が卓越する。



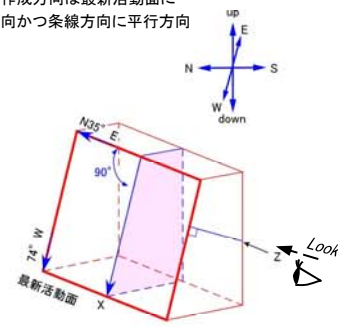
最新活動面

最新活動面

最新活動面の条線観察結果



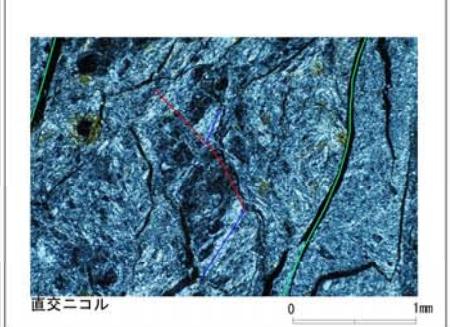
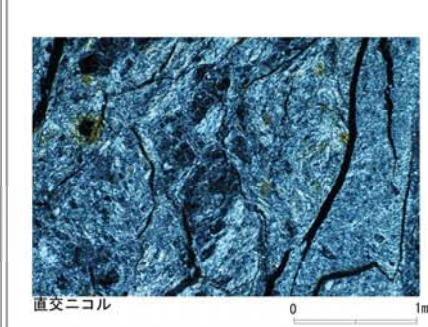
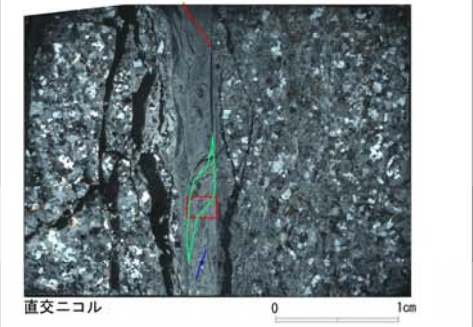
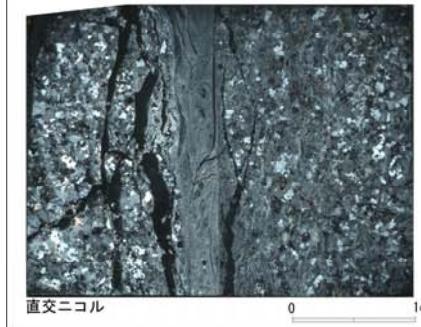
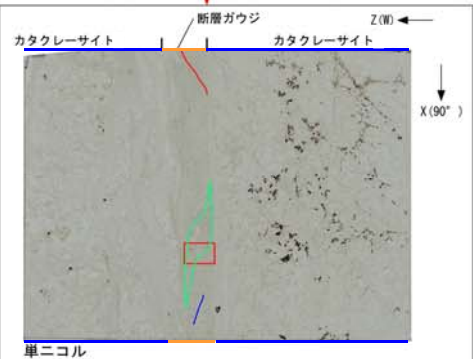
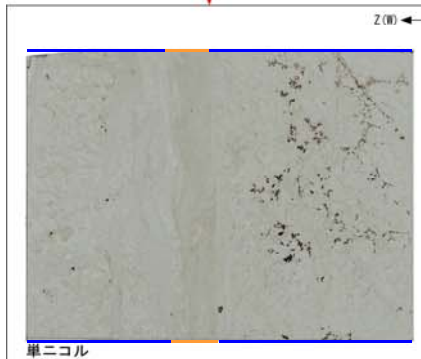
薄片の作成方向は最新活動面に直交方向かつ条線方向に平行方向



走向・傾斜 N35° E74° W

X: 条線方向(下向きを正とする)

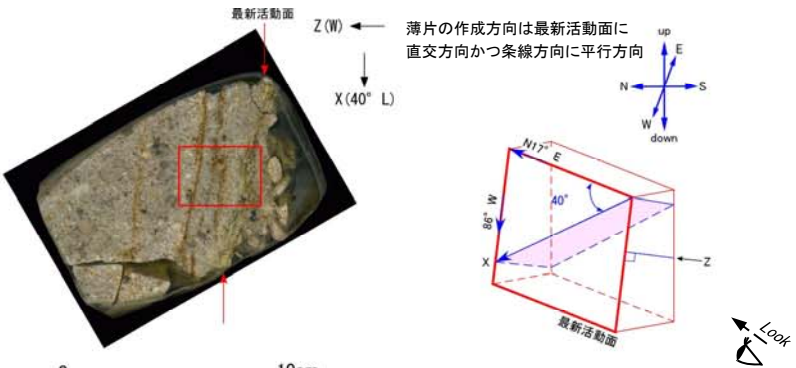
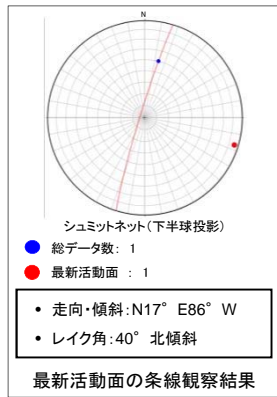
Z: 断層面の法線方向(上盤側を正とする)



- 凡例
- 断層ガウジ
  - カタクレーサイト
  - R1面
  - P面
  - 非対称変形構造

# D-7破碎帯 薄片試料観察(H24-B8-22 深度143.76m)

H24-B8-22のボーリングコア(深度143.76m)から採取した薄片試料の観察結果によれば最新活動面の変位センスは、右ずれを伴う正断層である。



<p>単ニコル</p>	<p>断層ガウジ カタクレーサイト</p> <p>単ニコル</p>	<p>断層ガウジ カタクレーサイト</p> <p>単ニコル</p>	<p>断層ガウジ カタクレーサイト</p> <p>単ニコル</p>
<p>直交ニコル</p>	<p>断層ガウジ カタクレーサイト</p> <p>直交ニコル</p>	<p>断層ガウジ カタクレーサイト</p> <p>直交ニコル</p>	<p>断層ガウジ カタクレーサイト</p> <p>直交ニコル</p>

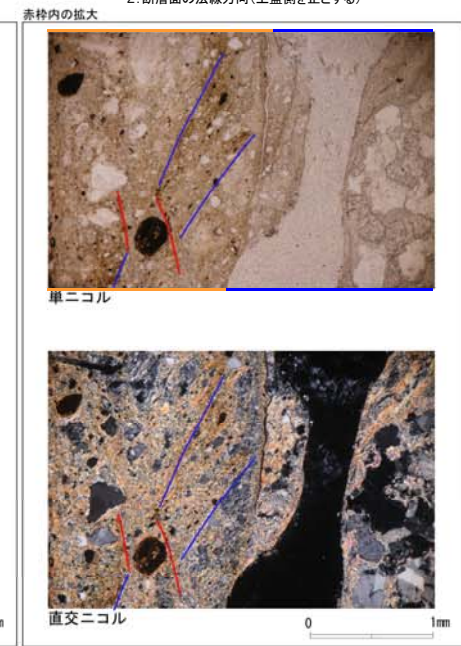
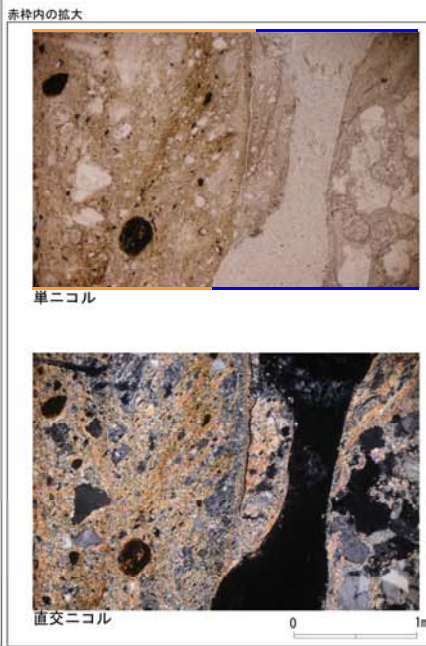
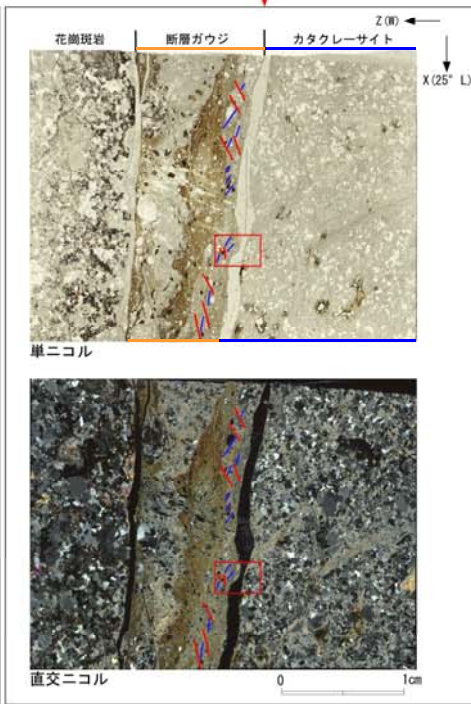
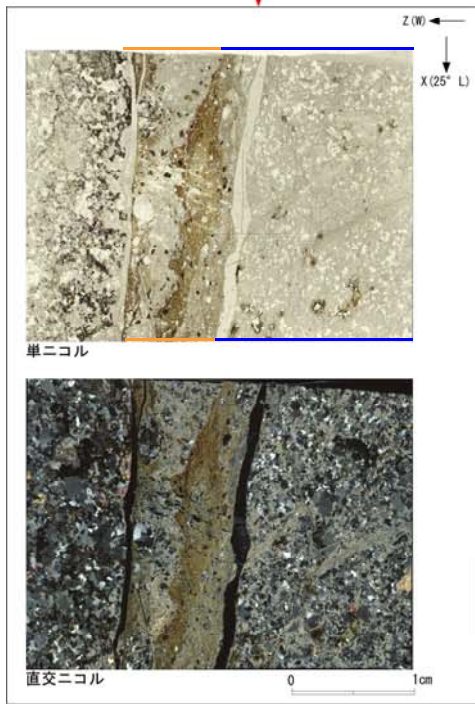
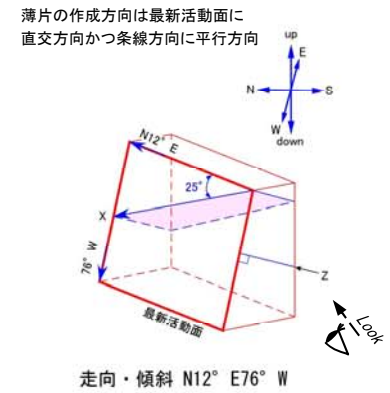
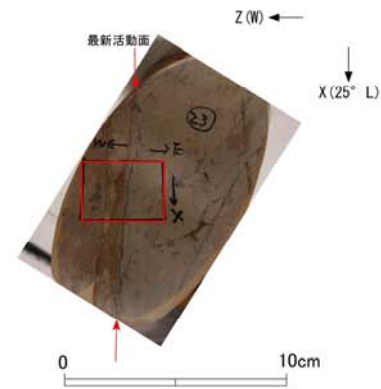
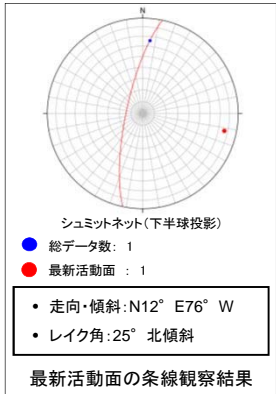
赤枠内の拡大

- 凡例
- 断層ガウジ
  - カタクレーサイト
  - R1面
  - P面



# D-7破碎帯 薄片試料観察(H24-B11-2 深度71.24m)

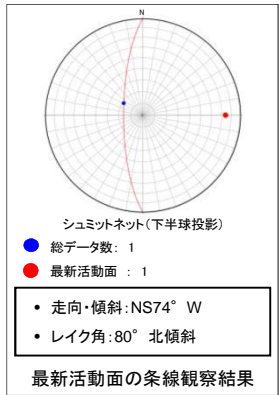
H24-B11-2のボーリングコア(深度71.24m)から採取した薄片試料の観察結果によれば最新活動面の変位センスは、右ずれを伴う正断層である。



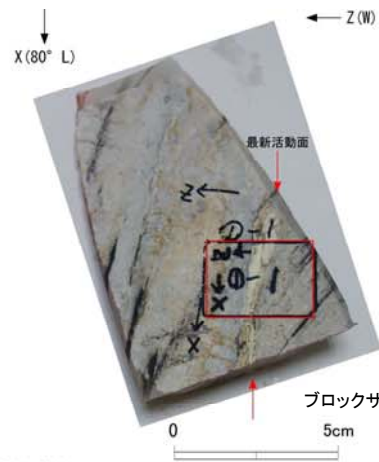
- 凡例
- 断層ガウジ
  - カタクレーサイト
  - R1面
  - P面

# D-7破碎帯 薄片試料観察(H27-Br-2 深度16.05m)

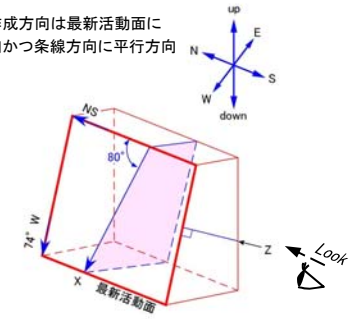
H27-Br-2のボーリングコア(深度16.05m)から採取した薄片試料の観察結果によれば最新活動面の変位センスは、正断層成分が卓越する。



最新活動面の条線観察結果

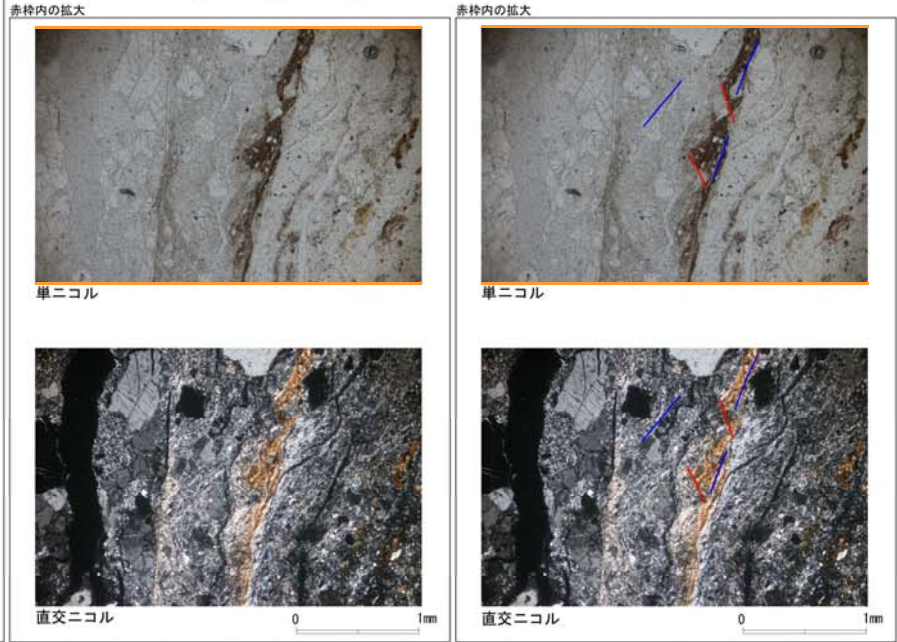
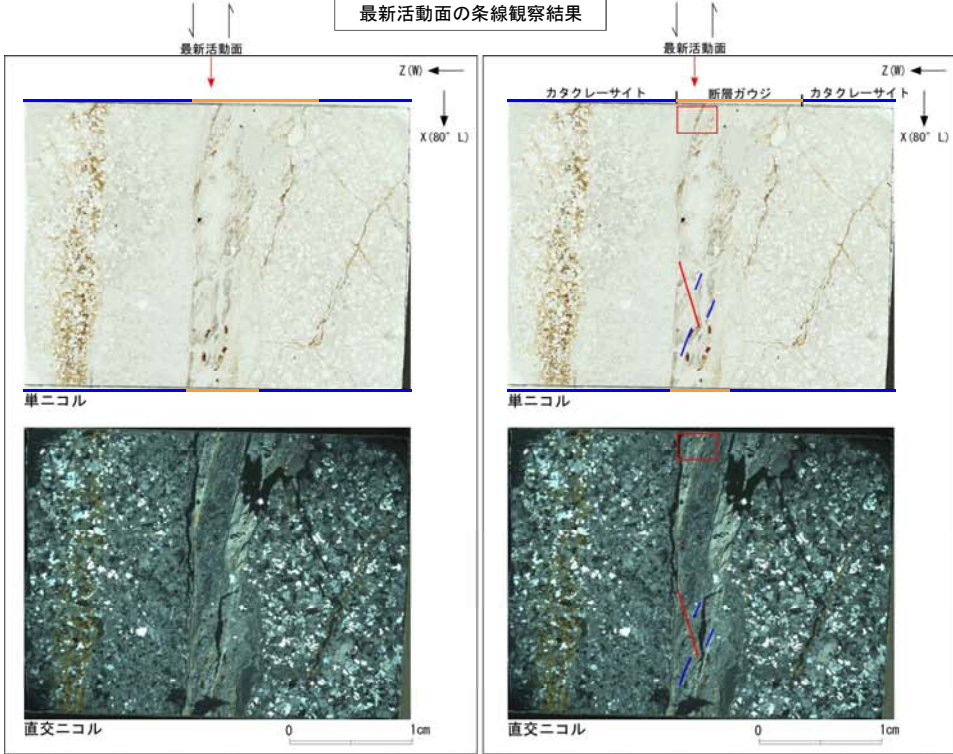


薄片の作成方向は最新活動面に直交方向かつ条線方向に平行方向



走向・傾斜 NS74° W

X: 条線方向(下向きを正とする)  
Z: 断層面の法線方向(上盤側を正とする)

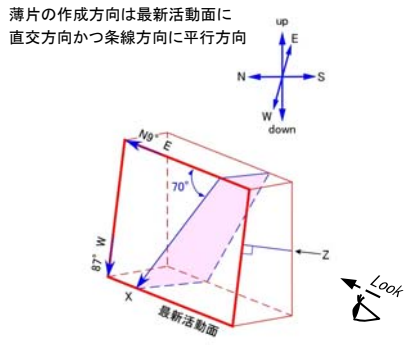
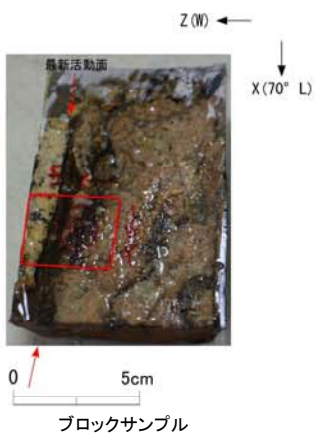
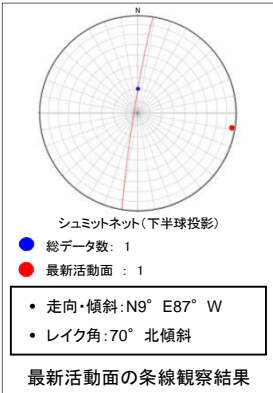


- 凡例
- 断層ガウジ
  - カタクレーサイト
  - R1面
  - P面

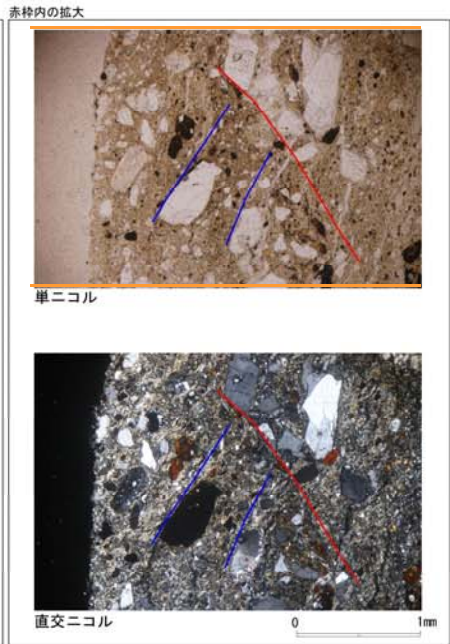
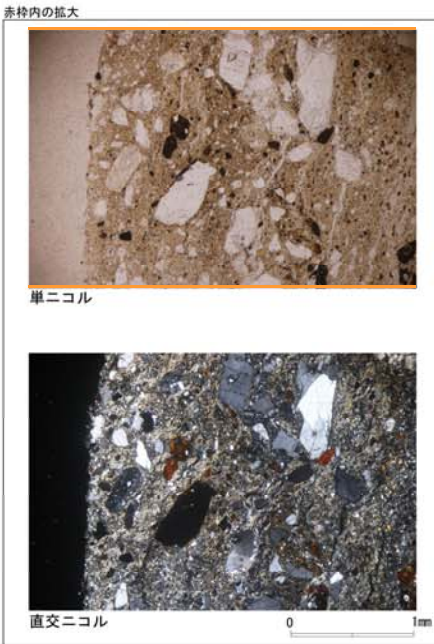
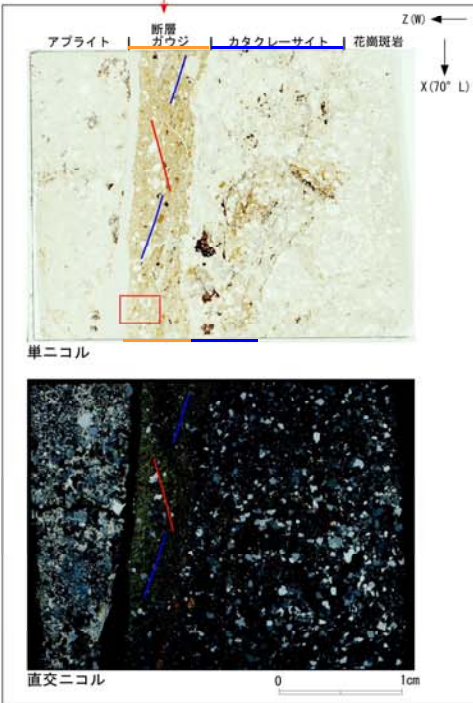
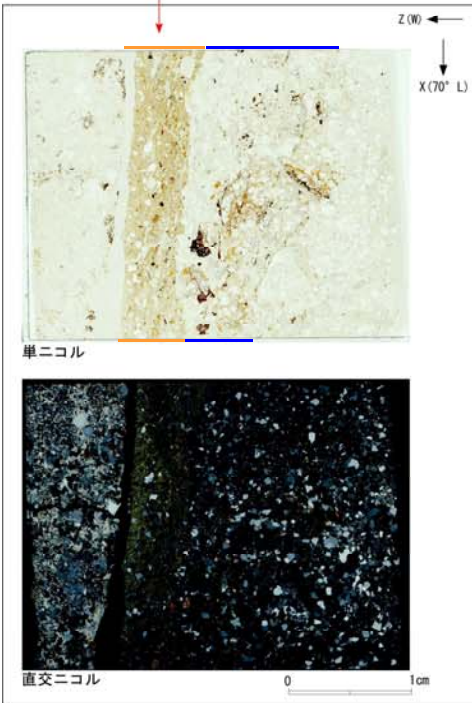


# D-7破碎帯 薄片試料観察(H27-Br-8 深度34.58m)

H27-Br-8のボーリングコア(深度34.58m)から採取した薄片試料の観察結果によれば最新活動面の変位センスは、正断層成分が卓越する。



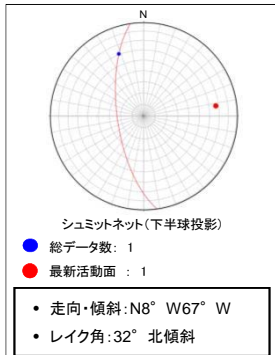
走向・傾斜 N9° E87° W  
 X: 条線方向(下向きを正とする)  
 Z: 断層面の法線方向(上側を正とする)



- 凡例
- 断層ガウジ
  - カタクレーサイト
  - R1面
  - P面

# D-15破碎帯 薄片試料観察(H19-No.16 深度132.25m)

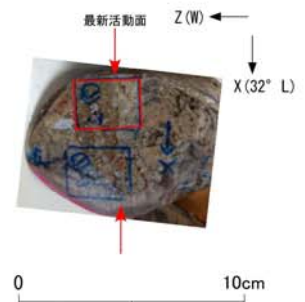
H19-No.16のボーリングコア(深度132.25m)から採取した薄片試料の観察結果によれば最新活動面の変位センスは、右ずれを伴う正断層である。



最新活動面

最新活動面

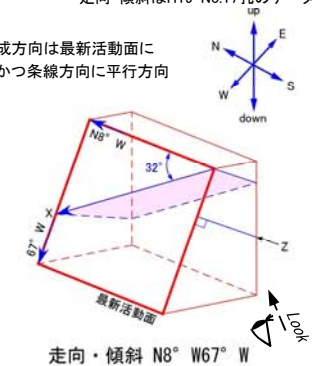
最新活動面の条線観察結果



ブロックサンプル

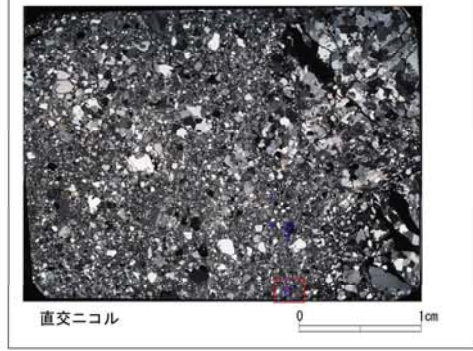
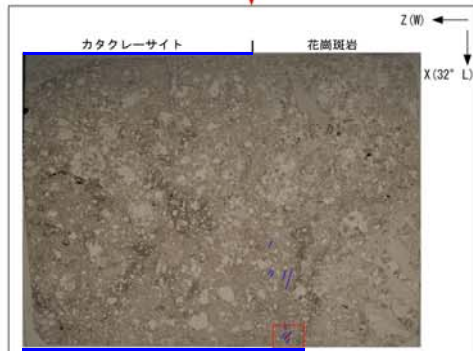
※H19-No.16孔ではボアホールカメラ未実施のため、走向・傾斜はH19-No.17孔のデータを利用

薄片の作成方向は最新活動面に直交方向かつ条線方向に平行方向

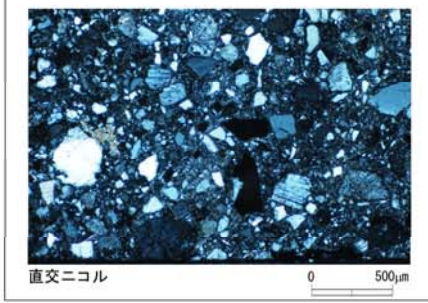
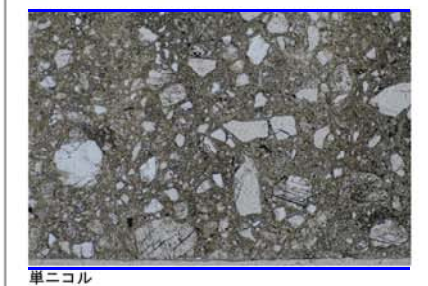


X: 条線方向(下向きを正とする)

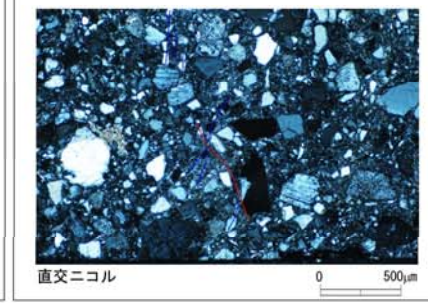
Z: 断層面の法線方向(上盤側を正とする)



赤枠内の拡大



赤枠内の拡大



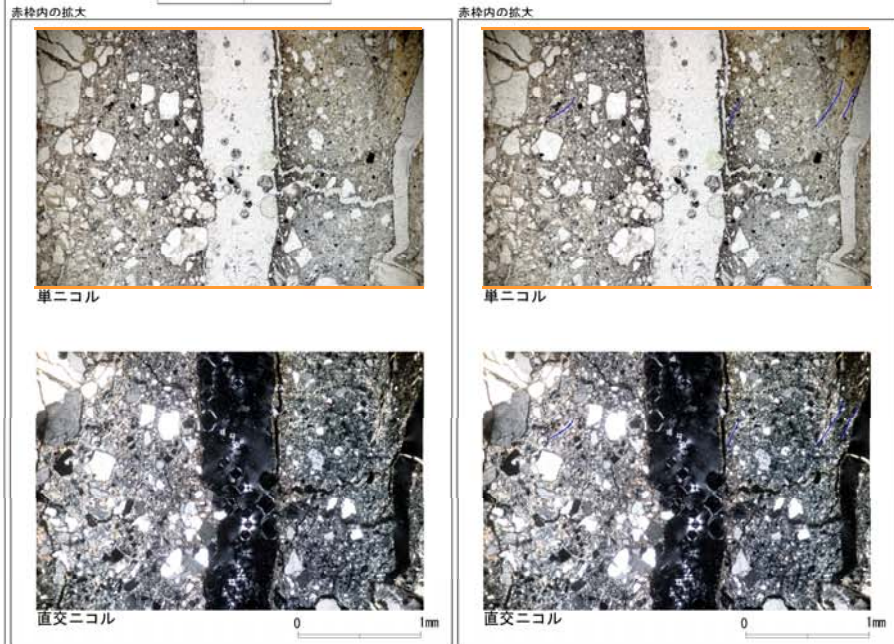
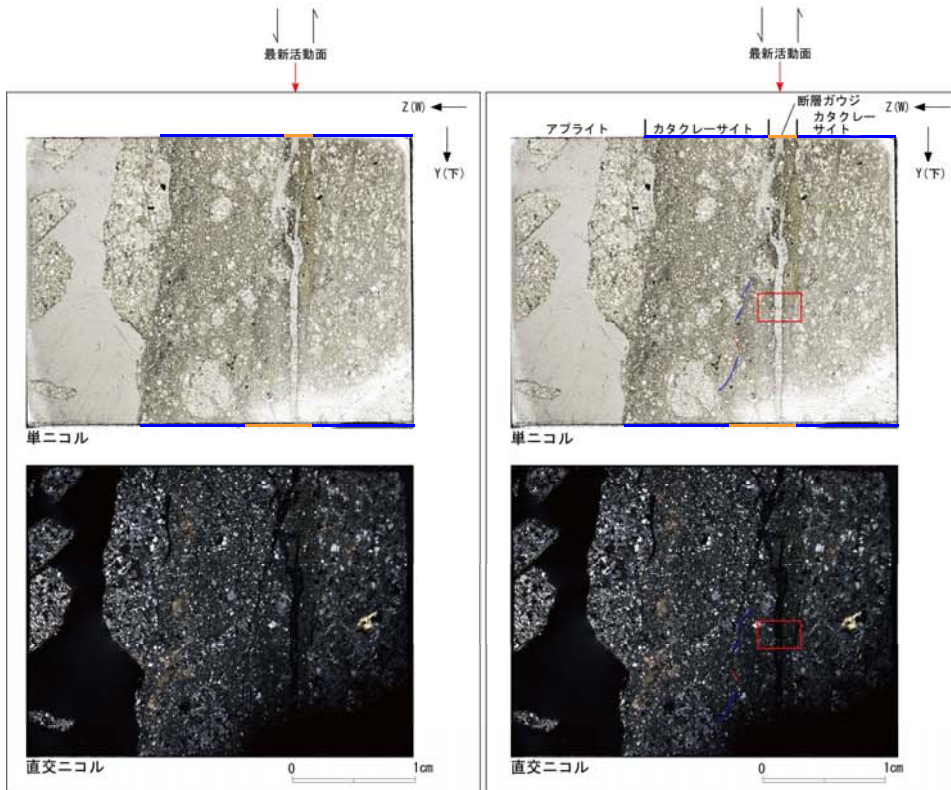
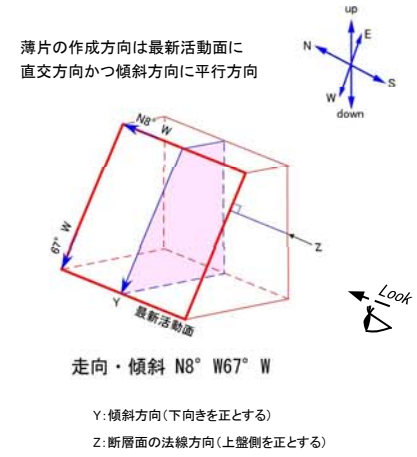
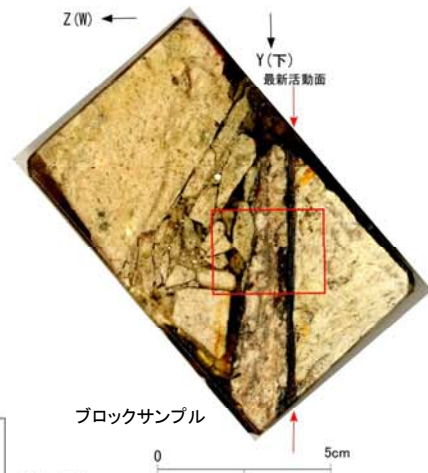
- 凡例
- 断層ガウジ
  - カタクレーサイト
  - R1面
  - P面



# D-15破砕帯 薄片試料観察(H19-No.17 深度114.31m)(その1)

H19-No.17のボーリングコア(深度114.31m)から採取した薄片試料の観察結果によれば最新活動面の変位センスは、右ずれを伴う正断層である。

条線データなし



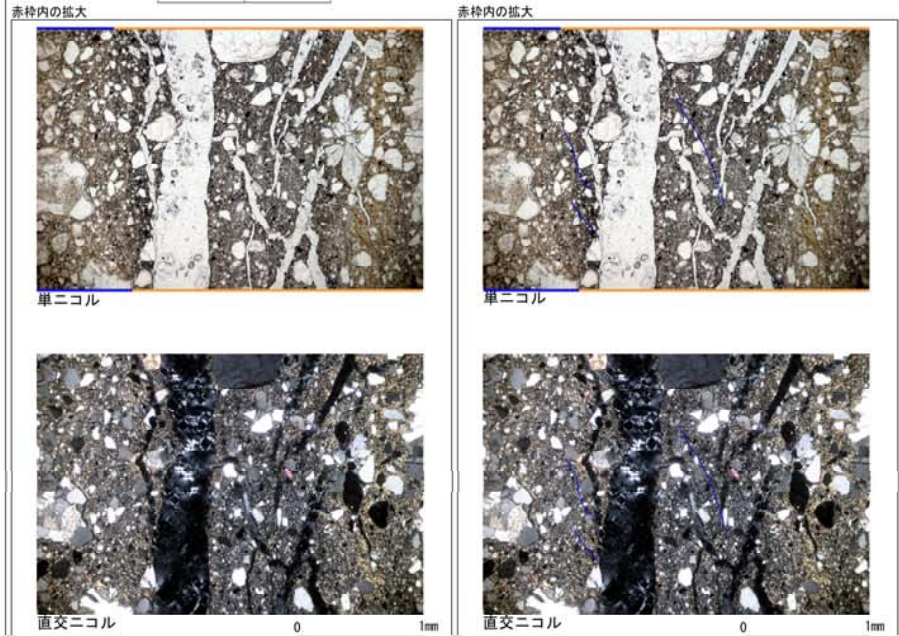
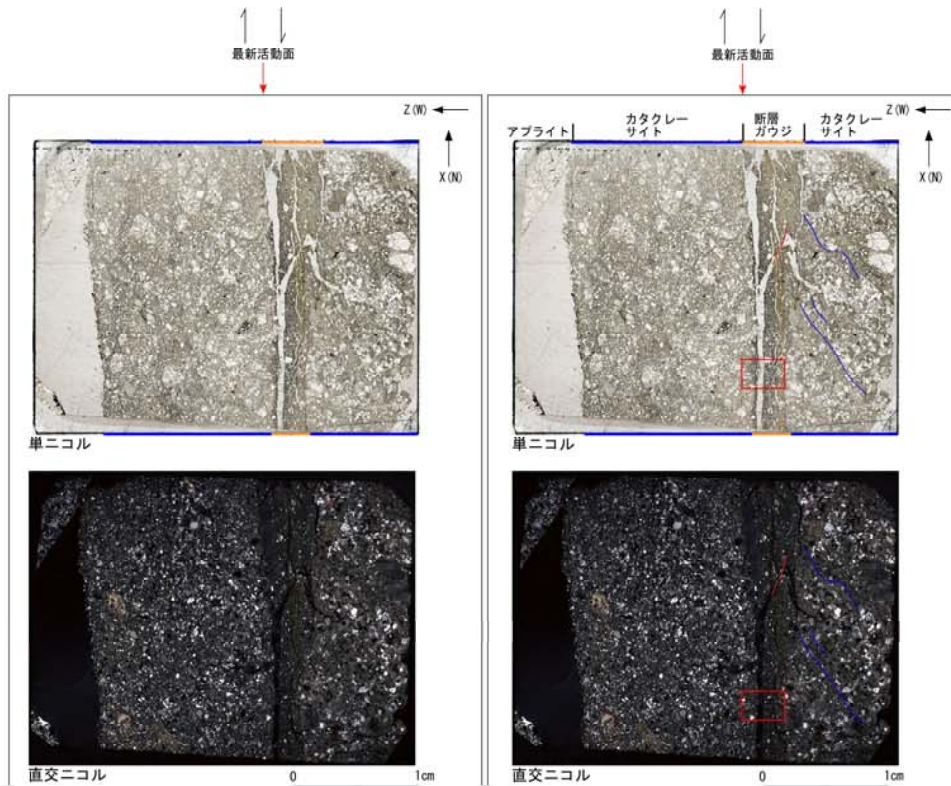
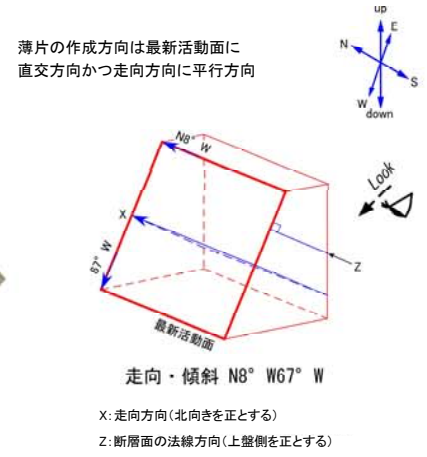
- 凡例
- 断層ガウジ
- カタクレーサイト
- R1面
- P面

鉛直断面: 最新活動面の変位センスは、正断層成分が卓越する。

# D-15破砕帯 薄片試料観察(H19-No.17 深度114.31m)(その2)

H19-No.17のボーリングコア(深度114.31m)から採取した薄片試料の観察結果によれば最新活動面の変位センスは、右ずれを伴う正断層である。

条線データなし



- 凡例
- 断層ガウジ
- カタクレーサイト
- R1面
- P面

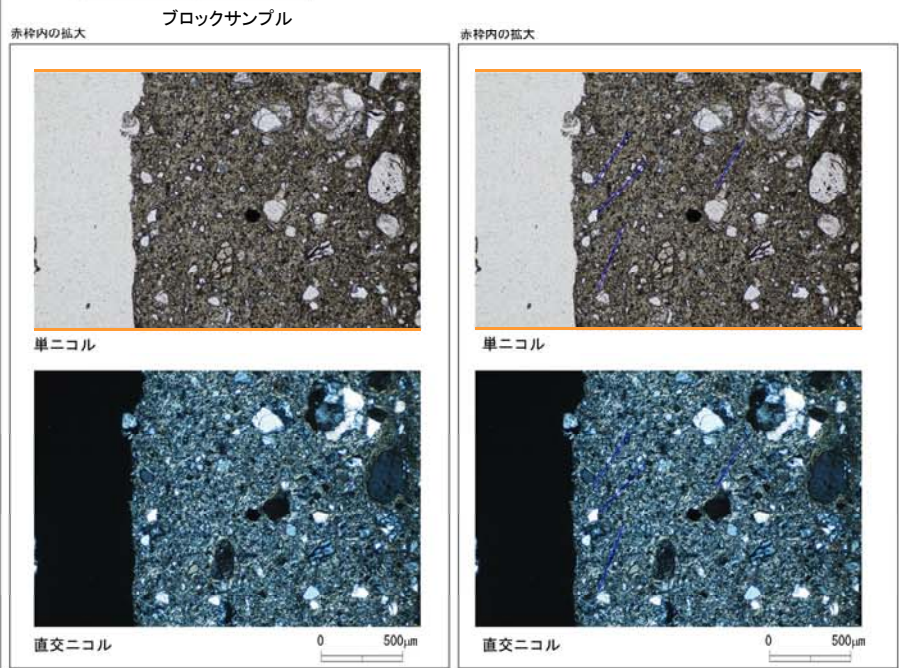
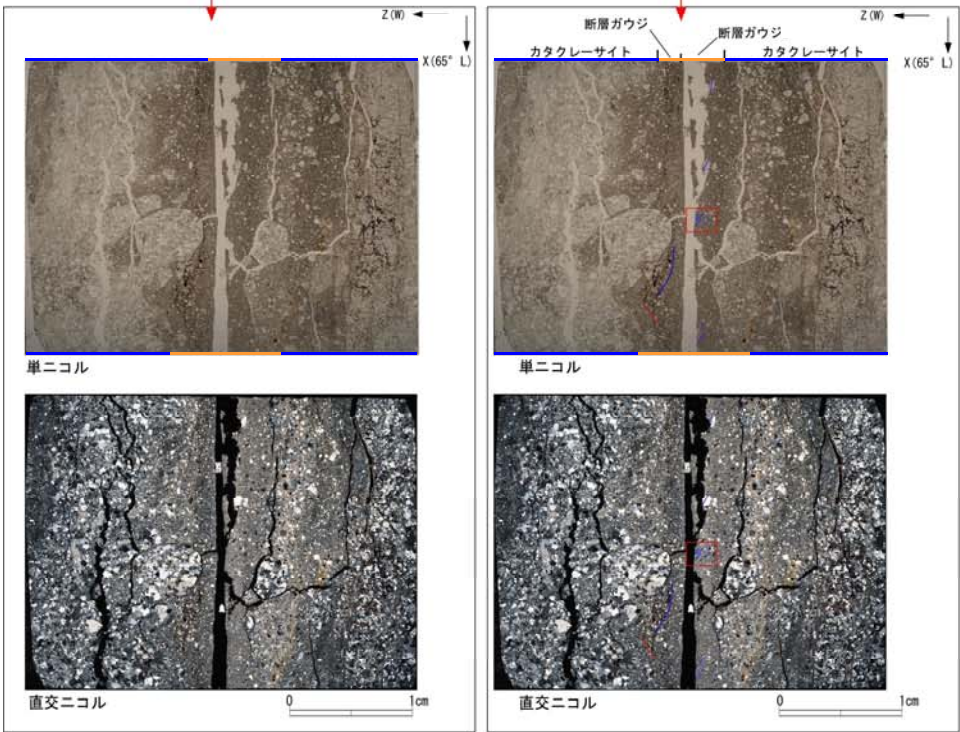
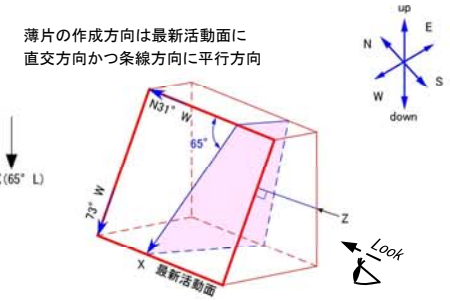
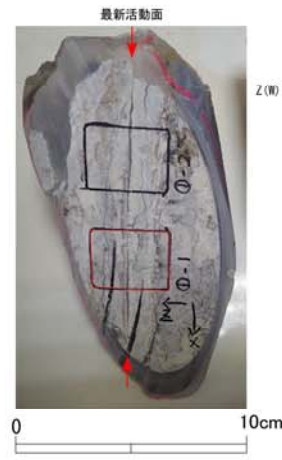
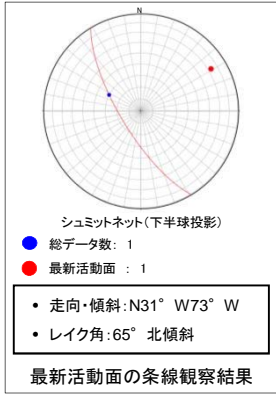
水平断面: 最新活動面の変位センスは、右ずれ成分が卓越する。



## 9. D-17~D-28破碎帶

# D-20破碎帯 薄片試料観察(H20-④-1 深度19.60m)

H20-④-1のボーリングコア(深度19.60m)から採取した薄片試料の観察結果によれば最新活動面の変位センスは、右ずれを伴う正断層である。

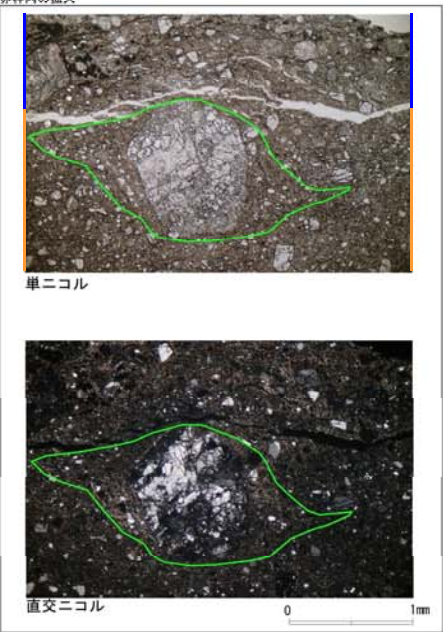
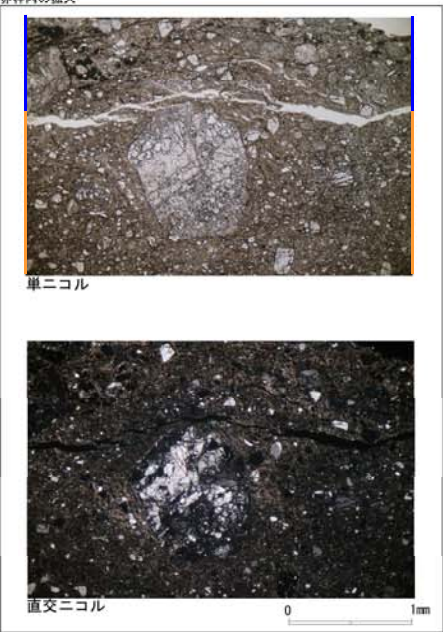
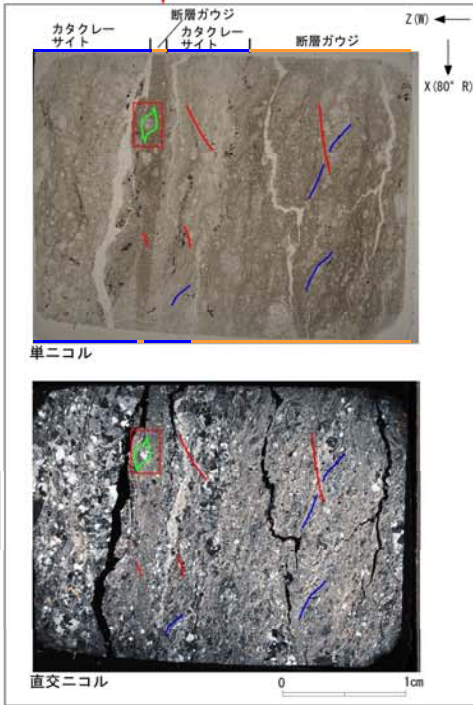
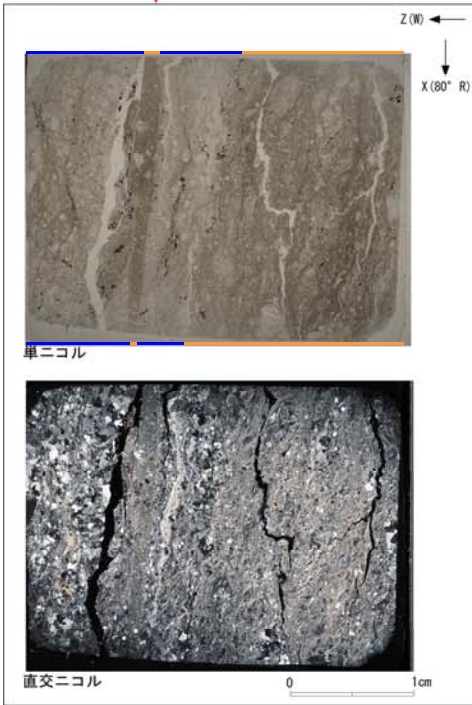
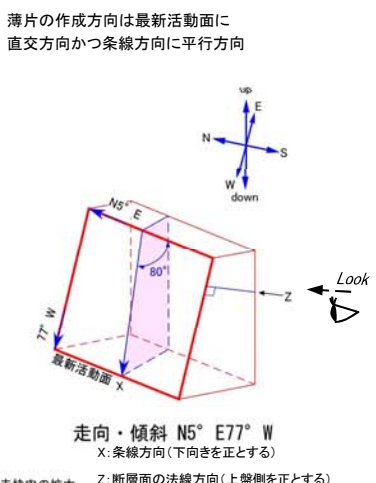
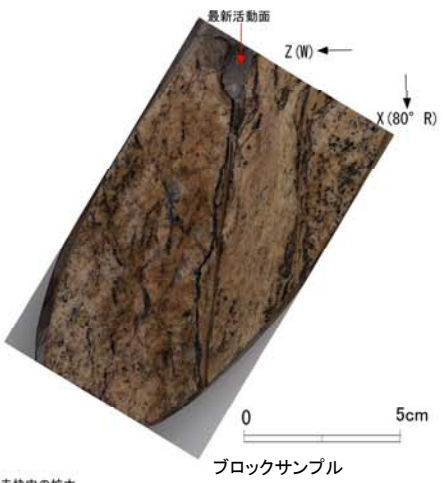
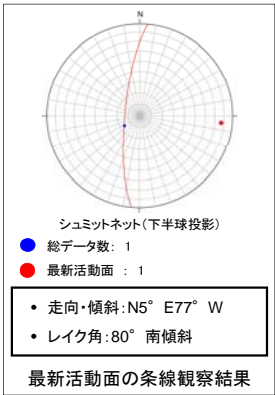


- 凡例
- 断層ガウジ
  - カタクレーサイト
  - R1面
  - P面



# D-24破碎帯 薄片試料観察(H21-No.① 深度113.18m)

H21-No.①のボーリングコア(深度113.18m)から採取した薄片試料の観察結果によれば最新活動面の変位センスは、正断層成分が卓越する。

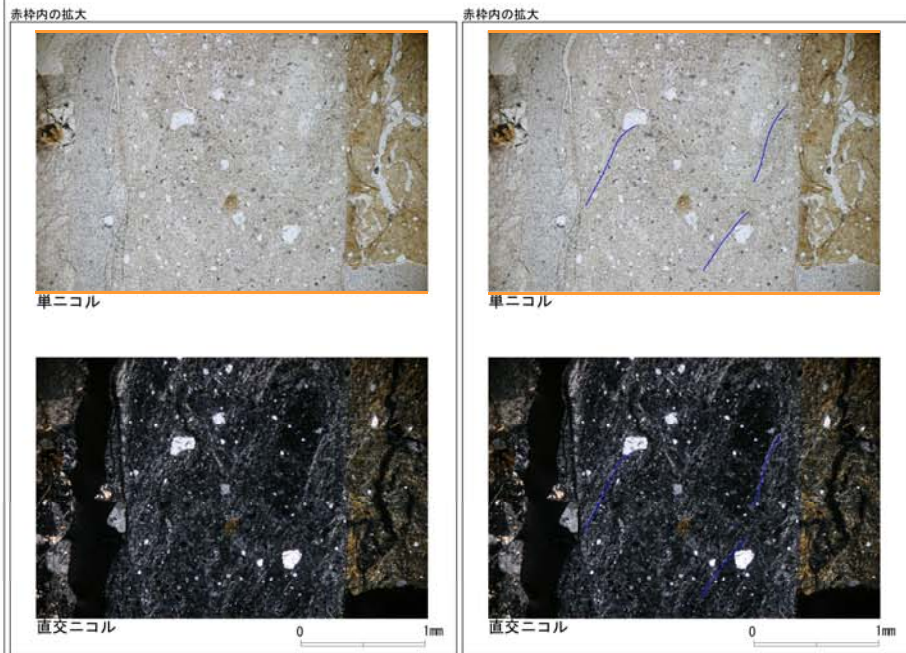
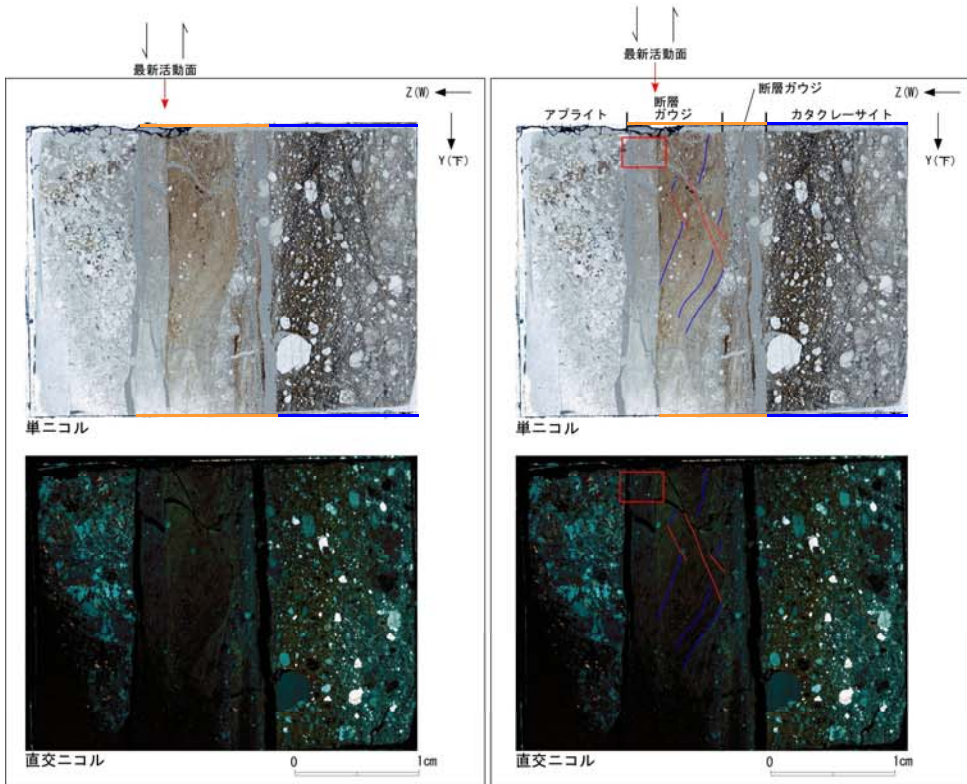
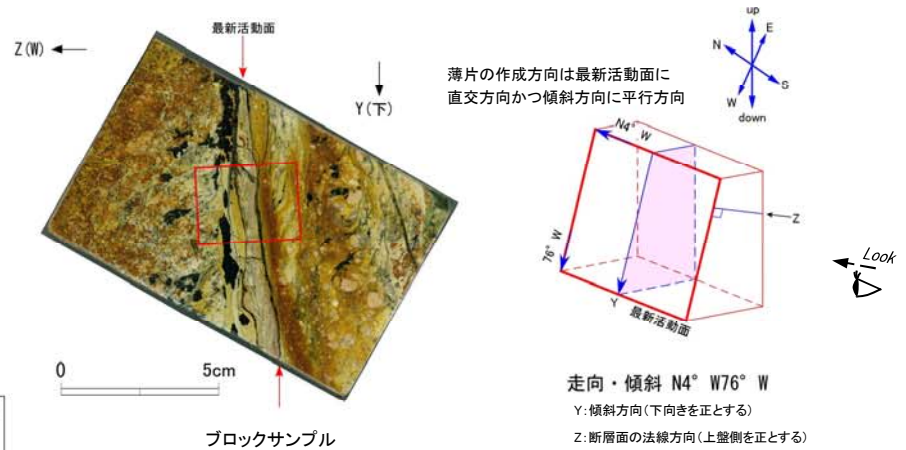


- 凡例
- 断層ガウジ
  - カタクレーサイト
  - R1面
  - P面
  - 非対称変形構造

# D-25破碎帯 薄片試料観察(H21-No.③ 深度103.77m)(その1)

H21-No.③のボーリングコア(深度103.77m)から採取した薄片試料の観察結果によれば最新活動面の変位センスは、右ずれを伴う正断層である。

条線データなし



- 凡例
- 断層ガウジ
- カタクレーサイト
- R1面
- P面

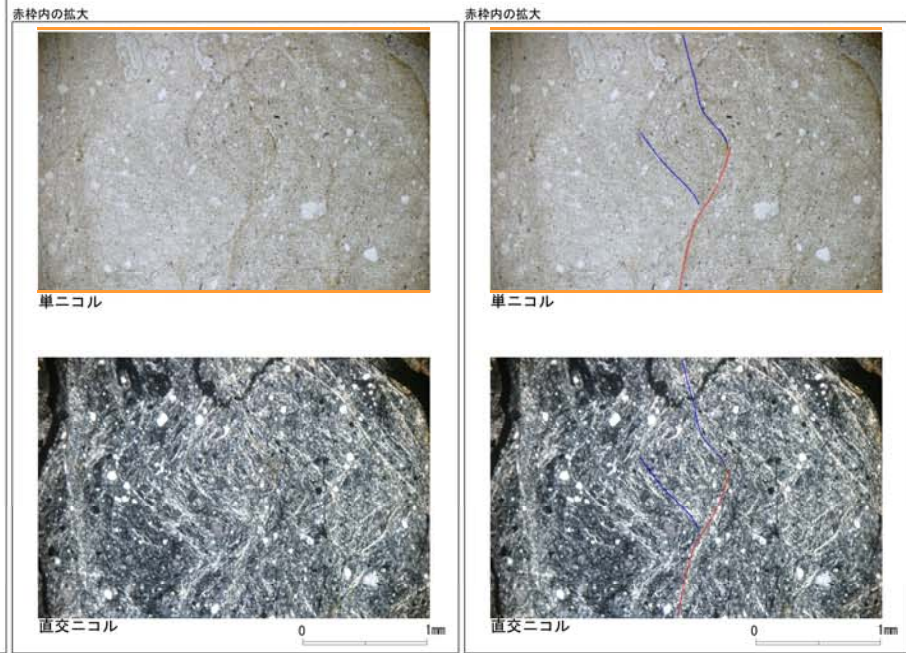
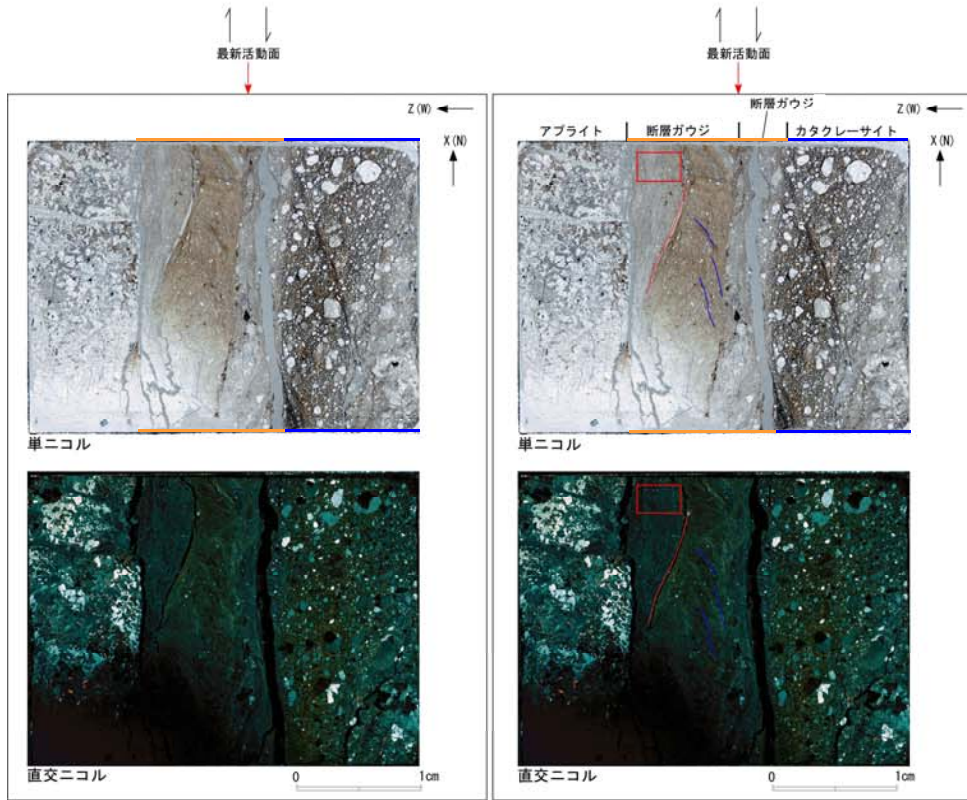
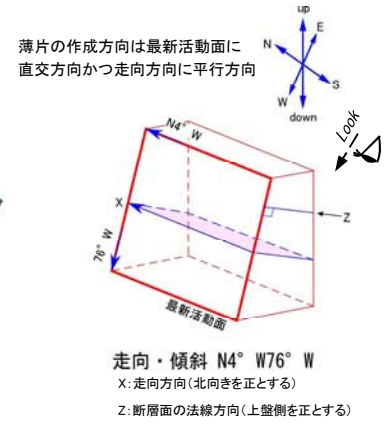
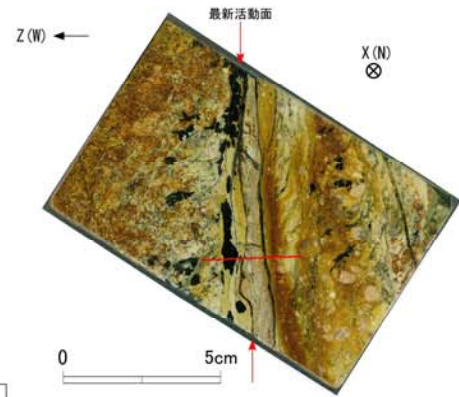
鉛直断面: 最新活動面の変位センスは、正断層成分が卓越する。



# D-25破砕帯 薄片試料観察(H21-No.③ 深度103.77m)(その2)

H21-No.③のボーリングコア(深度103.77m)から採取した薄片試料の観察結果によれば最新活動面の変位センスは、右ずれを伴う正断層である。

条線データなし

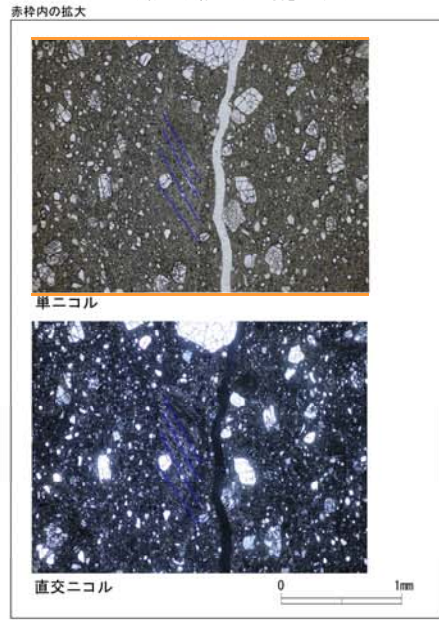
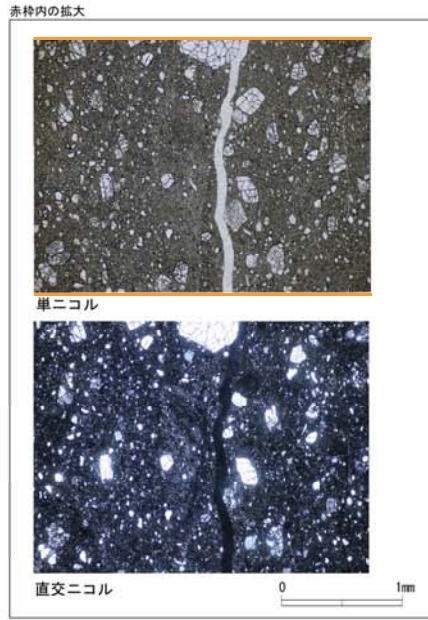
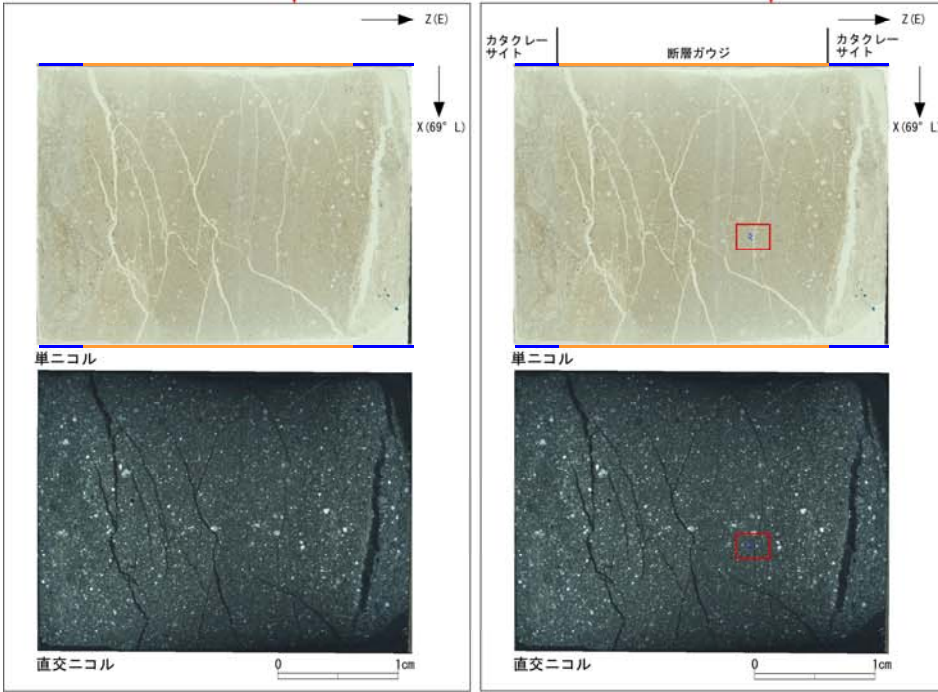
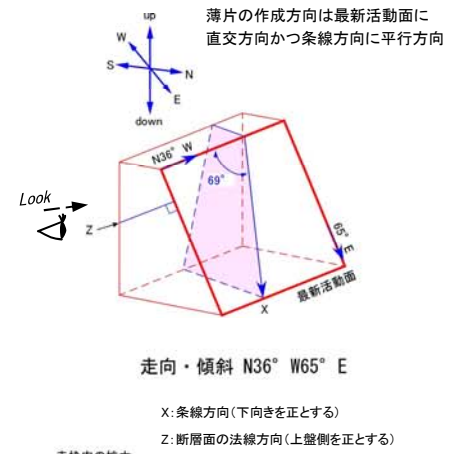
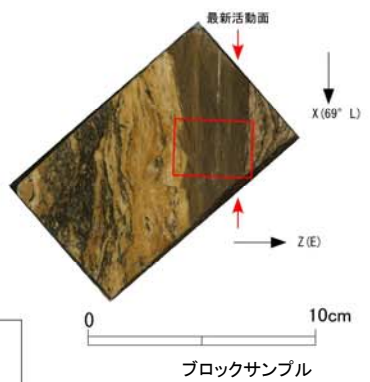
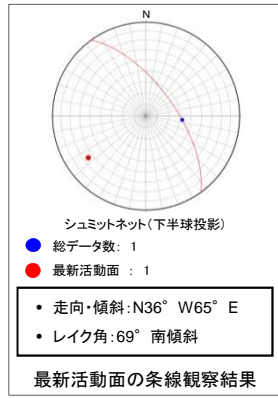


- 凡例
- 断層ガウジ
- カタクレーサイト
- R1面
- P面

水平断面: 最新活動面の変位センスは、右ずれ成分が卓越する。

# D-26破碎帯 薄片試料観察(H19-No.19 深度18.18m)

H19-No.19のボーリングコア(深度18.18m)から採取した薄片試料の観察結果によれば最新活動面の変位センスは、正断層成分が卓越する。



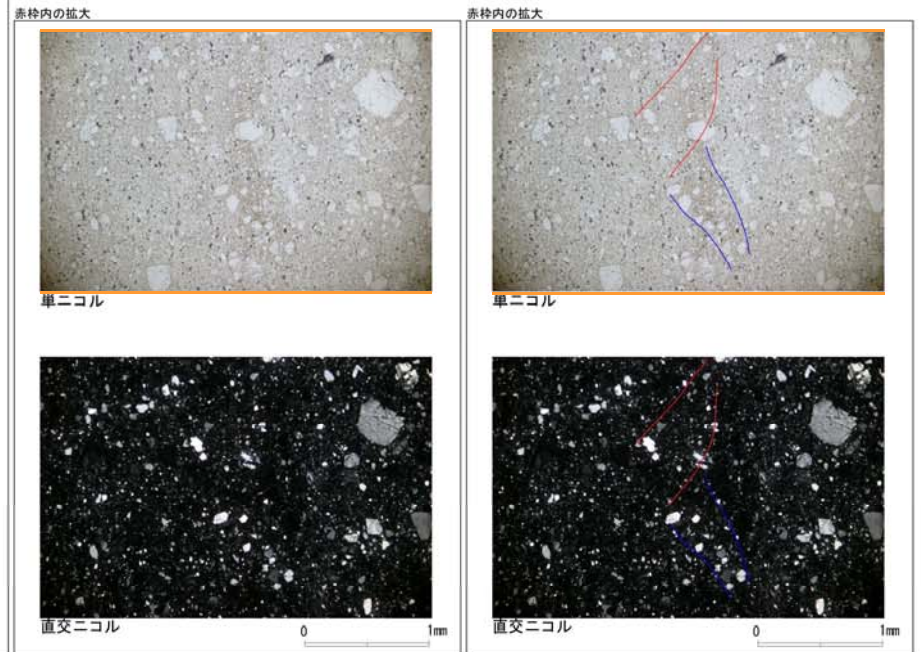
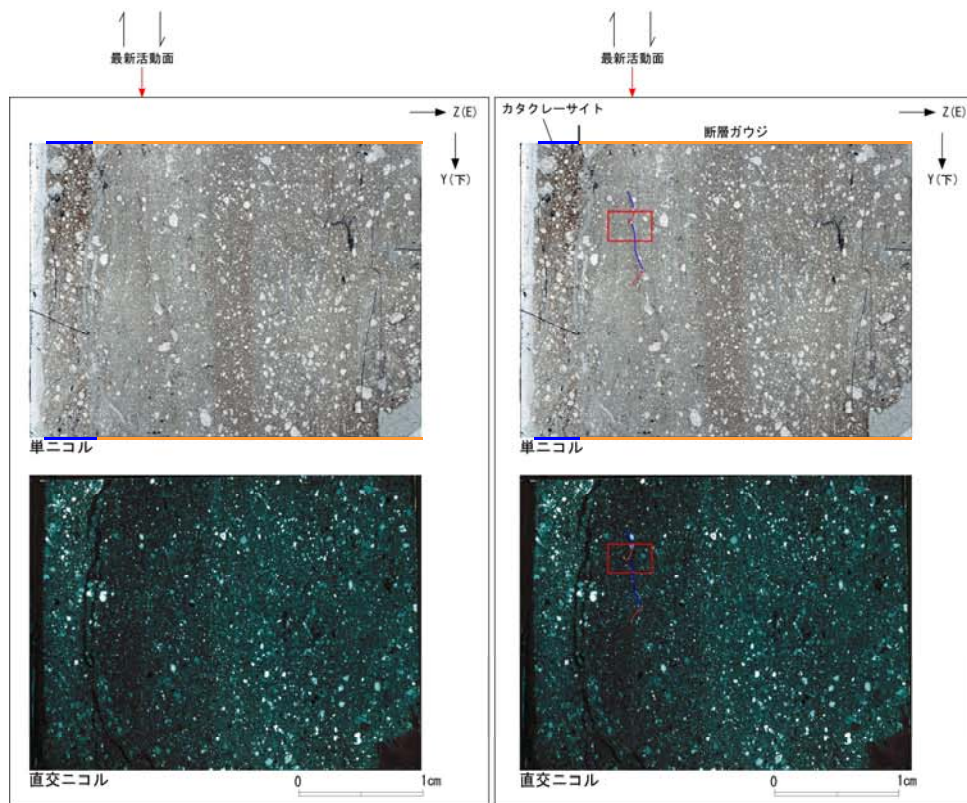
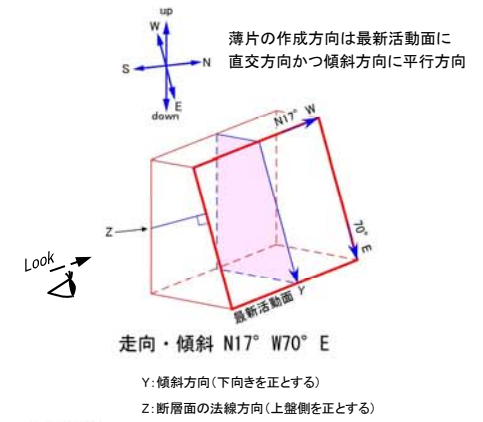
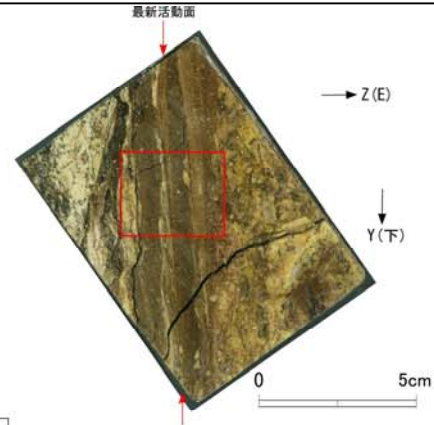
- 凡例
- 断層ガウジ
  - カタクレーサイト
  - R1面
  - P面



# D-26破碎帯 薄片試料観察(H21-No.④ 深度26.47m)(その1)

H21-No.④のボーリングコア(深度26.47m)から採取した薄片試料の観察結果によれば最新活動面の変位センスは、右ずれを伴う正断層である。

条線データなし



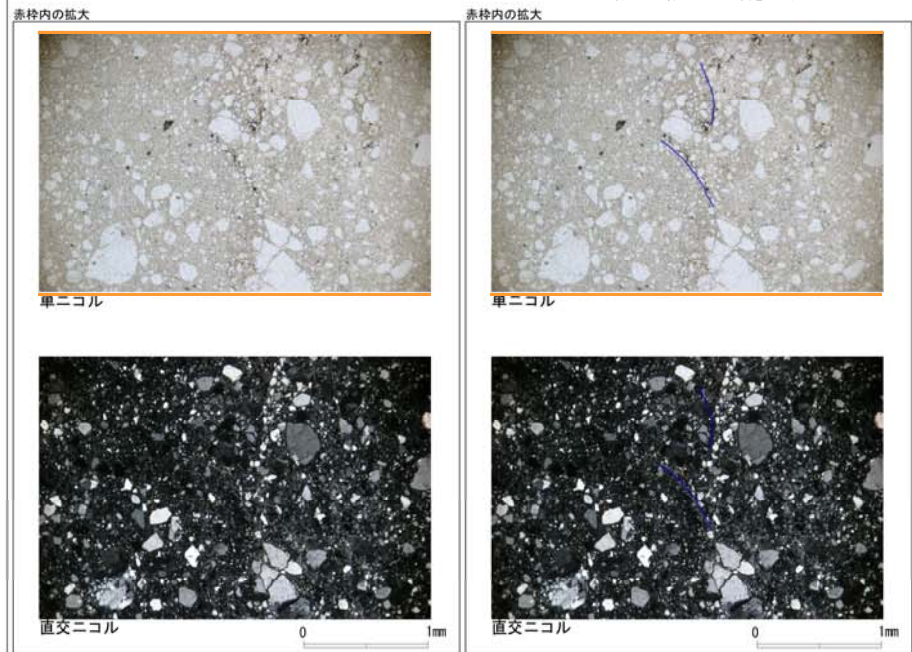
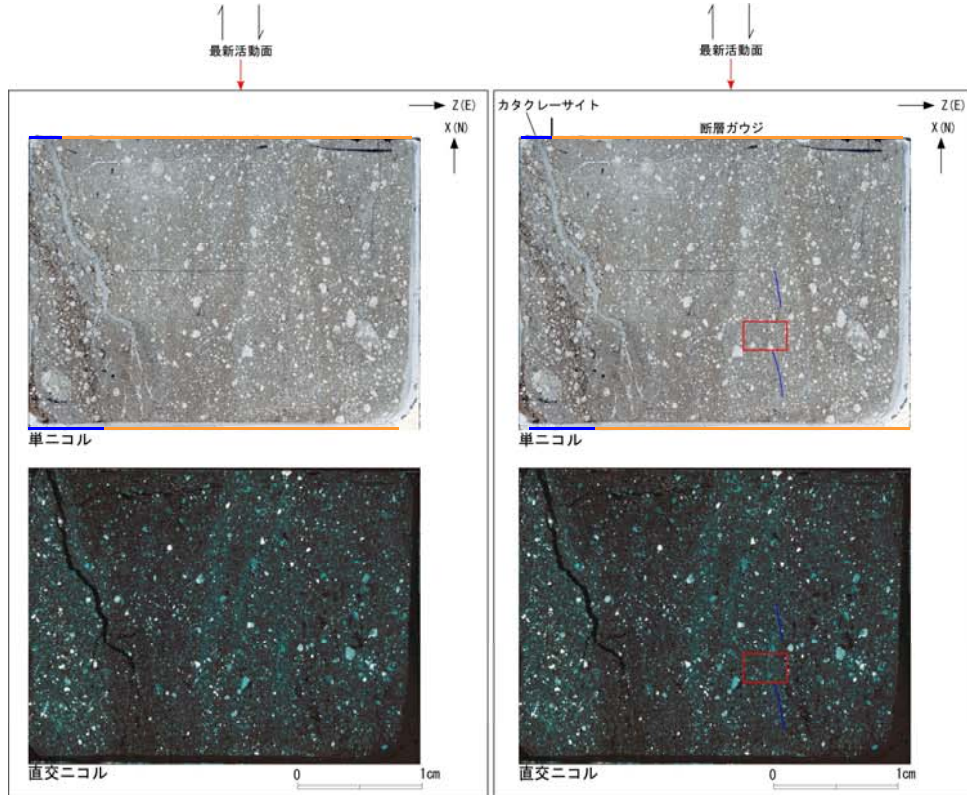
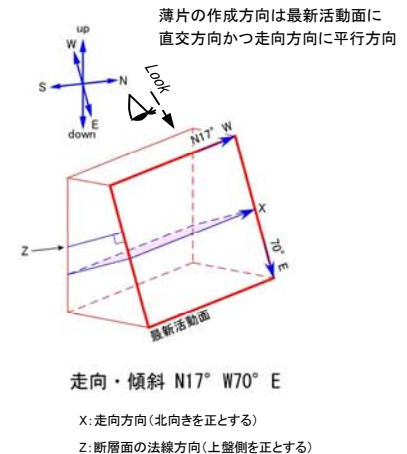
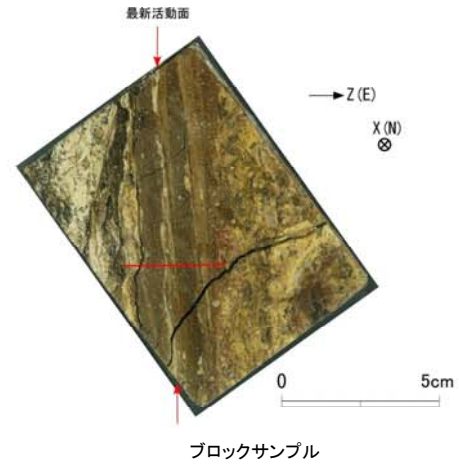
- 凡例
- 断層ガウジ
- カタクレーサイト
- R1面
- P面

鉛直断面: 最新活動面の変位センスは、正断層成分が卓越する。

# D-26破碎帯 薄片試料観察(H21-No.④ 深度26.47m)(その2)

H21-No.④のボーリングコア(深度26.47m)から採取した薄片試料の観察結果によれば最新活動面の変位センスは、右ずれを伴う正断層である。

条線データなし



- 凡例
- 断層ガウジ
- カタクレーサイト
- R1面
- P面

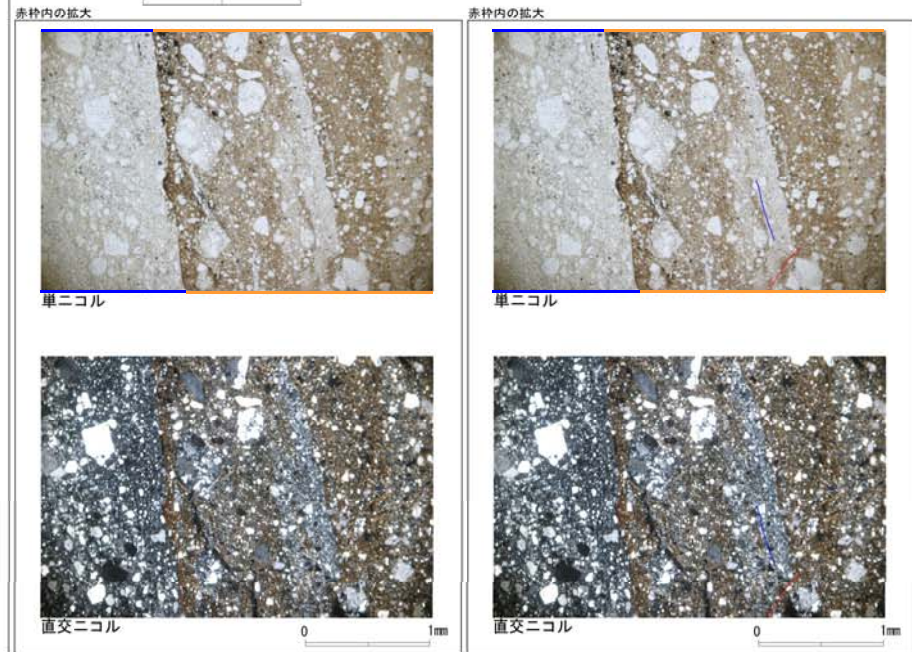
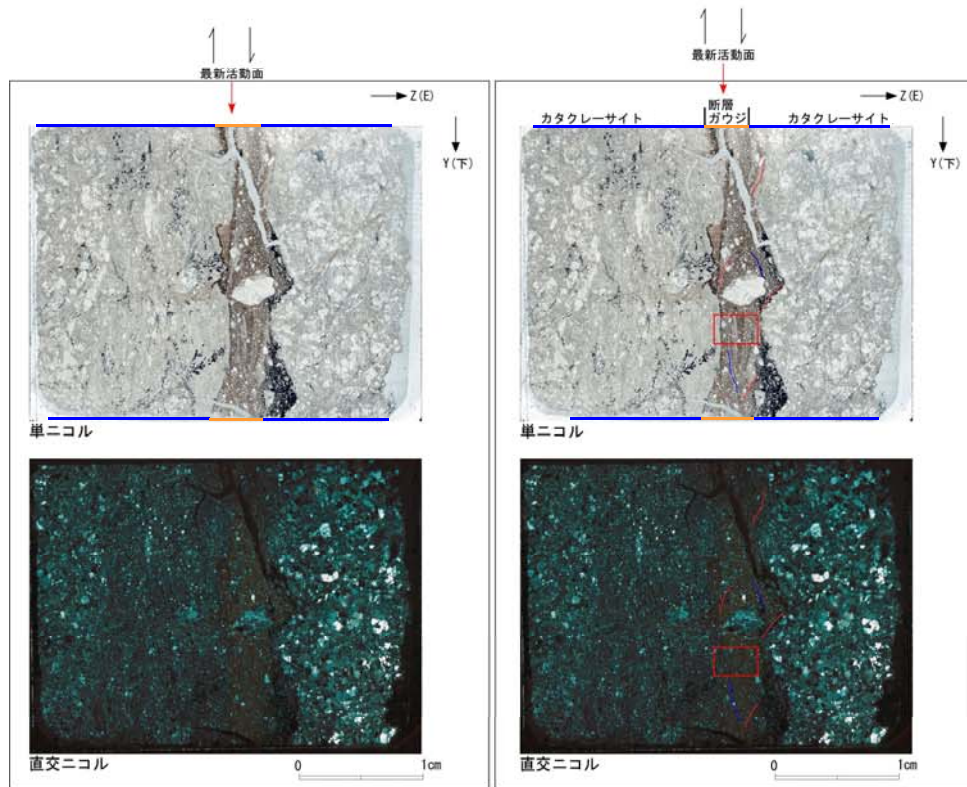
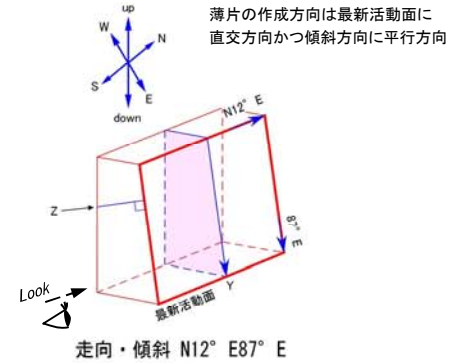
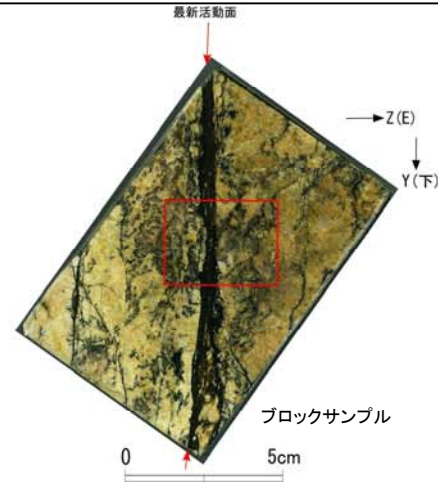
水平断面:最新活動面の変位センスは、右ずれ成分が卓越する。



# D-27破碎帯 薄片試料観察(H21-No.④ 深度31.24m)(その1)

H21-No.④のボーリングコア(深度31.24m)から採取した薄片試料の観察結果によれば最新活動面の変位センスは、左ずれを伴う正断層である。

条線データなし



- 凡例
- 断層ガウジ
  - カタクレーサイト
  - R1面
  - P面

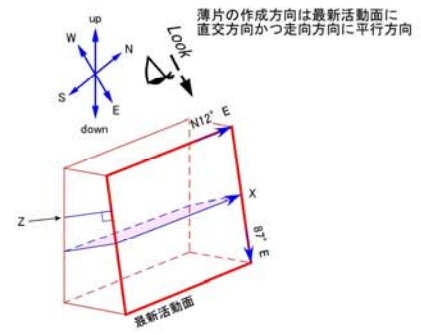
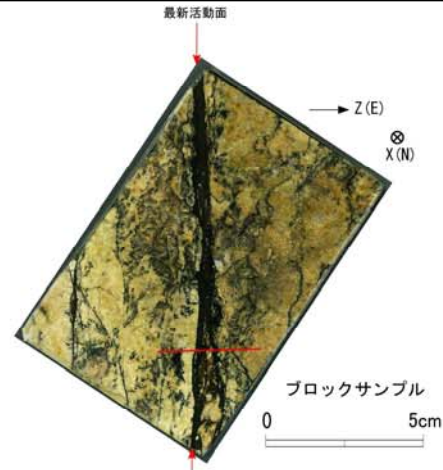
鉛直断面:最新活動面の変位センスは、正断層成分が卓越する。



# D-27破碎帯 薄片試料観察(H21-No.④ 深度31.24m)(その2)

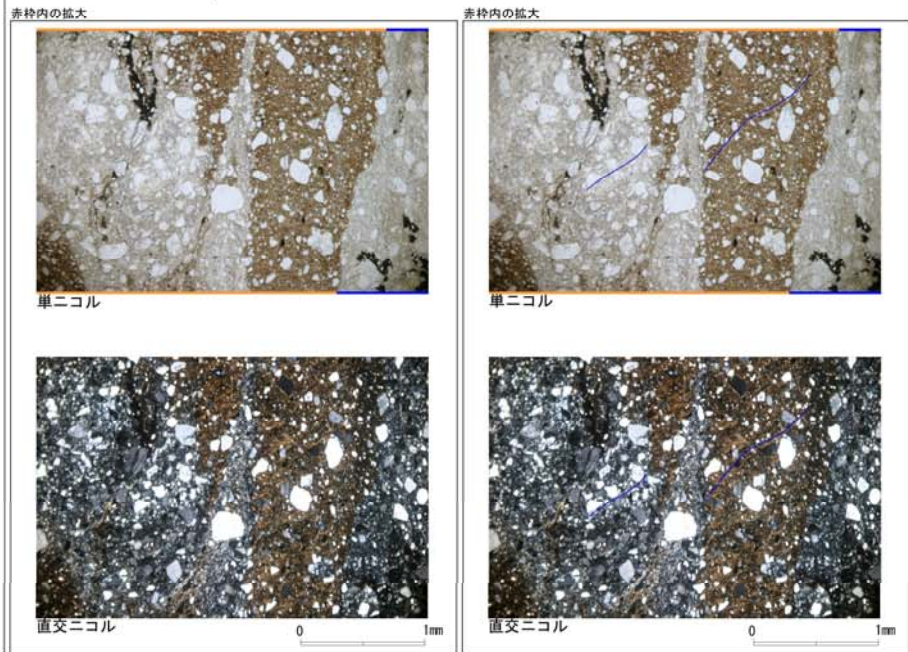
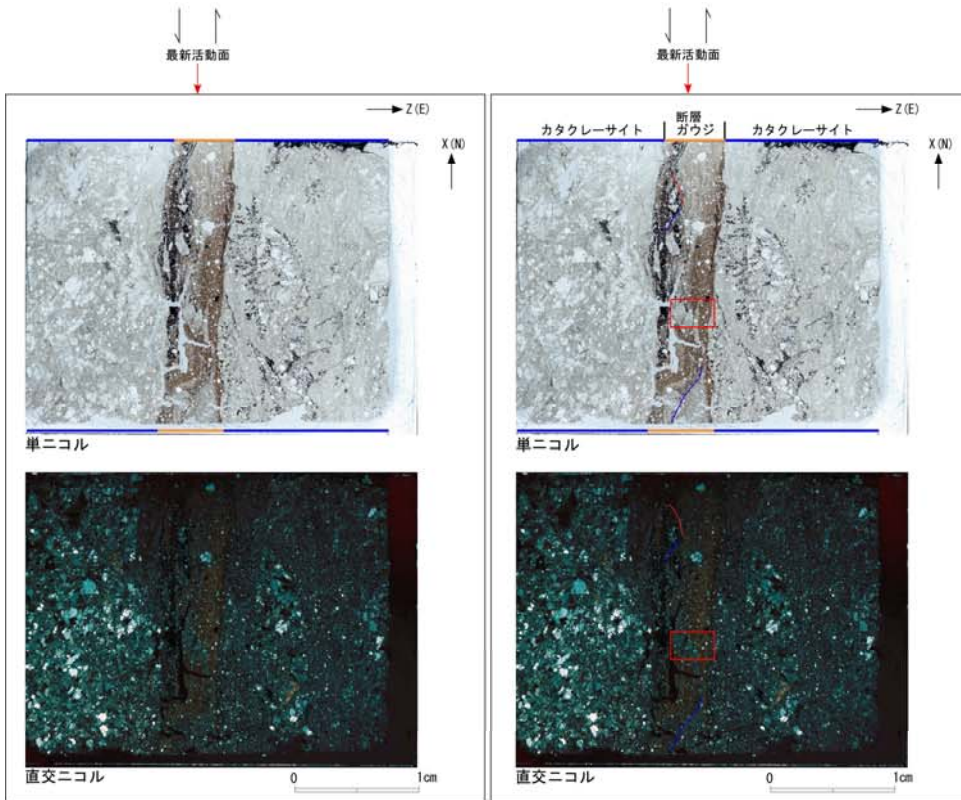
H21-No.④のボーリングコア(深度31.24m)から採取した薄片試料の観察結果によれば最新活動面の変位センスは、左ずれを伴う正断層である。

条線データなし



走向・傾斜 N12° E87° E

X: 走向方向 (北向きを正とする)  
Z: 断層面の法線方向 (上盤側を正とする)



- 凡例
- 断層ガウジ
- カタクレーサイト
- R1面
- P面

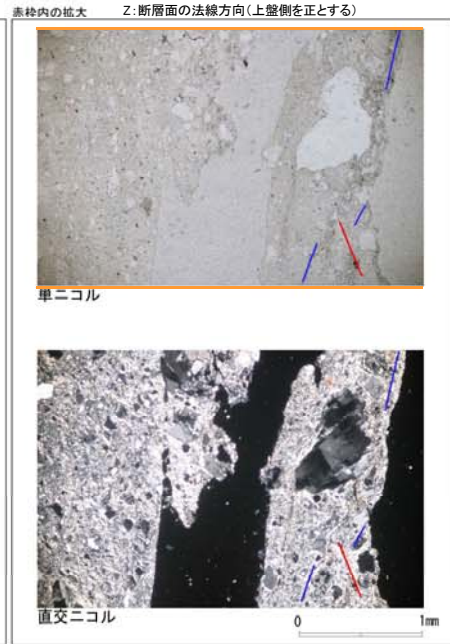
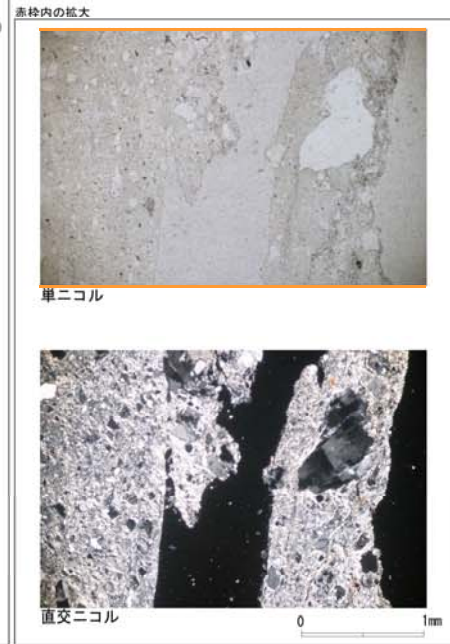
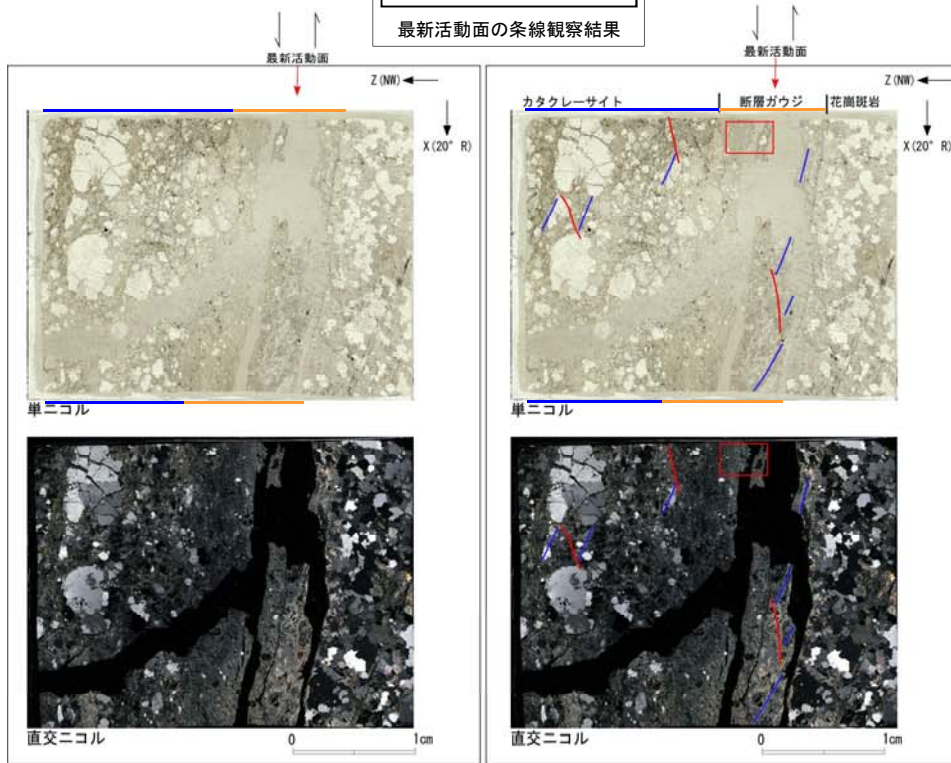
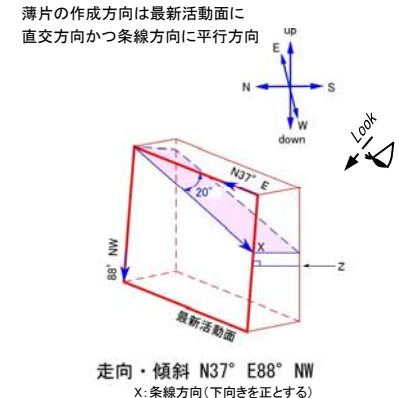
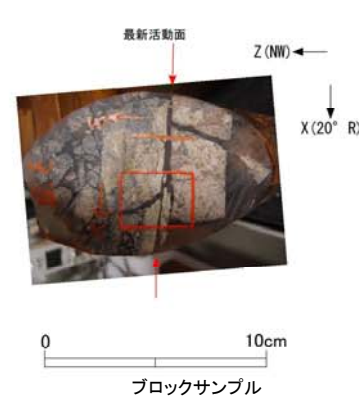
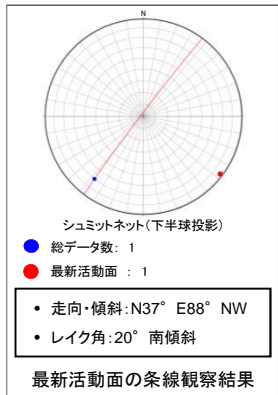
水平断面: 最新活動面の変位センスは、左ずれ成分が卓越する。



## 10. D-29~D-47破碎帶

# D-29破碎帯 薄片試料観察(H24-B14-1 深度37.86m)

H24-B14-1のボーリングコア(深度37.86m)から採取した薄片試料の観察結果によれば最新活動面の変位センスは、左ずれ成分が卓越する。

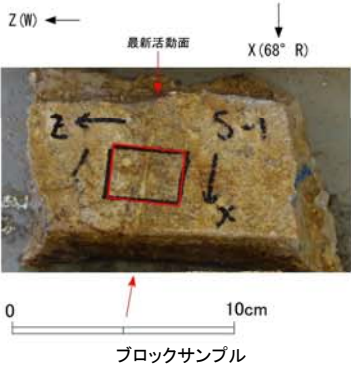
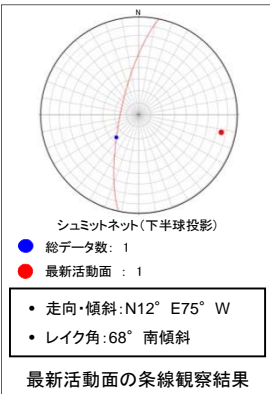


- 凡例
- 断層ガウジ
  - カタクレーサイト
  - R1面
  - P面

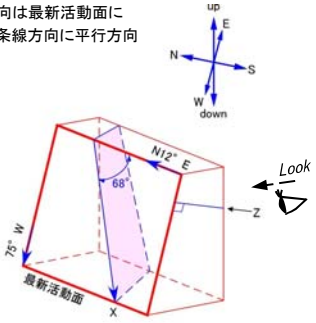


# D-32破碎帯 薄片試料観察(D-1トレンチ南側ピット)

D-1トレンチ南側ピットから採取した薄片試料の観察結果によれば最新活動面の変位センスは、正断層成分が卓越する。

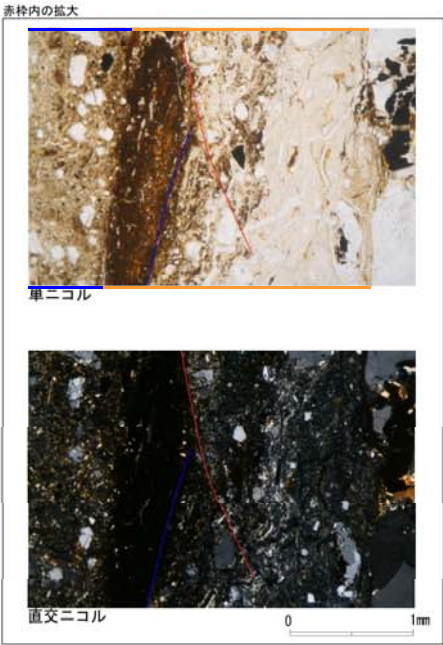
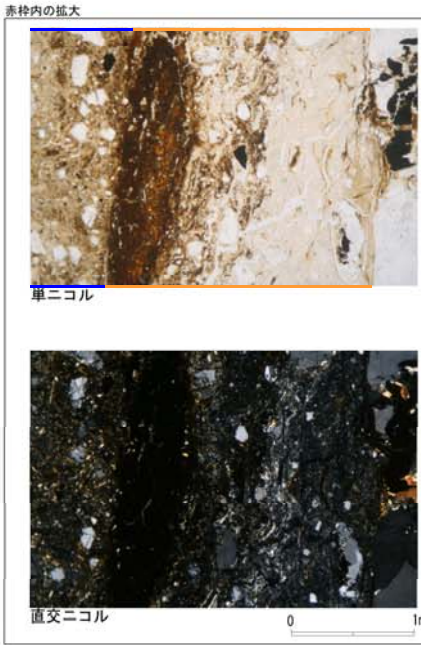
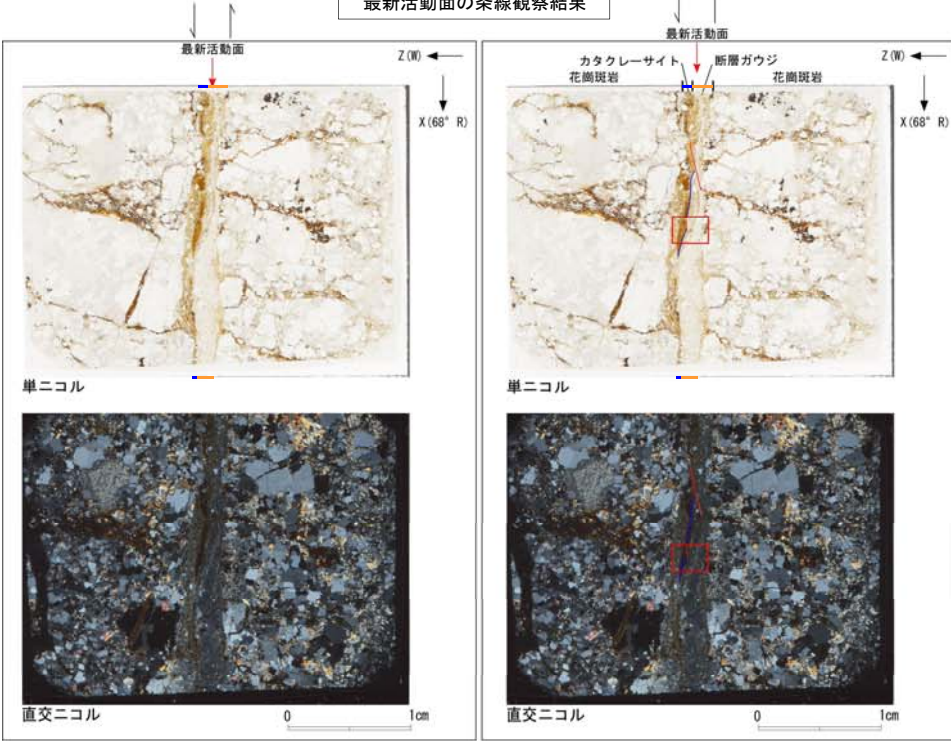


薄片の作成方向は最新活動面に直交方向かつ条線方向に平行方向



走向・傾斜 N12° E75° W

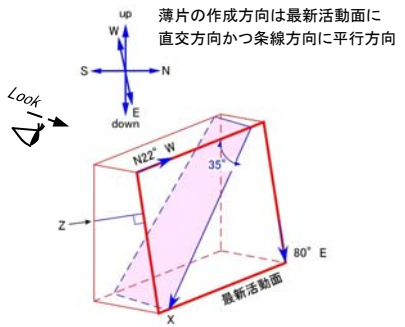
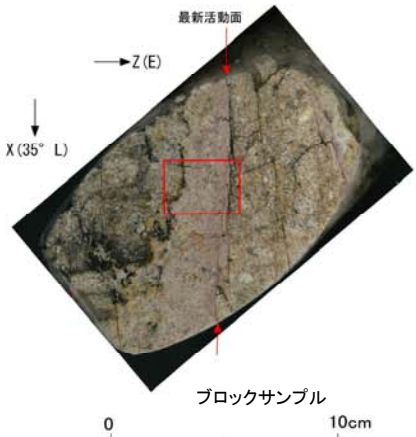
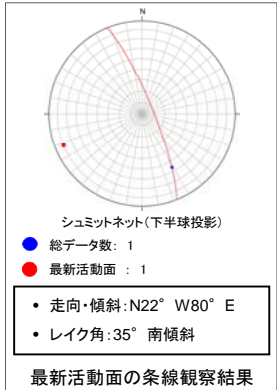
X: 条線方向(下向きを正とする)  
Z: 断層面の法線方向(上盤側を正とする)



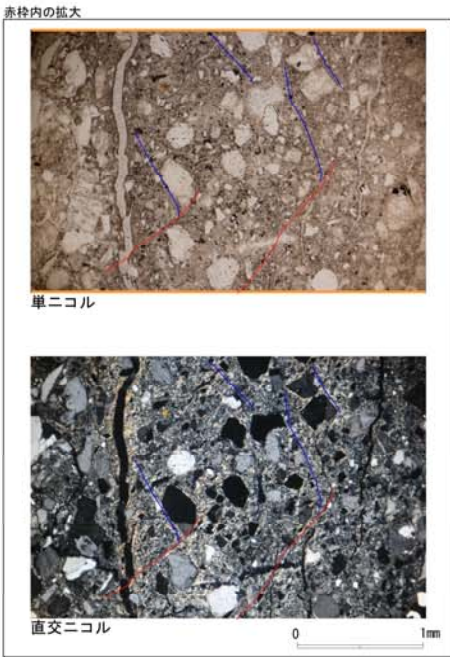
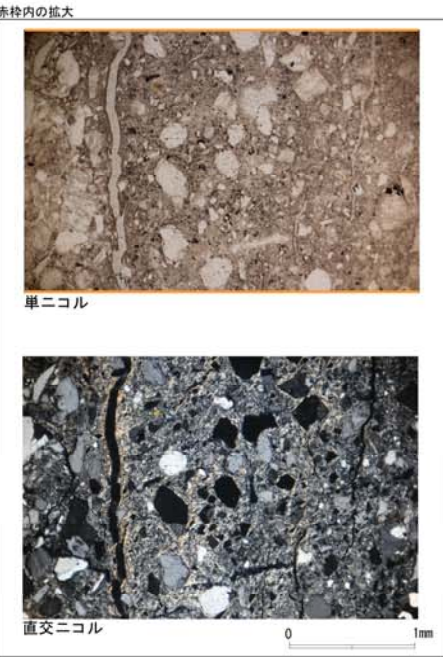
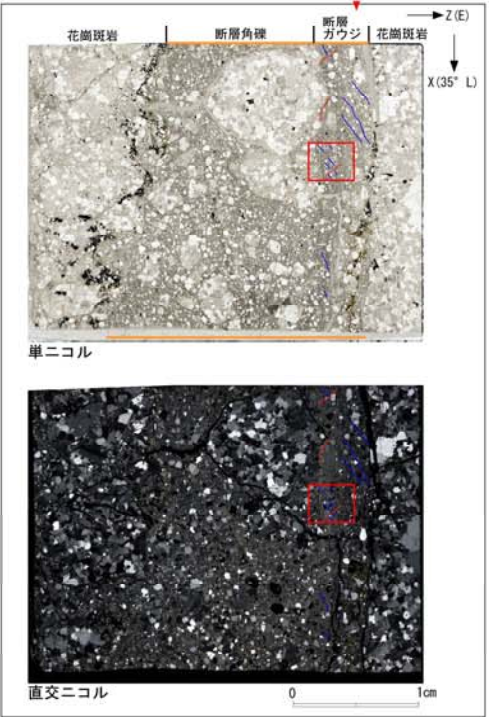
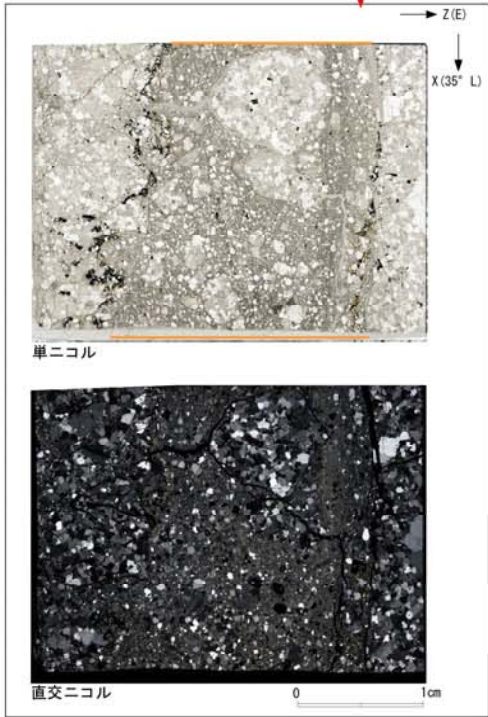
- 凡例
- 断層ガウジ
  - カタクレーサイト
  - R1面
  - P面

# D-33破碎帯 薄片試料観察(H24-D1-1 深度89.95m)

H24-D1-1のボーリングコア(深度 89.95m)から採取した薄片試料の観察結果によれば最新活動面の変位センスは、右ずれを伴う正断層である。



走向・傾斜 N22° W80° E  
 X: 条線方向(下向きを正とする)  
 Z: 断層面の法線方向(上盤側を正とする)

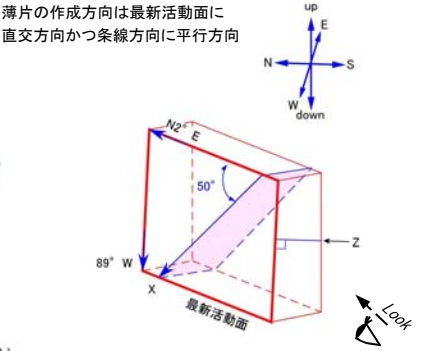
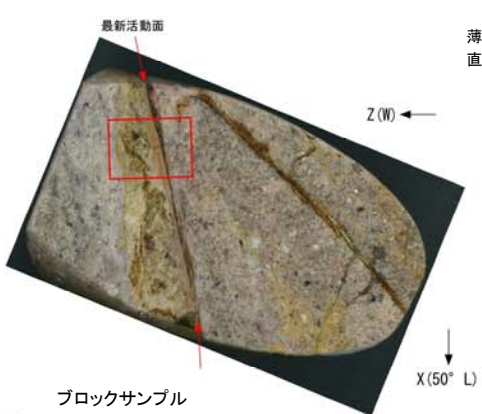
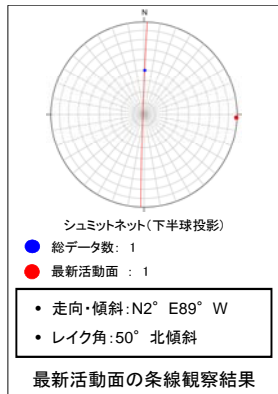


- 凡例
- 断層ガウジ・断層角礫
  - カタクレーサイト
  - R1面
  - P面

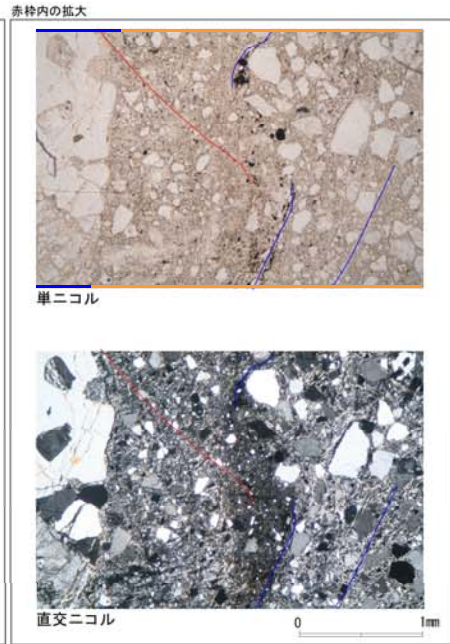
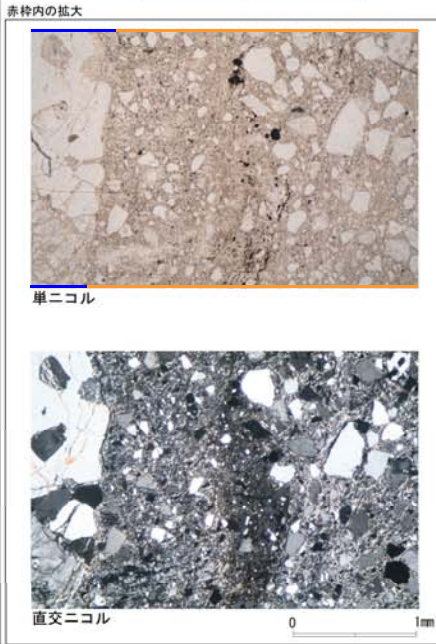
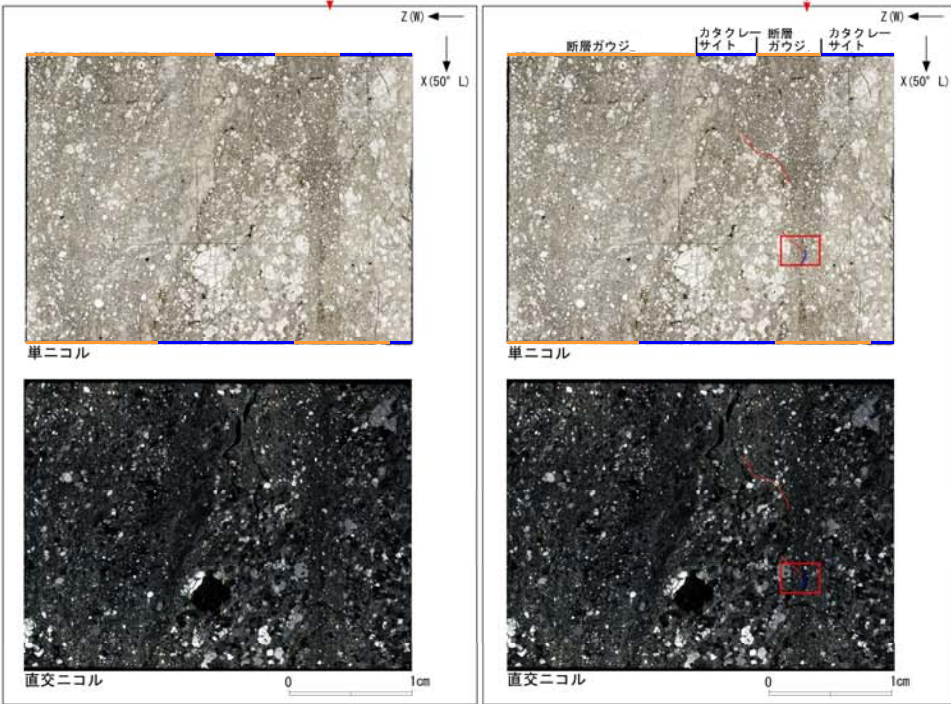


# D-35破碎帯 薄片試料観察(H24-D1-3 深度57.20m)

H24-D1-3のボーリングコア(深度57.20m)から採取した薄片試料の観察結果によれば最新活動面の変位センスは、右ずれを伴う正断層である。



走向・傾斜 N2° E89° W  
X: 条線方向(下向きを正とする)  
Z: 断層面の法線方向(上盤側を正とする)



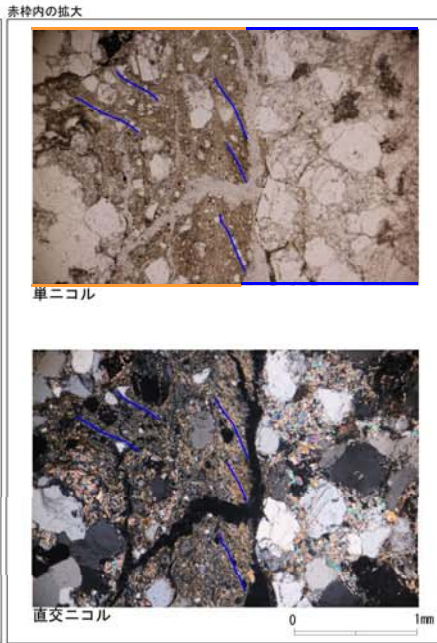
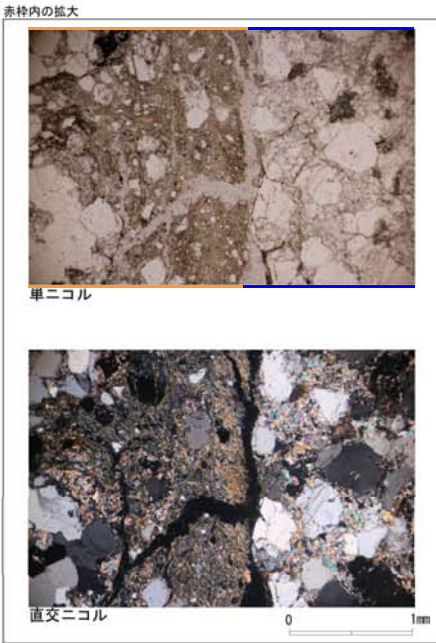
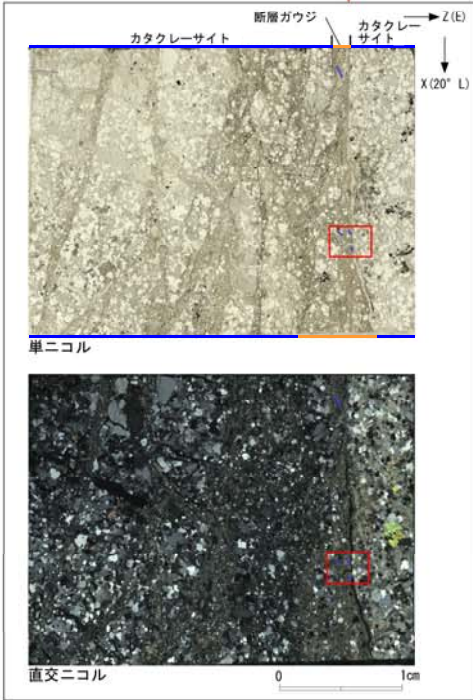
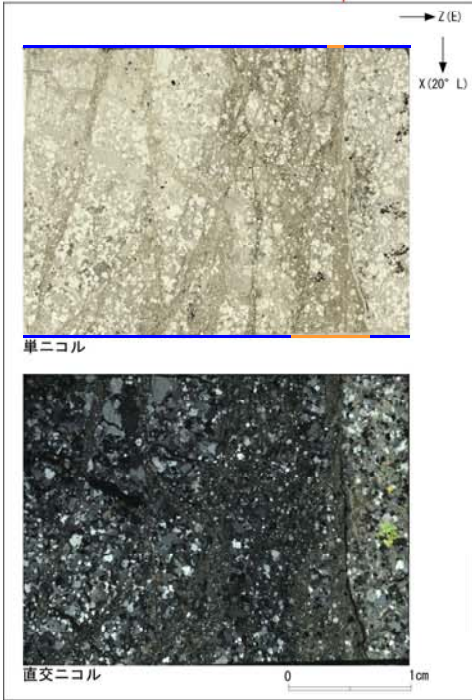
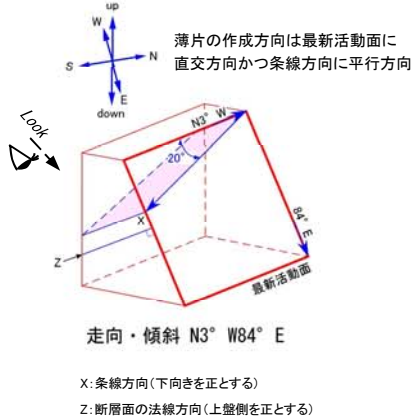
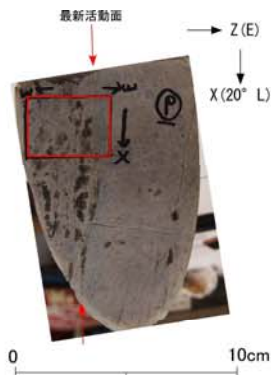
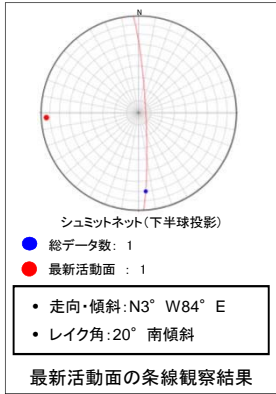
- 凡例
- 断層ガウジ
  - カタクレーサイト
  - R1面
  - P面





# D-37破碎帯 薄片試料観察(H24-B8-21 深度234.38m)

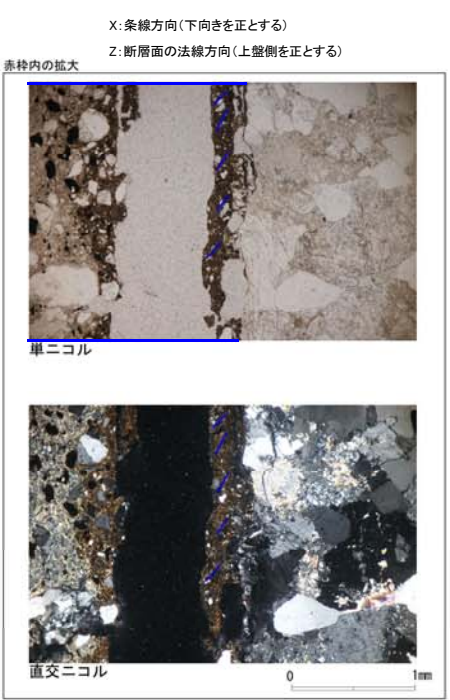
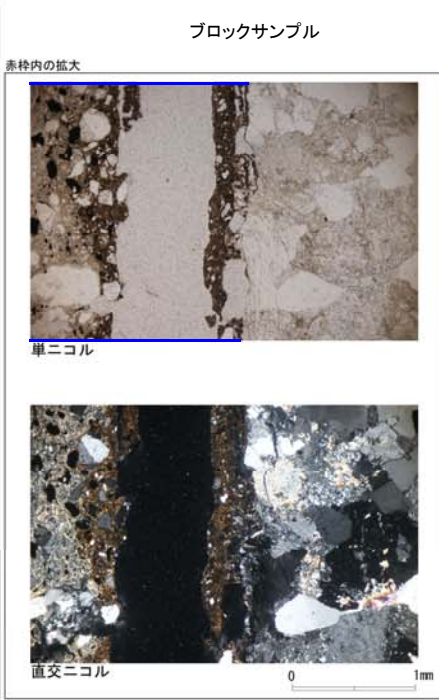
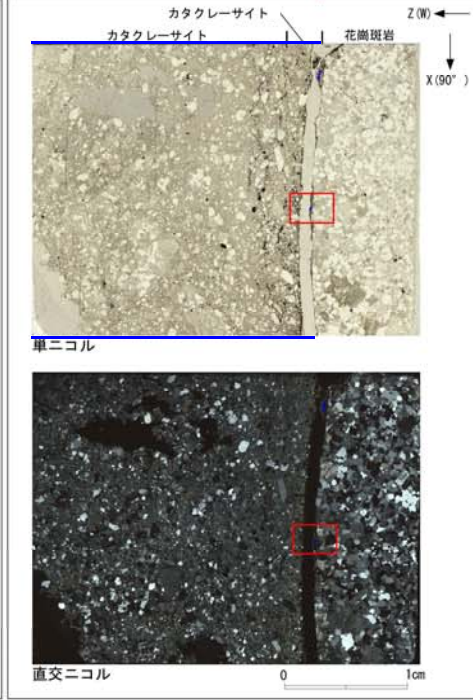
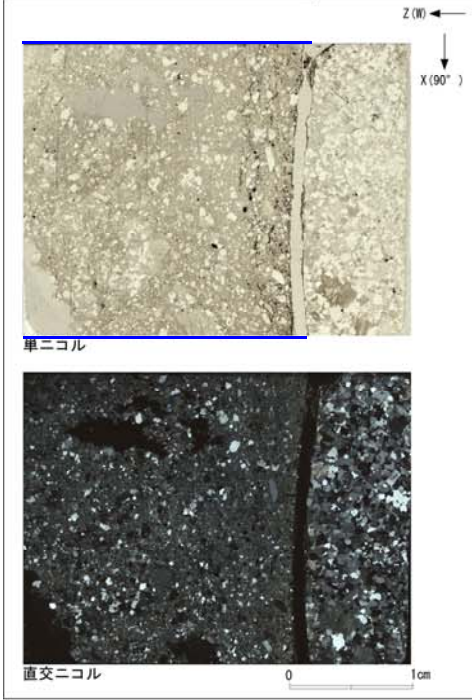
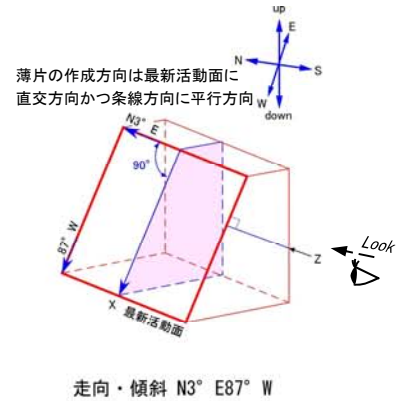
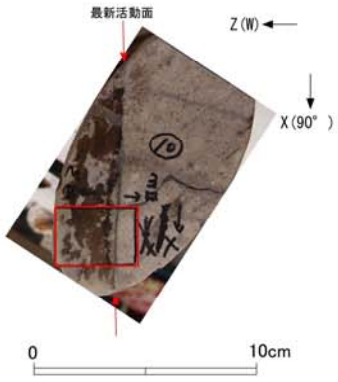
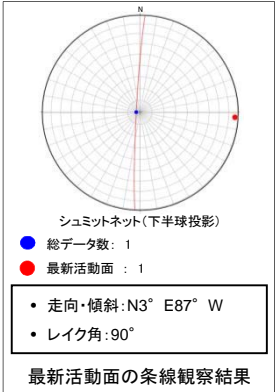
H24-B8-21のボーリングコア(深度234.38m)から採取した薄片試料の観察結果によれば最新活動面の変位センスは、右ずれ成分が卓越する。



- 凡例
- 断層ガウジ
  - カタクレーサイト
  - R1面
  - P面

# D-38破碎帯 薄片試料観察(H24-B8-22 深度114.71m)

H24-B8-22のボーリングコア(深度114.71m)から採取した薄片試料の観察結果によれば最新活動面の変位センスは、正断層成分が卓越する。

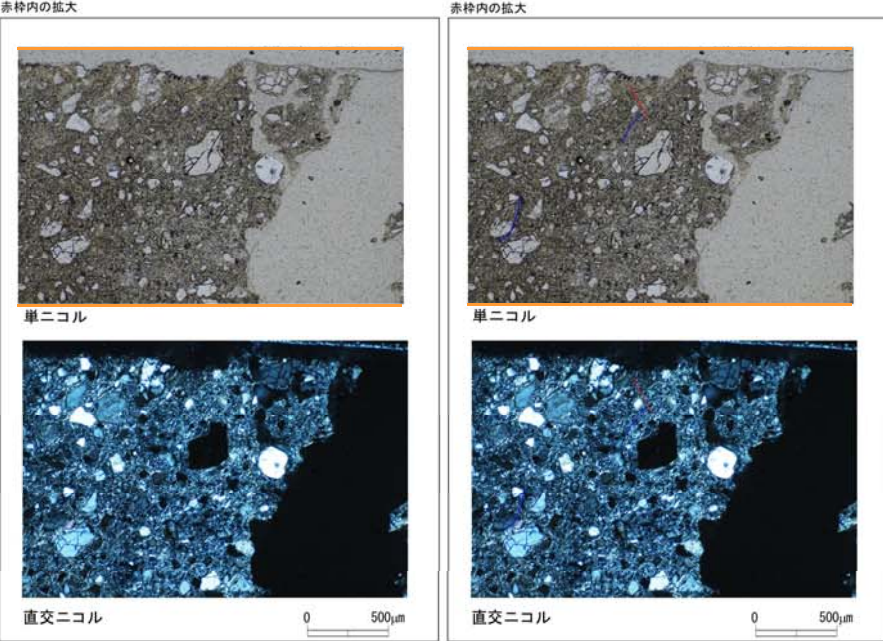
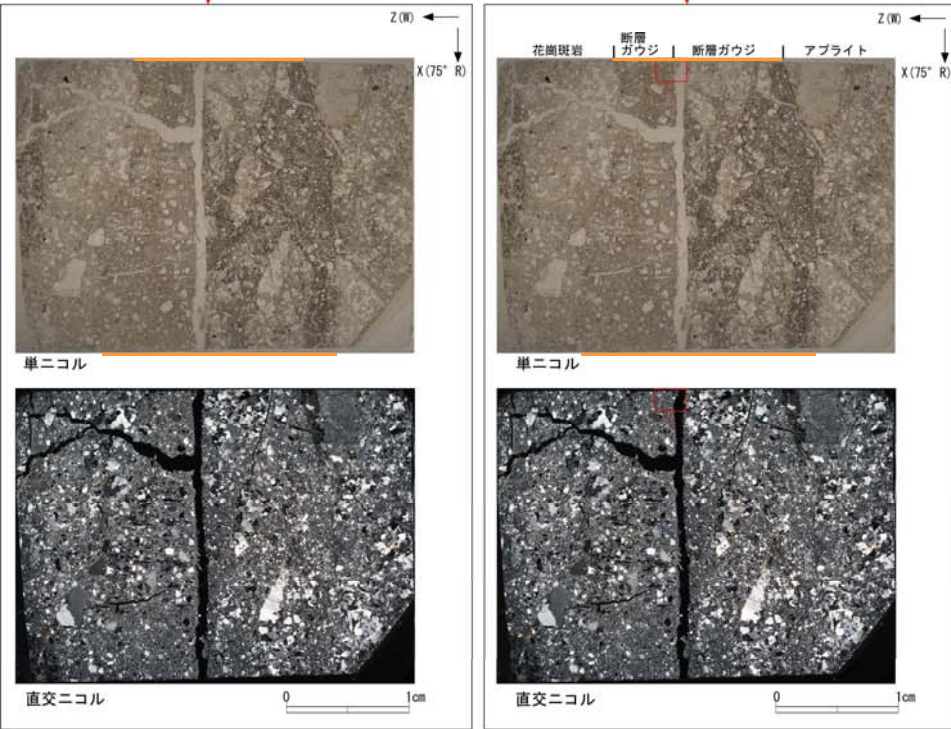
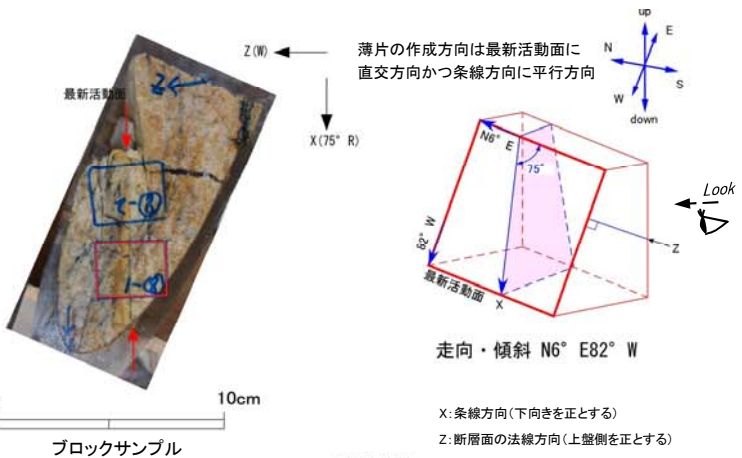
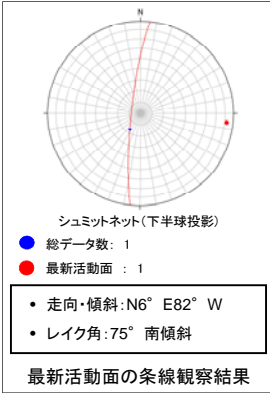


- 凡例
- 断層ガウジ
  - カタクレーサイト
  - R1面
  - P面



# D-38破碎帯 薄片試料観察(H19-No.6 深度73.43m)

H19-No.6のボーリングコア(深度73.43m)から採取した薄片試料の観察結果によれば最新活動面の変位センスは、正断層成分が卓越する。



- 凡例
- 断層ガウジ
  - カタクレーサイト
  - R1面
  - P面

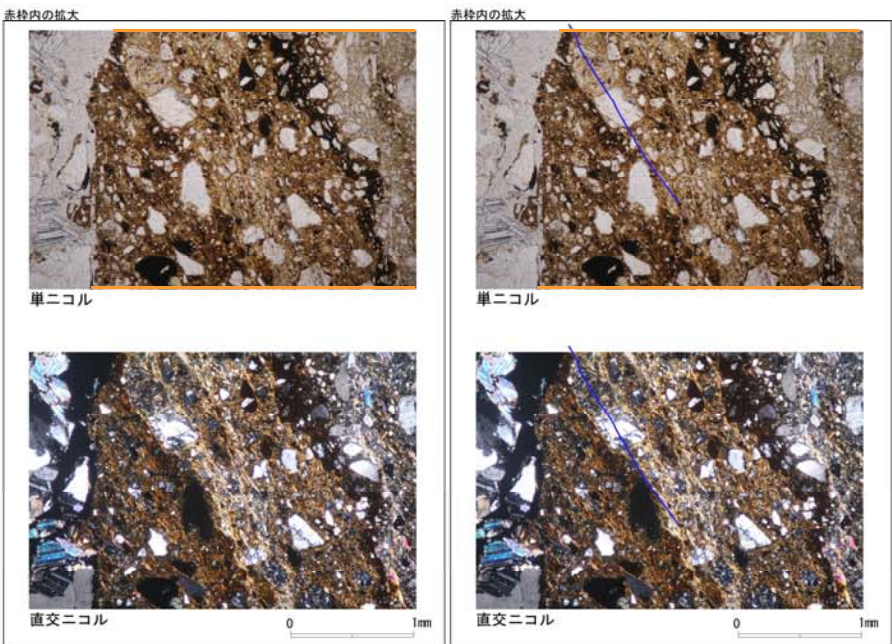
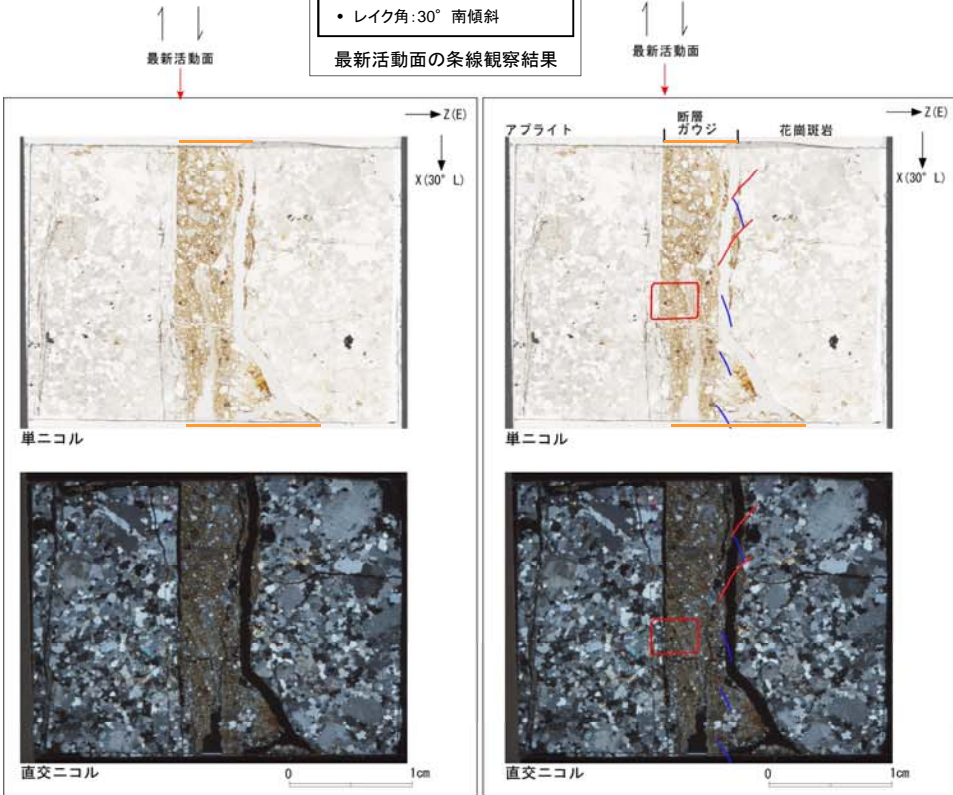
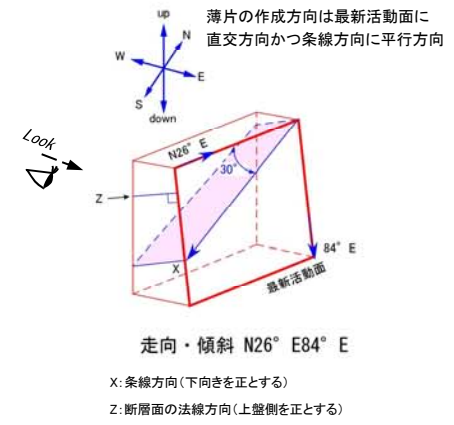
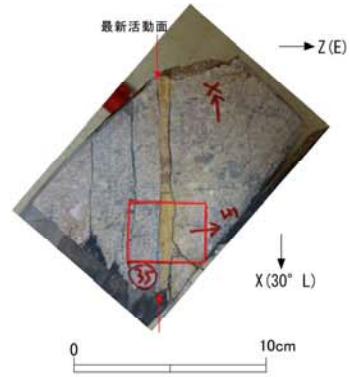
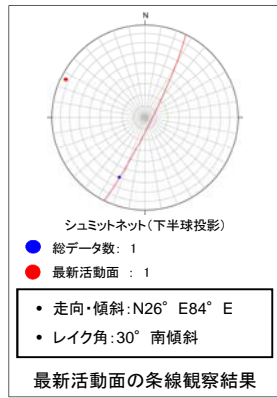






# D-41 破碎帯 薄片試料観察 (H27-B-2 深度88.43m)

H27-B-2のボーリングコア(深度88.43m)から採取した薄片試料の観察結果によれば最新活動面の変位センスは、右ずれを伴う正断層である。

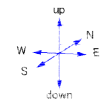
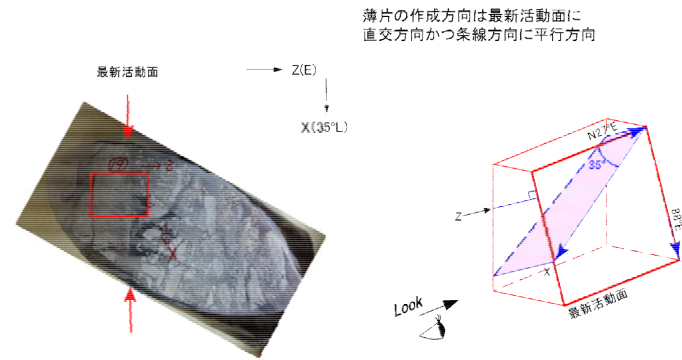
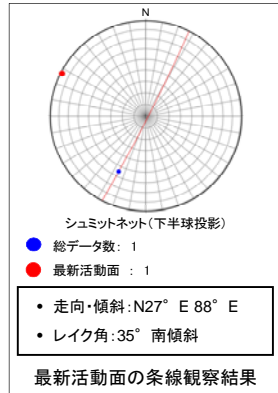


- 凡例
- 断層ガウジ
  - カタクレーサイト
  - R1面
  - P面



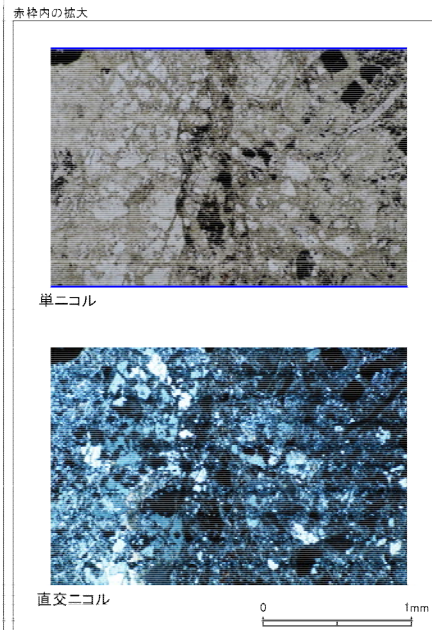
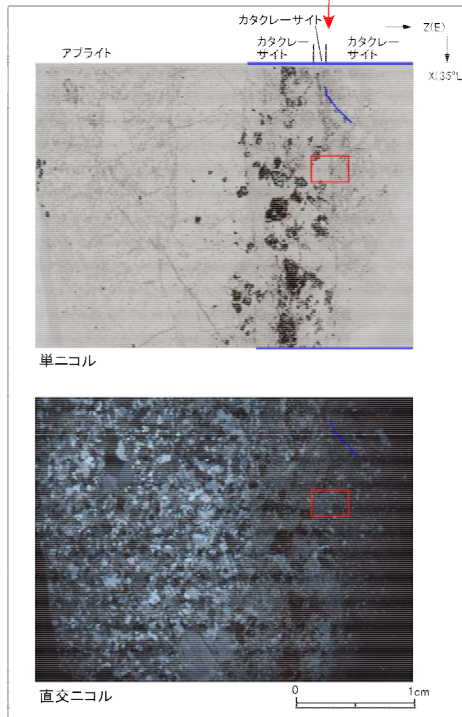
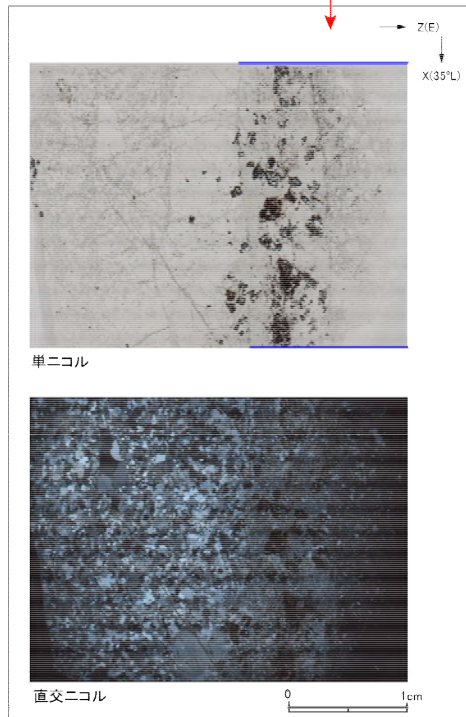
# D-42破碎帯 薄片試料観察(H27-B-1 深度139.82m)

H27-B-1のボーリングコア(深度139.82m)から採取した薄片試料の観察結果によれば最新活動面の変位センスは、右ずれを伴う正断層である。



0 10cm  
ブロックサンプル

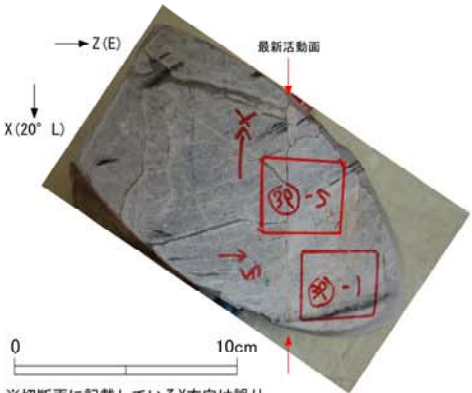
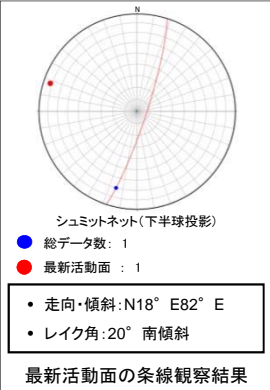
走向・傾斜 N27°E 88°E  
X: 条線方向(下向きを正とする)  
Z: 断層面の法線方向(上登側を正とする)



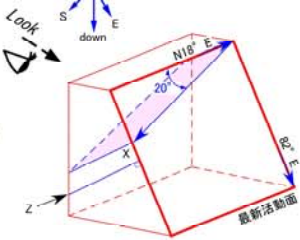
- 凡例
- 断層ガウジ
  - カタクレーサイト
  - R1面
  - P面

# D-42破碎帯 薄片試料観察(H27-B-2 深度127.41m)

H27-B-2のボーリングコア(深度127.41m)から採取した薄片試料の観察結果によれば最新活動面の変位センスは、右ずれ成分が卓越する。



薄片の作成方向は最新活動面に  
 直交方向かつ条線方向に平行方向



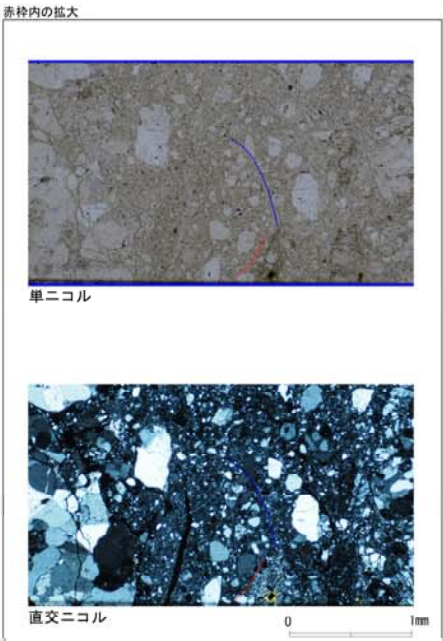
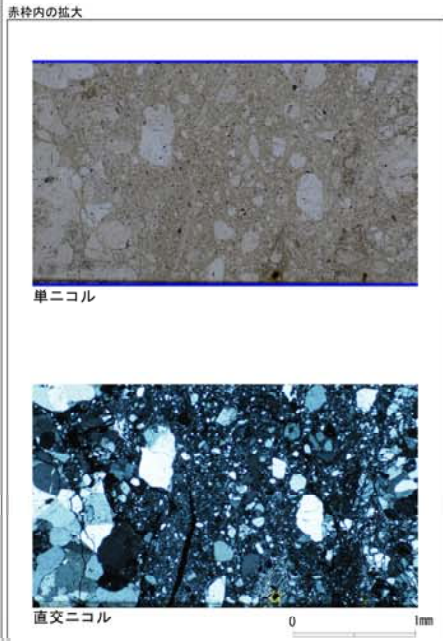
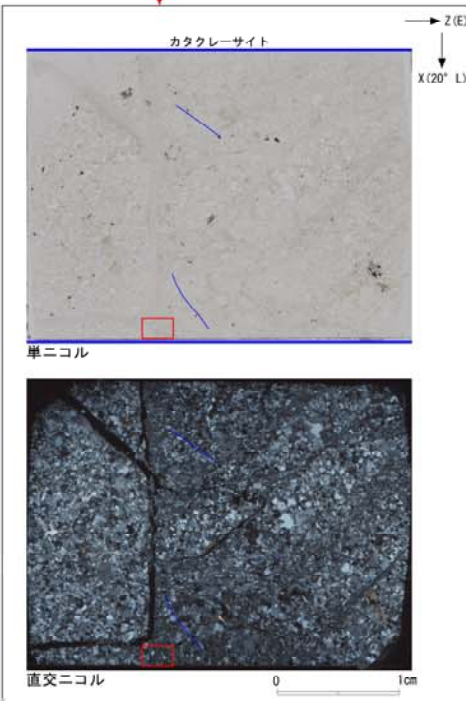
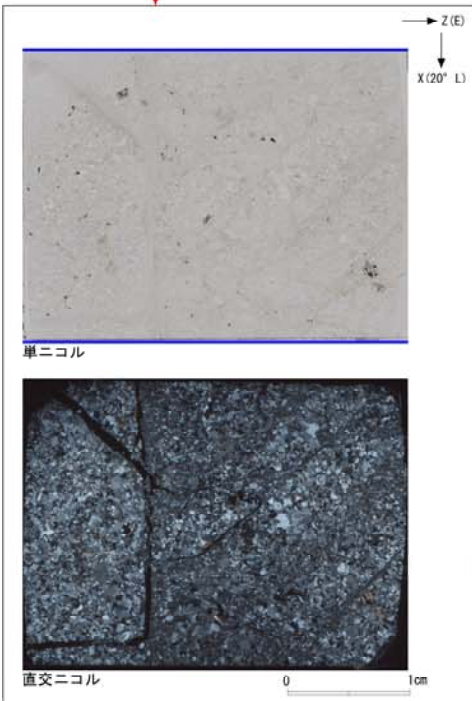
走向・傾斜 N18° E82° E

X: 条線方向(下向きを正とする)  
 Z: 断層面の法線方向(上盤側を正とする)

最新活動面

最新活動面

※切断面に記載しているX方向は誤り  
 ブロックサンプル ブロックサンプル

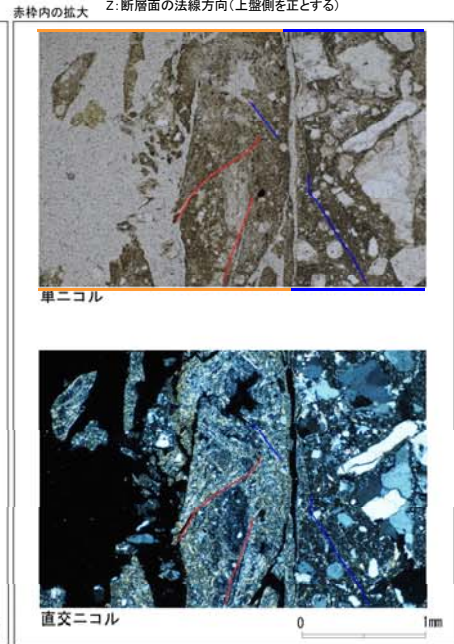
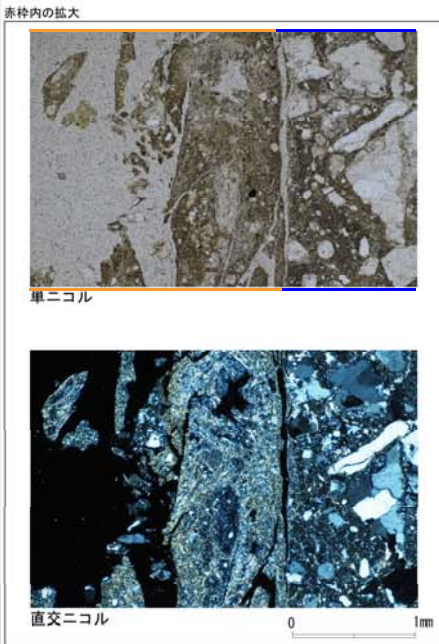
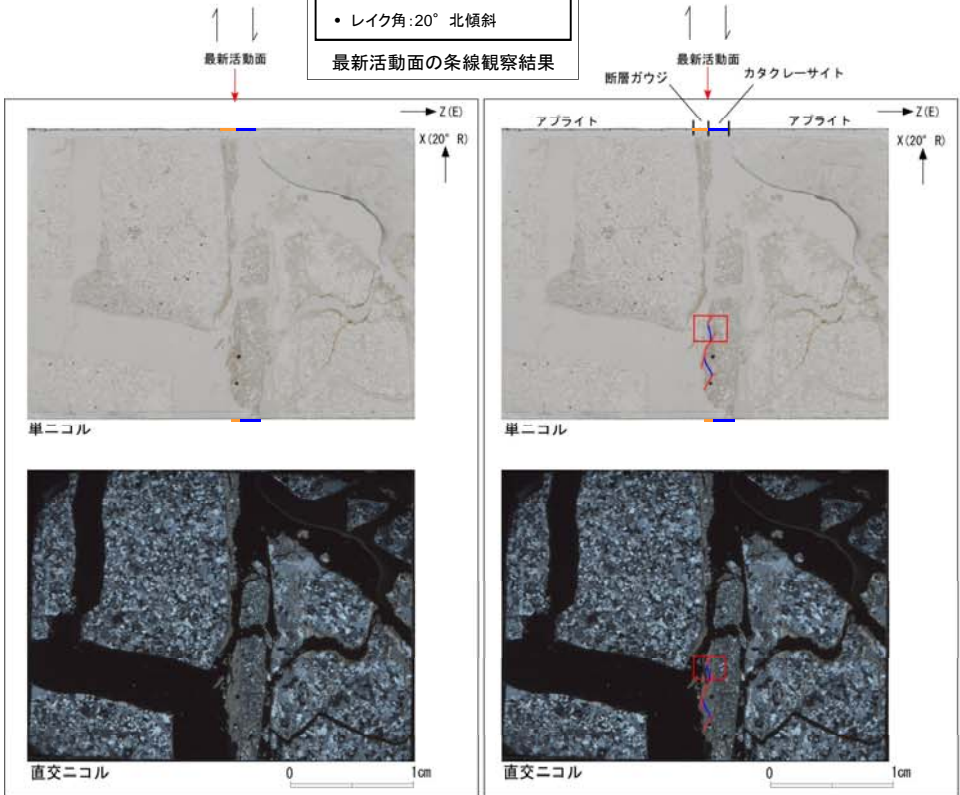
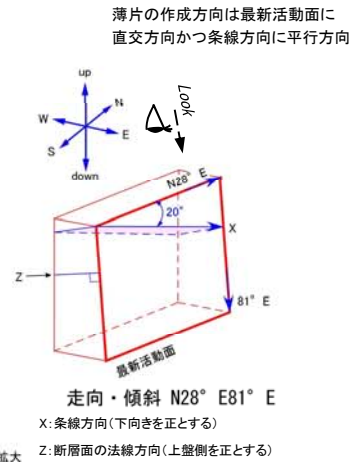
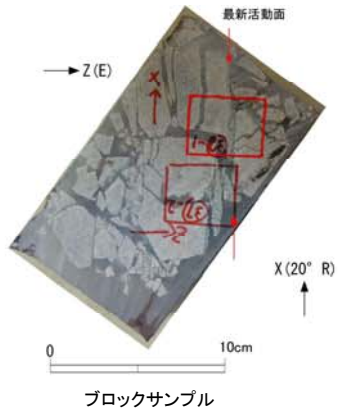
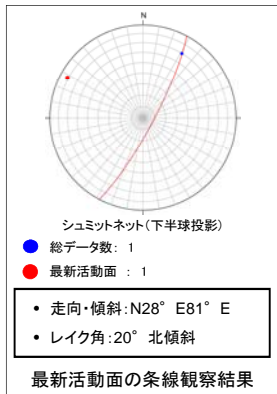


- 凡例
- 断層ガウジ
  - カタクレーサイト
  - R1面
  - P面



# D-44破砕帯 薄片試料観察(H27-B-2 深度128.87m)

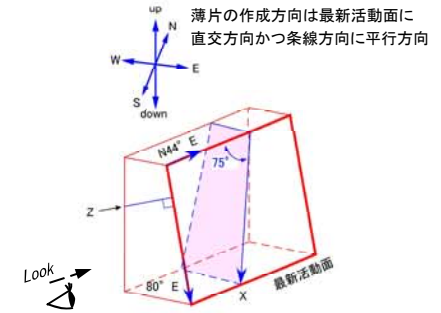
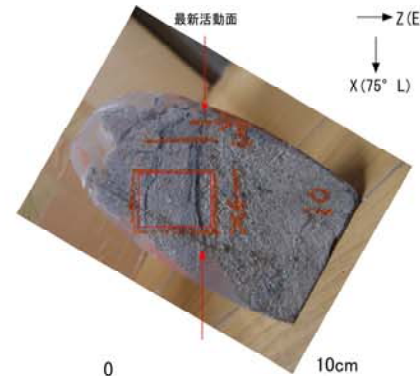
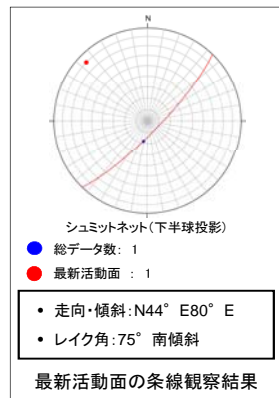
H27-B-2のボーリングコア(深度128.87m)から採取した薄片試料の観察結果によれば最新活動面の変位センスは、右ずれ成分が卓越する。



- 凡例
- 断層ガウジ
  - カタクレーサイト
  - R1面
  - P面

# D-44破碎帯 薄片試料観察(H24-B14-2 深度49.26m)

H24-B14-2のボーリングコア(深度49.26m)から採取した薄片試料の観察結果によれば最新活動面の変位センスは、正断層成分が卓越する。



走向・傾斜 N44° E80° E  
 X: 条線方向(下向きを正とする)  
 Z: 断層面の法線方向(上盤側を正とする)

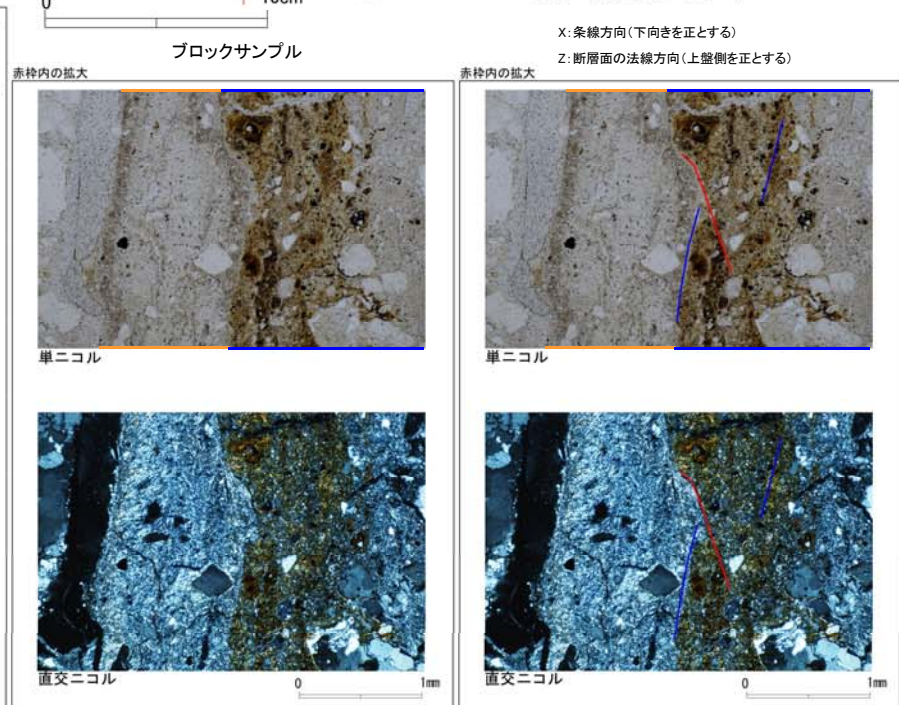
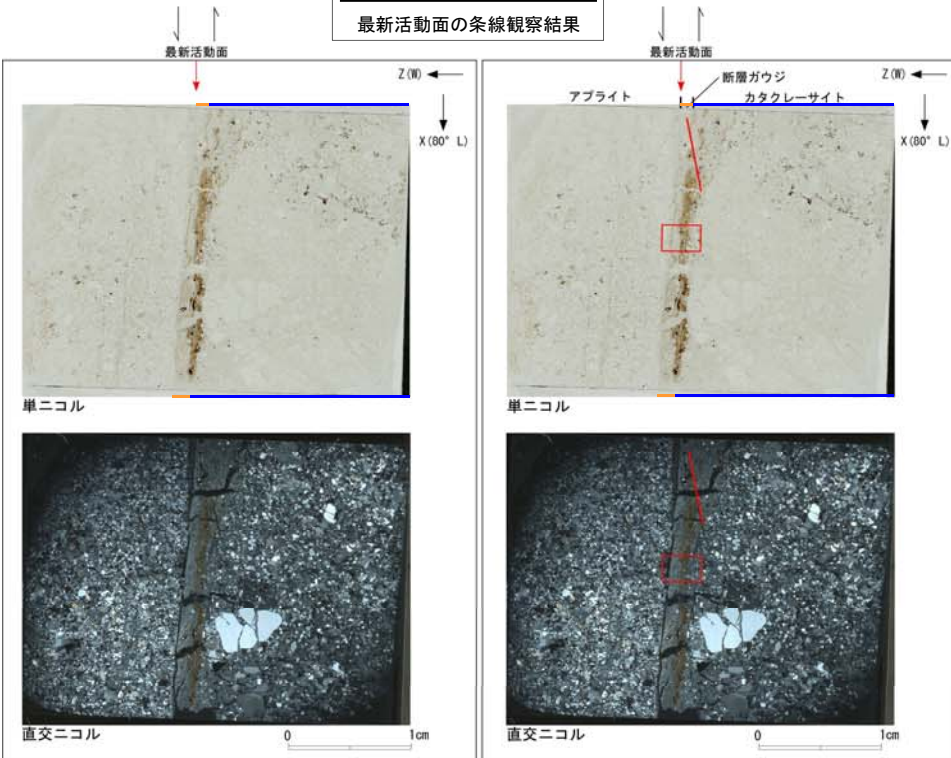
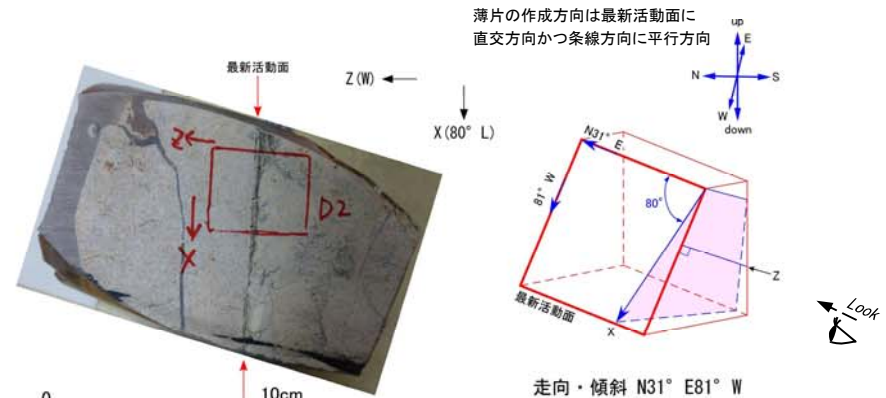
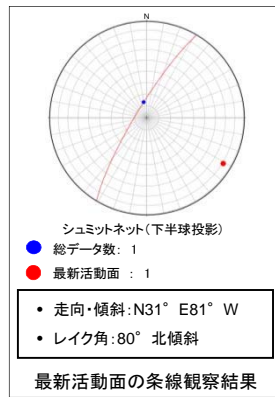
<p>単ニコル</p>	<p>単ニコル</p>	<p>単ニコル</p>	<p>単ニコル</p>
<p>直交ニコル</p>	<p>直交ニコル</p>	<p>直交ニコル</p>	<p>直交ニコル</p>

- 凡例
- 断層ガウジ
  - カタクレーサイト
  - R1面
  - P面



# D-45破碎帯 薄片試料観察(H27-D5-1 深度25.17m)

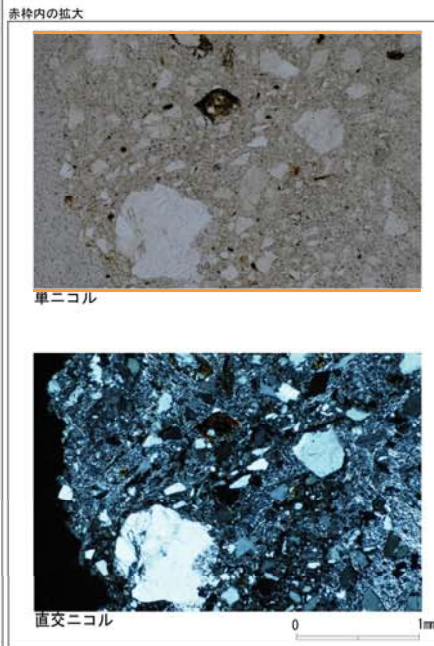
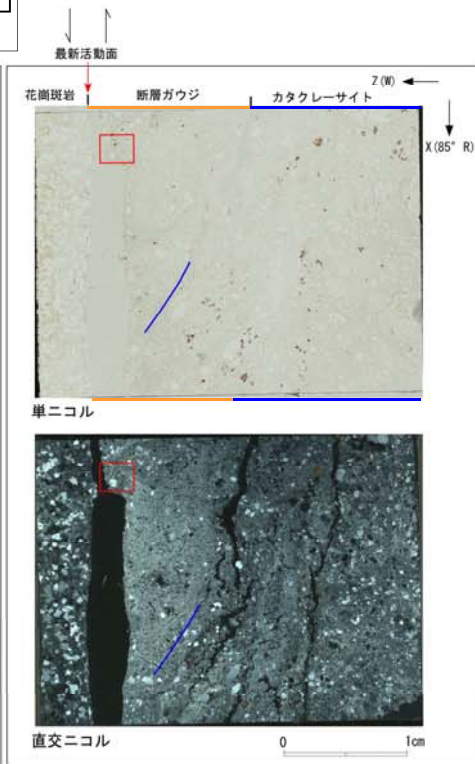
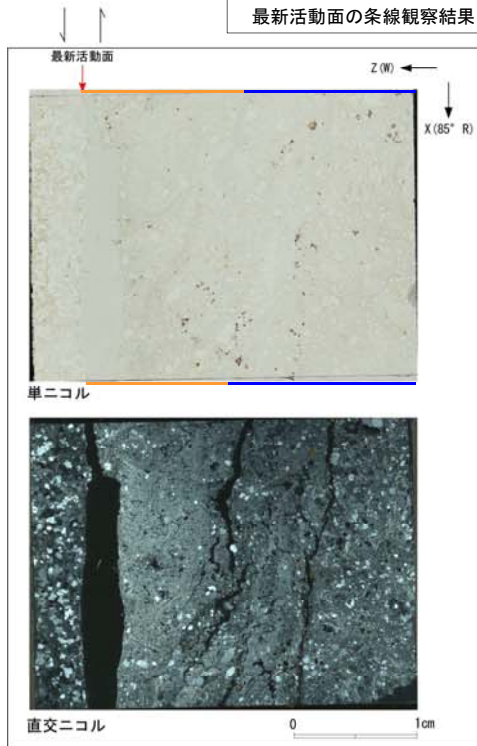
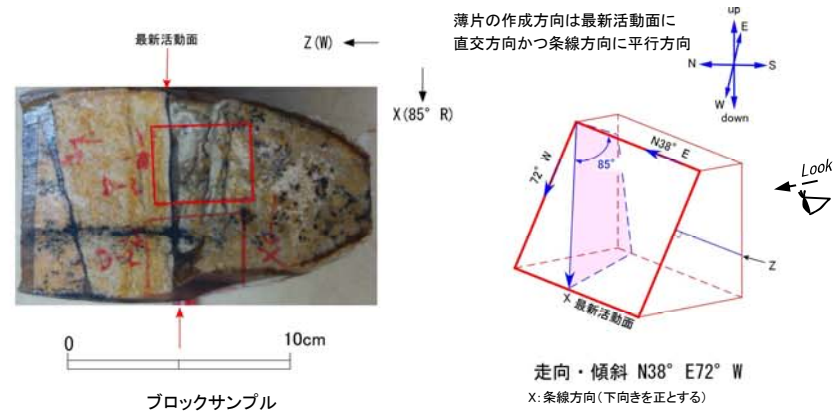
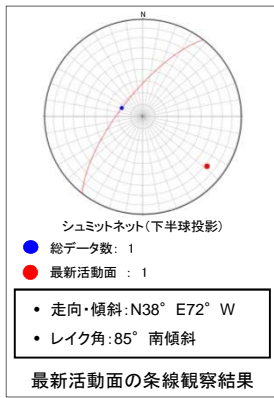
H27-D5-1のボーリングコア(深度25.17m)から採取した薄片試料の観察結果によれば最新活動面の変位センスは、正断層成分が卓越する。



- 凡例
- 断層ガウジ
  - カタクレーサイト
  - R1面
  - P面

# D-46破碎帯 薄片試料観察(H27-D5-1 深度45.14m)

H27-D5-1のボーリングコア(深度45.14m)から採取した薄片試料の観察結果によれば最新活動面の変位センスは、正断層成分が卓越する。

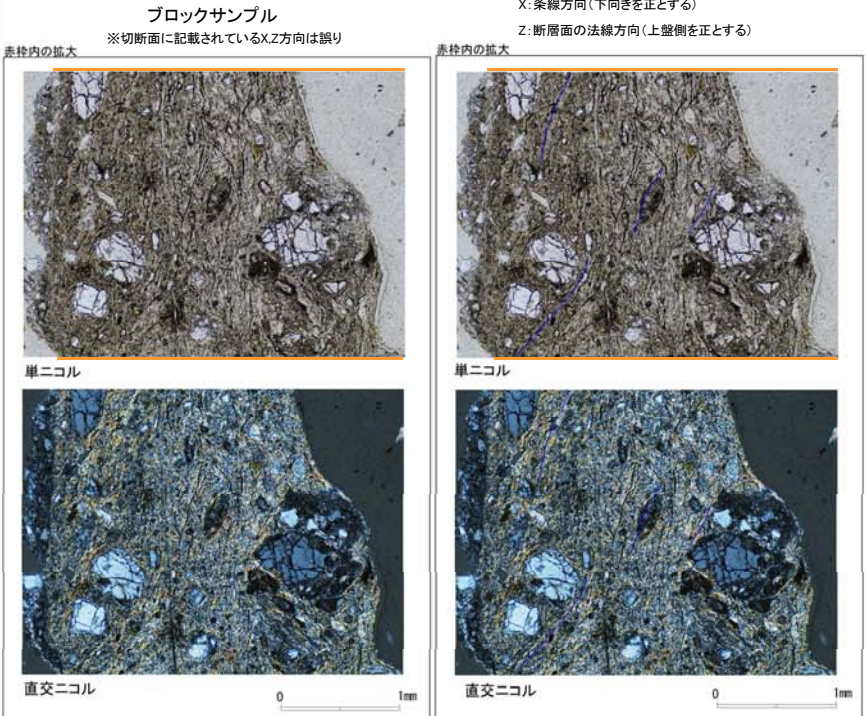
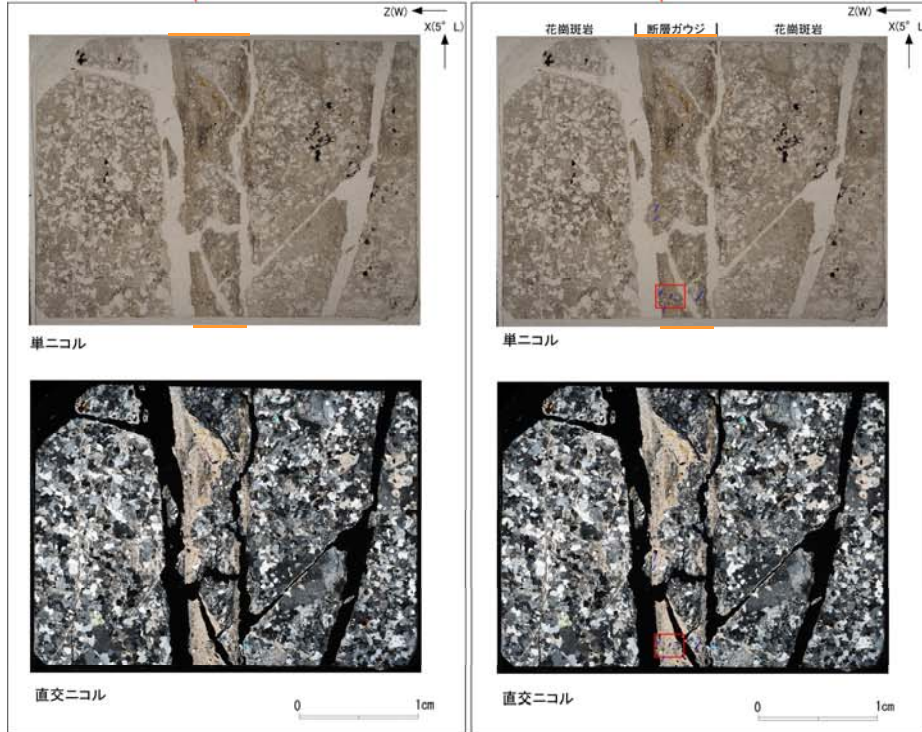
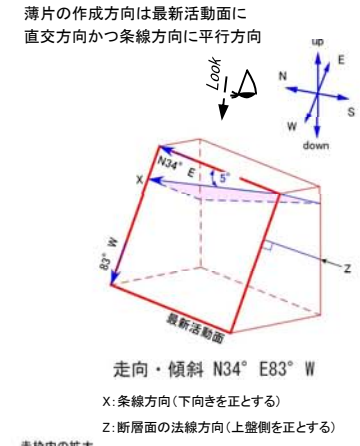
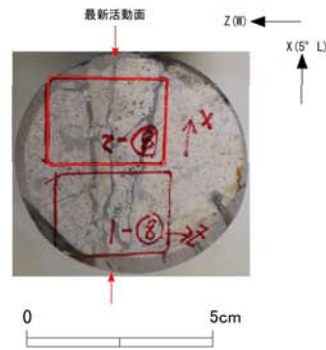
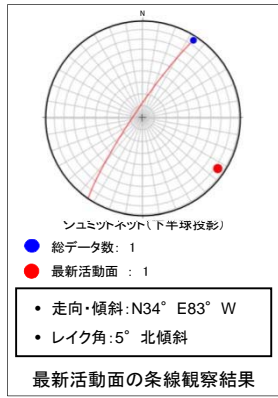


- 凡例
- 断層ガウジ
  - カタクレーサイト
  - R1面
  - P面



# D-46破碎帯 薄片試料観察(H20-①-10 深度55.99m)

H20-①-10のボーリングコア(深度55.99m)から採取した薄片試料の観察結果によれば最新活動面の変位センスは、左ずれ成分が卓越する。



- 凡例
- 断層ガウジ
  - カタクレーサイト
  - R1面
  - P面

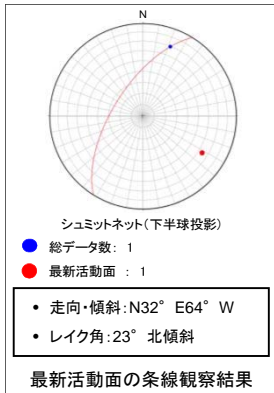
余白



11. f-2-3~f-20-11 破碎帶

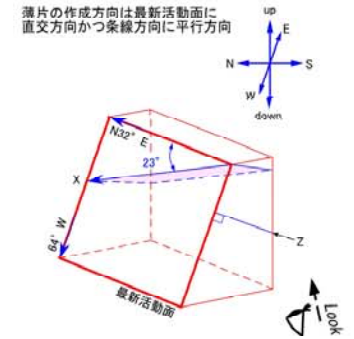
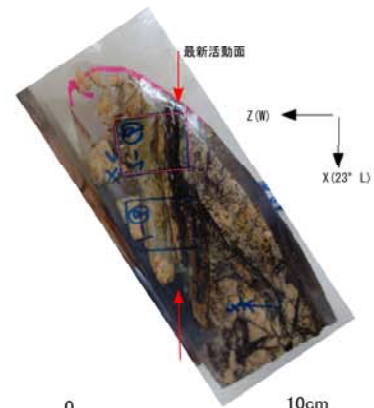
# f-2-8 破碎帯 薄片試料観察 (H19-No.2 深度202.85m)

H19-No.2のボーリングコア(深度202.85m)から採取した薄片試料の観察結果によれば最新活動面の変位センスは、右ずれを伴う正断層である。



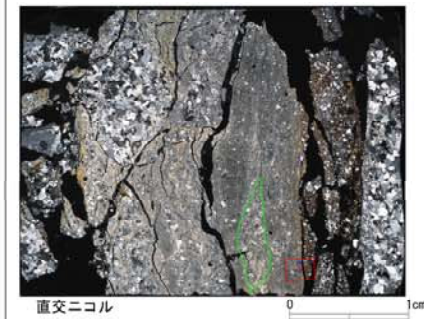
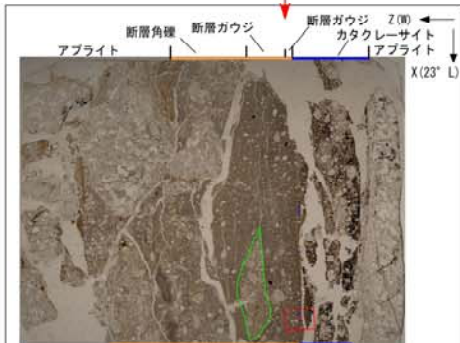
最新活動面

最新活動面の条線観察結果

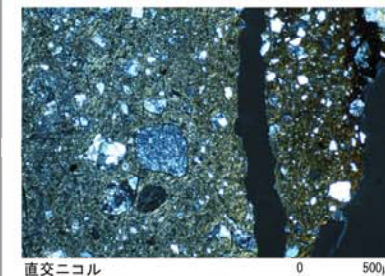
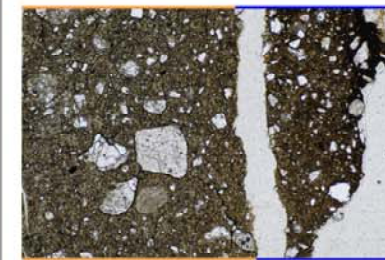


走向・傾斜 N32° E64° W

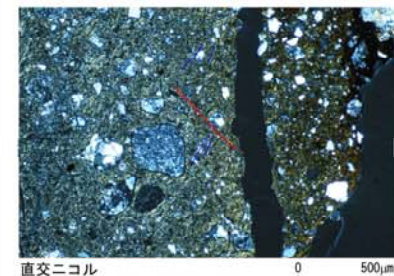
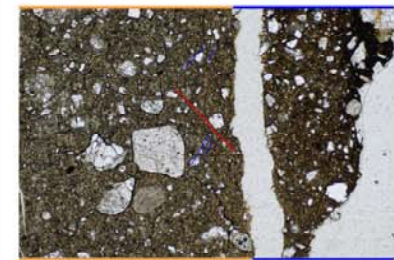
X: 条線方向 (下向きを正とする)  
Z: 断層面の法線方向 (上盤側を正とする)



赤枠内の拡大



赤枠内の拡大

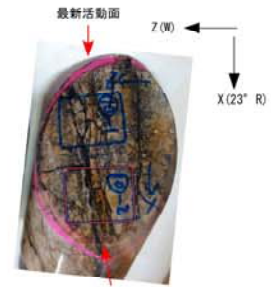
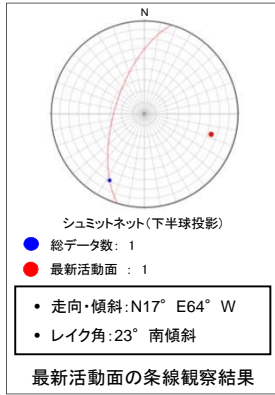


- 凡例
- 断層ガウジ・断層角礫
  - カタクレーサイト
  - R1面
  - P面
  - 非対称変形構造

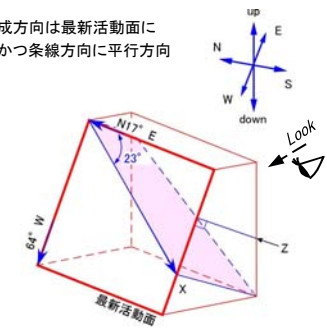


# f-15-3 破碎帯 薄片試料観察 (H19-No.15 深度97.85m)

H19-No.15のボーリングコア(深度97.85m)から採取した薄片試料の観察結果によれば最新活動面の変位センスは、左ずれを伴う正断層である。

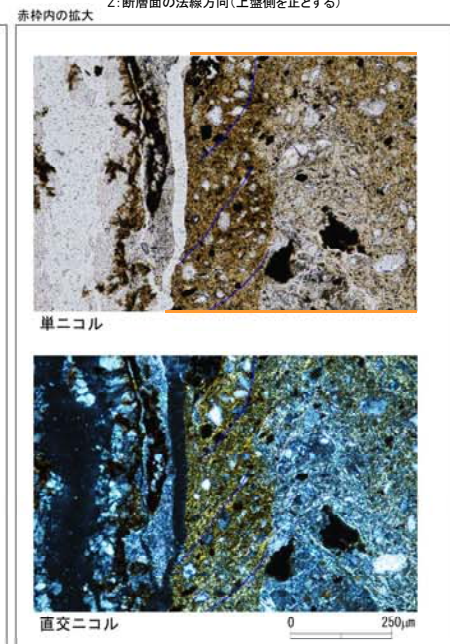
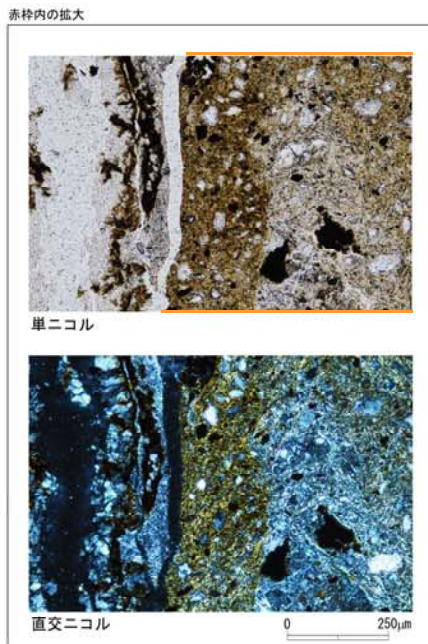
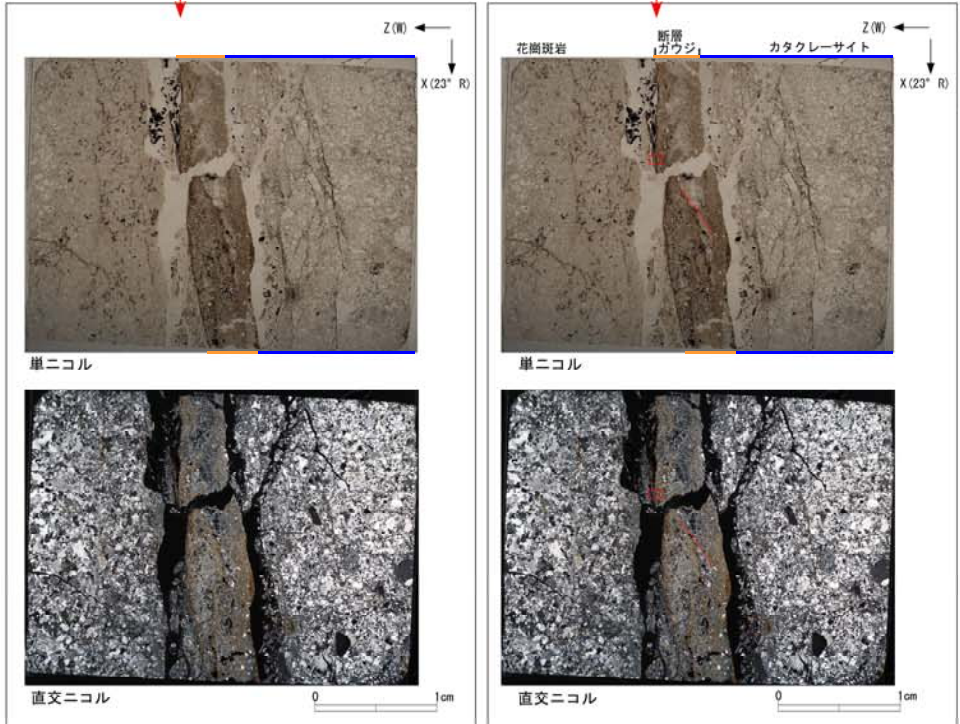


薄片の作成方向は最新活動面に  
直交方向かつ条線方向に平行方向



走向・傾斜 N17° E64° W

X: 条線方向(下向きを正とする)  
 Z: 断層面の法線方向(上盤側を正とする)



- 凡例
- 断層ガウジ
  - カタクレーサイト
  - R1面
  - P面

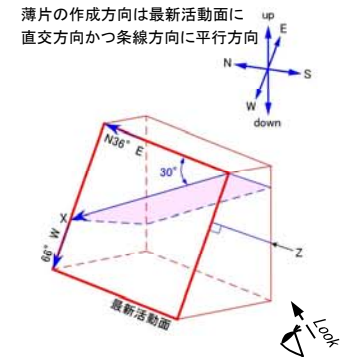
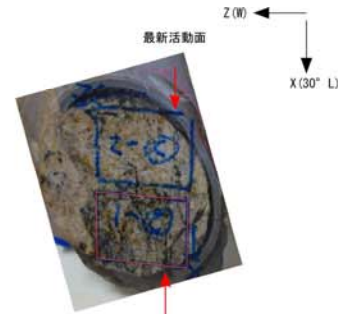
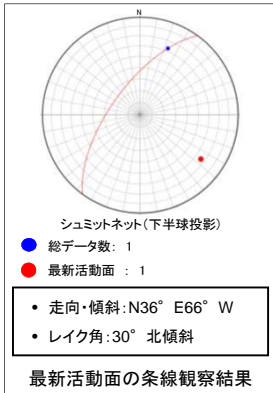
余白



12. f—①—1—3~f—④—13破碎帶

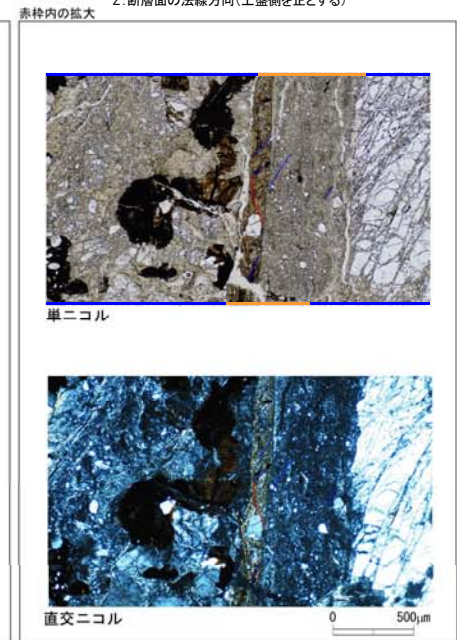
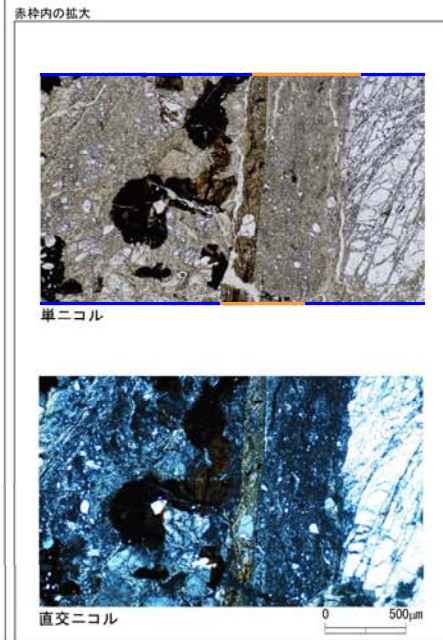
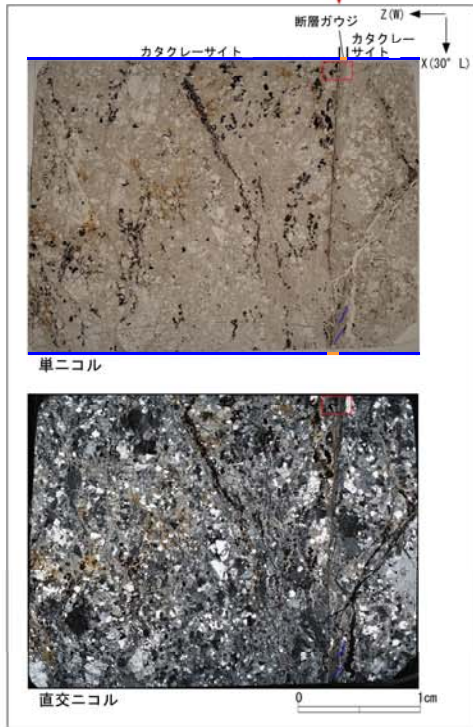
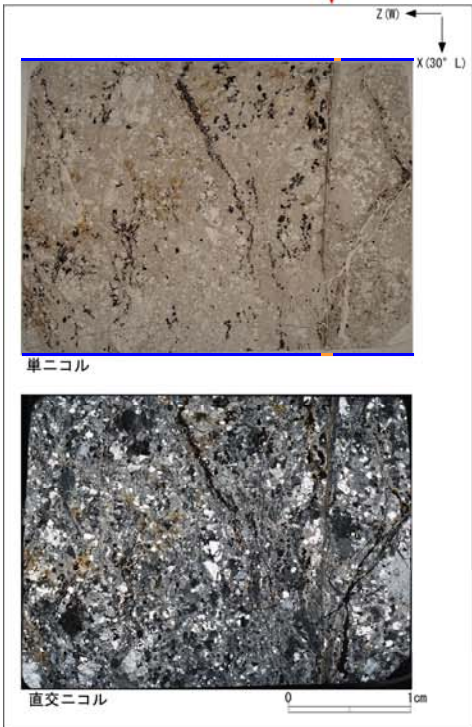
# f-①-1-3破砕帯 薄片試料観察(H20-①-1 深度68.92m)

H20-①-1のボーリングコア(深度68.92m)から採取した薄片試料の観察結果によれば最新活動面の変位センスは、右ずれを伴う正断層である。



0 10cm  
ブロックサンプル

走向・傾斜 N36° E66° W  
X: 条線方向(下向きを正とする)  
Z: 断層面の法線方向(上盤側を正とする)

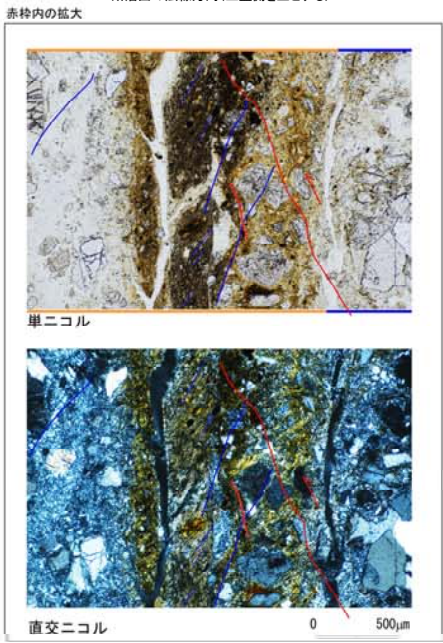
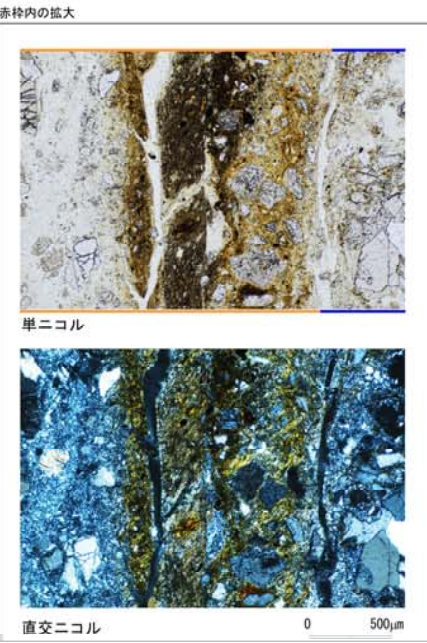
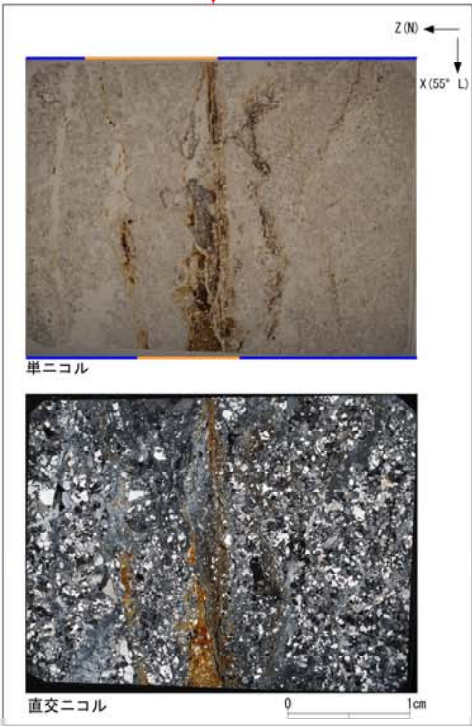
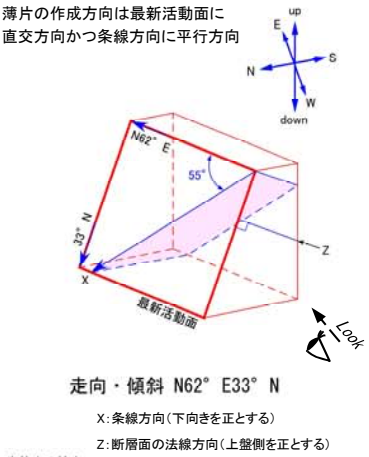
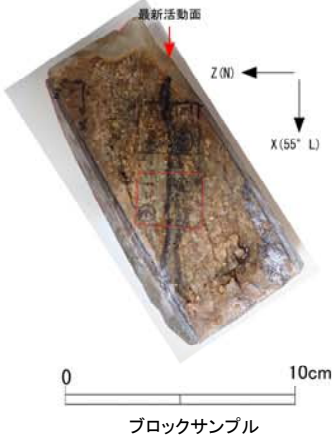
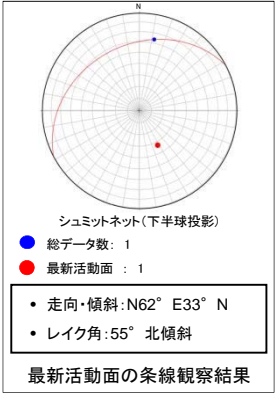


- 凡例
- 断層ガウジ
  - カタクレーサイト
  - R1面
  - P面



# f-①-2-2 破碎帯 薄片試料観察 (H20-①-2 深度22.66m)

H20-①-2のボーリングコア(深度22.66m)から採取した薄片試料の観察結果によれば最新活動面の変位センスは、右ずれを伴う正断層である。

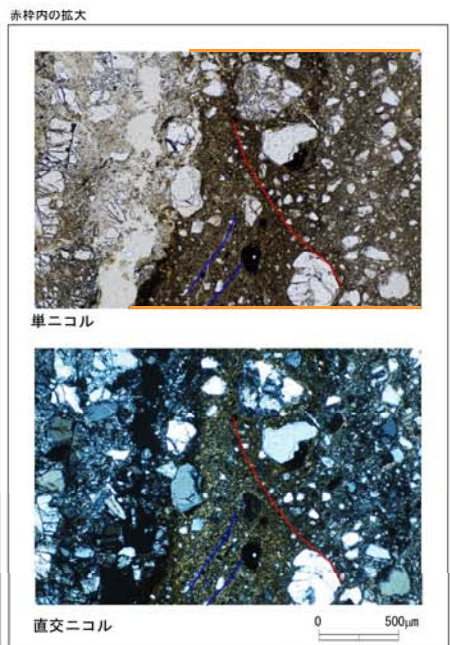
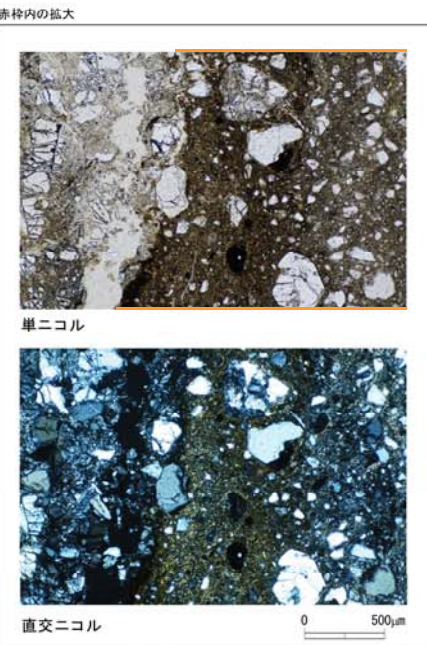
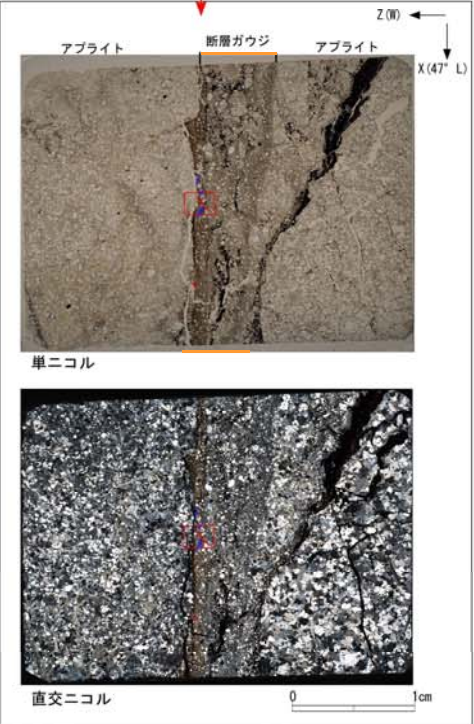
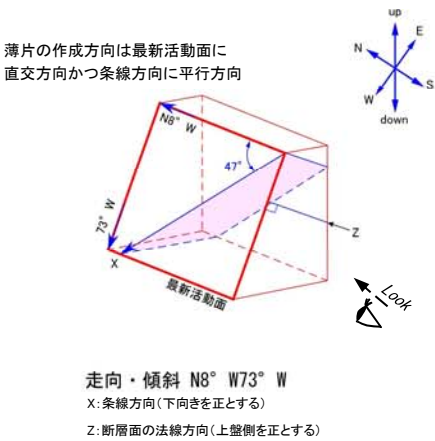
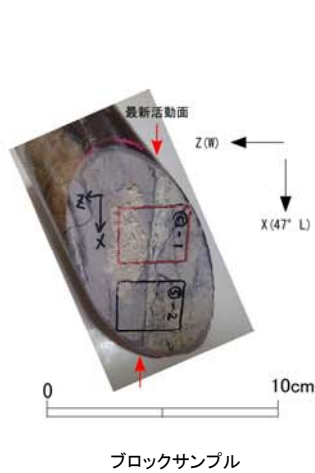
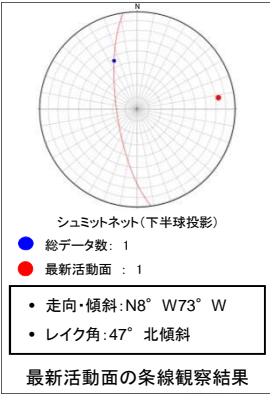


- 凡例
- 断層ガウジ・断層角礫
  - カタクレーサイト
  - R1面
  - P面



# f-④-1-2破砕帯 薄片試料観察(H20-④-1 深度23.31m)

H20-④-1のボーリングコア(深度23.31m)から採取した薄片試料の観察結果によれば最新活動面の変位センスは、右ずれを伴う正断層である。

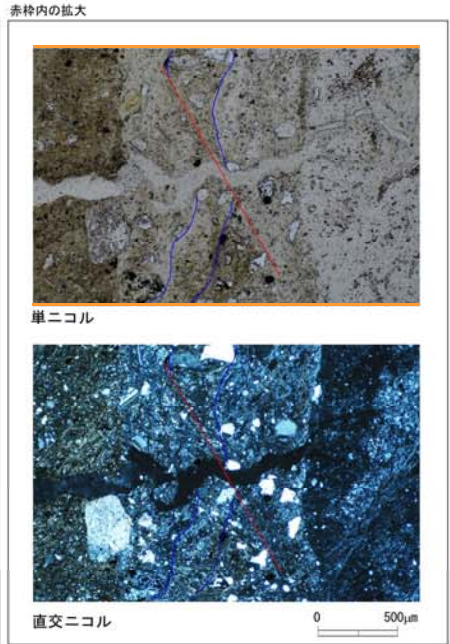
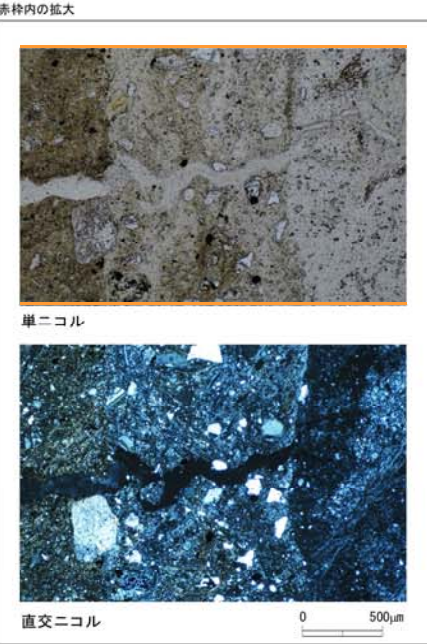
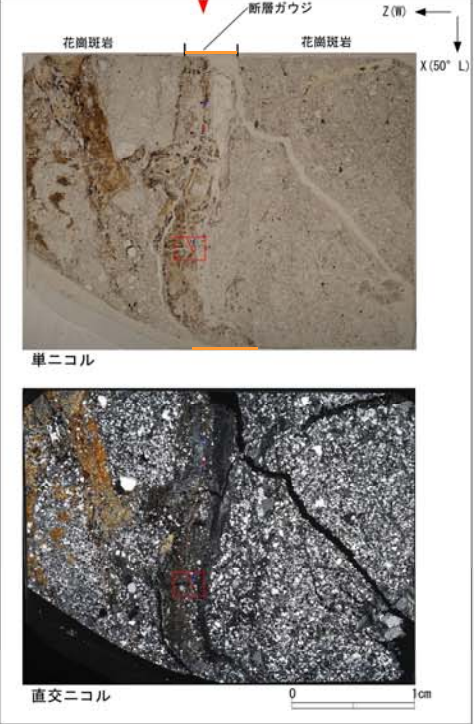
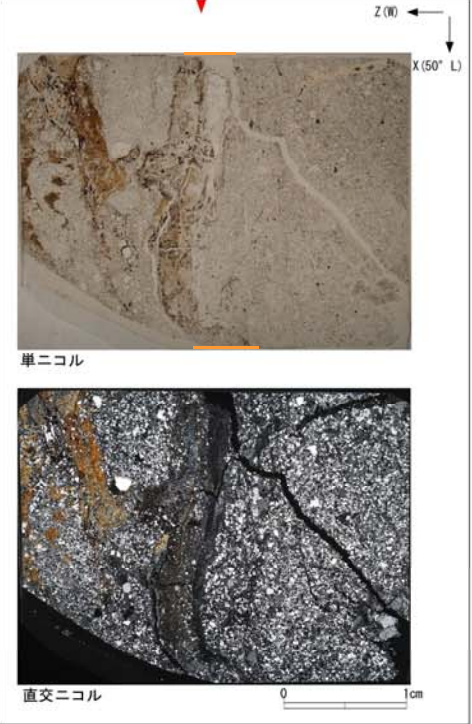
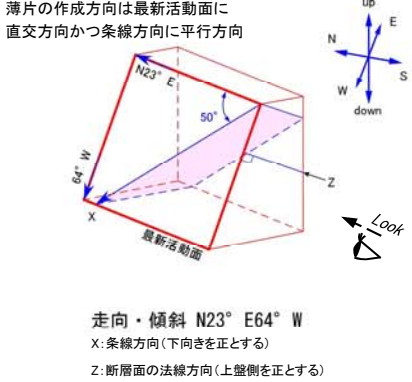
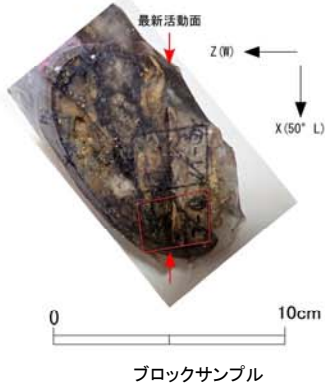
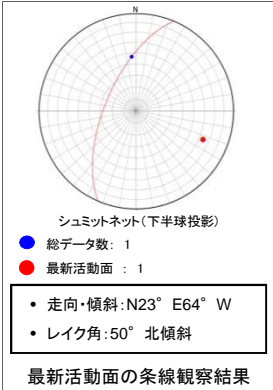


- 凡例
- 断層ガウジ
  - カタクレーサイト
  - R1面
  - P面



# f-④-3-1 破碎帯 薄片試料観察 (H20-④-3 深度25.81m)

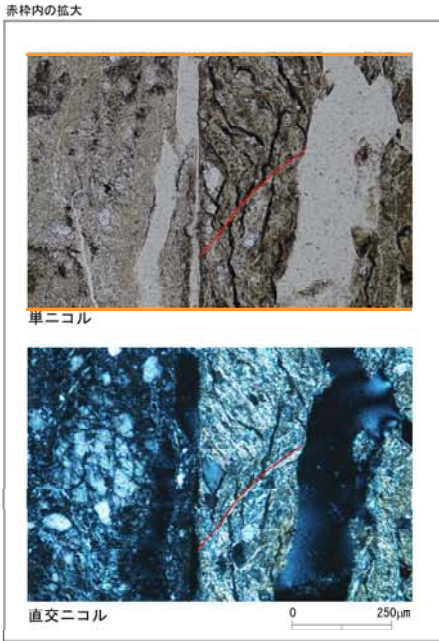
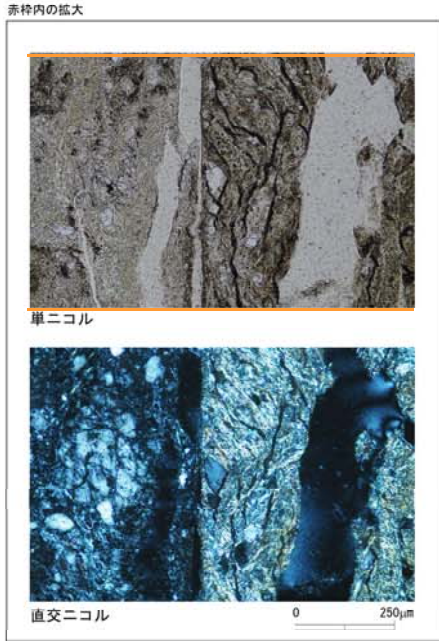
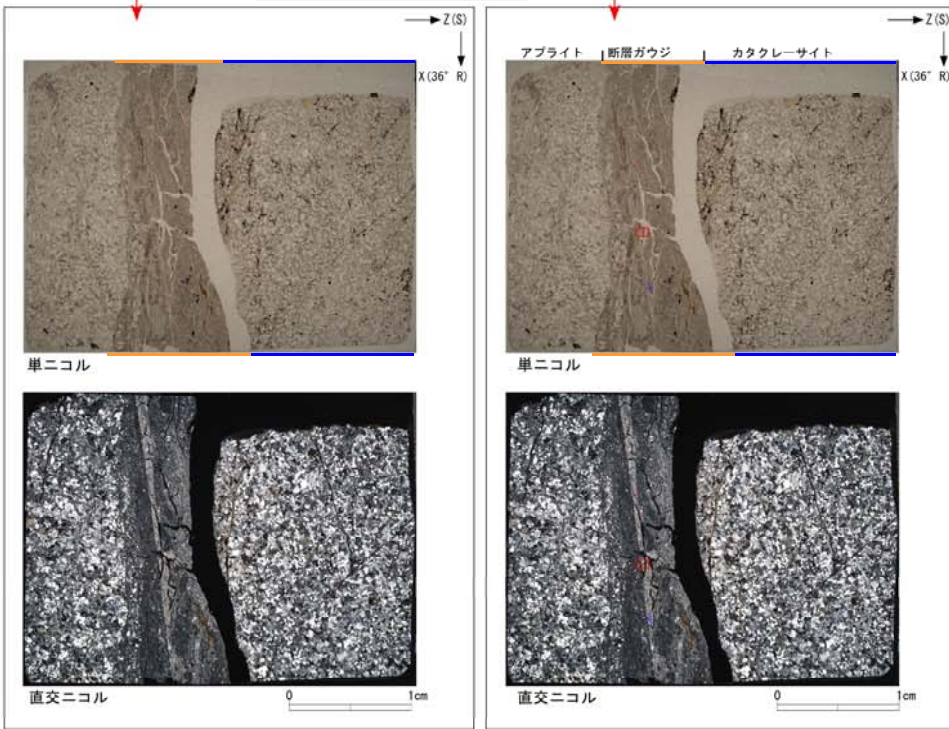
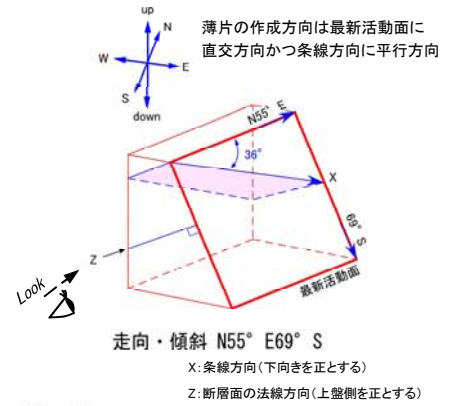
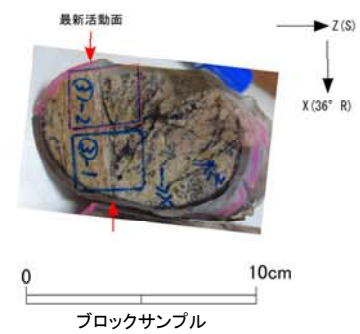
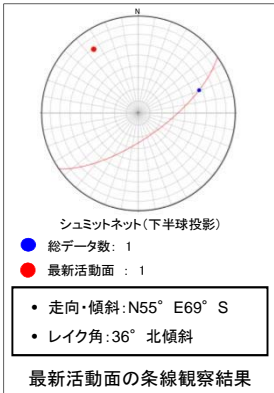
H20-④-3のボーリングコア(深度25.81m)から採取した薄片試料の観察結果によれば最新活動面の変位センスは、右ずれを伴う正断層である。



- 凡例
- 断層ガウジ
  - カタクレーサイト
  - R1面
  - P面

# f-④-6-3 破碎帯 薄片試料観察 (H20-④-6 深度14.94m)

H20-④-6のボーリングコア(深度14.94m)から採取した薄片試料の観察結果によれば最新活動面の変位センスは、左ずれを伴う正断層である。



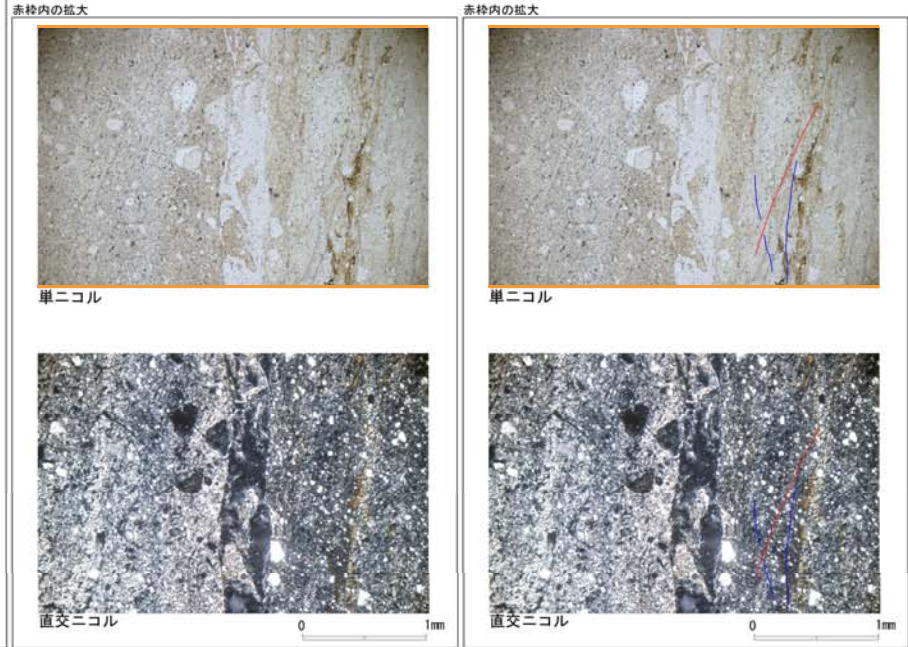
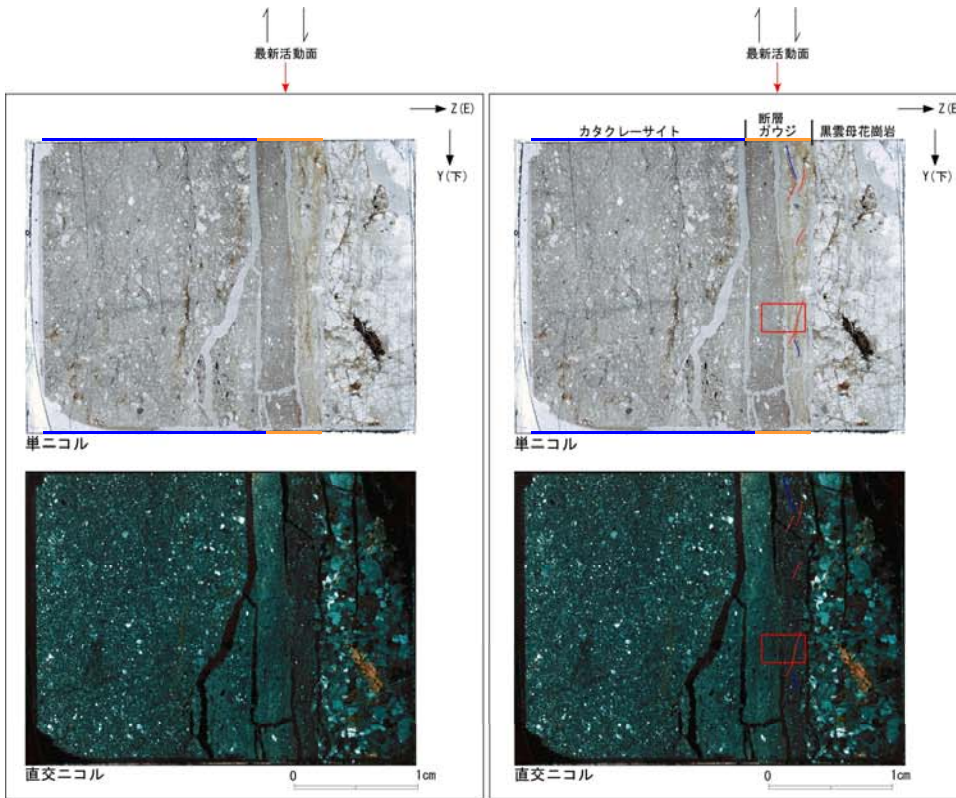
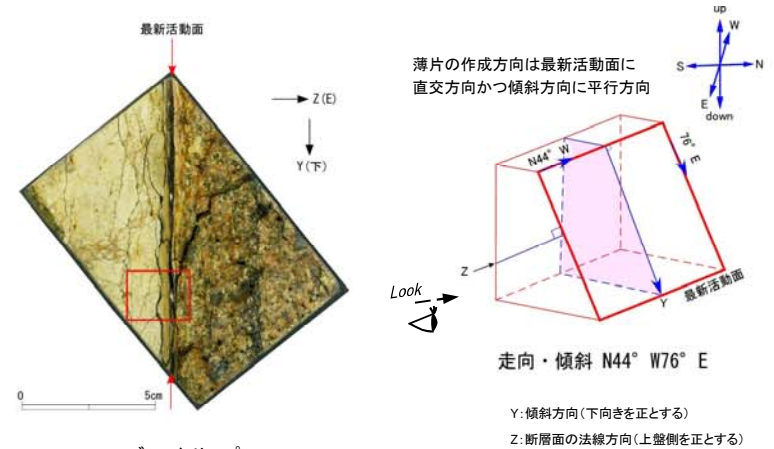
- 凡例
- 断層ガウジ
  - カタクレーサイト
  - R1面
  - P面



# f-④-11 破碎帯 薄片試料観察 (H21-No.④ 深度110.10m) (その1)

H21-No.④のボーリングコア(深度110.10m)から採取した薄片試料の観察結果によれば最新活動面の変位センスは、左ずれを伴う正断層である。

条線データなし



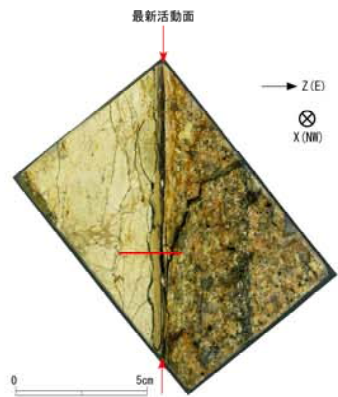
- 凡例
- 断層ガウジ
- カタクレーサイト
- R1面
- P面

鉛直断面: 最新活動面の変位センスは、正断層成分が卓越する。

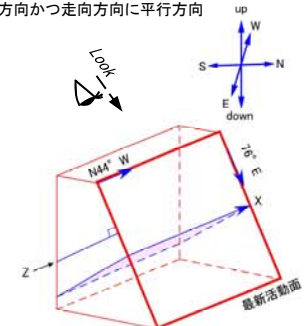
# f-④-11 破碎帯 薄片試料観察 (H21-No.④ 深度110.10m) (その2)

H21-No.④のボーリングコア(深度110.10m)から採取した薄片試料の観察結果によれば最新活動面の変位センスは、左ずれを伴う正断層である。

条線データなし



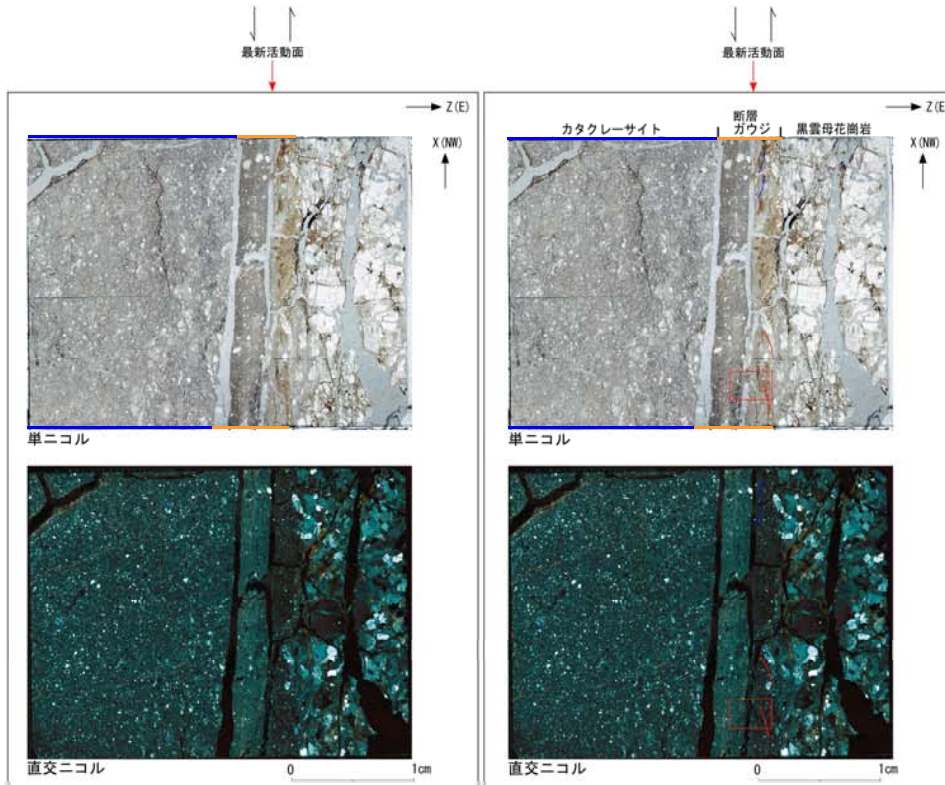
薄片の作成方向は最新活動面に  
直交方向かつ走向方向に平行方向



走向・傾斜 N44° W76° E

X: 走向方向(北向きを正とする)

Z: 断層面の法線方向(上盤側を正とする)



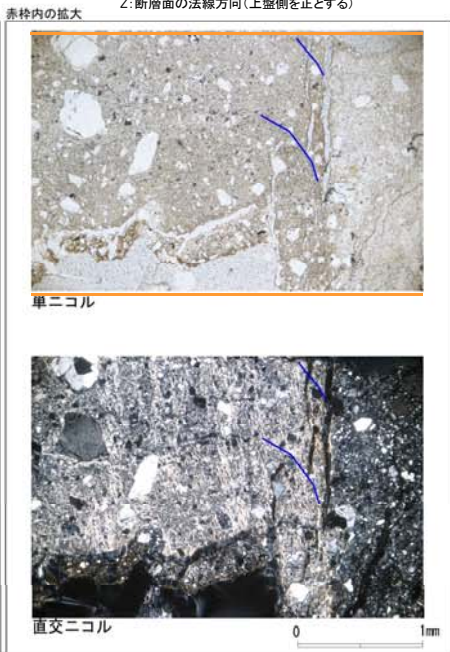
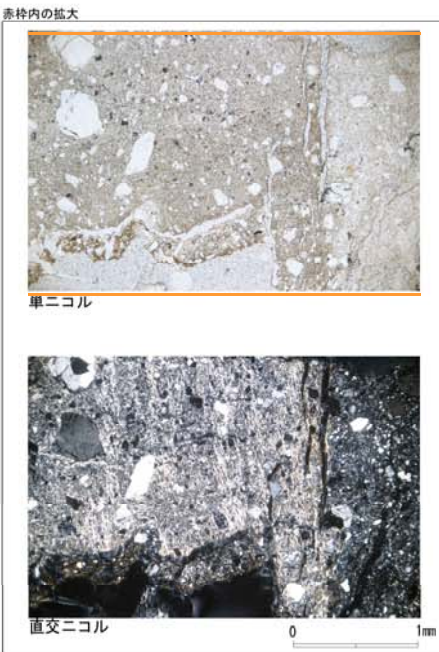
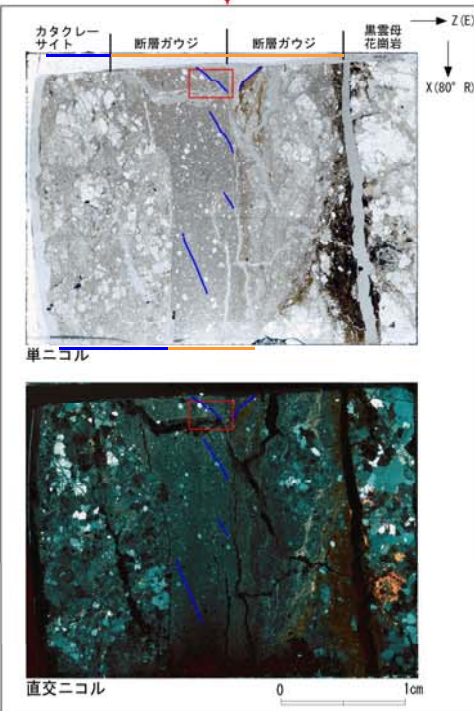
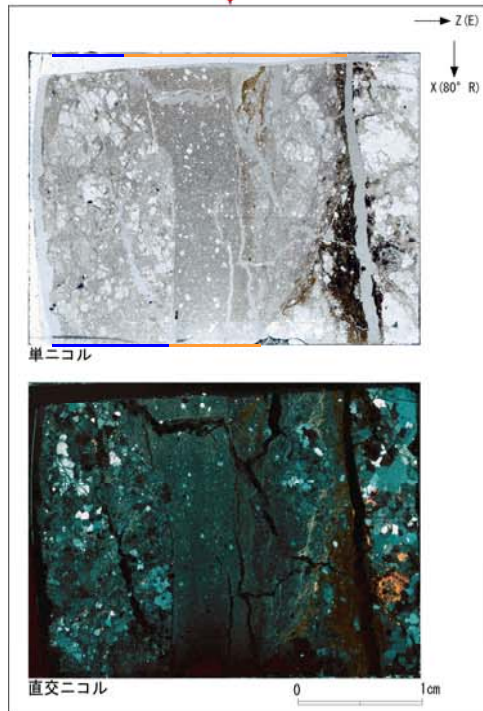
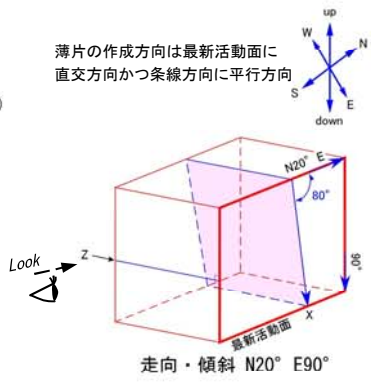
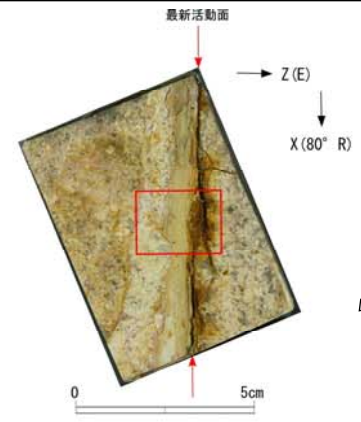
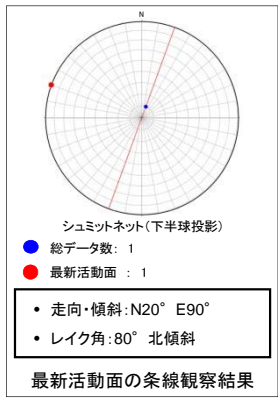
- 凡例
- 断層ガウジ
- カタクレーサイト
- R1面
- P面

水平断面: 最新活動面の變位センスは、左ずれ成分が卓越する。



# f-④-12 破碎帯 薄片試料観察 (H21-No.④ 深度166.93m)

H21-No.④のボーリングコア(深度166.93m)から採取した薄片試料の観察結果によれば最新活動面の変位センスは、西側上昇が卓越する。



- 凡例
- 断層ガウジ
  - カタクレーサイト
  - R1面
  - P面

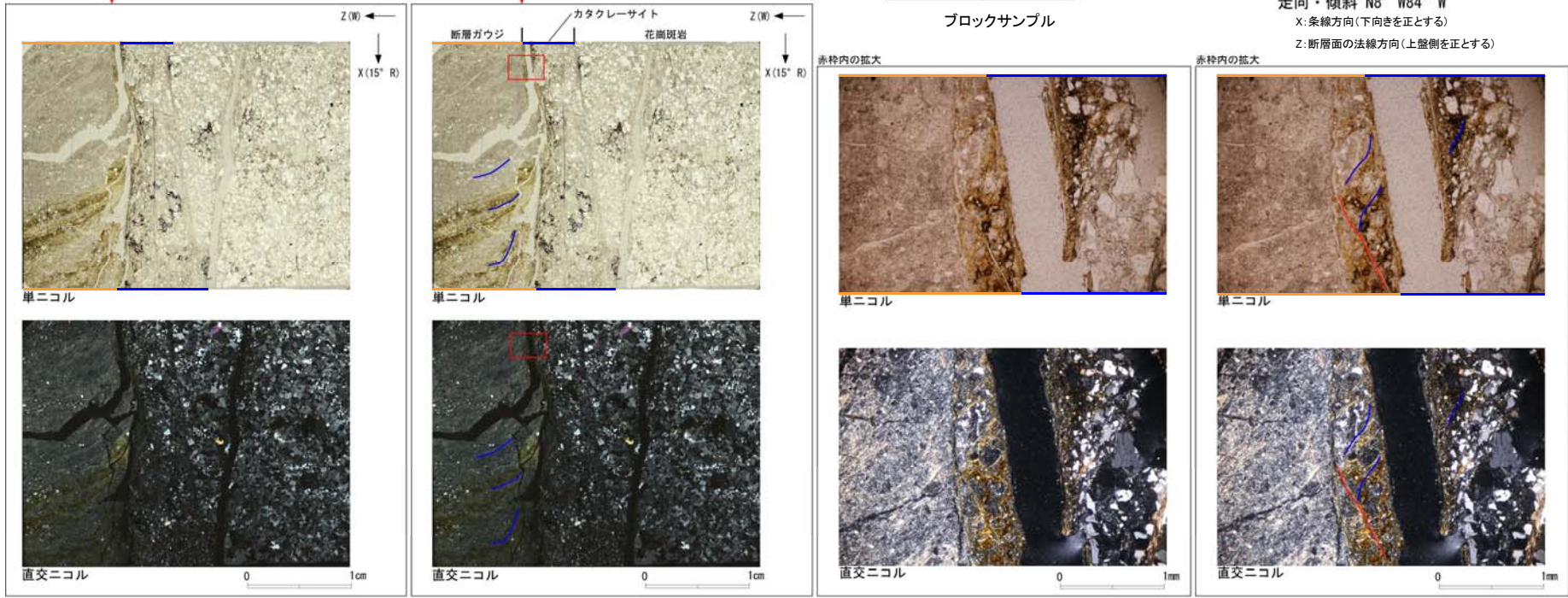
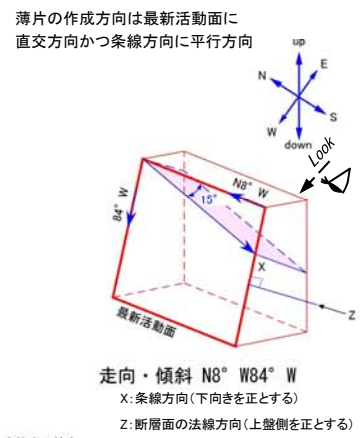
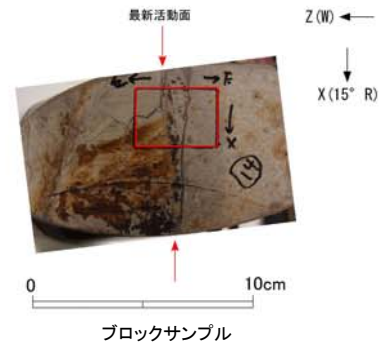
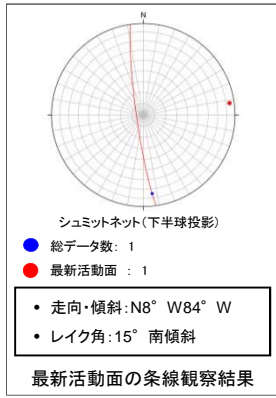
余白



13. f—b11—1—1~f—d1—5—1破碎帶

# f-b11-1-1 破碎帯 薄片試料観察 (H24-B11-1 深度45.63m)

H24-B11-1のボーリングコア(深度45.63m)から採取した薄片試料の観察結果によれば最新活動面の変位センスは、左ずれ成分が卓越する。

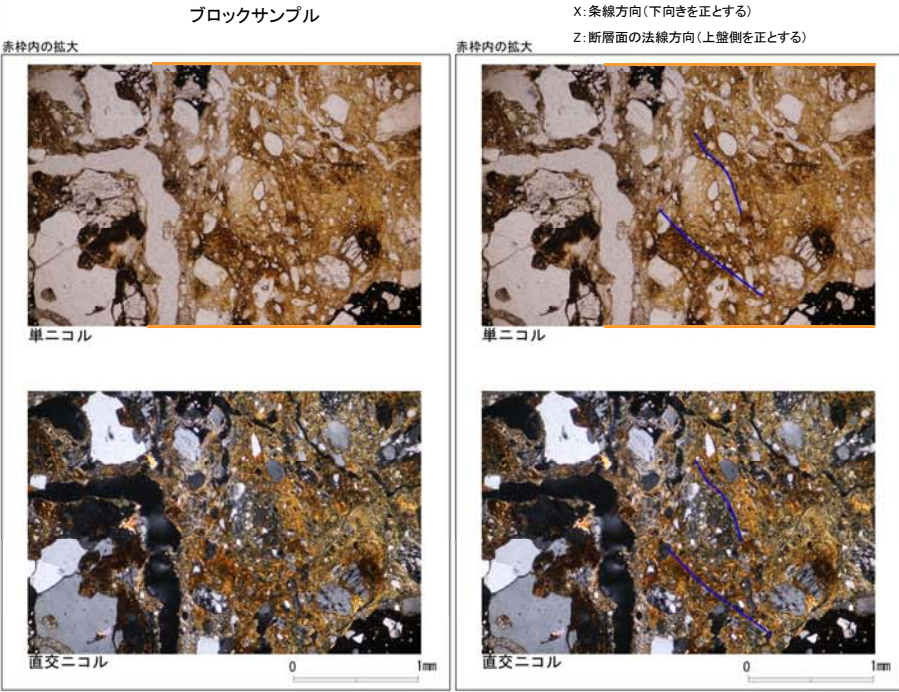
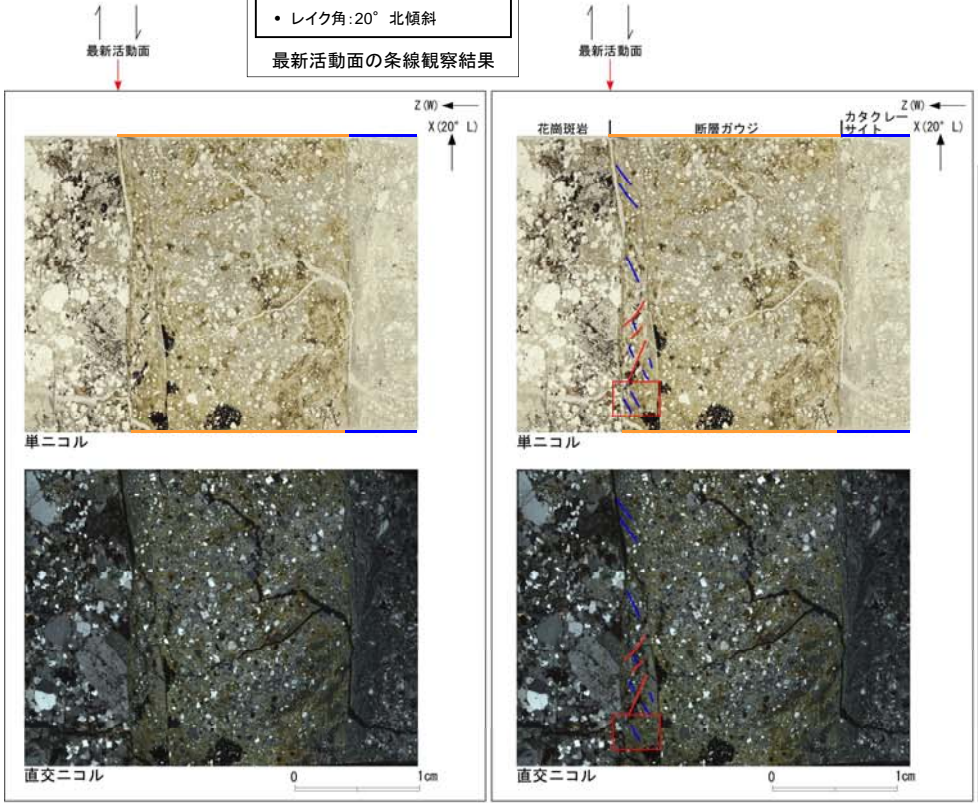
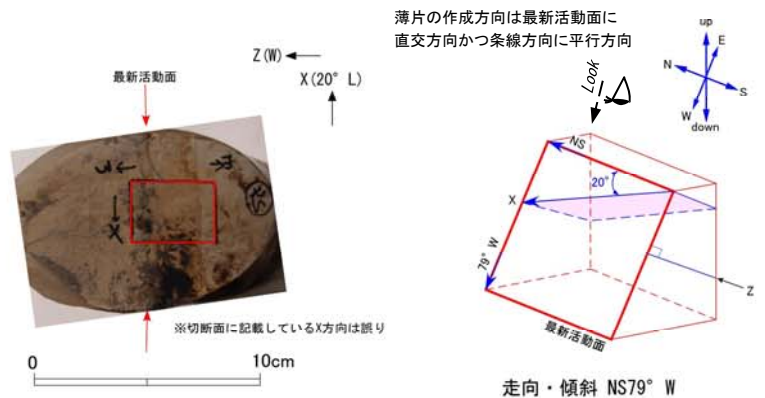
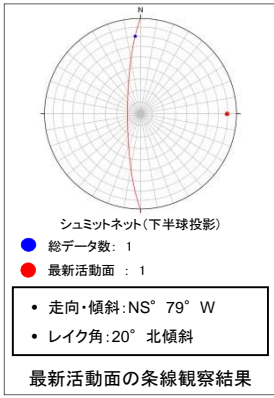


- 凡例
- 断層ガウジ
  - カタクレーサイト
  - R1面
  - P面



# f-b11-2-2 破碎帯 薄片試料観察 (H24-B11-2 深度78.10m)

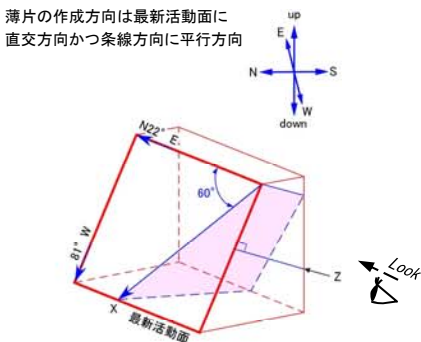
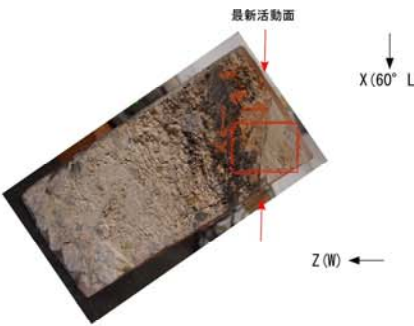
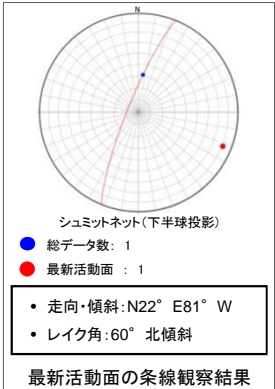
H24-B11-2のボーリングコア (深度78.10m) から採取した薄片試料の観察結果によれば最新活動面の変位センスは、右ずれ成分が卓越する。



- 凡例
- 断層ガウジ
  - カタクレーサイト
  - R1面
  - P面

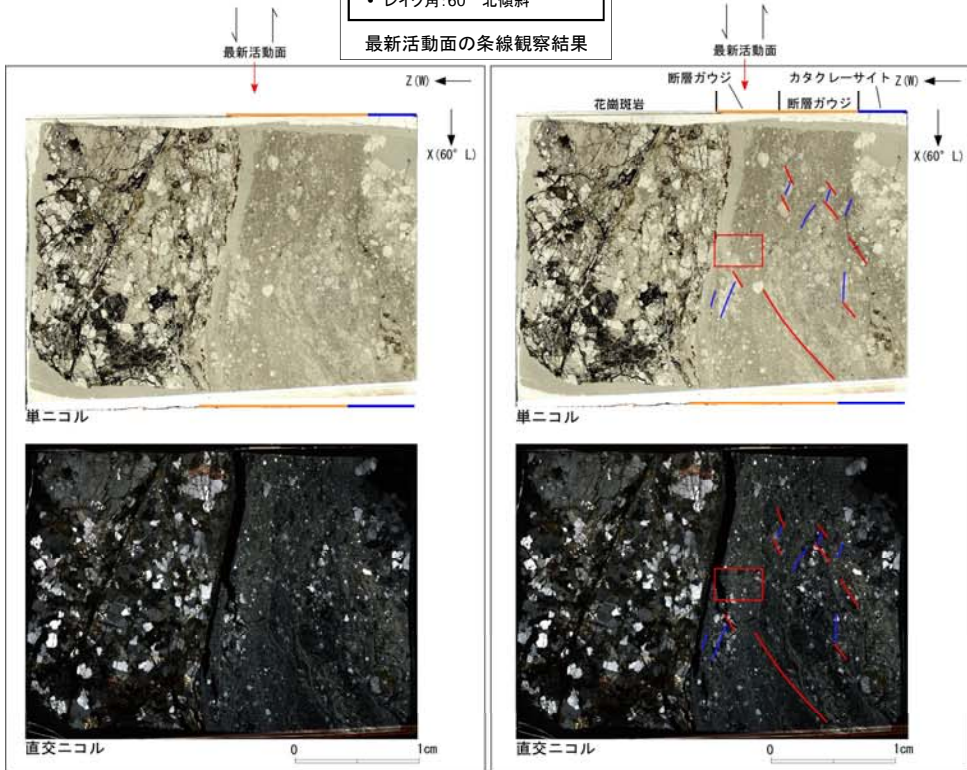
# f-b14-1-2 破碎帯 薄片試料観察 (H24-B14-1 深度42.88m)

H24-B14-1のボーリングコア (深度42.88m) から採取した薄片試料の観察結果によれば最新活動面の変位センスは、右ずれを伴う正断層である。

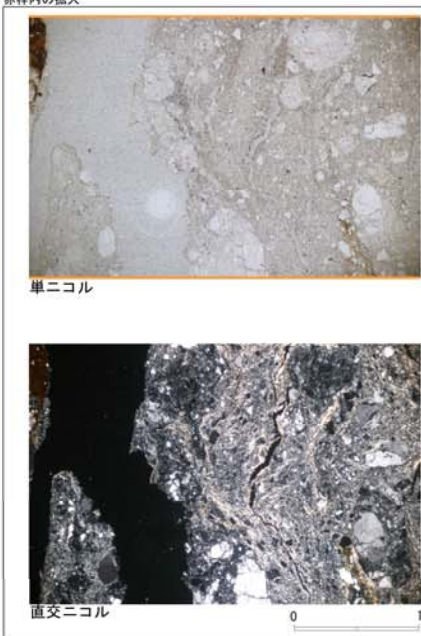


走向・傾斜 N22° E81° W

X: 条線方向 (下向きを正とする)  
Z: 断層面の法線方向 (上盤側を正とする)



ブロックサンプル  
※切断面に記載されているZ方向は誤り

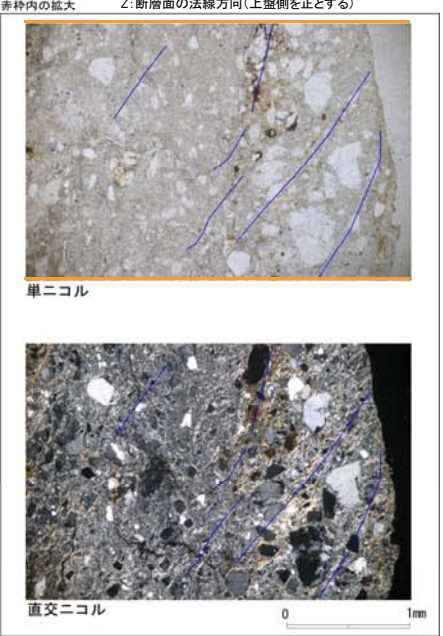
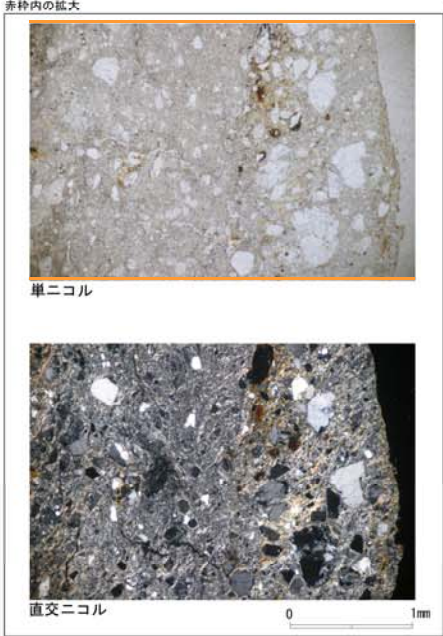
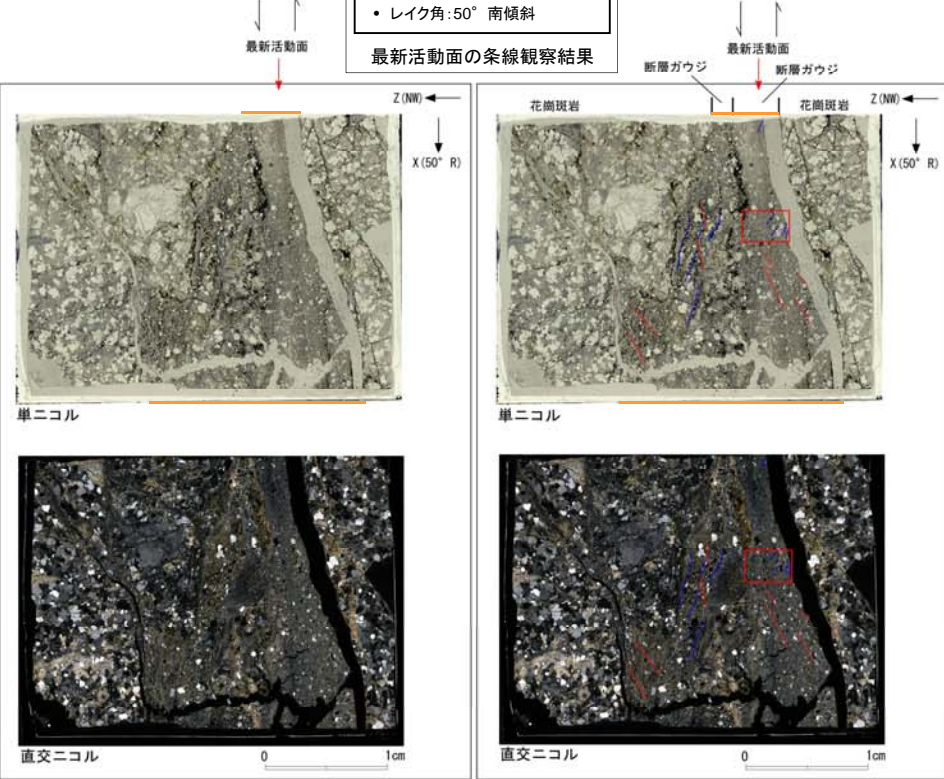
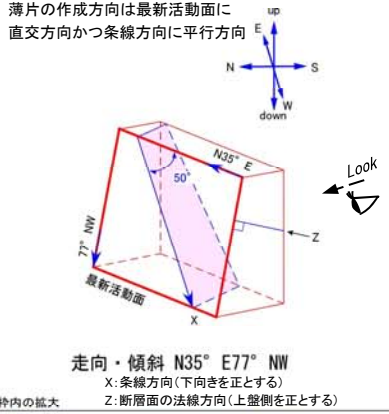
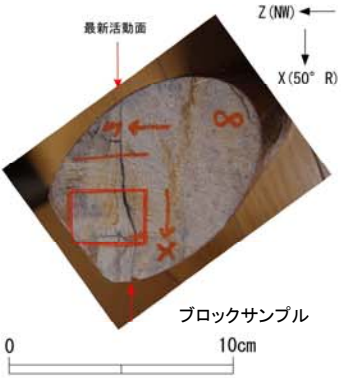
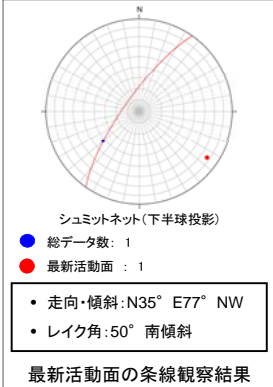


- 凡例
- 断層ガウジ
- カタクレーサイト
- R1面
- P面



# f-b14-2-1 破碎帯 薄片試料観察 (H24-B14-2 深度28.50m)

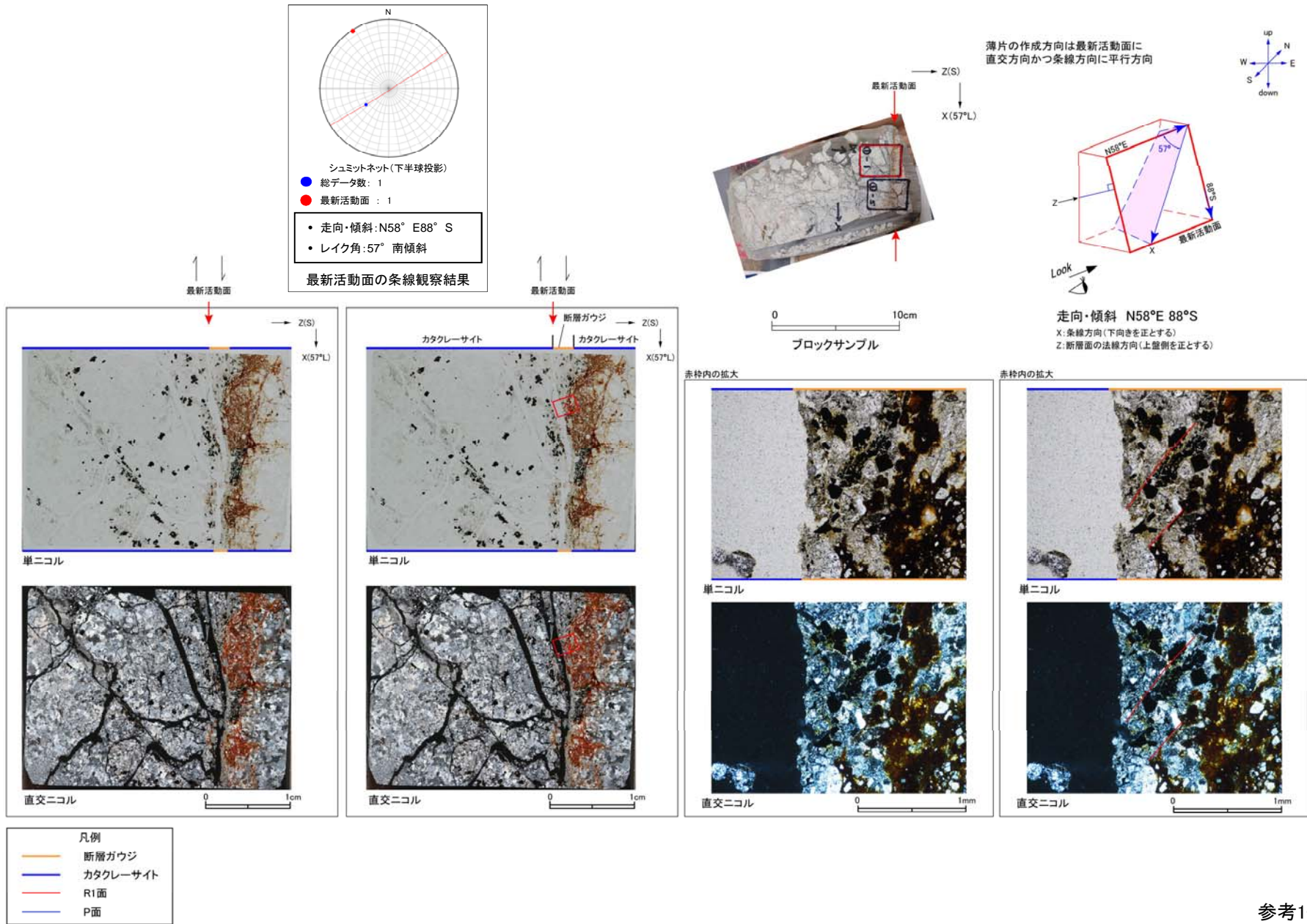
H24-B14-2のボーリングコア (深度28.50m) から採取した薄片試料の観察結果によれば最新活動面の変位センスは、左ずれを伴う正断層である。



- 凡例
- 断層ガウジ
  - カタクレーサイト
  - R1面
  - P面

# f-b14-2-2 破碎帯 薄片試料観察 (H24-B14-2 深度38.10m)

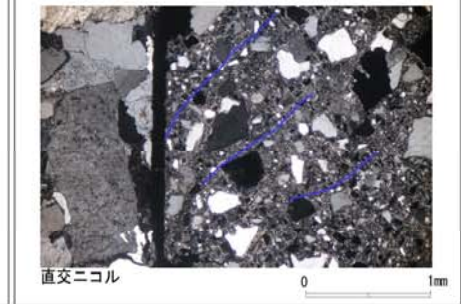
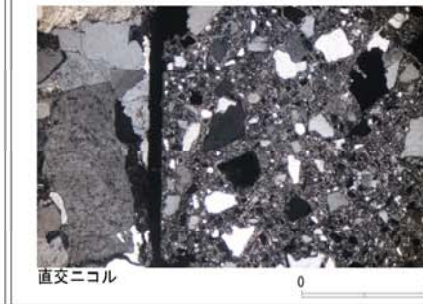
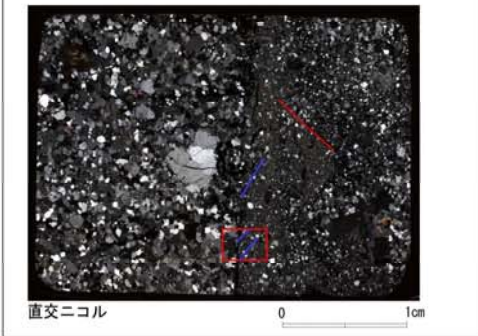
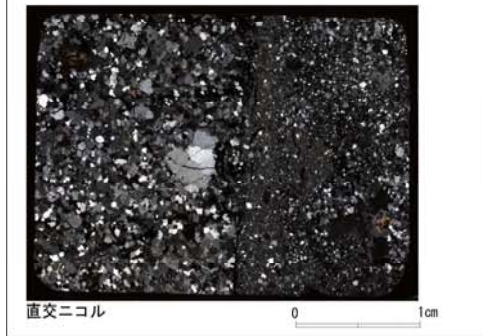
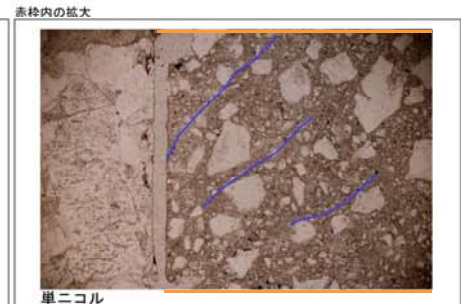
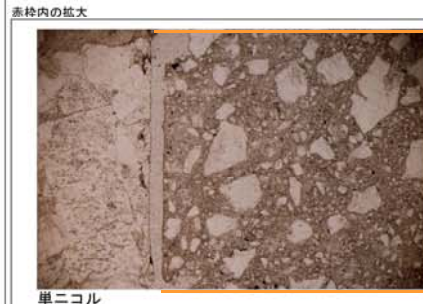
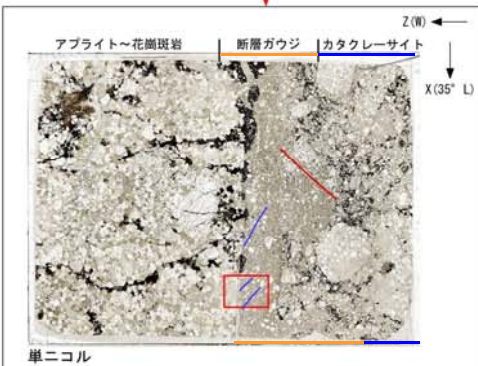
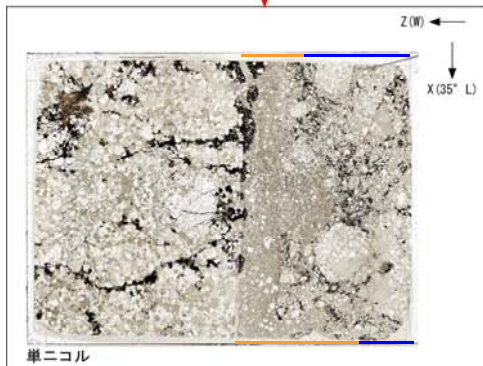
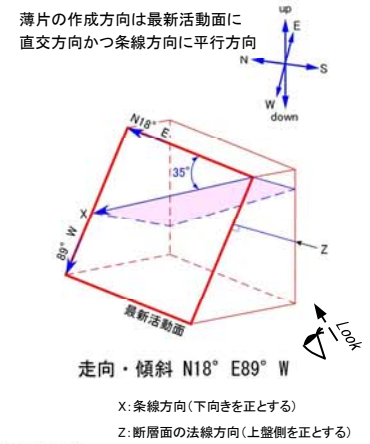
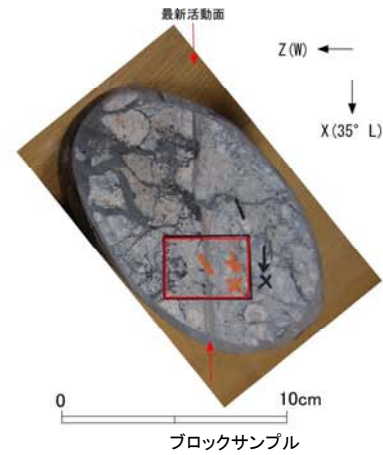
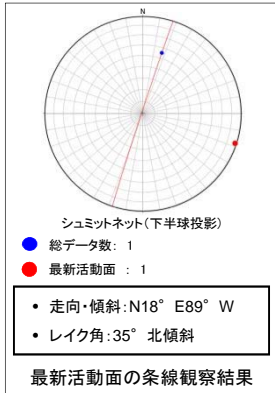
H24-B14-2のボーリングコア(深度38.10m)から採取した薄片試料の観察結果によれば最新活動面の変位センスは、右ずれを伴う正断層である。





# f-b8-21-1 破碎帯 薄片試料観察 (H24-B8-21 深度79.86m)

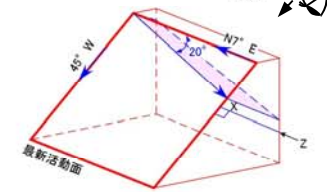
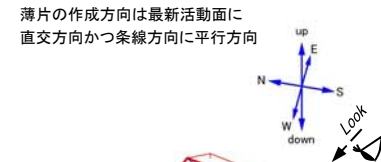
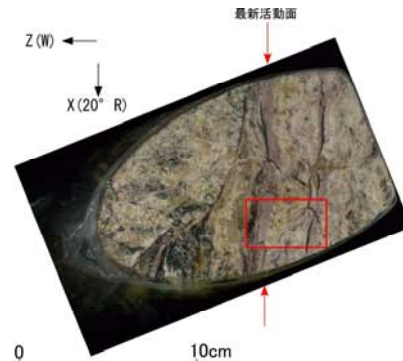
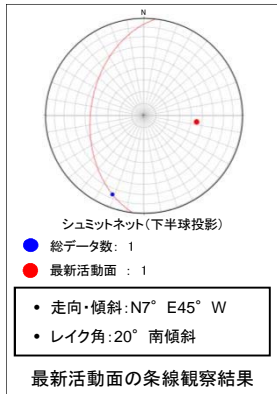
H24-B8-21のボーリングコア (深度79.86m) から採取した薄片試料の観察結果によれば最新活動面の変位センスは、右ずれを伴う正断層である。



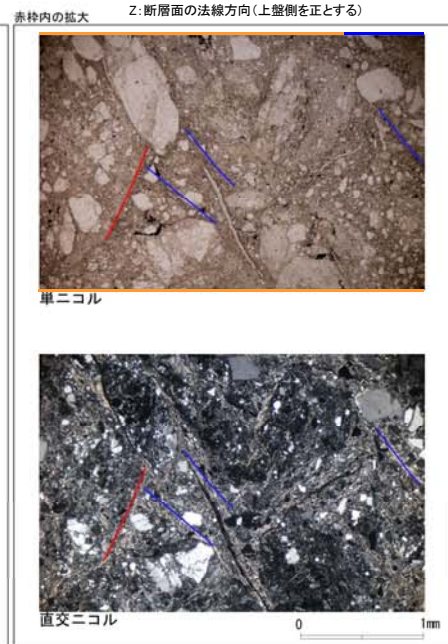
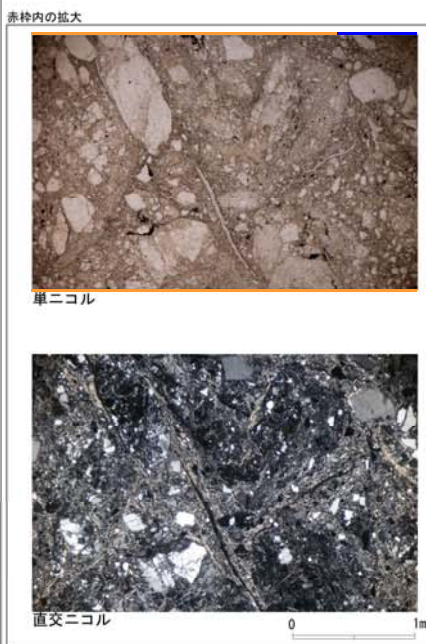
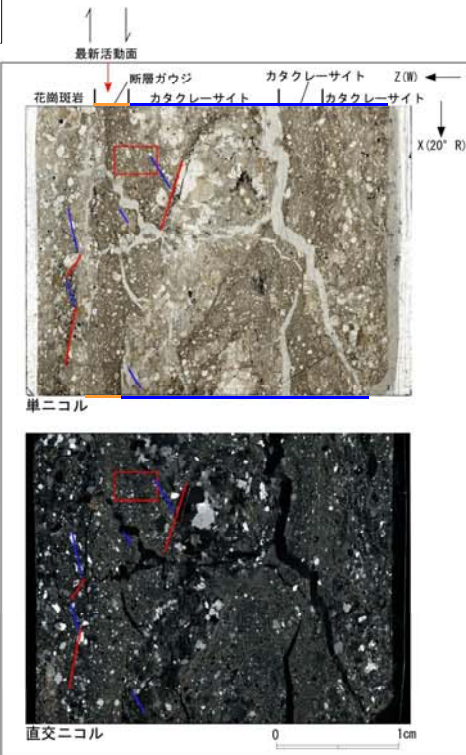
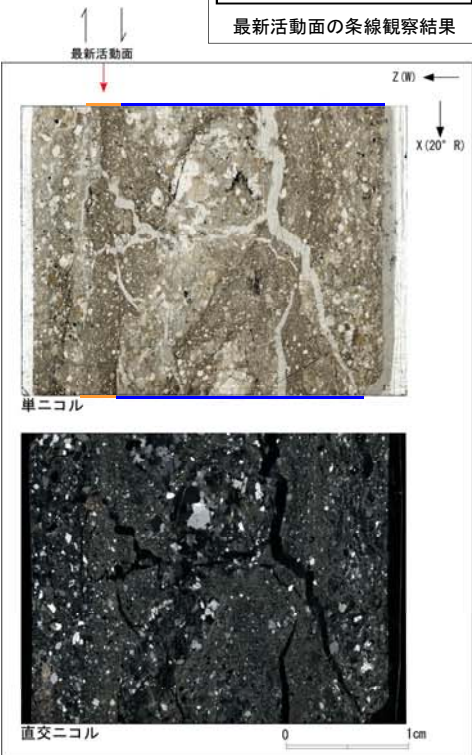
- 凡例
- 断層ガウジ
  - カタクレーサイト
  - R1面
  - P面

# f-b'-2-1 破碎帯 薄片試料観察 (H24-B'-2 深度10.69m)

H24-B'-2のボーリングコア(深度10.69m)から採取した薄片試料の観察結果によれば最新活動面の変位センスは、右ずれ成分が卓越する。



走向・傾斜 N7° E45° W  
 X: 条線方向(下向きを正とする)  
 Z: 断面面の法線方向(上盤側を正とする)

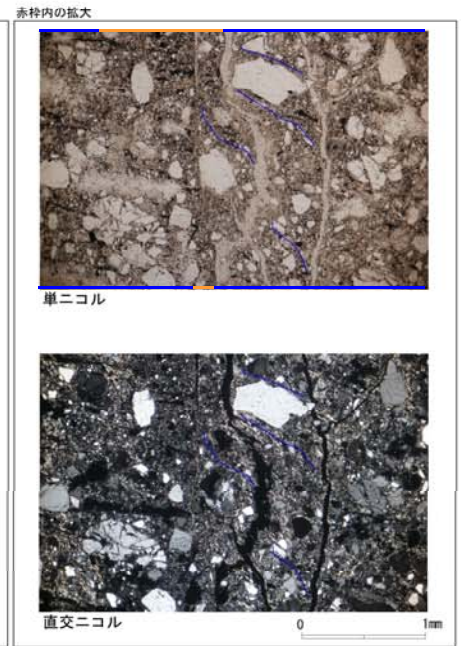
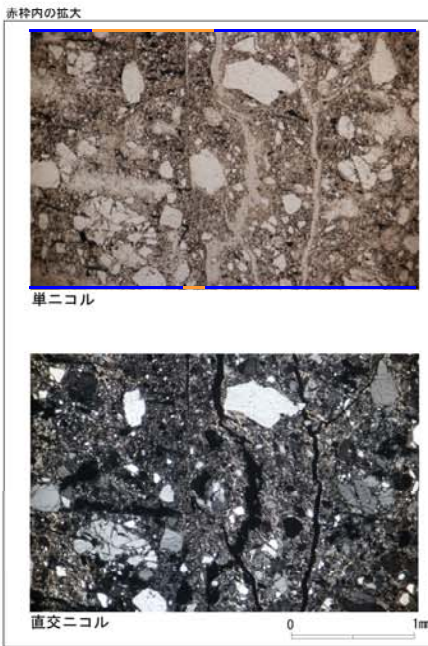
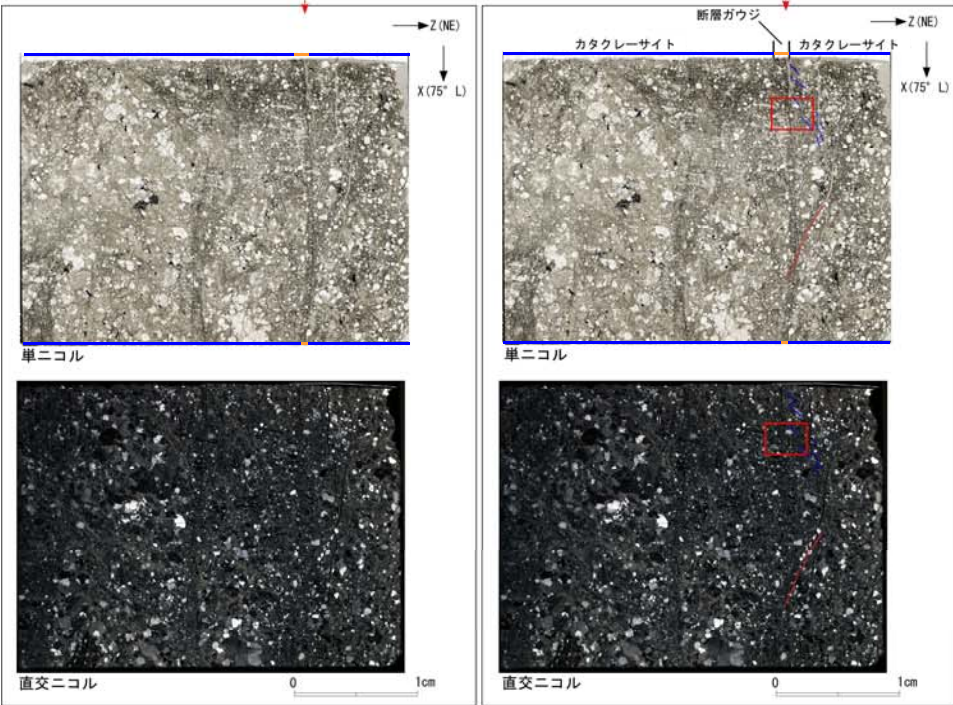
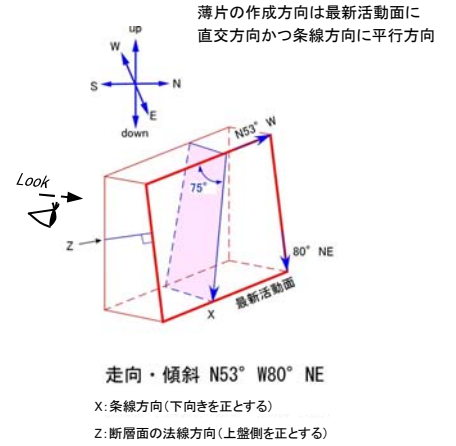
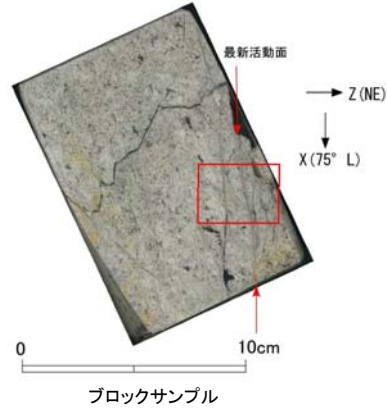
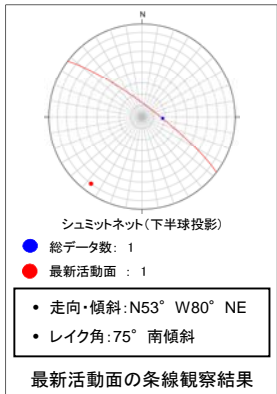


- 凡例
- 断層ガウジ
  - カタクレーサイト
  - R1面
  - P面



# f-d1-1-10 破碎帯 薄片試料観察 (H24-D1-1 深度90.66m)

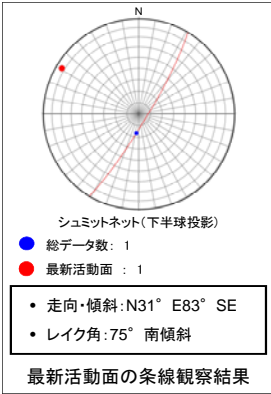
H24-D1-1のボーリングコア(深度90.66m)から採取した薄片試料の観察結果によれば最新活動面の変位センスは、正断層成分が卓越する。



- 凡例
- 断層ガウジ
  - カタクレーサイト
  - R1面
  - P面

# f-d1-1-11 破碎帯 薄片試料観察 (H24-D1-1 深度91.31m)

H24-D1-1のボーリングコア(深度91.31m)から採取した薄片試料の観察結果によれば最新活動面の変位センスは、正断層成分が卓越する。



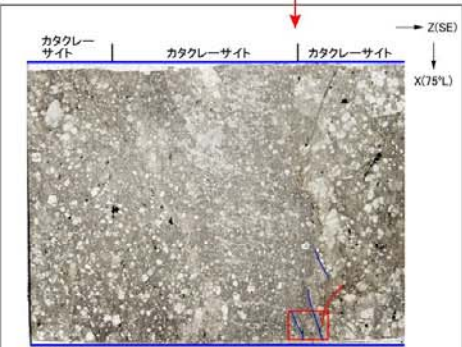
最新活動面

最新活動面の条線観察結果

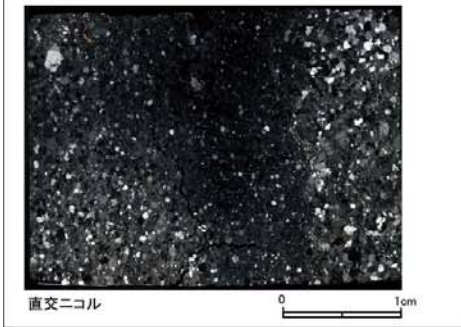
最新活動面



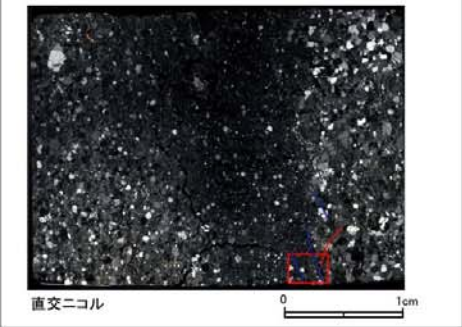
単ニコル



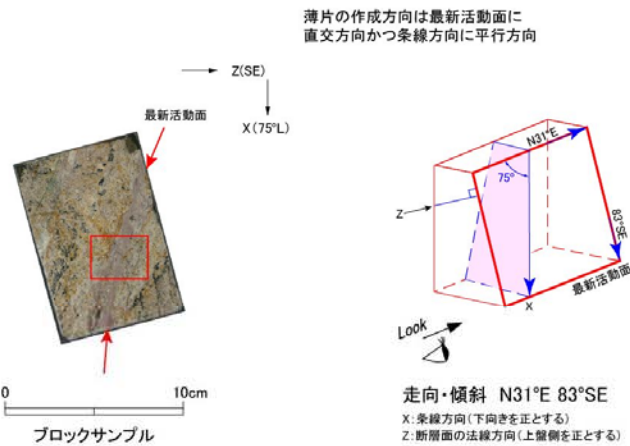
単ニコル



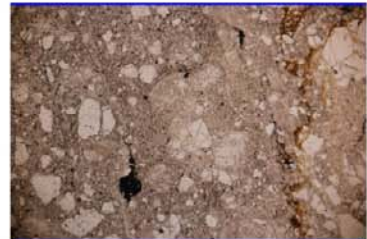
直交ニコル



直交ニコル

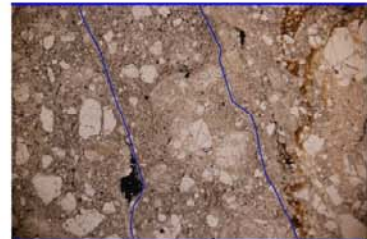


赤枠内の拡大

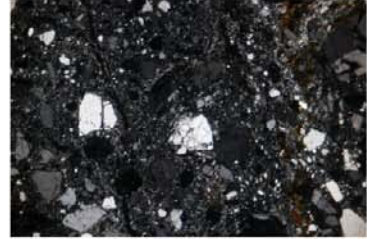


単ニコル

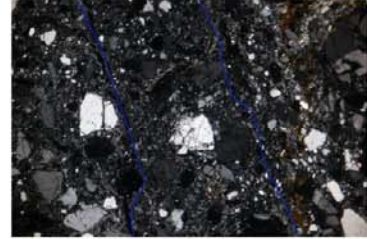
赤枠内の拡大



単ニコル



直交ニコル



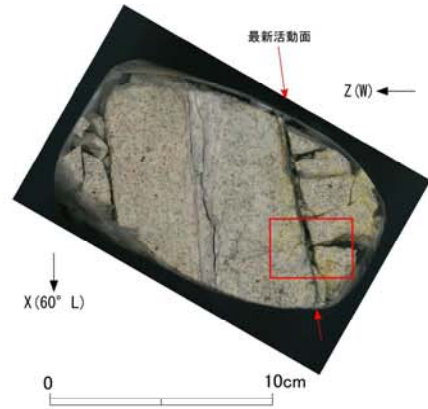
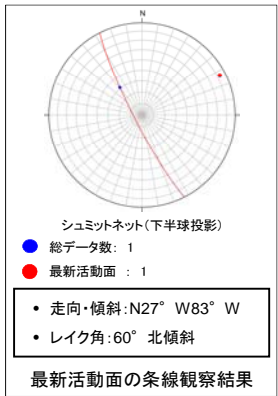
直交ニコル

- 凡例
- 断層ガウジ
  - カタクレーサイト
  - R1面
  - P面

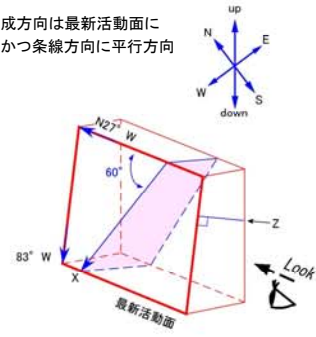


# f-d1-4-5 破碎帯 薄片試料観察 (H24-D1-4 深度61.52m)

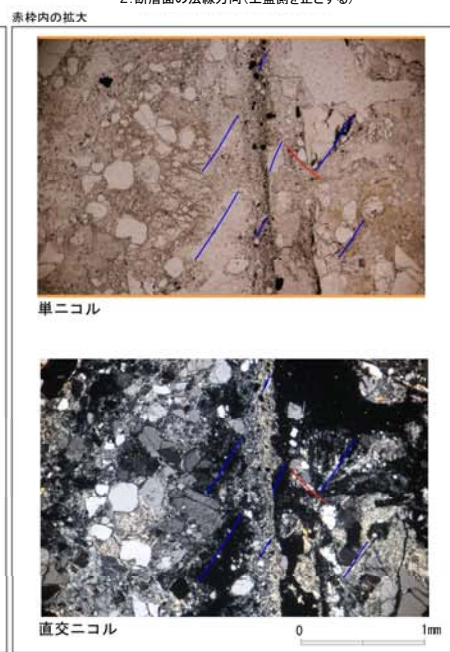
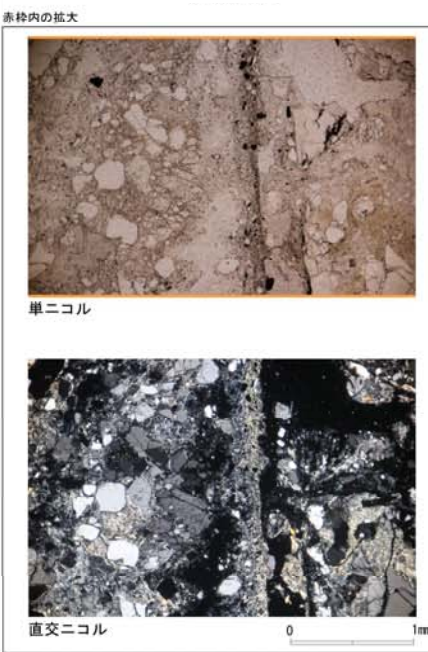
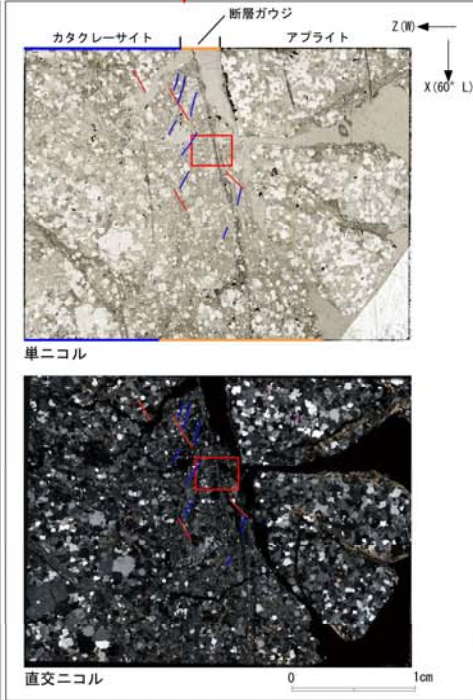
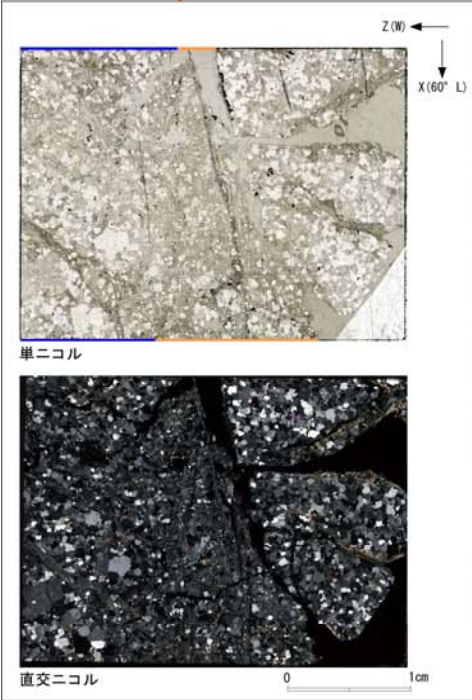
H24-D1-4のボーリングコア(深度61.52m)から採取した薄片試料の観察結果によれば最新活動面の変位センスは、右ずれを伴う正断層である。



薄片の作成方向は最新活動面に  
 直交方向かつ条線方向に平行方向



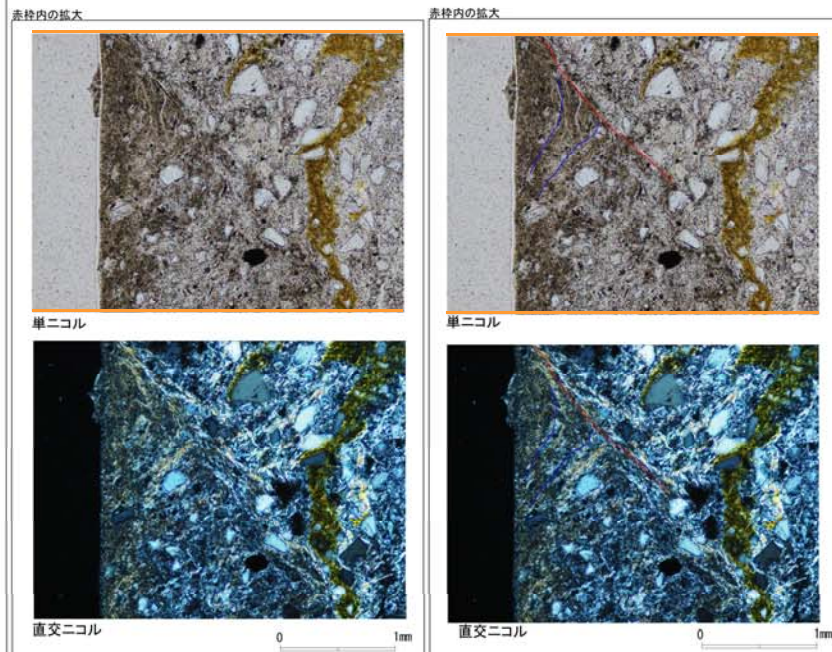
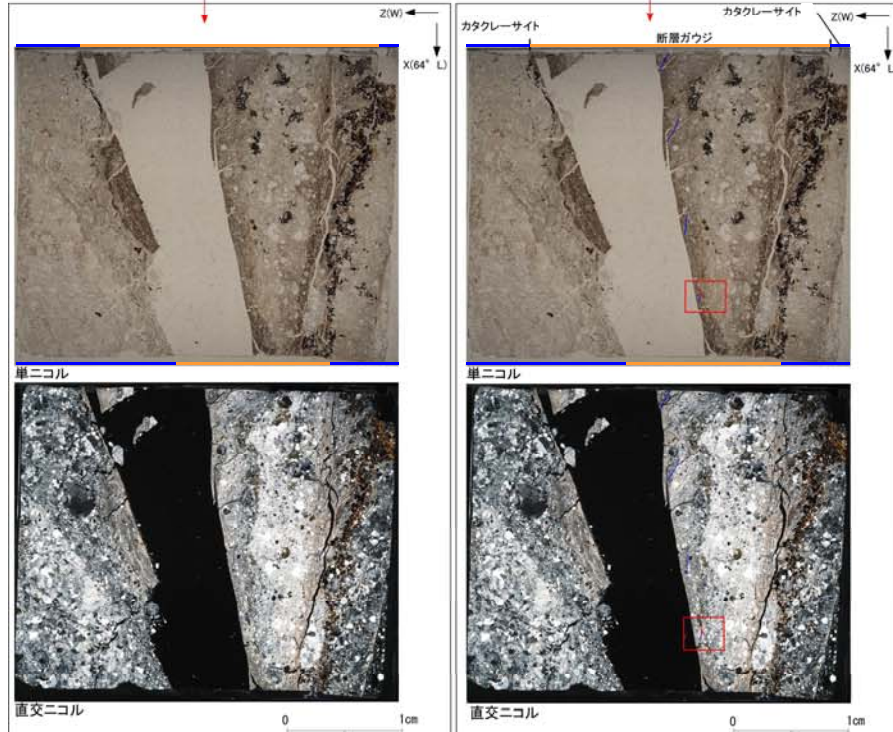
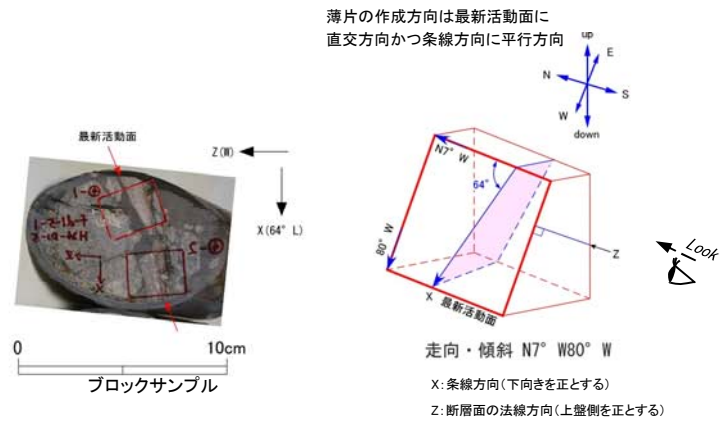
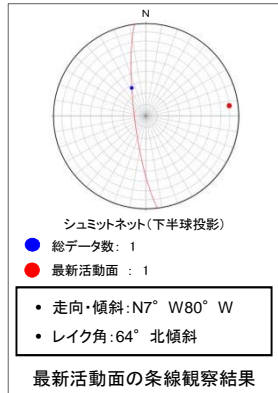
走向・傾斜 N27° W83° W  
 X: 条線方向(下向きを正とする)  
 Z: 断層面の法線方向(上盤側を正とする)



- 凡例
- 断層ガウジ
  - カタクレーサイト
  - R1面
  - P面

# f-d1-5-1 破碎帯 薄片試料観察 (H24-D1-5 深度8.70m)

H24-D1-5のボーリングコア (深度8.70m) から採取した薄片試料の観察結果によれば最新活動面の変位センスは、右ずれを伴う正断層である。



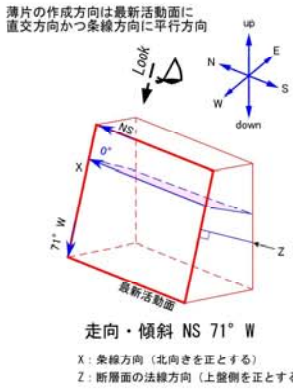
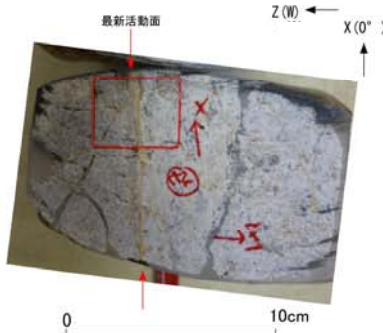
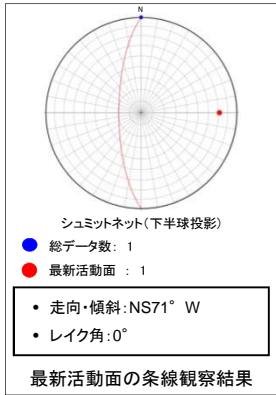
- 凡例
- 断層ガウジ
  - カタクレーサイト
  - R1面
  - P面



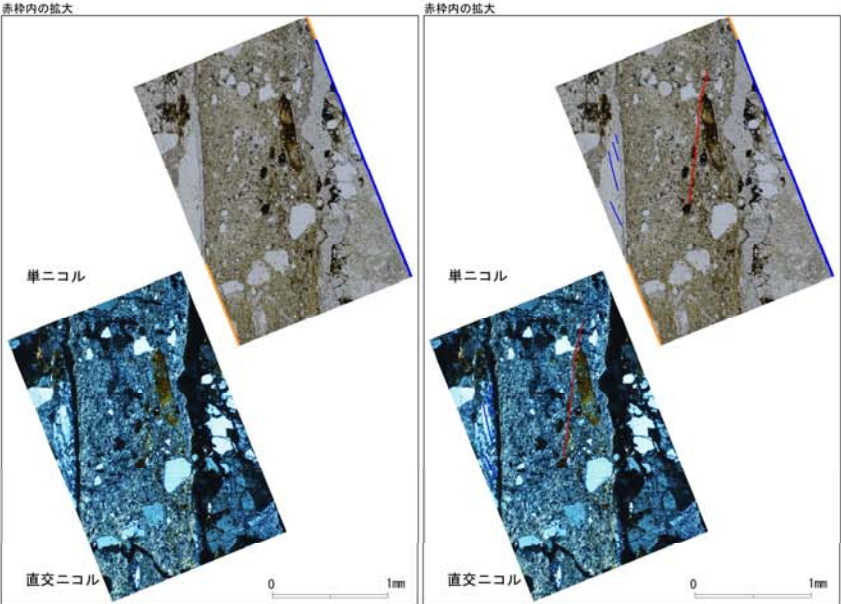
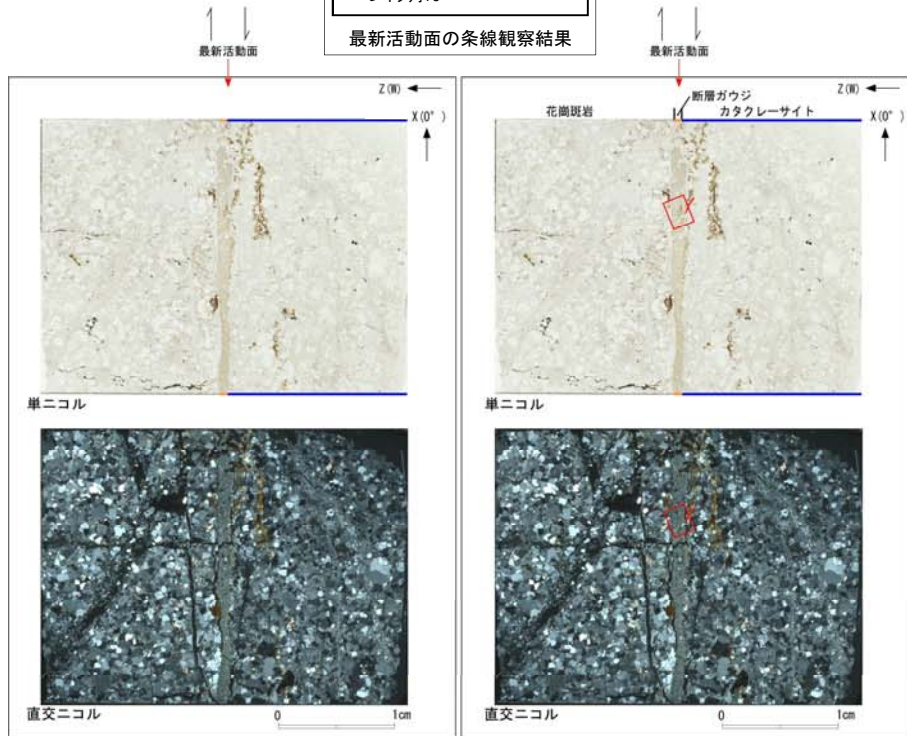
## 14. H-1~f-b-4-6破碎帶

# H-2破碎帯 薄片試料観察(H27-B-3 深度42.85m)

H27-B-3のボーリングコア(深度42.85m)から採取した薄片試料の観察結果によれば最新活動面の変位センスは、右ずれ成分が卓越する。



※切断面に記載されているZ方向は誤り  
ブロックサンプル

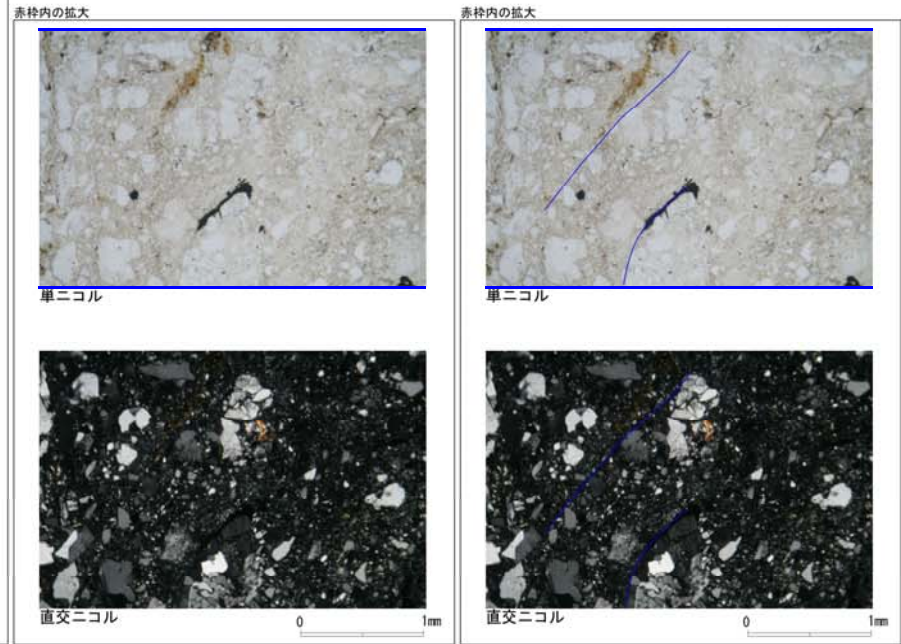
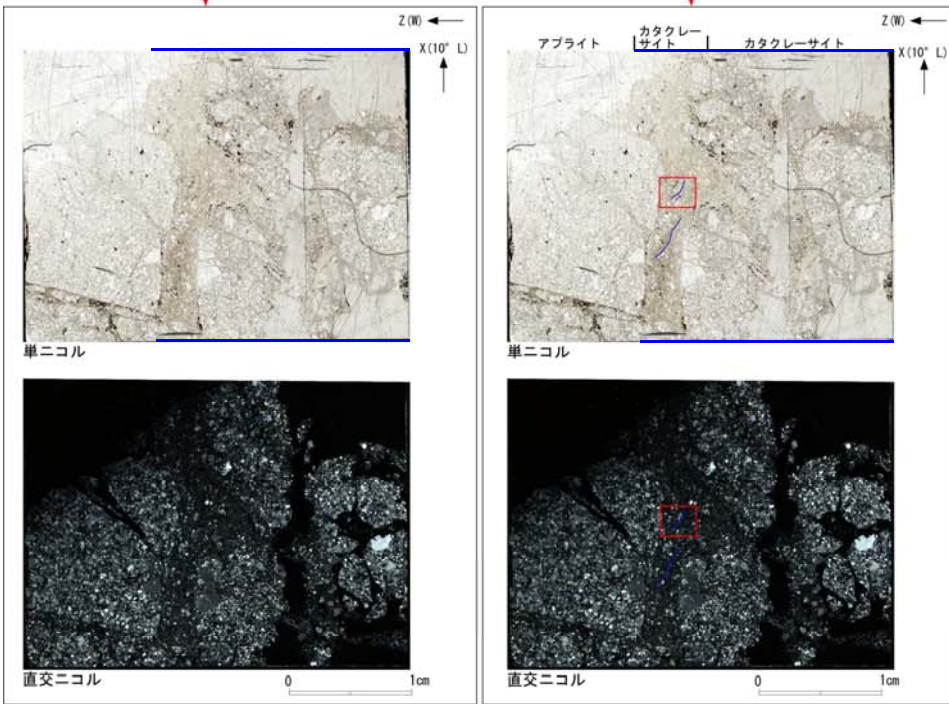
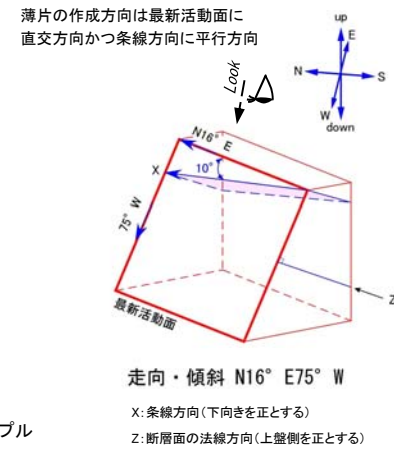
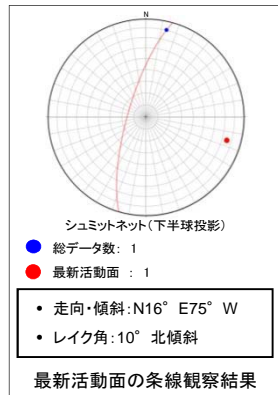


- 凡例
- 断層ガウジ
  - カタクレーサイト
  - R1面
  - P面



# H-3b破碎帯 薄片試料観察(2号炉原子炉建屋南側道路剥ぎ取り)

2号炉原子炉建屋南側道路剥ぎ取りから採取した薄片試料の観察結果によれば最新活動面の変位センスは、左ずれ成分が卓越する。

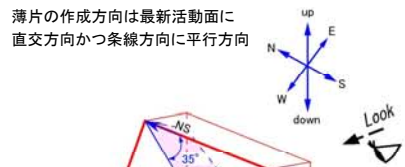
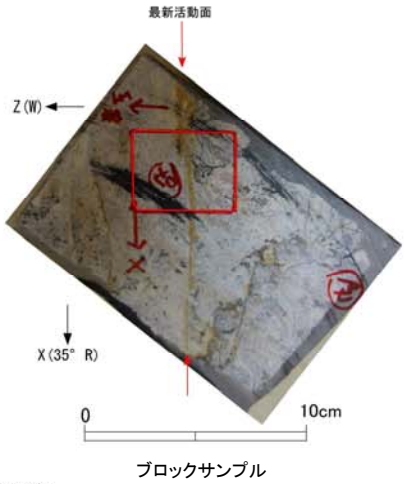


- 凡例
- 断層ガウジ
  - カタクレーサイト
  - R1面
  - P面

# H-3c 破碎帯 薄片試料観察 (H27-B-3 深度76.59m)

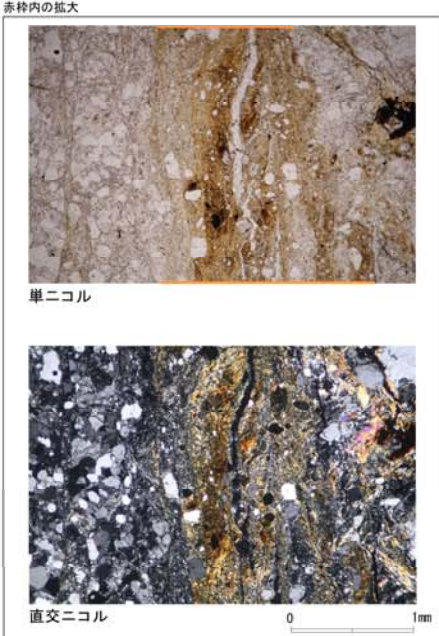
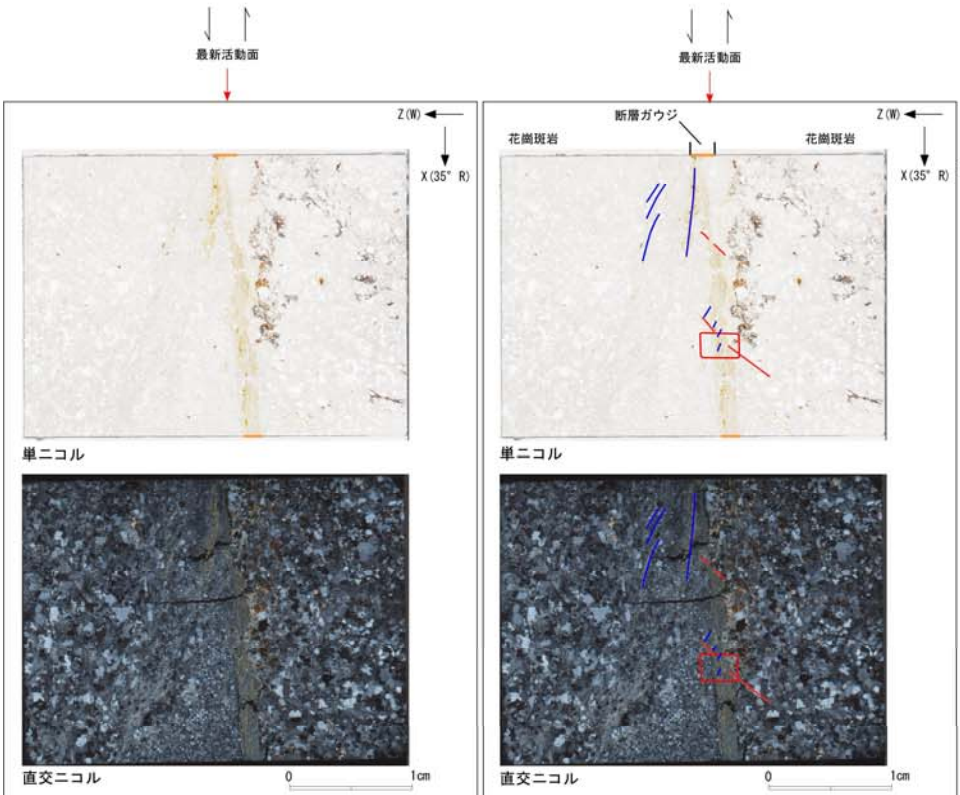
H27-B-3のボーリングコア(深度76.59m)から採取した薄片試料の観察結果によれば最新活動面の変位センスは、左ずれを伴う正断層である。

走向・傾斜データなし



走向・傾斜 N-S走向 西傾斜 (仮定)

X: 条線方向 (下向きを正とする)  
Z: 断層面の法線方向 (上盤側を正とする)

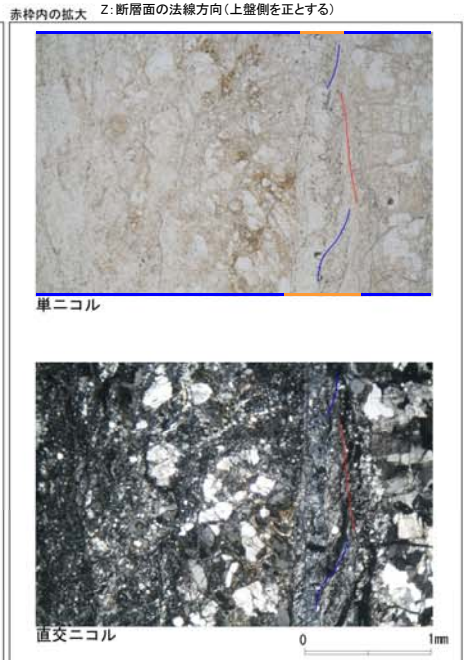
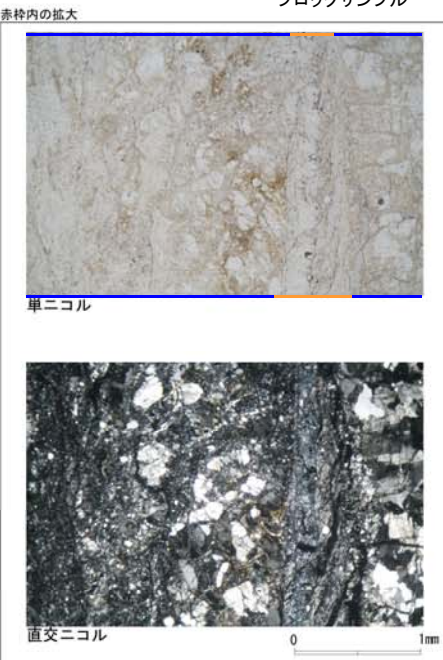
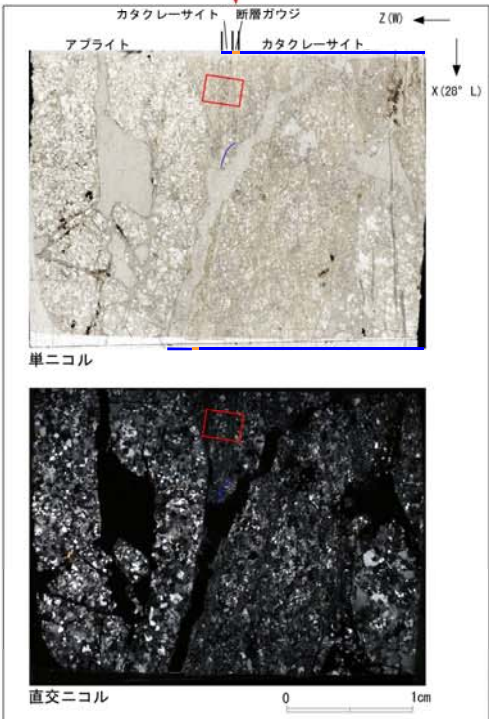
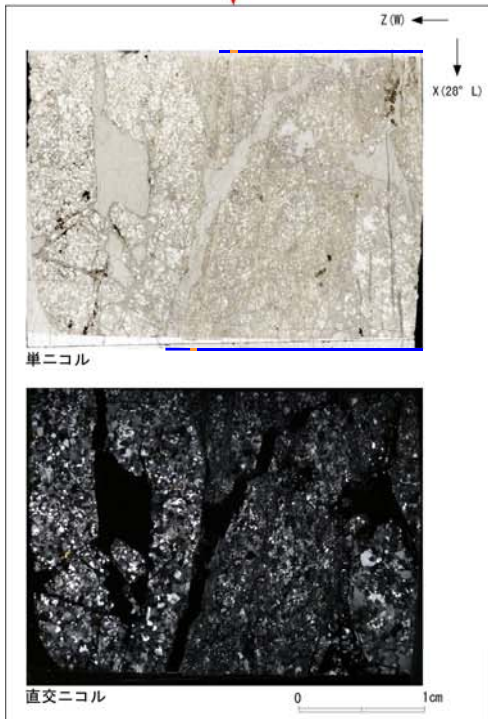
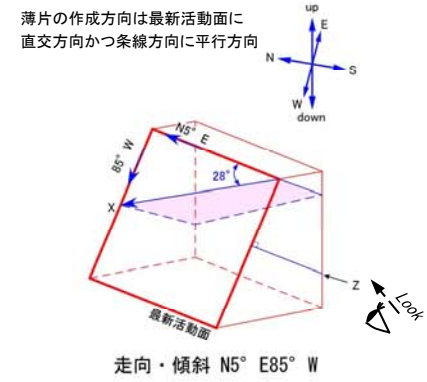
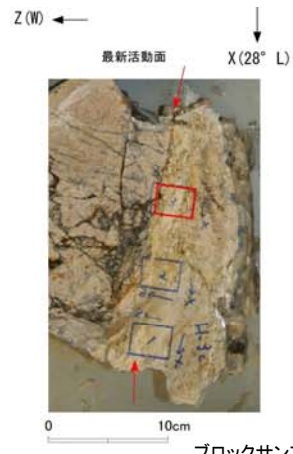
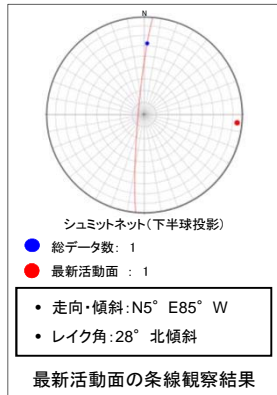


- 凡例
- 断層ガウジ
  - カタクレーサイト
  - R1面
  - P面



# H-3c 破碎帯 薄片試料観察 (2号炉原子炉建屋南側道路剥ぎ取り)

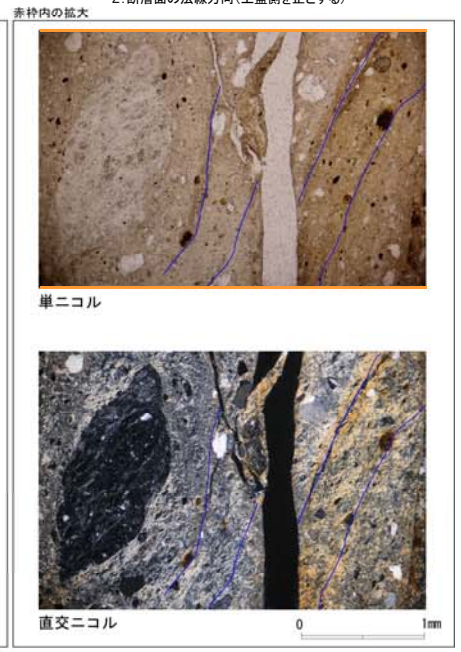
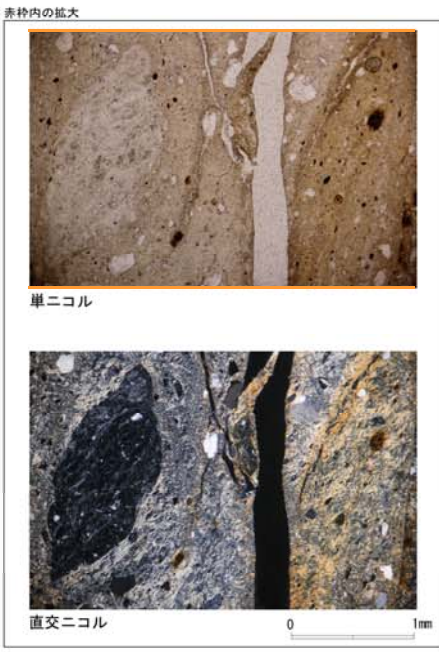
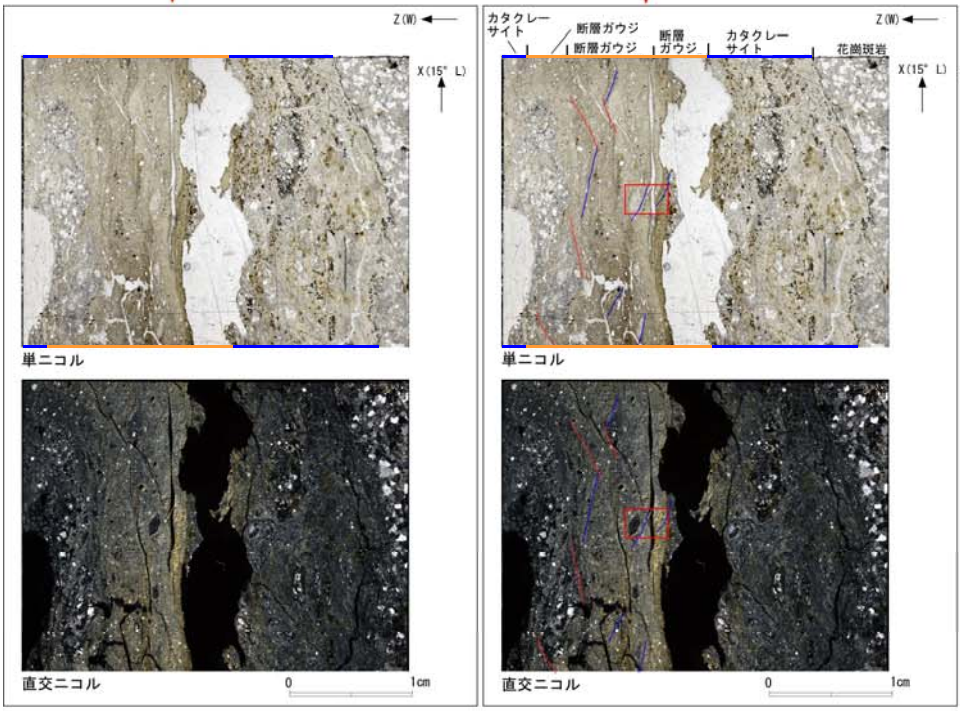
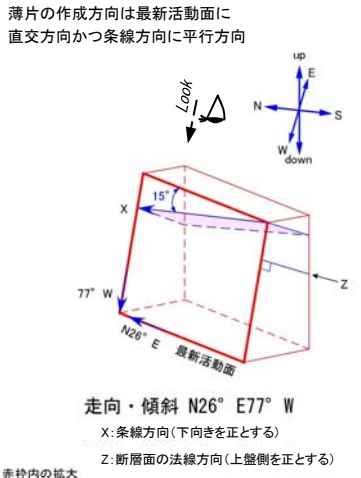
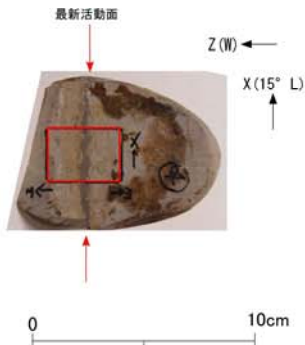
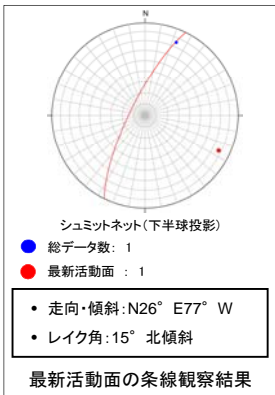
2号炉原子炉建屋南側道路剥ぎ取りから採取した薄片試料の観察結果によれば最新活動面の変位センスは、右ずれを伴う正断層である。



- 凡例
- 断層ガウジ
  - カタクレーサイト
  - R1面
  - P面

# H-3d破碎帯 薄片試料観察(H24-D1-3 深度14.06m)

H24-D1-3のボーリングコア(深度14.06m)から採取した薄片試料の観察結果によれば最新活動面の変位センスは、左ずれ成分が卓越する。

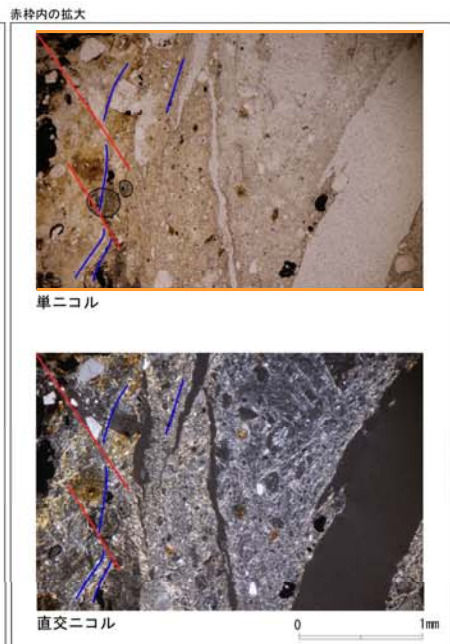
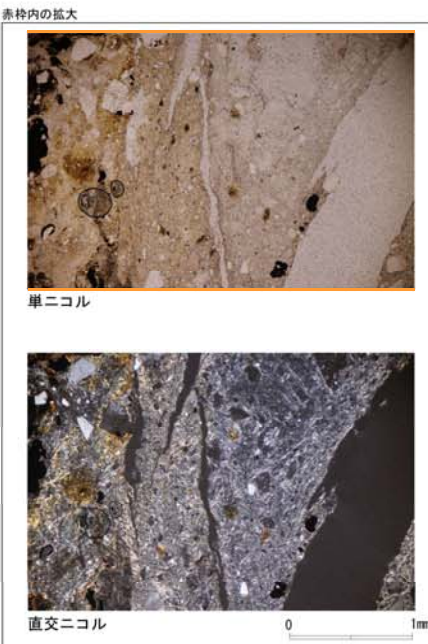
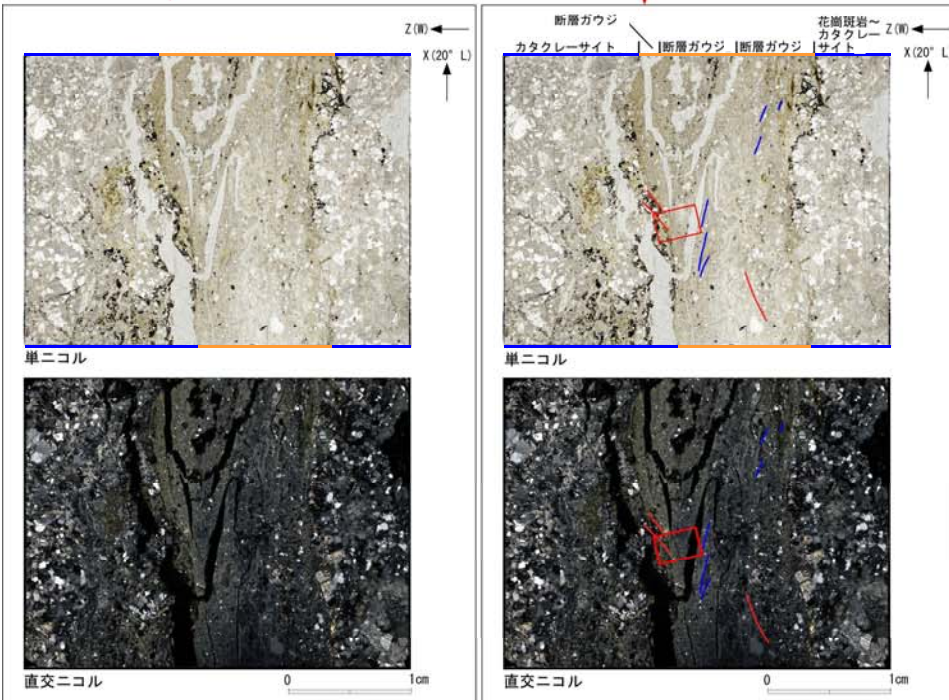
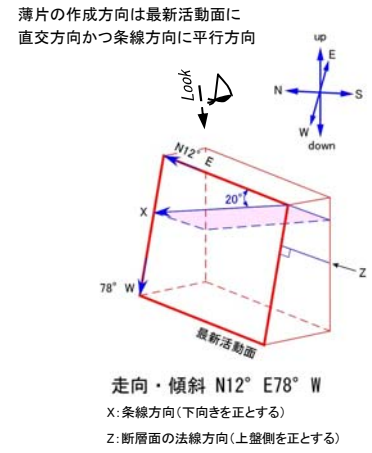
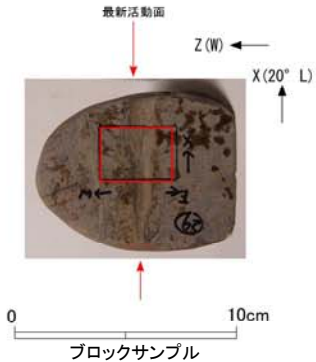
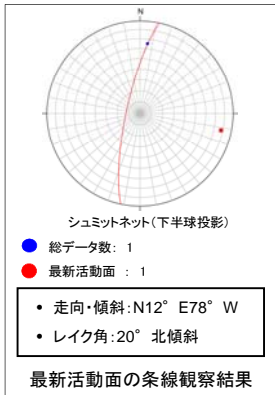


- 凡例
- 断層ガウジ
  - カタクレーサイト
  - R1面
  - P面



# H-3d破碎帯 薄片試料観察(H24-D1-5 深度10.21m)

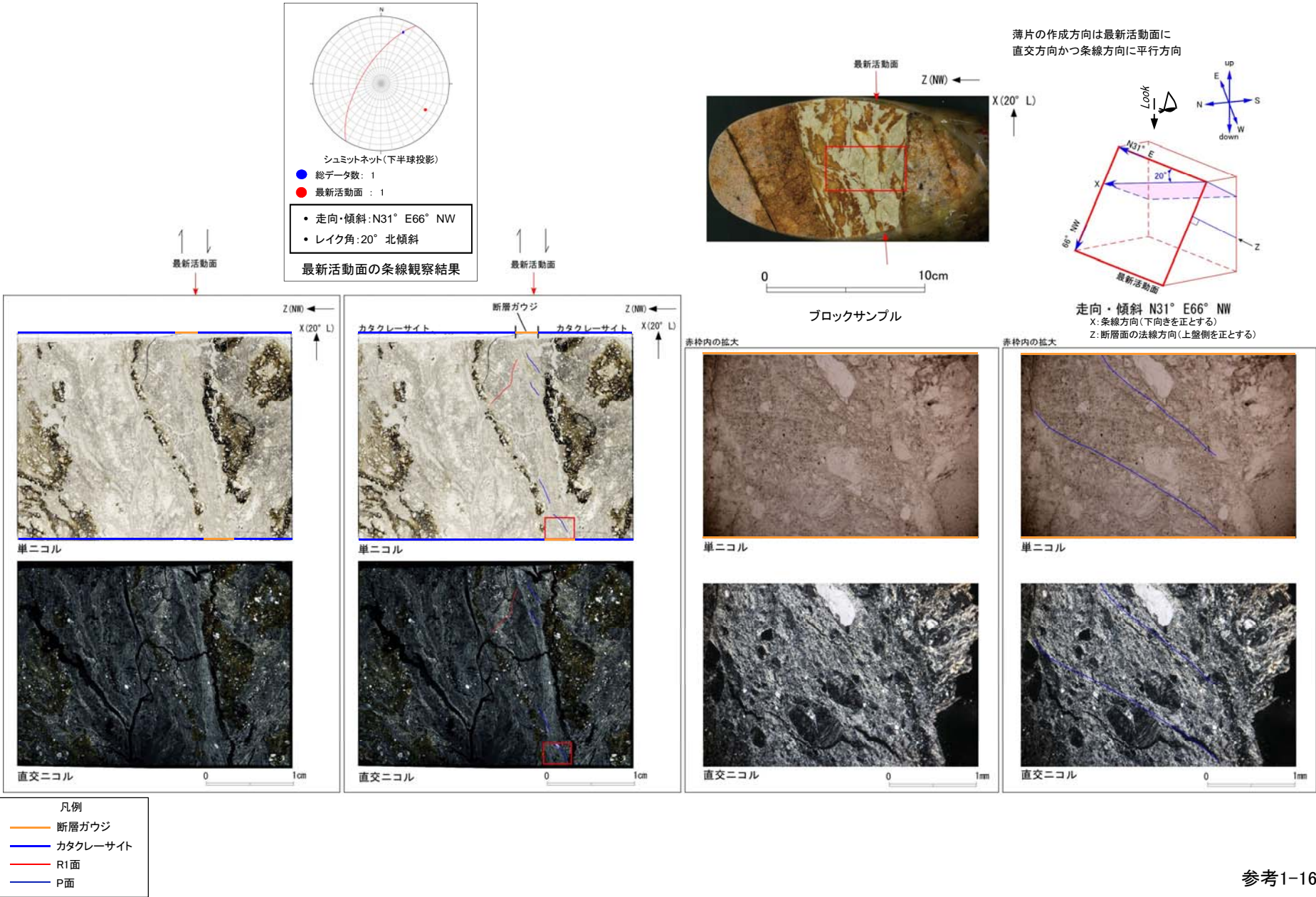
H24-D1-5のボーリングコア(深度10.21m)から採取した薄片試料の観察結果によれば最新活動面の変位センスは、左ずれ成分が卓越する。



- 凡例
- 断層ガウジ
  - カタクレーサイト
  - R1面
  - P面

# H-4' 破碎帯 薄片試料観察 (H24-D1-3 深度14.47m)

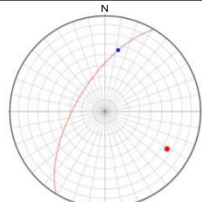
H24-D1-3のボーリングコア (深度14.47m) から採取した薄片試料の観察結果によれば最新活動面の変位センスは、右ずれ成分が卓越する。





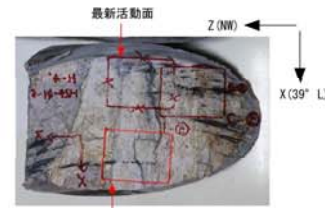
# H-4' 破碎帯 薄片試料観察(H24-D1-5 深度10.45m)

H24-D1-5のボーリングコア(深度10.45m)から採取した薄片試料の観察結果によれば最新活動面の変位センスは、右ずれを伴う正断層である。



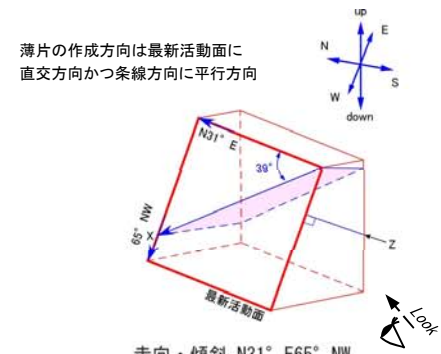
- シュミットネット(下半球投影)
- 総データ数: 1
  - 最新活動面: 1
- 走向・傾斜: N31° E65° NW
  - レイク角: 39° 北傾斜

最新活動面の条線観察結果



0 10cm

ブロックサンプル

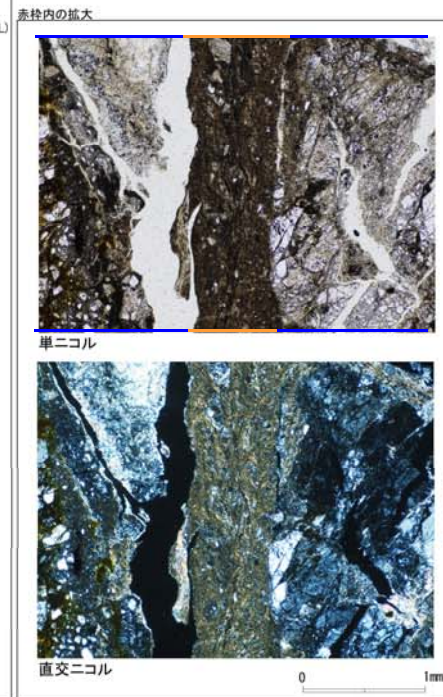
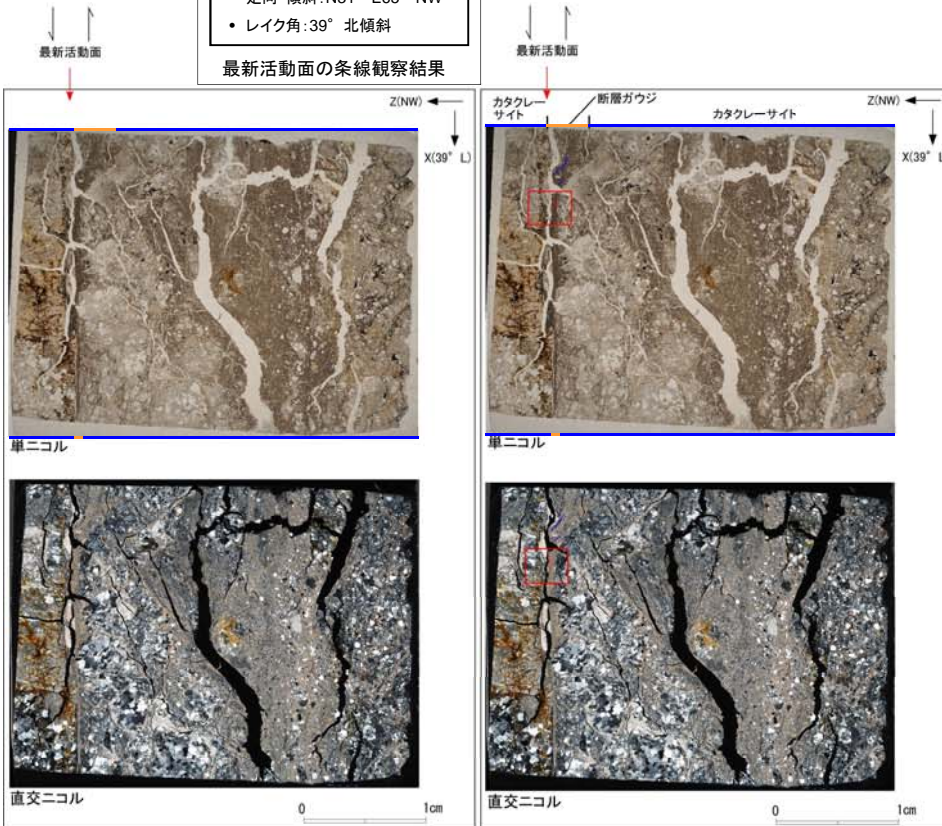


薄片の作成方向は最新活動面に  
直交方向かつ条線方向に平行方向

走向・傾斜 N31° E65° NW

X: 条線方向(下向きを正とする)

Z: 断層面の法線方向(上盤側を正とする)

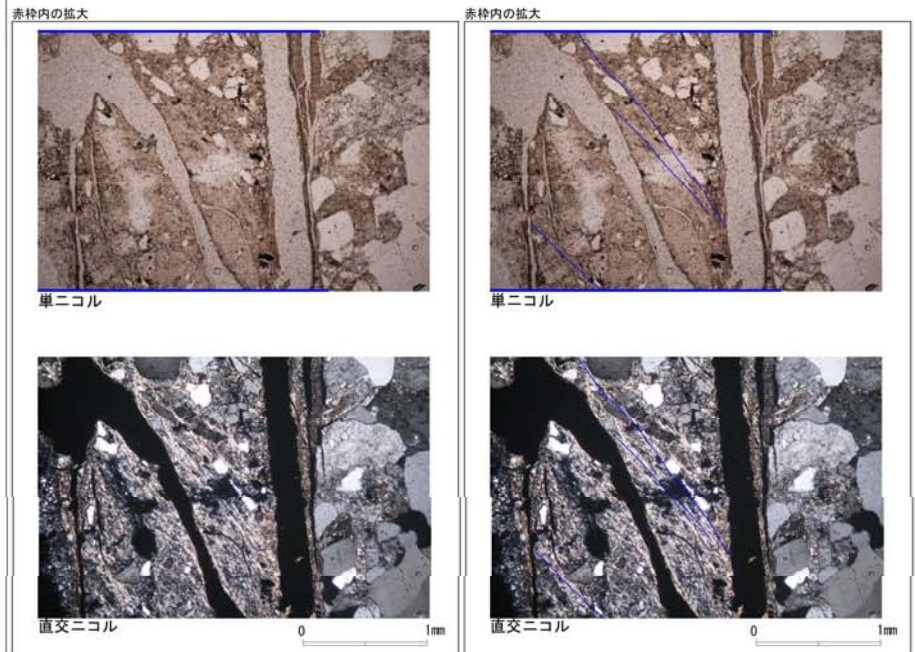
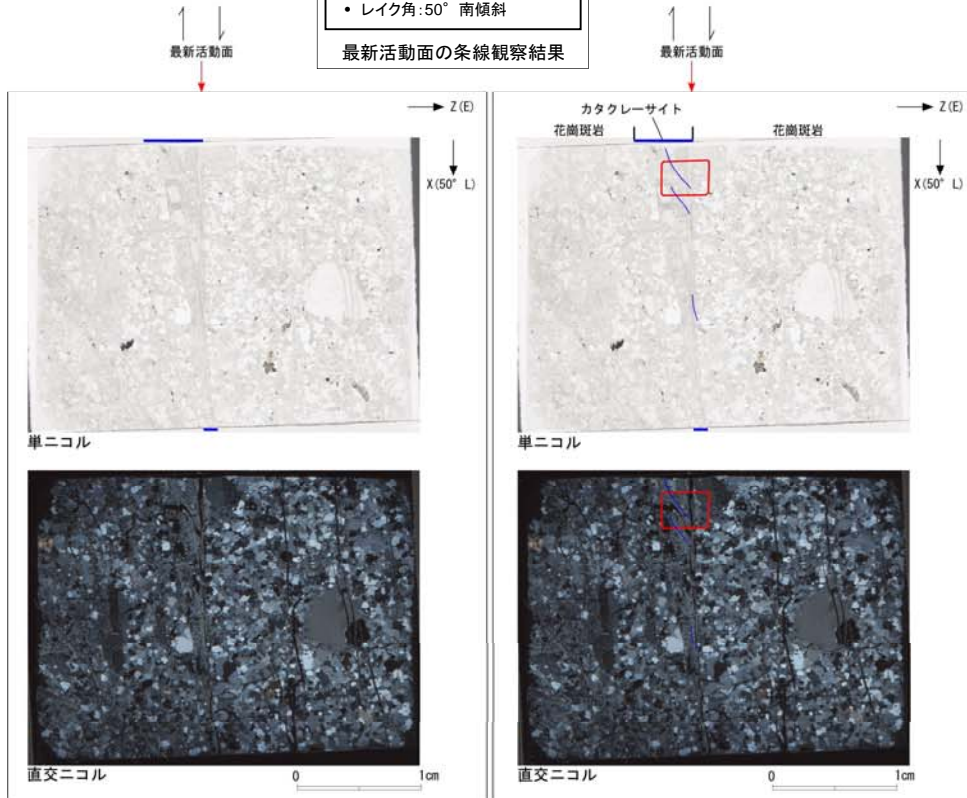
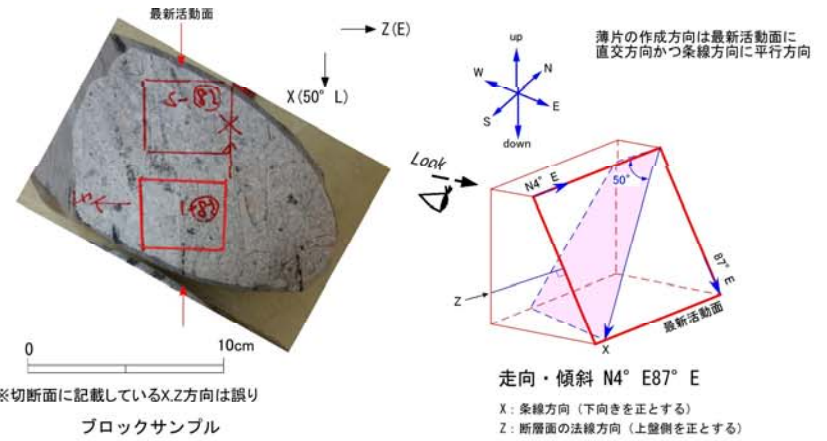
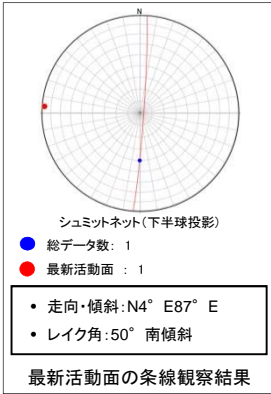


- 凡例
- 断層ガウジ
  - カタクレーサイト
  - R1面
  - P面



# H-6c 破碎帯 薄片試料観察 (H27-B-4 深度64.80m)

H27-B-4のボーリングコア(深度64.80m)から採取した薄片試料の観察結果によれば最新活動面の変位センスは、右ずれを伴う正断層である。

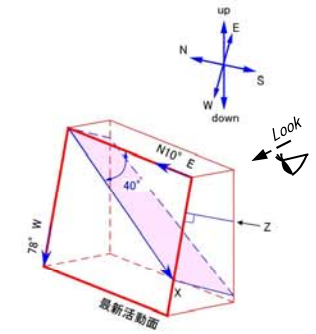
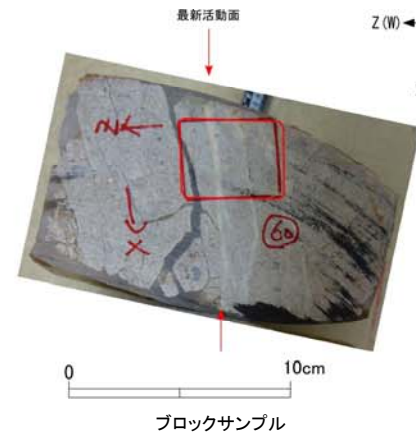
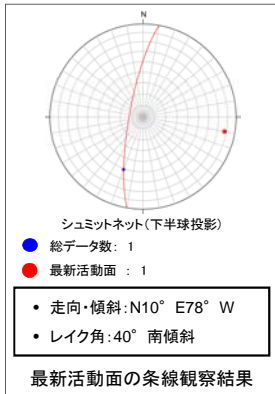


- 凡例
- 断層ガウジ
  - カタクレーサイト
  - R1面
  - P面

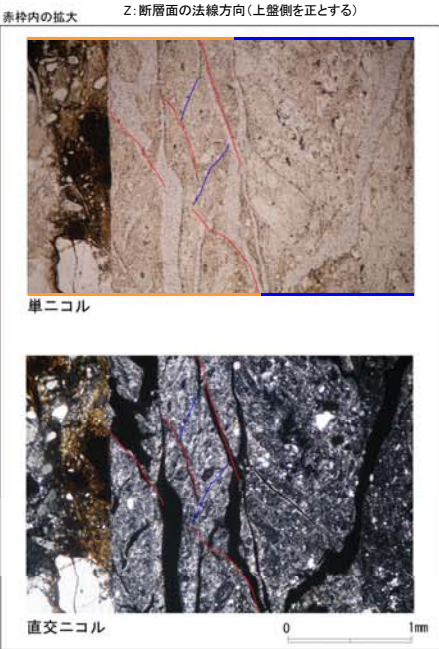
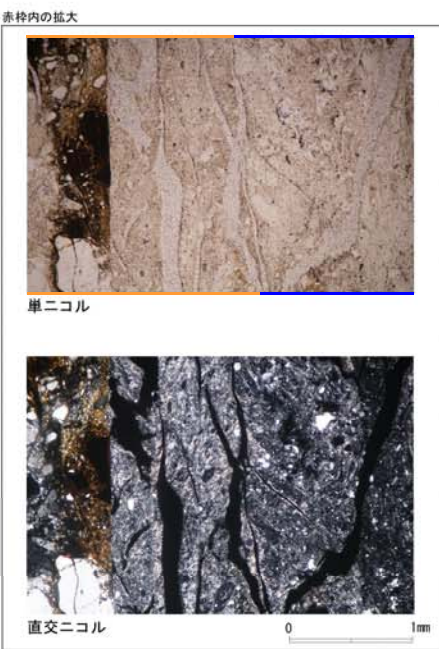
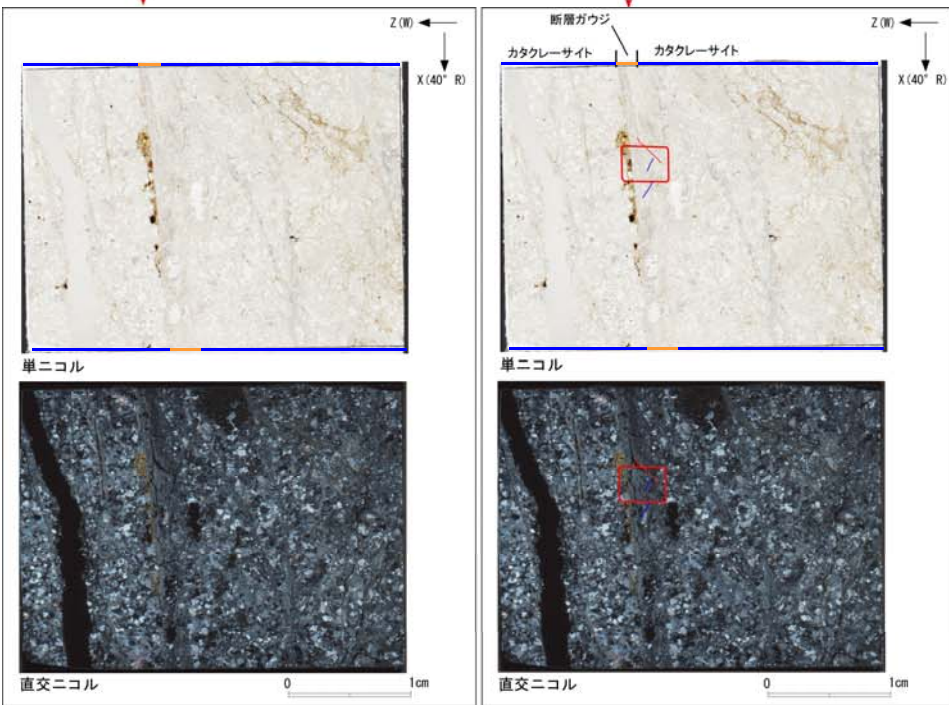


# H-7破碎帯 薄片試料観察(H27-B-4 深度93.13m)

H27-B-4のボーリングコア(深度93.13m)から採取した薄片試料の観察結果によれば最新活動面の変位センスは、左ずれを伴う正断層である。



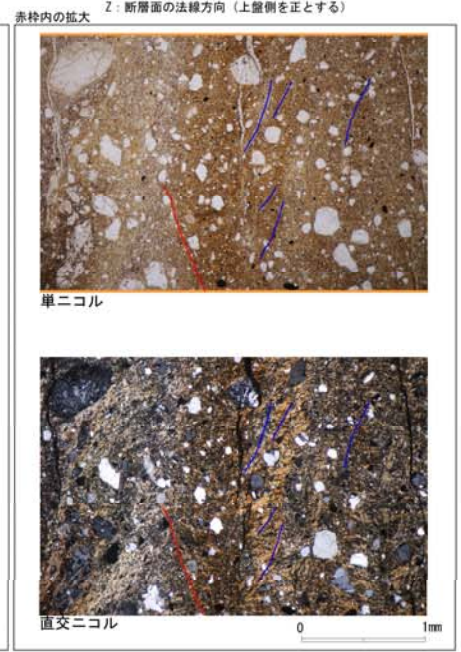
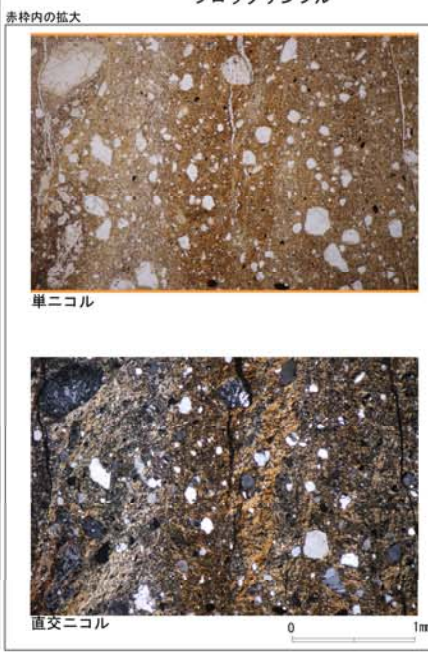
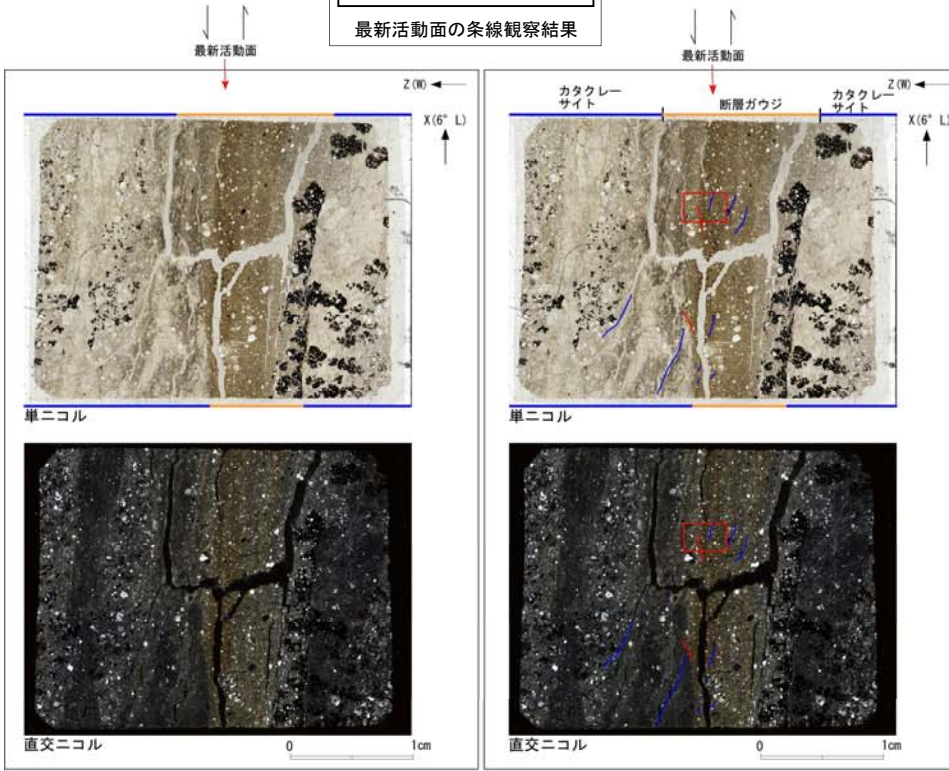
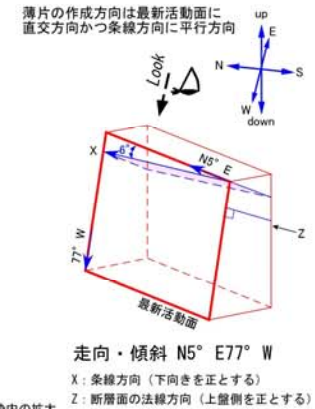
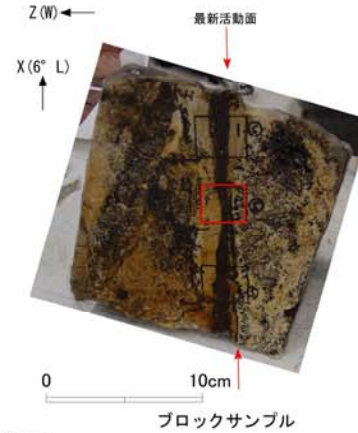
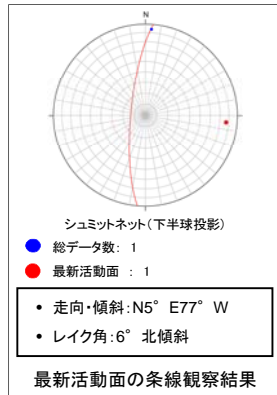
走向・傾斜 N10° E78° W  
 X: 条線方向(下向きを正とする)  
 Z: 断層面の法線方向(上盤側を正とする)



- 凡例
- 断層ガウジ
  - カタクレーサイト
  - R1面
  - P面

# H-7破碎帯 薄片試料観察(2号炉原子炉建屋南側斜面)

2号炉原子炉建屋南側斜面から採取した薄片試料の観察結果によれば最新活動面の変位センスは、左ずれ成分が卓越する。



- 凡例
- 断層ガウジ
  - カタクレーサイト
  - R1面
  - P面